

いない災害対策要員と交代して対応を行うこととする。また、屋外作業は比較的長時間が経過した後の対応であり、現実的には発電所構外からの参集者に期待できることから、状況により参集要員との交代による対応も考慮する。

3. 技術的能力の手順との整合性

技術的能力はそれぞれ条文で要求される機能別に考えうる故障想定から対応手段を選定し、手順の優先順位等を定めたもの（機能ベースの手順）となっている。

一方、有効性評価は事象ベースであり、夜間・休日における限られた要員での対応を示していることから、技術的能力で選定した手段を優先順位通りに全て実施するものではなく、重大事故等対処設備を用いた手段を中心に選択して実施する必要がある。また、手順着手の判断基準に直接は該当しないが、その後の事象の進展を考慮し先行して準備を実施する場合や有効性評価条件に合わせた対応を示している場合もある。

なお、有効性評価のような事象ベースにおいても迷わず対応可能なように、手順着手の判断や優先順位を事前に検討の上で運転手順書（運転要領）を策定しており、発電課長（当直）は判断を誤ることなく対応が可能となっている。

以下に技術的能力の手順との整合性についての有効性評価における考え方を示す。

(1) 基本的な考え方

- a. 有効性評価における作業の所要時間及び必要要員は技術的能力で整備されている手順と整合を図るが、以下を考慮する。
 - (a) 他の手段と共に通する対応操作がある場合等については、その手順の省略を可能とする。
 - (b) 技術的能力のタイムチャートはその手順を単独で行った場合の流れを示しているが、有効性評価は状況により他作業と並行して対応を進める必要があることから、作業の成立性に影響がない場合には、中央制御室及び現場操作の実施タイミングは実際の対応に沿った内容とする。
- b. 手順の優先順位及び着手の判断基準は技術的能力で整備されている手順と整合を図るが、(2)以降に示す内容を考慮する。
- c. 通常の運転操作等、技術的能力で整備している操作に該当しない場合は、訓練実績等に基づき設定した内容とする。（通常の運転操作等の想定時間及び実績時間については添付資料 6.3.1「重大事故等対策の有効性評価における作業毎の成立性確認結果について」のとおり。）

(2) 対応要員等に対する考慮事項

有効性評価は夜間・休日の限られた要員での対応を想定するため以下を考慮する。

- a. 有効性評価上考慮しない手順に着手する場合は、原則、最も優先順位の高い対応手段のみを実施する。なお、SG 直接給水用高圧ポンプによる蒸気発生器への注水については高揚程のポンプであり補助給水ポンプの代替手段として有効なため、第2手段ではあるが対応を行う。
- b. 複数の手順着手の判断基準に該当した場合は、使命時間内に各手順が達成可能なように順序立てて着手を行う。
- c. サポート系機能喪失時は対応操作が多岐に亘ることから以下を考慮する。
 - (a) 注水等に用いる水源の選択については、使命時間内に確実に注水可能な手段として、重大事故対処設備を用いた手段である海水を選択する想定とする。
 - (b) 可搬型設備による使用済燃料ピットの状態監視については、漏洩が発生しているものではなく、常設設備により水位等の監視が可能であることから、他の操作を優先する。本手順は対応可能となった時点での着手とする補助的な位置付けの対応となることから、有効性評価上は特別記載を行わない。
 - (c) 格納容器水素イグナイタ起動については、炉心損傷に至らないと判断できる事故シーケンスの場合、格納容器内の水素濃度上昇を伴わないことから、他の操作を優先する。本手順は対応可能となった時点での着手とする補助的な位置付けの対応となることから、有効性評価上は特別記載を行わない。

(3) 事象進展に対する考慮事項

重要事故シーケンスの中でもサポート系機能喪失時はプラント状態が厳しくなることから、その後の事象進展の可能性を考慮し以下の対応とする。

- a. 炉心損傷防止対策の場合であっても炉心損傷に至った際の代替格納容器スプレイポンプの炉心注水から CV スプレイへの切り替えを考慮して、B-充てんポンプ(自己冷却)による代替炉心注水の準備を行う。また、アニュラス内の水素排出及び被ばく低減を考慮して、B-アニュラス空気浄化ファンの準備及び起動を行う。
- b. 全交流動力電源喪失の場合は、常設直流電源の喪失を考慮して、可搬型計測器によるパラメータ計測又は監視の準備を行う。
- c. 全交流動力電源喪失 (RCP シール LOCA が発生しない場合) の場合は、シール LOCA への事象進展を考慮して、代替格納容器スプレイポンプによる代替炉心注水の準備、1 次冷却材ポンプ封水戻り隔離弁等の閉止及び中央制御室非常用循環ファンの準備及び起動を行う。

(4) 事故シーケンス毎の有効性評価条件に対する考慮事項

- a. 2 次冷却系からの除熱機能喪失

1次冷却系のフィードアンドブリード操作開始は、技術的能力で示している蒸気発生器広域水位 10%未満ではなく、解析条件である蒸気発生器広域水位 0%到達とする。(0%のほうが炉心冷却の観点で厳しくなり保守的な設定となる)

b. 全交流動力電源喪失 (RCP シール LOCA が発生しない場合)

(a) 有効性評価の審査ガイドに従い、交流動力電源は 24 時間使用できないものとすることから、代替非常用発電機以外の電源復旧作業には着手せず、24 時間後に代替非常用発電機による給電が開始される想定とする。

(b) 有効性評価の審査ガイドに従い、常設直流電源は 24 時間にわたり、重大事故等の対応に必要な設備に電気の供給を行えるものとすることから、可搬型直流電源用発電機及び可搬型直流変換器による代替電源(直流)からの給電には着手しない想定とする。

c. 原子炉補機冷却機能喪失

全交流動力電源喪失と同じ評価事故シーケンスを選定しており、事象の推移が同一となることから、電源の回復操作に関する手順以外は同様の対応を行う想定とする。

d. 原子炉停止機能喪失

有効性評価では事象発生後 10 分間は運転員等の操作に期待しないことから、共通要因故障対策盤(自動制御盤)(ATWS 緩和設備)の作動状況の確認後に手動による原子炉手動トリップ操作を行う想定とする。

e. 水素燃焼

炉心損傷に至るため、再循環運転に移行しない可能性があるが、有効性評価条件に合わせて格納容器スプレイポンプの再循環運転を継続し、格納容器内自然対流冷却には着手しない想定とする。

f. 崩壊熱除去機能喪失 (余熱除去系の故障による停止時冷却機能喪失)

ディーゼル発電機による給電が可能であることから、充てんポンプを用いた炉心注水が可能であるが、全交流動力電源喪失(停止時)と同一条件で評価していることから、全交流動力電源喪失(停止時)に合わせて代替格納容器スプレイポンプによる炉心注水を行う想定とする。なお、代替格納容器スプレイポンプより優先順位の高い炉心注水手段については、考慮しない手順の扱いとして可能な限り対応を行う想定とする。

(5) その他考慮事項

- a. 技術的能力の手順着手の判断基準に直接該当しない場合であっても、実施する手順が類似する場合にはその内容を参照する。
- b. 必要に応じて実施する長期的な対応等について可能となった時点での着手とする補助的な位置付けの対応であることから、有効性評価上は特別記載を行わない。

- c. 自動起動補機等、運転員の対応を必要としない手段については事故対応上で特記すべき事項を除き記載を行わない。
- d. 監視事項は多岐に亘るため、事故対応上で特記すべき事項を除き記載を行わない。

以上

有効性評価における安全機能の喪失に対する仮定について

表 1～4 に炉心損傷防止対策、格納容器破損防止対策、使用済燃料ピットの燃料損傷防止対策及び運転停止中の燃料損傷防止対策の有効性評価の各重要事故シーケンス等において、安全機能の喪失に対する仮定及び解析上考慮しない主な重大事故等対処設備の一覧を示す。

表1 炉心損傷防止対策の有効性評価における安全機能の喪失に対する仮定（1／2）

| 事故シーケンスグループ | 重要事故シーケンス | 安全機能の喪失に対する仮定 | 解析上考慮しない、 主な重大事故等対処設備 |
|------------------------|---|---|--------------------------|
| 2次冷却系からの除熱機能喪失 | 主給水流量喪失時に補助給水機能が喪失する事故 | ・補助給水系機能喪失 | — |
| 全交流動力電源喪失 | 外部電源喪失時に非常用所内交流電源が喪失し、原子炉補機冷却機能の喪失及びRCP シール LOCAが発生する事故 | ・非常用所内交流電源喪失 ・原子炉補機冷却機能喪失 ・B-充てんポンプ（自己冷却） | |
| 原子炉補機冷却機能喪失 | 外部電源喪失時に非常用所内交流電源が喪失し、原子炉補機冷却機能が喪失する事故 | ・非常用所内交流電源喪失 ・原子炉補機冷却機能喪失 ・B-充てんポンプ（自己冷却） | |
| 原子炉停止機能喪失 (主給水流量喪失) | 主給水流量喪失時に原子炉トリップ機能が喪失する事故 | ・原子炉停止機能喪失 | — |

表1 炉心損傷防止対策の有効性評価における安全機能の喪失に対する仮定（2／2）

| 事故シーケンスグループ | 重要事故シーケンス | 安全機能の喪失に対する仮定 | 解析上考慮しない、 主な重大事故等対処設備 |
|--|--|---|--------------------------|
| 原子炉停止機能喪失 (負荷の喪失) | 負荷の喪失時に原子炉トリップ 機能が喪失する事故 | ・原子炉停止機能喪失 | — |
| ECCS 注水機能喪失 | 中破断 LOCA 時に高压注入機能 が喪失する事故 | ・高压注入機能喪失 | ・充てんポンプ |
| ECCS 再循環機能喪失 | 大破断 LOCA 時に低压再循環機 能及び高压再循環機能が喪失す る事故 | ・ECCS 再循環機能喪失 | — |
| 格納容器バイパス (インタークエイシングシステム LOCA) | インタークエイシングシステム LOCA | ・余熱除去系入口隔離弁の誤開 又は破損が発生した側の余熱 除去機能喪失 | — |
| 格納容器バイパス (蒸気発生器伝熱管破損時に破 損側蒸気発生器の隔離に失敗す る事故) | 蒸気発生器伝熱管破損時に破損 側蒸気発生器の隔離に失敗する 事故 | ・主蒸気安全弁 1 個の開閉着 — | |

表2 格納容器破損防止対策の有効性評価における安全機能の喪失に対する仮定

| 格納容器破損モード | 評価事故シーケンス | 安全機能の喪失に対する仮定 | 解析上考慮しない、 主な重大事故等対処設備 |
|---|---|---|--|
| 雰囲気圧力・温度による静的負荷 (格納容器過圧破損) 原子炉圧力容器外の溶融燃料－ 冷却材相互作用 溶融炉心・コントリート相互作用 | 大破断 LOCA 時に低圧注入機能、高压注入機能及び格納容器ス プレイ注入機能が喪失する事故 | <ul style="list-style-type: none"> ・低压注入機能喪失 ・高压注入機能喪失 ・格納容器スプレイ注入機能要 失 ・外部電源喪失時に非常用所内 交流電源喪失 ・原子炉補機冷却機能喪失 | <ul style="list-style-type: none"> ・B-充てんボンブ（自己冷却） |
| 雰囲気圧力・温度による静的負荷 (格納容器過温破損) 高压溶融物放出／格納容器雰囲 気直接加熱 | 外部電源喪失時に非常用所内交 流電源が喪失し、補助給水機能が 喪失する事故 | <ul style="list-style-type: none"> ・外部電源喪失時に非常用所内 交流電源喪失 ・補助給水機能喪失 ・原子炉補機冷却機能喪失 | <ul style="list-style-type: none"> ・B-充てんボンブ（自己冷却） |
| 水素燃焼 | 大破断 LOCA 時に低圧注入機能 及び高压注入機能が喪失する事 故 | <ul style="list-style-type: none"> ・低压注入機能喪失 ・高压注入機能喪失 | <ul style="list-style-type: none"> ・格納容器水素イグナイタ ・充てんボンブ |

表3 使用済燃料ピットの燃料損傷防止対策の有効性評価における安全機能の喪失に対する仮定

| 想定事故 | 安全機能の喪失に対する仮定 | 解析上考慮しない、 主な重大事故等対処設備 |
|-------|---|--|
| 想定事故1 | 使用済燃料ピットの冷却機能又は注水機能が喪失することにより、使用済燃料ピット内の水の温度が上昇し、蒸発により水位が低下する事故 | <ul style="list-style-type: none"> ・ 使用済燃料ピット冷却機能喪失 ・ 使用済燃料ピット注水機能喪失 |
| 想定事故2 | サイフォン現象等により使用済燃料ピット内の水の小規模な喪失が発生し、使用済燃料ピットの水位が低下する事故 | <ul style="list-style-type: none"> ・ 使用済燃料ピット冷却機能喪失 ・ 使用済燃料ピット注水機能喪失 |

表4 運転停止中の燃料損傷防止対策の有効性評価における安全機能の喪失に対する仮定

| 事故シーケンスグループ | 重要事故シーケンス | 安全機能の喪失に対する仮定 | 解析上考慮しない、主な重大事故等対処設備 |
|---------------------------------|---|---|----------------------|
| 崩壊熱除去機能喪失(余熱除去系の故障による停止時冷却機能喪失) | 燃料取出前のミッドループ運転中に余熱除去機能が喪失する事故 | ・待機中の余熱除去系機能喪失 ・充てん機能喪失 ・高压注入機能喪失 | — |
| 全交流動力電源喪失 | 燃料取出前のミッドループ運転中に外部電源が喪失するとともに非常用所内交流電源が喪失し、原子炉補機冷却機能が喪失する事故 | ・非常用所内交流電源喪失 ・原子炉補機冷却機能喪失 | ・B-充てんポンプ(自己冷却) |
| 原子炉冷却材の流出 | 燃料取出前のミッドループ運転中に原子炉冷却材圧力バウンダリ機能が喪失する事故 | ・1次冷却材水位が1次冷却材配管の下端に到達した時点での余熱除去機能喪失 | — |
| 反応度の誤投入 | 原子炉起動時に、化学体積制御系の弁の誤動作等により原子炉へ純水が流入する事故 | — | — |

安全評価における A型燃料と B型燃料の取扱いについて

泊発電所 3 号炉では、炉心内で A型燃料と B型燃料を併用するが、安全評価^{*1}においては代表的に A型燃料を評価対象とする。

表 1 に示すように、A型燃料と B型燃料において燃料の主要な仕様に大きな差異はなく、核的、機械的、熱水力的に A型燃料と B型燃料の性能は同じように扱えることを確認している。運転時の異常な過渡変化及び設計基準事故においては、A型燃料及び B型燃料の熱水力特性がほぼ同じであり、また、炉心全体及び局所的な核特性が混在炉心ゆえに厳しくなることはない。これらの結果を考慮して、本発電用原子炉施設の重大事故等対策(設備、手順等)の有効性を確認するという重大事故等対策の有効性評価においても評価対象の燃料の種類は 1 つとし、代表的に A型燃料について評価を行う。

また、安全評価においては、A型ウラン・プルトニウム混合酸化物燃料の混在も考慮している。

* 1 運転時の異常な過渡変化、設計基準事故および重大事故等への対処に係る措置の有効性評価

表1 A型燃料とB型燃料の主要な燃料仕様（泊3号炉）

| | | ステップ2 | |
|--------------------|-----|------------|------------|
| | 単位 | A型 | B型 |
| ペレット | | | |
| 直径 | mm | 約 8.19 | 同左 |
| 初期密度 (理論密度における) | % | 約 97 | 同左 |
| 濃縮度 | wt% | 約 4.8 | 同左 |
| 燃料被覆管 | | | |
| 外径 | mm | 約 9.50 | 同左 |
| 厚さ | mm | 約 0.57 | 同左 |
| 被覆管-ペレット 間隙（直径） | mm | 約 0.17 | 同左 |
| 燃料集合体 | | | |
| 燃料棒配列 | | 17×17 | 同左 |
| 集合体当たりの 燃料棒本数 | | 264 | 同左 |
| 燃料棒初期 ヘリウム圧力 | MPa | [REDACTED] | [REDACTED] |
| 燃料棒ピッチ | mm | 約 12.6 | 同左 |
| 支持格子数 | | 9 | 同左 |



枠囲みの内容は機密情報に属しますので公開できません。

重大事故対策等の成立性確認内容について

成立性の確認において、特に現場作業で実施する作業項目に対して、「操作概要」「要員数」「作業に必要な操作時間」「操作の成立性（アクセス性、作業環境、操作性、連絡手段）」を示す。

操作の成立性を確認する上での、訓練実績は作業環境や操作性を考慮し、以下の通りとした。

- ・建屋内照明は、常用照明「切」にて実施
- ・運転員及び災害対策要員は、ヘッドライト及び懐中電灯を携行し運転操作を実施
- ・運転員の通話手段は、PHS 又は携行型通話装置を使用
- ・災害対策要員の通話手段は、PHS 又は携行型通話装置を使用
- ・操作時間に含まれる移動時間は、中央制御室から操作場所までの移動を考慮

別紙－1：電源確保作業に関する手順の成立性について

別紙－2：2次冷却系強制冷却操作に関する手順の成立性について

別紙－3：代替格納容器スプレイポンプ準備に関する手順の成立性について

別紙－4：被ばく低減操作及び加圧器逃がし弁開操作準備に関する手順の成立性について

別紙－5：蒸気発生器、使用済燃料ピットへの注水確保（海水）に関する手順の成立性について

別紙－6：燃料取替用水ピットへの補給（海水）に関する手順の成立性について

別紙－7：原子炉補機冷却水系統への通水確保（海水）に関する手順の成立性について

別紙－8：1次冷却材ポンプシール隔離操作に関する手順の成立性について

別紙－9：原子炉補機冷却水サージタンク加圧操作に関する手順の成立性について

電源確保作業に関する手順の成立性について

1. 非常用母線受電

(1) 操作概要

全交流動力電源喪失時において、代替電源として代替非常用発電機からの受電に必要な遮断器操作を実施する。



【図1 3B-安全補機開閉器室】



【図2 SA用代替電源受電B系 受電遮断器】

(2) 作業に必要な要員数

3名

(3) 作業に必要な操作時間（訓練実績、常用照明切で実施）

34分（移動時間含む）

（想定時間：45分）

(4) 操作の成立性

a. アクセス性は、以下の理由より問題ない。

- ・耐震性を有するアクセスルートを設定している。

- ・アクセスルートにはバッテリ内蔵照明を設置している。

- ・運転員及び災害対策要員は、ヘッドライト及び懐中電灯を携行している。

- b. 作業環境は、以下の理由より問題ない。
- ・安全補機開閉器室の室温は通常運転中と同程度である。
 - ・室内にはバッテリ内蔵照明を設置している。
 - ・運転員及び災害対策要員は、ヘッドライト及び懐中電灯を携行している。
- c. 操作性は、以下の理由より問題ない。
- ・通常操作する遮断器操作と同じである。
 - ・操作対象となる機器リストを携行している。
- d. 連絡手段は、以下の理由より問題ない。
- ・PHS を携帯している。
 - ・携行型通話装置を携行しており、PHS が使用できないときに使用する。



【図3 アクセスルートの一部】



【図4 操作風景】

以 上

2次冷却系強制冷却操作に関する手順の成立性について

1. 主蒸気逃がし弁開操作

(1) 操作概要

全交流動力電源喪失時において、2次冷却系強制冷却のために主蒸気逃がし弁を現場で開操作する。



【図1 3B－主蒸気逃がし弁】

(2) 作業に必要な要員数

3名

(3) 作業に必要な操作時間（訓練実績、常用照明切で実施）

12分（移動時間含む）

（想定時間：20分）

(4) 操作の成立性

a. アクセス性は、以下の理由より問題ない。

- ・耐震性を有するアクセスルートを設定している。
- ・アクセスルートにはバッテリ内蔵照明を設置している。
- ・運転員及び災害対策要員は、ヘッドライト及び懐中電灯を携行している。

b. 作業環境は、以下の理由より問題ない。

- ・主蒸気管室の室温は通常運転中と同程度である。
- ・室内にはバッテリ内蔵照明を設置している。
- ・運転員及び災害対策要員は、ヘッドライト及び懐中電灯を携行している。

c. 操作性は、以下の理由より問題ない。

- ・手動ハンドルで操作するにあたり足場を設置し操作性を確保している。
- ・操作対象弁を明確化している。

- d. 連絡手段は、以下の理由より問題ない。
- ・PHS を携帯している。
 - ・携行型通話装置を携行しており、PHS が使用できないときに使用する。



【図2 アクセスルートの一部】



【図3 3 B－主蒸気逃がし弁操作風景】

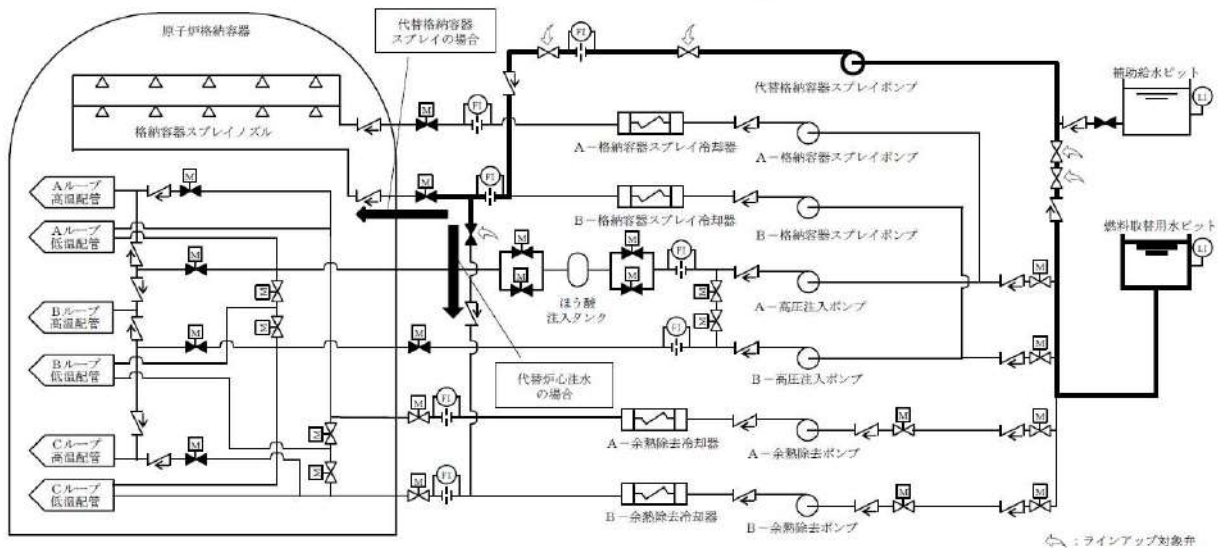
以 上

代替格納容器スプレイポンプ準備に関する手順の成立性について

1. 代替格納容器スプレイポンプラインアップ

(1) 操作概要

原子炉冷却材圧力バウンダリが低圧の状態時に代替格納容器スプレイポンプによる代替炉心注水を開始できるよう系統ラインアップを実施する。



【図1 代替格納容器スプレイポンプ概略系統】

(2) 作業に必要な要員数

2名

(3) 作業に必要な操作時間 (訓練実績、常用照明切で実施)

27分 (移動時間含む)

(想定時間 : 30分)

(4) 操作の成立性

a. アクセス性は、以下の理由より問題ない。

- ・耐震性を有するアクセスルートを設定している。
- ・アクセスルートにはバッテリ内蔵照明を設置している。
- ・運転員及び災害対策要員は、ヘッドライト及び懐中電灯を携行している。

b. 作業環境は、以下の理由より問題ない。

- ・周辺補機棟及び原子炉補助建屋の室温は通常運転中と同程度である。
- ・運転員及び災害対策要員は、ヘッドライト及び懐中電灯を携行している。

c. 操作性は、以下の理由より問題ない。

- ・通常操作する弁操作と同じである。
- ・弁操作補助具を配備している。
- ・ポンプ起動までの操作を分かりやすく示した手順を携行している。

d. 連絡手段は、以下の理由より問題ない。

- ・PHS を携帯している。
- ・携行型通話装置を携行しており、PHS が使用できないときに使用する。



【図2 アクセスルートの一部】

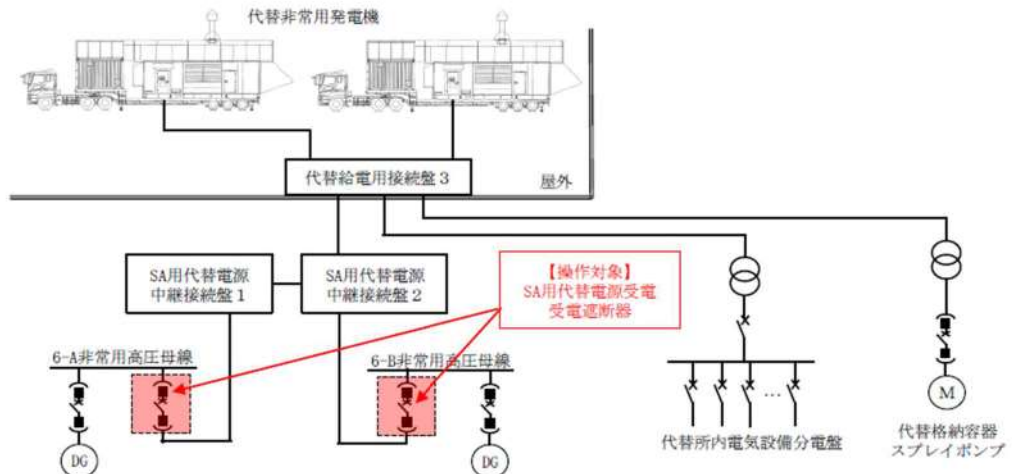


【図3 操作風景】

2. 代替格納容器スプレイポンプ電源投入

(1) 操作概要

原子炉冷却材圧力バウンダリが低圧の状態時に代替格納容器スプレイポンプによる代替炉心注水が開始できるよう非常用高圧母線より電源をポンプへ給電する。



【図4 代替格納容器スプレイポンプ電源系統概略図】

(2) 作業に必要な要員数

1名

(3) 作業に必要な操作時間 (訓練実績, 常用照明切で実施)

13分 (移動時間含む)
(想定時間 : 15分)

(4) 操作の成立性

- a. アクセス性は、以下の理由より問題ない。
 - ・耐震性を有するアクセスルートを設定している。
 - ・アクセスルートにはバッテリ内蔵照明を設置している。
 - ・運転員は、ヘッドライト及び懐中電灯を携行している。
- b. 作業環境は、以下の理由より問題ない。
 - ・原子炉補助建屋の室温は通常運転中と同程度である。
 - ・運転員は、ヘッドライト及び懐中電灯を携行している。
- c. 操作性は、以下の理由より問題ない。
 - ・ポンプ起動までの操作を分かりやすく示した手順を携行している。

d. 連絡手段は、以下の理由より問題ない。

- ・PHS を携帯している。
- ・携行型通話装置を携行しており、PHS が使用できないときに使用する。



【図5 アクセスルートの一部】



【図6 操作風景】

以 上

3. 代替格納容器スプレイポンプ起動～注水開始

(1) 操作概要

原子炉冷却材圧力バウンダリが低圧の状態時に代替格納容器スプレイポンプによる代替炉心注水を開始する。



【図7 代替格納容器スプレイポンプ】



【図8 操作風景】

(2) 作業に必要な要員数

1名

(3) 作業に必要な操作時間（訓練実績、常用照明切で実施）

3分（移動時間含む）
(想定時間：5分)

(4) 操作の成立性

- a. アクセス性は、以下の理由より問題ない。
 - ・耐震性を有するアクセスルートを設定している。
 - ・アクセスルートにはバッテリ内蔵照明を設置している。
 - ・運転員は、ヘッドライト及び懐中電灯を携行している。
- b. 作業環境は、以下の理由より問題ない。
 - ・周辺補機棟の室温は通常運転中と同程度である。
 - ・運転員は、ヘッドライト及び懐中電灯を携行している。
- c. 操作性は、以下の理由より問題ない。
 - ・通常操作する弁操作と同じである。
 - ・ポンプ起動までの操作を分かりやすく示した手順を携行している。
- d. 連絡手段は、以下の理由より問題ない。
 - ・PHS を携帯している。
 - ・携行型通話装置を携行しており、PHS が使用できないときに使用する。

以 上

被ばく低減操作及び加圧器逃がし弁開操作準備
に関する手順の成立性について

1. アニュラス空気浄化系空気作動弁及びダンパへの代替空気供給操作

(1) 操作概要

全交流動力電源喪失時において、炉心損傷時の被ばく低減及び水素爆発防止のため、アニュラス空気浄化ファンを起動するためのアニュラス空気浄化系空気作動弁及びダンパ駆動用の窒素供給操作を行う。



【図1 アニュラス全量排気弁等操作用可搬型窒素ガスボンベ】

(2) 作業に必要な要員数

2名

(3) 作業に必要な操作時間（訓練実績、常用照明切で実施）

15分（移動時間含む）

（想定時間：20分）

(4) 操作の成立性

a. アクセス性は、以下の理由より問題ない。

- ・耐震性を有するアクセスルートを設定している。

- ・アクセスルートにはバッテリ内蔵照明を設置している。

- ・運転員及び災害対策要員は、ヘッドライト及び懐中電灯を携行している。

b. 作業環境は、以下の理由より問題ない。

- ・周辺補機棟の室温は通常運転中と同程度である。

- ・運転員及び災害対策要員は、ヘッドライト及び懐中電灯を携行している。

c. 操作性は、以下の理由より問題ない。

- ・通常操作する弁操作と同じである。

- ・操作用専用工具を配備している。

- ・操作対象となる機器リストを携行している。

d. 連絡手段は、以下の理由より問題ない。

- ・PHS を携帯している。
- ・携行型通話装置を携行しており、PHS が使用できないときに使用する。



【図2 アクセスルートの一部】



【図3 操作風景】

以 上

2. 加圧器逃がし弁開操作準備

(1) 操作概要

原子炉冷却材圧力バウンダリの減圧設備として、加圧器逃がし弁の開操作準備を実施するため、駆動用の窒素供給操作を行う。



【図4 加圧器逃がし弁操作用可搬型窒素ガスポンベ】

(2) 作業に必要な要員数

2名

(3) 作業に必要な操作時間（訓練実績、常用照明切で実施）

21分（移動時間含む）
(想定時間：30分)

(4) 操作の成立性

- a. アクセス性は、以下の理由より問題ない。
 - ・耐震性を有するアクセスルートを設定している。
 - ・アクセスルートにはバッテリ内蔵照明を設置している。
 - ・運転員及び災害対策要員は、ヘッドライト及び懐中電灯を携行している。
- b. 作業環境は、以下の理由より問題ない。
 - ・周辺補機棟の室温は通常運転中と同程度である。
 - ・運転員及び災害対策要員は、ヘッドライト及び懐中電灯を携行している。
- c. 操作性は、以下の理由より問題ない。
 - ・通常操作する弁操作と同じである。
 - ・操作用専用工具を配備している。
 - ・操作対象となる機器リストを携行している。

d. 連絡手段は、以下の理由より問題ない。

- ・PHS を携帯している。
- ・携行型通話装置を携行しており、PHS が使用できないときに使用する。



【図5 アクセスルートの一部】



【図6 操作風景】

以 上

蒸気発生器、使用済燃料ピットへの注水確保(海水)
に関する手順の成立性について

1. 可搬型大型送水ポンプ車の配備（保管場所からの移動、可搬型ホースの敷設）

(1) 操作概要

蒸気発生器、使用済燃料ピットへの注水作業に用いる可搬型大型送水ポンプ車、可搬型ホース等の資機材を保管場所から移動させ、取水箇所から給水箇所へホースを延長し、接続作業を行った上で注水を行う。



【図1 可搬型大型送水ポンプ車】



【図2 可搬型ホース接続】

(2) 作業に必要な要員数

| | |
|----------------|----|
| 蒸気発生器への給水確保 | 6名 |
| 使用済燃料ピットへの給水確保 | 8名 |

(3) 作業に必要な操作時間（訓練実績）

| | |
|------------------------|---------|
| 作業時間（想定時間）：蒸気発生器への給水確保 | 3時間 20分 |
| 使用済燃料ピットへの給水確保 | 3時間 20分 |
| 作業時間（実績時間）：蒸気発生器への給水確保 | 2時間 40分 |
| 使用済燃料ピットへの給水確保 | 2時間 40分 |

(4) 操作の成立性

- a. アクセス性は、以下の理由により問題ない。

- ・夜間においても、ヘッドライト及び懐中電灯を携行している。
- ・可搬型大型送水ポンプ車等の資機材保管場所、運搬ルート、設置エリアにはアクセスする上で支障となる設備はない。

- b. 作業環境は、以下の理由により問題ない。

- ・可搬型大型送水ポンプ車等の資機材保管場所、運搬ルート、設置エリアには作業を行う上で支障となる設備はない。
- ・災害対策要員は、ヘッドライト及び懐中電灯を携行しており、作業の実施は可能である。

- c. 操作性は、以下の理由により問題ない。

- ・資機材の運搬、敷設作業は一般的な作業であり、容易に実施可能であり、災害対策要員については必要な訓練を継続的に実施している。

- d. 連絡手段は、以下の理由により問題ない。

- ・通常時の通信手段として、PHSを携帯している。
- ・通常の通信手段が不通となった場合でも、必要な連絡を行える手段として、衛星電話設備（携帯型）を持参している。
- ・災害対策要員間の通信手段として、無線連絡設備（携帯型）にて通話可能である。

以上

燃料取替用水ピットへの補給(海水)
に関する手順の成立性について

1. 可搬型大型送水ポンプ車の配備（保管場所からの移動、可搬型ホースの敷設）

(1) 操作概要

燃料取替用水ピットへの給水作業に用いる可搬型大型送水ポンプ車、可搬型ホース等の資機材を保管場所から移動させ、取水箇所から給水箇所へホースを延長し、接続作業を行った上で注水を行う。



【図1 可搬型大型送水ポンプ車】



【図2 可搬型ホース接続】

(2) 作業に必要な要員数

6名

(3) 作業に必要な操作時間（訓練実績、常用照明切で実施）

作業時間（想定時間）：3時間20分

作業時間（実績時間）：2時間40分

(4) 操作の成立性

a. アクセス性は、以下の理由により問題ない。

- ・夜間は、ヘッドライト及び懐中電灯を携行している。

- ・可搬型大型送水ポンプ車等の資機材保管場所、運搬ルート、設置エリアにはアクセスする上で支障となる設備はない。

b. 作業環境は、以下の理由により問題ない。

- ・可搬型大型送水ポンプ車等の資機材保管場所、運搬ルート、設置エリアには作業を行う上で支障となる設備はない。

- ・災害対策要員は、ヘッドライト及び懐中電灯を携行しており、作業の実施は可能である。

c. 操作性は、以下の理由により問題ない。

- ・資機材の運搬、敷設作業は一般的な作業であり、容易に実施可能であり、災害対策要員については必要な訓練を継続的に実施している。

d. 連絡手段は、以下の理由により問題ない。

- ・通常時の通信手段として、PHSを携帯している。

- ・通常の通信手段が不通となった場合でも、必要な連絡を行える手段として、衛星電話設備（携帯型）を持参している。

- ・災害対策要員間の通信手段として、無線連絡設備（携帯型）にて通話可能である。

以上

原子炉補機冷却水系統への通水確保(海水)
に関する手順の成立性について

1. 格納容器再循環ユニット通水ラインアップ、可搬型大型送水ポンプ車起動準備

(1) 操作概要

全交流動力電源喪失時において、格納容器内自然対流冷却用海水の供給、原子炉補機冷却系統への海水供給のため、海水を水源とした可搬型大型送水ポンプ車による通水作業の準備を行う。



【図1 可搬型大型送水ポンプ車】



【図2 可搬型ホース接続】



【図3 原子炉補機冷却水系統の可搬型ホース接続口】

(2) 作業に必要な要員数
6名

(3) 作業に必要な操作時間（訓練実績、常用照明切で実施）

作業時間（想定時間）：4時間10分

作業時間（実績時間）：**3時間20分**

(4) 操作の成立性

- a. アクセス性は、以下の理由により問題ない。
 - ・夜間においては、ヘッドライト及び懐中電灯を携行している。
 - ・可搬型大型送水ポンプ車等の資機材保管場所、運搬ルート、設置エリアにはアクセスする上で支障となる設備はない。
- b. 作業環境は、以下の理由により問題ない。
 - ・可搬型大型送水ポンプ車等の資機材保管場所、運搬ルート、設置エリアには作業を行う上で支障となる設備はない。
 - ・災害対策要員は、ヘッドライト及び懐中電灯を携行しており、作業の実施は可能である。
- c. 操作性は、以下の理由により問題ない。
 - ・資機材の運搬、敷設作業は一般的な作業であり、容易に実施可能であり、災害対策要員については必要な訓練を継続的に実施している。
- d. 連絡手段は、以下の理由により問題ない。
 - ・通常時の通信手段として、PHS を携帯している。
 - ・通常の通信手段が不通となった場合でも、必要な連絡を行える手段として、衛星電話設備（携帯型）を持参している。
 - ・災害対策要員間の通信手段として、無線連絡設備（携帯型）にて通話可能である。

以 上

1次冷却材ポンプシール隔離操作に関する手順の成立性について

1. 1次冷却材ポンプ封水戻り隔離弁等閉止

(1) 操作概要

全交流動力電源喪失時において、1次冷却材ポンプシール故障による1次冷却材漏えいを防止するために1次冷却材ポンプシールラインの隔離弁を現場で閉止する。



【図1 3A-1次冷却材ポンプ封水注入ラインC/V外側隔離弁】

(2) 作業に必要な要員数

2名

(3) 作業に必要な操作時間（訓練実績、常用照明切で実施）

43分（移動時間含む）

（想定時間：60分）

(4) 操作の成立性

a. アクセス性は、以下の理由より問題ない。

- ・耐震性を有するアクセスルートを設定している。

- ・アクセスルートにはバッテリ内蔵照明を設置している。

- ・運転員及び災害対策要員は、ヘッドライト及び懐中電灯を携行している。

b. 作業環境は、以下の理由より問題ない。

- ・作業エリアの室温は通常運転中と同程度である。

- ・運転員及び災害対策要員は、ヘッドライト及び懐中電灯を携行している。

c. 操作性は、以下の理由より問題ない。

- ・通常操作する電動弁の手動操作と同じである。

- ・操作対象弁を明確化している。

d. 連絡手段は、以下の理由より問題ない。

- ・PHS を携帯している。
- ・携行型通話装置を携行しており、PHS が使用できないときに使用する。



【図2 アクセスルートの一部】



【図3 3B-1次冷却材ポンプ封水注入ラインC/V外側隔離弁操作風景】

以 上

原子炉補機冷却水サージタンク加圧操作に関する手順の成立性について

1. 原子炉補機冷却水サージタンク加圧操作

(1) 操作概要

原子炉格納容器の減圧手段として格納容器再循環ユニットを用いるにあたり、原子炉補機冷却水の沸騰を防止するための窒素加圧を実施する。



【図1 原子炉補機冷却水サージタンク加圧用可搬型窒素ガスポンベ】

(2) 作業に必要な要員数

2名

(3) 作業に必要な操作時間（訓練実績、常用照明切で実施）

41分（移動時間含む）

（想定時間：60分）

(4) 操作の成立性

a. アクセス性は、以下の理由より問題ない。

- ・耐震性を有するアクセスルートを設定している。
- ・アクセスルートにはバッテリ内蔵照明を設置している。
- ・運転員は、ヘッドライト及び懐中電灯を携行している。

b. 作業環境は、以下の理由より問題ない。

- ・作業エリアの室温は通常運転中と同程度である。
- ・運転員は、ヘッドライト及び懐中電灯を携行している。

c. 操作性は、以下の理由より問題ない。

- ・通常操作する弁操作と同じである。
- ・操作対象弁を明確化している。

- d. 連絡手段は、以下の理由より問題ない。
- ・PHS を携帯している。
 - ・携行型通話装置を携行しており、PHS が使用できないときに使用する。



【図2 アクセスルートの一部】



【図3 原子炉補機冷却水サージタンク加圧操作風景】

以 上

シビアアクシデント解析に係る当社の関与について

有効性評価のうち、シビアアクシデント解析業務はプラントメーカに委託しているものの、解析結果の活用に当たっては、以下のとおり当社としても積極的に関与し、解析業務の適切性を確認している。

- 解析コードの実機適用性に当たっては、プラントメーカとの共同研究等により、プラントメーカと一緒に検討を進めており、報告会等を通じて当社の意見を反映している。なお、有効性評価に使用している解析コード開発時の当社の関与について、表1に示す。
- 解析業務委託に当たっては、当社よりプラントメーカに対して「原子力施設における許認可申請等に係る解析業務の品質向上ガイドライン」※¹（平成26年3月 原子力技術協会）に基づいて、それまでの経験等を反映した社内マニュアルにしたがって要員の教育、計算機プログラムの検証、入力根拠の明確化等、必要な品質保証活動の実施を要求している。
- これに加えて、当社がプラントメーカに赴き、上記の要求事項が適切に実施されていることを確認している。
- 解析結果については、既往の解析結果と比較すること等により妥当性を確認している。

なお、シビアアクシデントについては、今後も不確実さを含む現象などに対する継続的な検討を進め、更なる知見の拡充に努めていく。

【参考】シビアアクシデント解析の活用例

- シビアアクシデント解析結果を用いたアクシデントマネジメントガイドライン（AMG）の整備。これに基づく教育・訓練の実施。
- 今回の有効性評価等を踏まえた改善等を行い、継続的に教育、訓練を実施している。また、更なる運転員の教育のため、自社のシミュレータ及び原子力発電訓練センター（NTC）におけるシミュレータを活用し、シビアアクシデント挙動の把握・対応能力向上に努めている。
- シビアアクシデント解析に主体的に関与することを目的に MAAP※² コードを導入している。
- 福島第一原子力発電所事故を踏まえ、炉心損傷や格納容器破損などのシビアアクシデントに対する教育を充実するために、MAAP コードをベースとした炉心損傷や格納容器破損までのプラント挙動等を理解する評価ツールを導入しており、発電所対策本部要員等を対象とした教育を実施し、シビアアクシデントの挙動に関する知識の向上を図ることとしている。

►評価ツールに表示される事故時のパラメータから、プラント状況を判断し、アクシデントマネジメントガイドラインを用いて影響緩和策を決定する机上演習を実施し、判断能力の向上に努めていく。

※1：原子力施設の許認可申請等における解析業務の品質向上のために、発注者（事業者）と受注者（解析者）における解析業務に係る品質保証活動としての実施事項について、各社の管理プロセスとして自主的に取り組むべき内容を明確化したもの。

※2：EPRI によって開発されたコード

表1 有効性評価に使用している解析コード／評価手法の開発に係る当社の関与

| コード | 共同研究実績 | |
|-----------|-------------|---|
| M-RELAP5 | 平成 17～18 年度 | 新 Non-LOCA 解析手法の実機適用研究 |
| SPARKLE-2 | 平成 19～20 年度 | 新 Non-LOCA 解析手法を用いた反応度投入事象に関する評価指針解析への適合性に関する研究 他 |
| MAAP | 昭和 62 年度 | シビアアクシデントの評価に関する研究 |
| | 昭和 63～平成元年度 | シビアアクシデントの評価に関する研究（その 2）他 |
| GOTHIC | 平成 10～11 年度 | 格納容器内圧評価手法の高度化に関する研究 |
| | 平成 18 年度 | 多区画内圧評価手法の実機適用化に関する研究 |
| COCO | 平成 2 年度 | 最適安全解析コード及び評価手法の開発（ステップ 4） |

重大事故等対策の有効性評価の一般データ（事象共通データ）

- (1) 一般
- (2) 炉心データ
- (3) 燃料データ
- (4) 加圧器及び弁関連データ
- (5) 蒸気発生器関連データ
- (6) 1次冷却材ポンプ (RCP) 関連データ
- (7) 原子炉格納容器関連データ
- (8) 原子炉制御設備
- (9) 燃料取替用水ピット

第1表 システム熱水力解析用データ

| 名 称 | 数 値 | 解析上の取り扱い |
|--------------------------------------|--------------------------------|----------------------------|
| (1) 一般 | | |
| 1) 炉心熱出力 | $2,652 \times 1.02\text{MW}$ | 定格値+定常誤差(※1) |
| 2) ループ数 | 3 | 設計値 |
| 3) ループ全流量 | $60,600\text{m}^3/\text{h}$ | 設計値 |
| 4) 1次冷却材圧力 | $15.41+0.21\text{MPa}$ [gage] | 定格値+定常誤差(※1) |
| 5) 1次冷却材温度 | $306.6+2.2^\circ\text{C}$ | 定格値+定常誤差(※1) |
| 6) 原子炉容器入口温度 | 288°C | 設計値 |
| 7) 原子炉容器出口温度 | 325°C | 設計値 |
| 8) 上部ヘッド温度 | ■ | 設計値 |
| 9) 1次冷却材容積 | 273 m^3 (内訳は第2表参照) | 設計値、SG プラグ率 10%を考慮 |
| 10) 流路形状データ（水力的等価直径、流路断面積、流路長さ、流路高さ） | 第3表、第4表及び第1図～第5図参照 | 設計値 |
| 11) 圧力損失データ | 第5表参照 | 設計値 |
| 12) 炉心崩壊熱 | AESJ 推奨値+ORIGEN-2 | 最大値(炉心運用の包絡値) |
| (2) 炉心データ | | |
| 1) 冷却材炉心流量 | | |
| i) 炉心流量 | 93.5% | 設計値 |
| ii) バイパス流量 | ■ % | 設計値 |
| iii) 原子炉容器頂部 バイパス流量 | ■ % | 設計値 |
| 2) 炉心流路面積 | ■ m^2 | 設計値 |
| 3) 実効熱伝達面積 | $4.515 \times 10^3\text{ m}^2$ | 設計値 |
| 4) 即発中性子寿命 | $21\mu\text{s}$ | 最大値(炉心運用の包絡値) |
| 5) 遅発中性子割合 | 0.75% | 最大値(炉心運用の包絡値) |
| 6) 減速材密度係数 | 第6図参照 | 最小値(炉心運用の包絡値)(※1) |
| 7) ドップラ係数 | 第7図参照 | 最大値【絶対値】(炉心運用の包絡値) (※1) |
| 8) トリップ反応度曲線 | 第8図参照 | 最小値(炉心運用の包絡値) |

■枠囲みの内容は機密情報に属しますので公開できません。

| 名 称 | 数 値 | 解析上の取り扱い |
|-----------------|---------------------------------|--|
| (3) 燃料データ | | |
| 1) 燃料集合体数 | 157 | 設計値 |
| 2) 集合体あたりの燃料棒数 | 264 | 設計値 |
| 3) 燃料棒配列 | 17×17 | 設計値 |
| 4) 燃料棒ピッチ | 1.26cm | 設計値 |
| 5) 燃料棒有効長 | 3.648m | 設計値 |
| 6) 被覆管外径 | 0.950cm | 設計値 |
| 7) 被覆管肉厚 | 0.057cm | 設計値 |
| 8) ペレット直径 | 0.819cm | 設計値 |
| 9) ギャップ幅 | 0.0085cm | 設計値 |
| 10) 燃料棒発熱割合 | 97.4% | 設計値 |
| 11) ペレット密度 | 理論密度の約 97% | 設計値 |
| 12) 濃縮度 | 4.8wt%以下 | 設計値 |
| (4) 加圧器及び弁関連データ | | |
| 1) 加圧器水位 | 65%体積 | 加圧器保有水量の初期値は、全出力運転状態における保有水量として 65% 体積とする |
| 2) 加圧器逃がし弁データ | | |
| i 容量及び個数 | 95 t/h (1 個当たり)、2 個 | 設計値 |
| ii 設定圧力 | □ MPa[gage] ロックアップ : □ MPa | 設計値 |
| 3) 主蒸気逃がし弁データ | | |
| i 容量及び個数 | 定格主蒸気流量の 10% 1 個 (ループ当たり) | 設計値 設計値 |
| ii 設定圧力 | □ MPa[gage] ロックアップ : □ MPa | 設計値 |
| 4) 加圧器安全弁データ | | |
| i 容量及び個数 | 157 t/h (1 個当たり)、3 個 | 設計値 |
| ii 設定圧力 | □ MPa[gage] 全開 : □ MPa[gage] | 設計値 □ 設計値に余裕を考慮した高めの値 (弁作動開始から全開までを □ で模擬) |
| 5) 主蒸気安全弁データ | | |
| i 容量及び個数 | 定格主蒸気流量の 100% 5 個 (ループ当たり) | 設計値 設計値 (1 個当たり定格主蒸気流量の 20%) |

□ 枠囲みの内容は機密情報に属しますので公開できません。

| 名 称 | 数 値 | 解析上の取り扱い |
|---------------------------|---|---|
| ii 設定圧力 | 第 1 段 : [] MPa[gage] 全開 : [] MPa[gage] 第 2 段 : [] MPa[gage] 全開 : [] MPa[gage] 第 3 段 : [] MPa[gage] 全開 : [] MPa[gage] | 設計値 []、1 個/ループ 設計値に余裕を考慮した高めの値 設計値 []、1 個/ループ 設計値に余裕を考慮した高めの値 設計値 []、3 個/ループ 設計値に余裕を考慮した高めの値 (段毎に、弁作動開始から全開までを [] で模擬) |
| (5) 蒸気発生器関連データ | | |
| 1) 伝熱管本数 | 3,047 本 (1 基当たり) | 設計値、SG プラグ率 10% を考慮 |
| 2) 伝熱管外径 | 22.2 mm | 設計値 |
| 3) 伝熱管厚さ | 1.3 mm | 設計値 |
| 4) 伝熱面積 | $4.55 \times 10^3 \text{ m}^2$ (1 基当たり) | 設計値、SG プラグ率 10% を考慮 |
| 5) 伝熱管材質 | TT690 | 設計値 |
| 6) 伝熱管長さ | [] m | 設計値 |
| 7) 伝熱管配列 (ピッチ) | 32.5 mm | 設計値 |
| 8) 伝熱管流路面積 | [] m ² (1 基当たり) | 設計値、SG プラグ率 10% を考慮 |
| 9) 主給水流量 (初期) | [] | 設計値 (102% 出力時) (※1) |
| 10) 主蒸気流量 (初期) | [] | 設計値 (102% 出力時) (※1) |
| 11) 2 次側圧力 | [] MPa[gage] | 102% 出力時 + 定常誤差考慮 (※1) |
| 12) 蒸気発生器 2 次側水位 | 44% (狭域水位スパン) | 設計値 |
| 13) 蒸気発生器 2 次側保有水量 | 50 t (1 基当たり) | 設計値 |
| 14) 循環比 | 4 | 設計値 |
| (6) 1 次冷却材ポンプ (RCP) 関連データ | | |
| 1) ポンプ回転数 | 1,500 rpm | 設計値 |
| 2) ポンプ揚程 | [] m | 設計値 |
| 3) RCP 定格トルク | $2.77 \times 10^3 \text{ kgf} \cdot \text{m}$ | 設計値 |
| 4) 慣性モーメント | $2,800 \text{ kg} \cdot \text{m}^2$ | 設計値 |
| 5) ポンプホモロガス曲線 | 第 9 図参照 | 設計値 |
| 6) RCP 定格体積流量 | $20,200 \text{ m}^3/\text{h}$ /ループ | 設計値 |
| 7) 冷却材定格密度 | 750 kg/m^3 | 設計値 |
| 8) RCP 摩擦トルク係数(K) | [] | 設計値 |

[] 框囲みの内容は機密情報に属しますので公開できません。

| 名 称 | 数 値 | 解析上の取り扱い |
|------------------|--------------------------------|----------------------------|
| (7) 原子炉格納容器関連データ | | (※2) |
| 1) 格納容器内自由体積 | 65,500m ³ | 最小値（設計値に余裕を考慮した値） |
| 2) 初期温度 | 49°C | 設計値 |
| 3) 初期圧力 | 9.8kPa[gage] | 設計値 |
| 4) ヒートシンク | 第6表参照 | 最小値（設計値に余裕を考慮した値） |
| 5) 格納容器再循環ユニット | | |
| i 容量 | 第10図参照 | 設計値 |
| ii 個数 | 2台 | 設計値 |
| (8) 原子炉制御設備 | | |
| 1) 制御棒制御系 | 制御棒制御系（制御グループ） | 作動を仮定しない |
| 2) ほう素濃度制御系 | 化学体積制御設備 | 作動を仮定しない |
| 3) 加圧器圧力制御系 | 加圧器スプレイ弁 加圧器逃がし弁 加圧器ヒーター | 作動を仮定しない（加圧器逃がし弁は自動作動）（※3） |
| 4) 加圧器水位制御系 | 化学体積制御設備 | 作動を仮定しない（※3） |
| 5) 給水制御系 | 主給水制御弁の開度調整 | 作動を仮定しない（※3） |
| 6) タービンバイパス制御系 | タービンバイパス制御系 | 作動を仮定しない |
| 7) 主蒸気逃がし弁制御系 | 主蒸気逃がし弁 | 主蒸気逃がし弁は自動作動 |
| (9) 燃料取替用水ピット | | |
| 1) 容量 | 2,000m ³ | 設計値 |
| 2) ほう素濃度 | 3,200ppm | 設計値 |

(※1) 「原子炉停止機能喪失」では個別に設定（個別事象の説明に別途整理）

(※2) 「水素燃焼」では個別に設定（個別事象の説明に別途整理）

(※3) 「格納容器バイパス（蒸気発生器伝熱管破損）」では自動作動

(※4) 以下については、個別事象の説明に別途整理

- ・安全保護系の設定点、作動限界値及び応答時間

- ・原子炉冷却材喪失時の破断位置、破断口径

第2表 1次冷却系各部冷却材容積

| 名称 | 容 積 (m ³) |
|------------------------|-----------------------|
| 炉心 | |
| 上部プレナム | |
| 下部プレナム | |
| ダウンカマ | |
| バレル・バッフル領域 | |
| 原子炉容器頂部 | |
| 高温側配管 | |
| 蒸気発生器プレナム | |
| 蒸気発生器伝熱管 (SG プラグ率 10%) | |
| 蒸気発生器-ポンプ間配管 | |
| 低温側配管 | |
| 加圧器液相部 | |
| 加圧器サージ管 | |
| 合 計 (SG プラグ率 10%) | 273 |

■枠囲みの内容は機密情報に属しますので公開できません。

第3表 原子炉容器内寸法

| 番号 | 名称 | 寸法 (m) |
|----|-----------------------|------------|
| A | 原子炉容器フランジ面より上部炉心板下端まで | [REDACTED] |
| B | 上部炉心板下端よりダウンカマ下端まで | [REDACTED] |
| C | 上部炉心板下端より下部炉心板上端まで | 4.1 |
| D | 原子炉容器フランジ面より入口ノズル中央まで | [REDACTED] |
| E | 炉心そう外径 | [REDACTED] |
| F | 原子炉容器内径 | [REDACTED] |
| G | 入口ノズル内径 | [REDACTED] |
| H | 出口ノズル内径 | [REDACTED] |
| I | 炉心そう内径 | 3.4 |
| J | 原子炉容器本体肉厚 | [REDACTED] |
| K | 原子炉容器クラッド肉厚 | [REDACTED] |
| L | 燃料発熱部下端より下部炉心板上端まで | [REDACTED] |

[REDACTED] 枠囲みの内容は機密情報に属しますので公開できません。

第4表 形状データ（各領域の水力学的等価直径、流路面積）

| 名称 | 水力学的等価直径 (m) | 流路断面積 (m ²) |
|------------------|-----------------|----------------------------|
| ・原子炉容器内 | | |
| 入口ノズル（1体当たり） | | |
| スプレイノズル | | |
| ダウンカマ | | |
| 下部プレナム | | |
| 炉心有効発熱長間 | | |
| 炉心バイパス | | |
| 上部プレナム | | |
| ガイドチューブ | | |
| 出口ノズル（1体当たり） | | |
| ・1次冷却材配管（1ループ分） | | |
| ホットレグ | | |
| クロスオーバーレグ | | |
| コールドレグ | | |
| ・1次冷却材ポンプ（1基当たり） | | |
| ・蒸気発生器1次側（1基当たり） | | |
| 入口プレナム | | |
| 伝熱管（SG プラグ率 10%） | | |
| 出口プレナム | | |
| ・蒸気発生器2次側 | | |
| ダウンカマ部 | | |
| 加熱部 | | |
| ライザ一部 | | |
| 1次気水分離器 | | |
| 蒸気ドーム部 | | |
| 主蒸気配管 | | |
| ・加圧器 | | |
| 本体 | | |
| サージ管 | | |

■ 枠囲みの内容は機密情報に属しますので公開できません。

第5表 1次冷却系各部圧力損失(全出力時)

| 名 称 | 圧力損失 (MPa) |
|-----------------------------|------------|
| 原子炉容器(入口ノズル～出口ノズル間) | |
| 蒸気発生器入口～出口 (SG プラグ率 10%) | |
| ループ配管 | |
| 蒸気発生器2次側 | |

■ 框囲みの内容は機密情報に属しますので公開できません。

第6表 原子炉格納容器ヒートシンクデータ (1/3)

| | | 表面積 (m ²) | 板厚 (mm) |
|------|--------------------------|-----------------------|---------|
| (1) | CV ドーム部 | | |
| (2) | CV シリンダ部 | | |
| (3) | CV コンクリート(1) | | |
| (4) | CV コンクリート(2) | | |
| (5) | スチールラインドコンクリート(1) | | |
| (6) | スチールラインドコンクリート(2) | | |
| (7) | スチールラインドコンクリート(3) | | |
| (8) | スチールラインドコンクリート(4) | | |
| (9) | 雑鋼材(1) . . . 炭素鋼 (厚さで分類) | | |
| (10) | 雑鋼材(2) . . . 炭素鋼 (厚さで分類) | | |
| (11) | 雑鋼材(3) . . . 炭素鋼 (厚さで分類) | | |
| (12) | 雑鋼材(4) . . . 炭素鋼 (厚さで分類) | | |
| (13) | 雑鋼材(5) . . . 炭素鋼 (厚さで分類) | | |
| (14) | 雑鋼材(6) . . . ステンレス・スチール | | |
| (15) | 雑鋼材(7) . . . 銅フィン・チューブ | | |
| (16) | 配管(1) ステンレス・スチール (内部に水有) | | |
| (17) | 配管(2) ステンレス・スチール (内部に水無) | | |
| (18) | 配管(3) 炭素鋼 (内部に水有) | | |
| (19) | 配管(4) 炭素鋼 (内部に水無) | | |
| (20) | 検出器等…アルミニウム | | |

(注1) 上段は鋼材、下段はコンクリートを示す。

(注2) 本ヒートシンクデータは、安全解析で一般的に使用されるデータを代表的に示したものであり、重大事故等対策の有効性評価では、全交流動力電源喪失 (RCP シール LOCA が発生する場合) を対象とした有効性評価のうち、COCO コードを用いた原子炉格納容器内圧解析に使用されるものである。

[] 桁組みの内容は機密情報に属しますので公開できません。

第6表 原子炉格納容器ヒートシンクデータ（2／3）

| 区画室 | 名称 | 表面積 (m ²) | 体積 (m ³) |
|------------|----------------|-----------------------|----------------------|
| 原子炉下部キャビティ | コンクリート | | |
| | スチールラインドコンクリート | | |
| 下部区画 | コンクリート | | |
| | スチールラインドコンクリート | | |
| 上部区画 | コンクリート | | |
| | スチールラインドコンクリート | | |
| | 格納容器本体 | | |
| 外周部 | コンクリート | | |
| | スチールラインドコンクリート | | |
| | 格納容器本体 | | |
| 最下階領域 | コンクリート | | |
| | スチールラインドコンクリート | | |

(注1) スチールラインドコンクリートの体積は、上段が金属(ライナー)、下段が合計の体積である。

(注2) 本ヒートシンクデータは、重大事故等対策の有効性評価のうち、原子炉格納容器の除熱機能喪失、ECCS 再循環機能喪失、雰囲気圧力・温度による静的負荷(格納容器過圧破損・格納容器過温破損)、高压溶融物放出／格納容器雰囲気直接加熱、原子炉圧力容器外の溶融燃料－冷却材相互作用、溶融炉心・コンクリート相互作用を対象とする MAAP コードを用いた評価に使用されるものである。

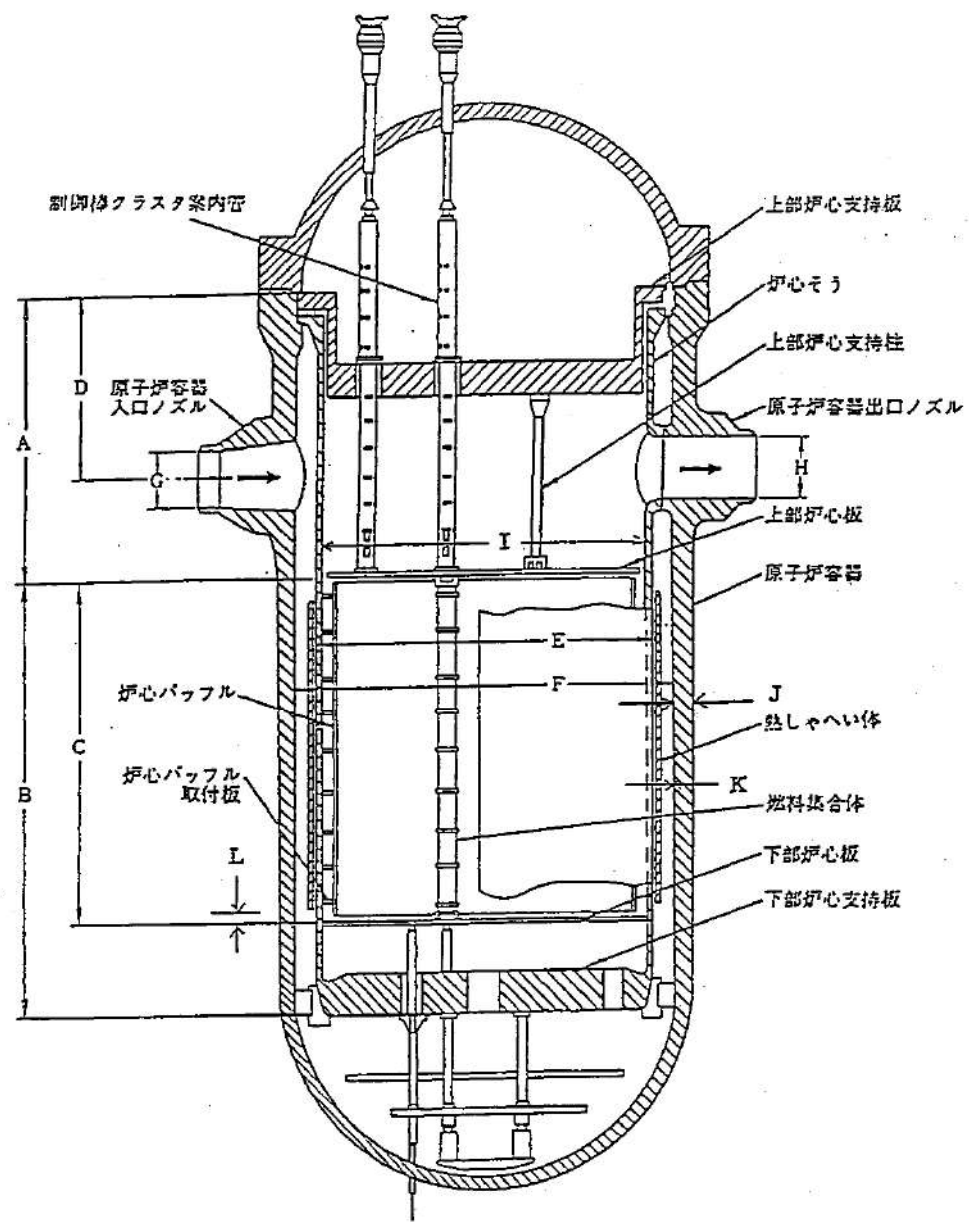
[] 桁組みの内容は機密情報に属しますので公開できません。

第6表 原子炉格納容器ヒートシンクデータ（3／3）

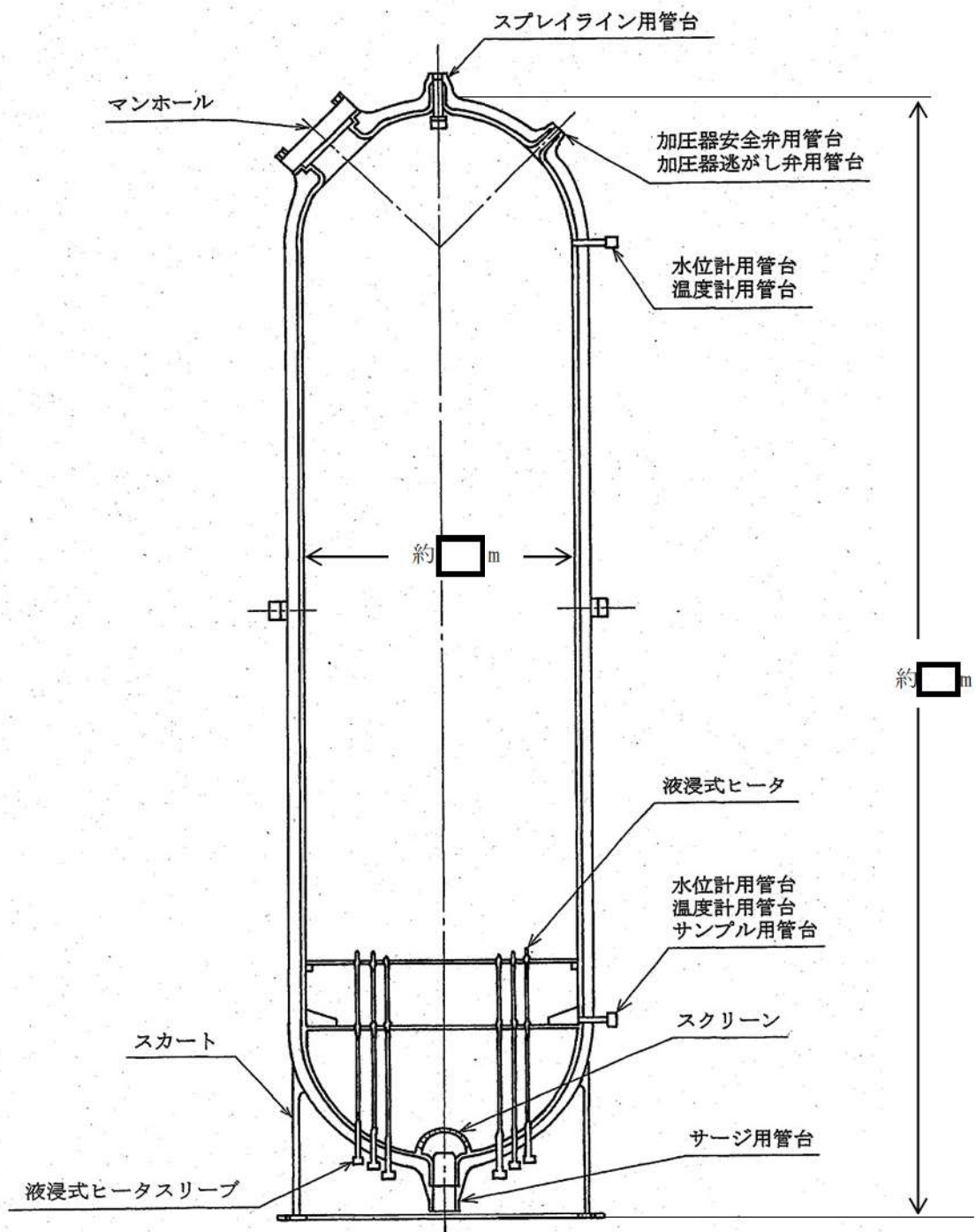
| 区画室 | 材質 | 表面積 (m ²) | 体積 (m ³) |
|------------|--------|-----------------------|----------------------|
| 原子炉下部キャビティ | 炭素鋼 | | |
| | アルミニウム | | |
| 下部区画 | 炭素鋼 | | |
| | 銅 | | |
| | ステンレス鋼 | | |
| 上部区画 | 炭素鋼 | | |
| | 銅 | | |
| | ステンレス鋼 | | |
| 外周部 | 炭素鋼 | | |
| | 銅 | | |
| | ステンレス鋼 | | |
| 最下階領域 | 炭素鋼 | | |
| | 銅 | | |
| | ステンレス鋼 | | |

(注 1) 本ヒートシンクデータは、重大事故等対策の有効性評価のうち、原子炉格納容器の除熱機能喪失、ECCS 再循環機能喪失、雰囲気圧力・温度による静的負荷（格納容器過圧破損・格納容器過温破損）、高圧溶融物放出／格納容器雰囲気直接加熱、原子炉圧力容器外の溶融燃料－冷却材相互作用、溶融炉心・コンクリート相互作用を対象とする MAAP コードを用いた評価に使用されるものである。

■ 桁組みの内容は機密情報に属しますので公開できません。

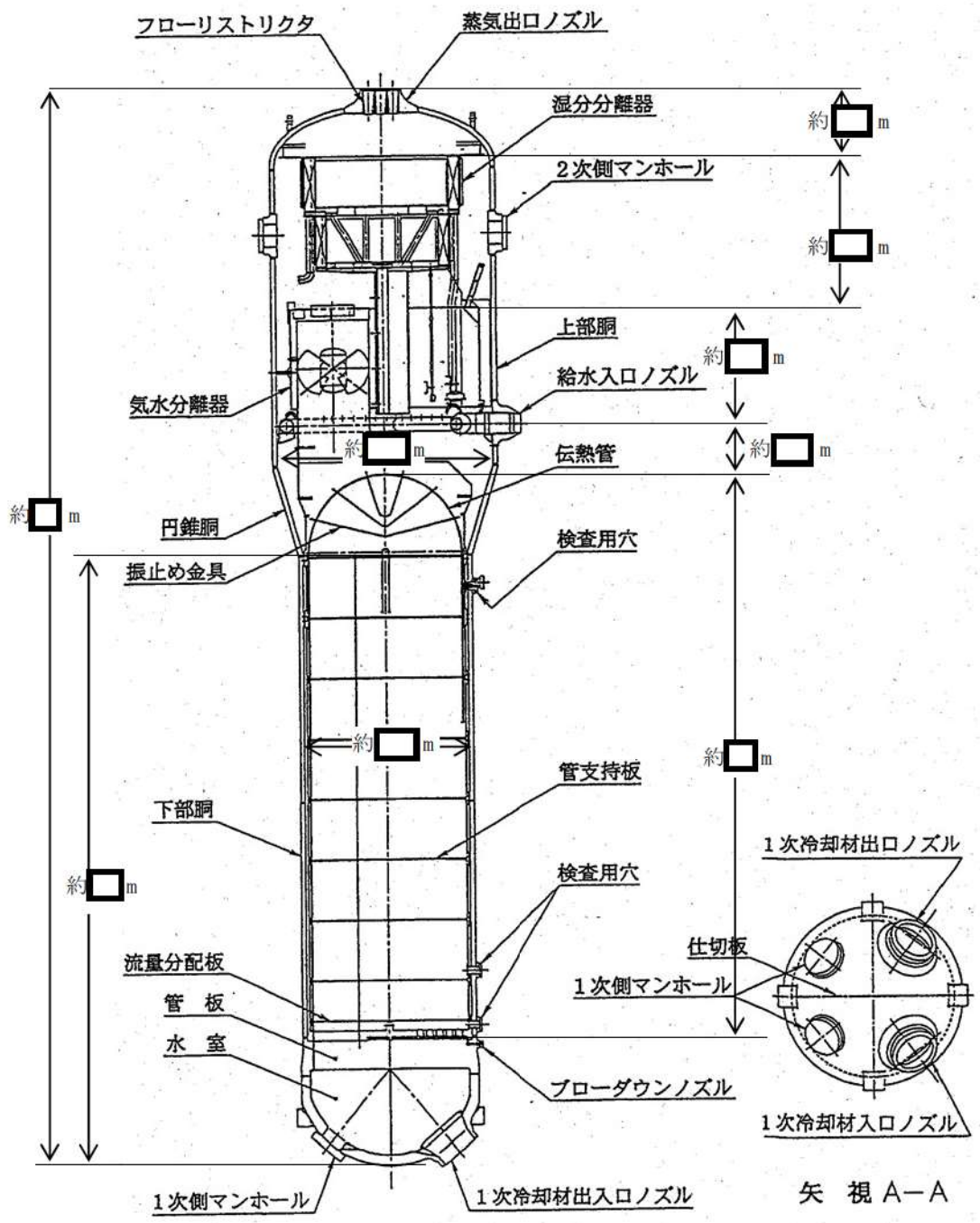


第1図 原子炉容器内寸法



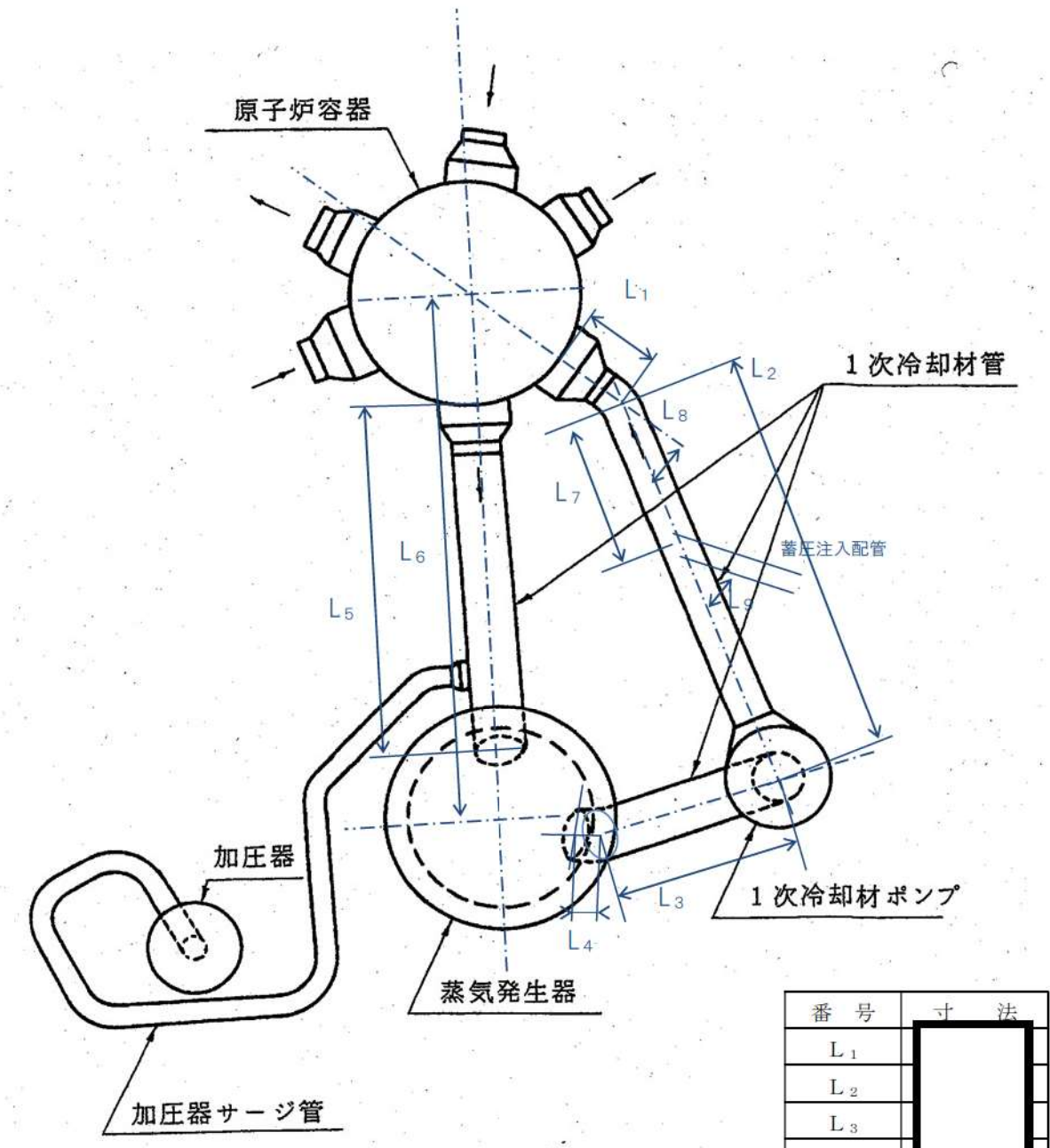
第2図 加圧器構造図

[redacted]枠内の内容は機密情報に属しますので公開できません。



第3図 蒸気発生器構造図

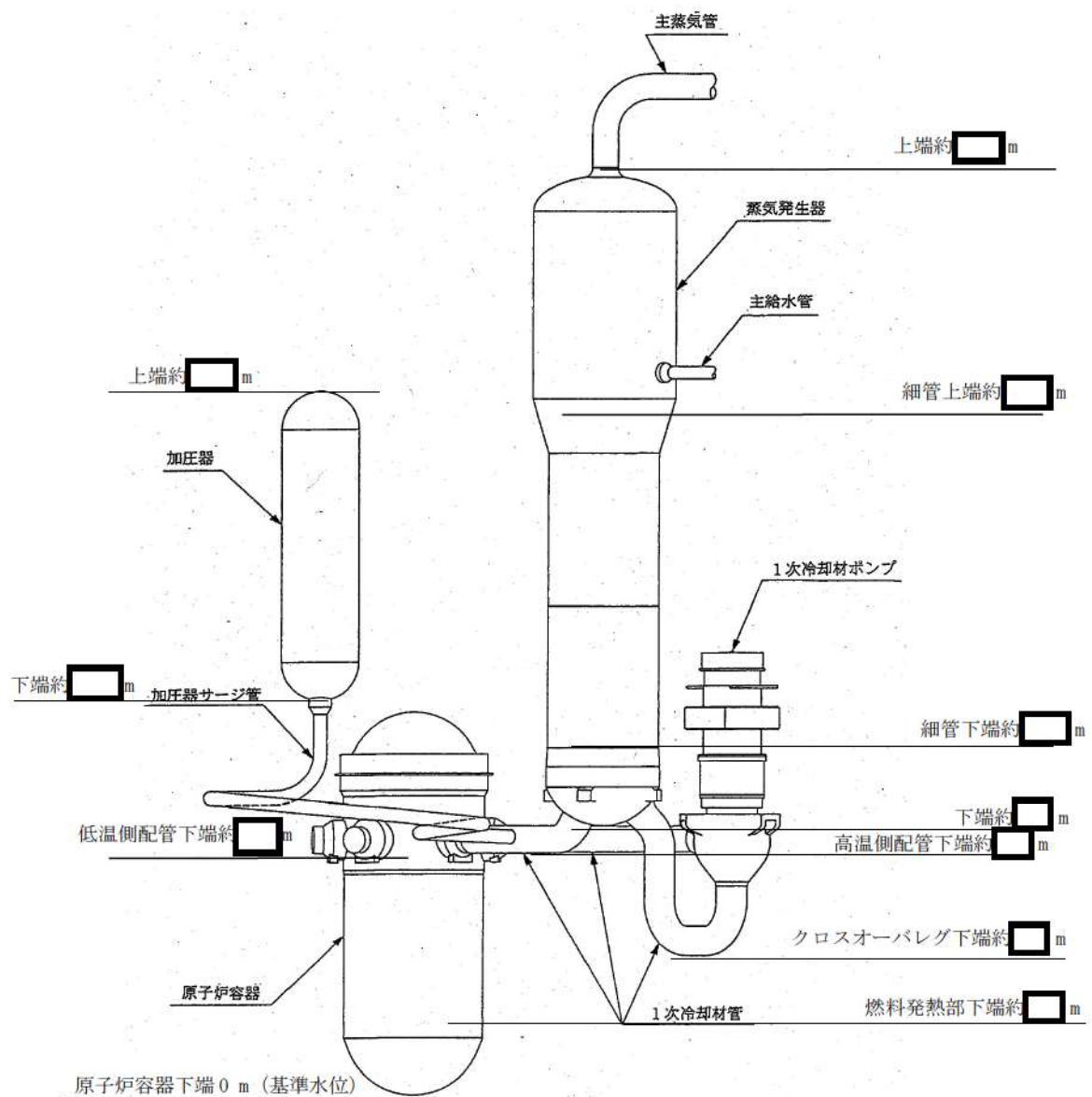
[REDACTED]枠囲みの内容は機密情報に属しますので公開できません。



| 番号 | 寸法 |
|----------------|----|
| L ₁ | |
| L ₂ | |
| L ₃ | |
| L ₄ | |
| L ₅ | |
| L ₆ | |
| L ₇ | |
| L ₈ | |
| L ₉ | |

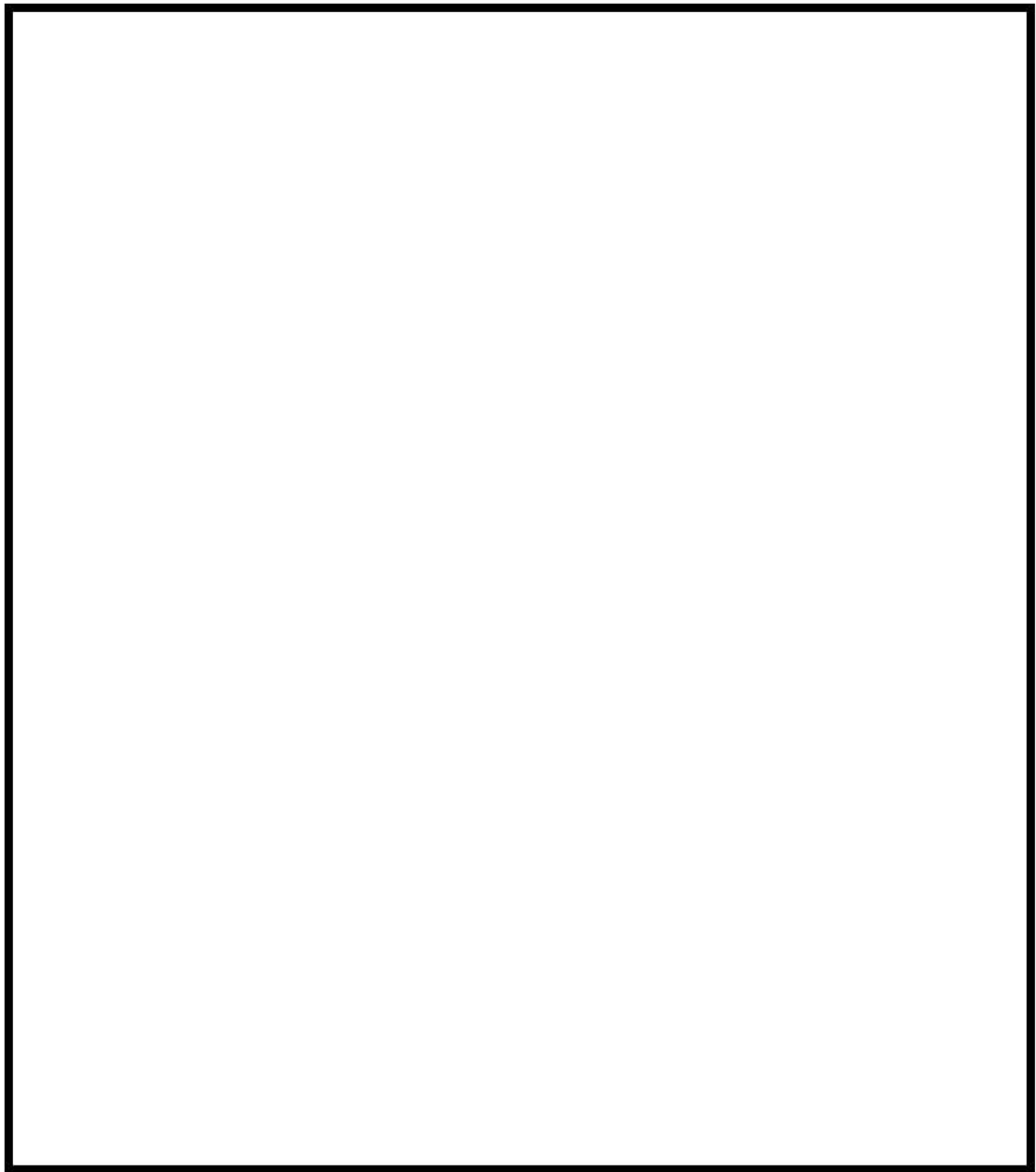
第4図 1次冷却材設備配置図（その1）

■ 條件の内容は機密情報に属しますので公開できません。



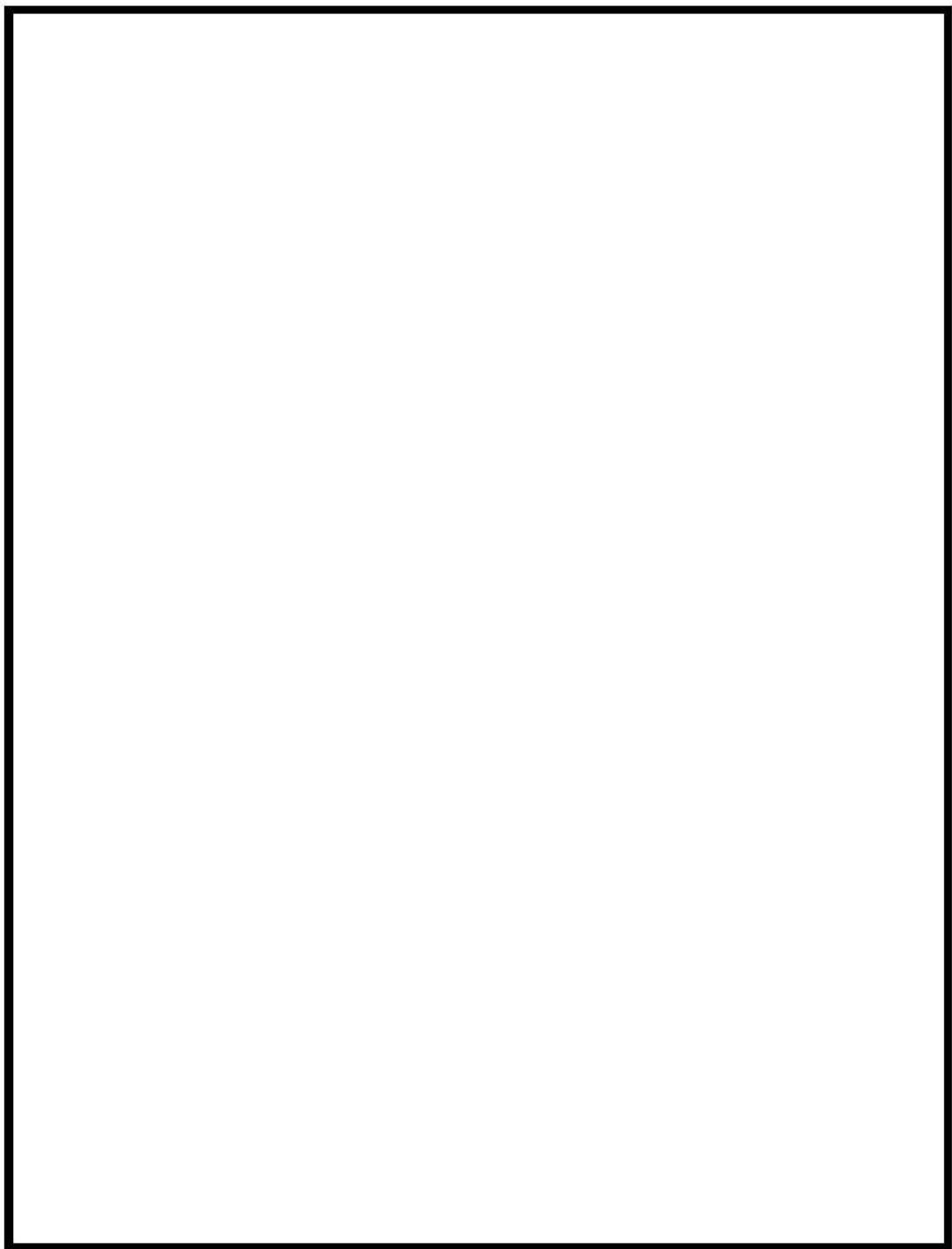
第5図 1次冷却材設備配置図（その2）

[redacted]枠囲みの内容は機密情報に属しますので公開できません。



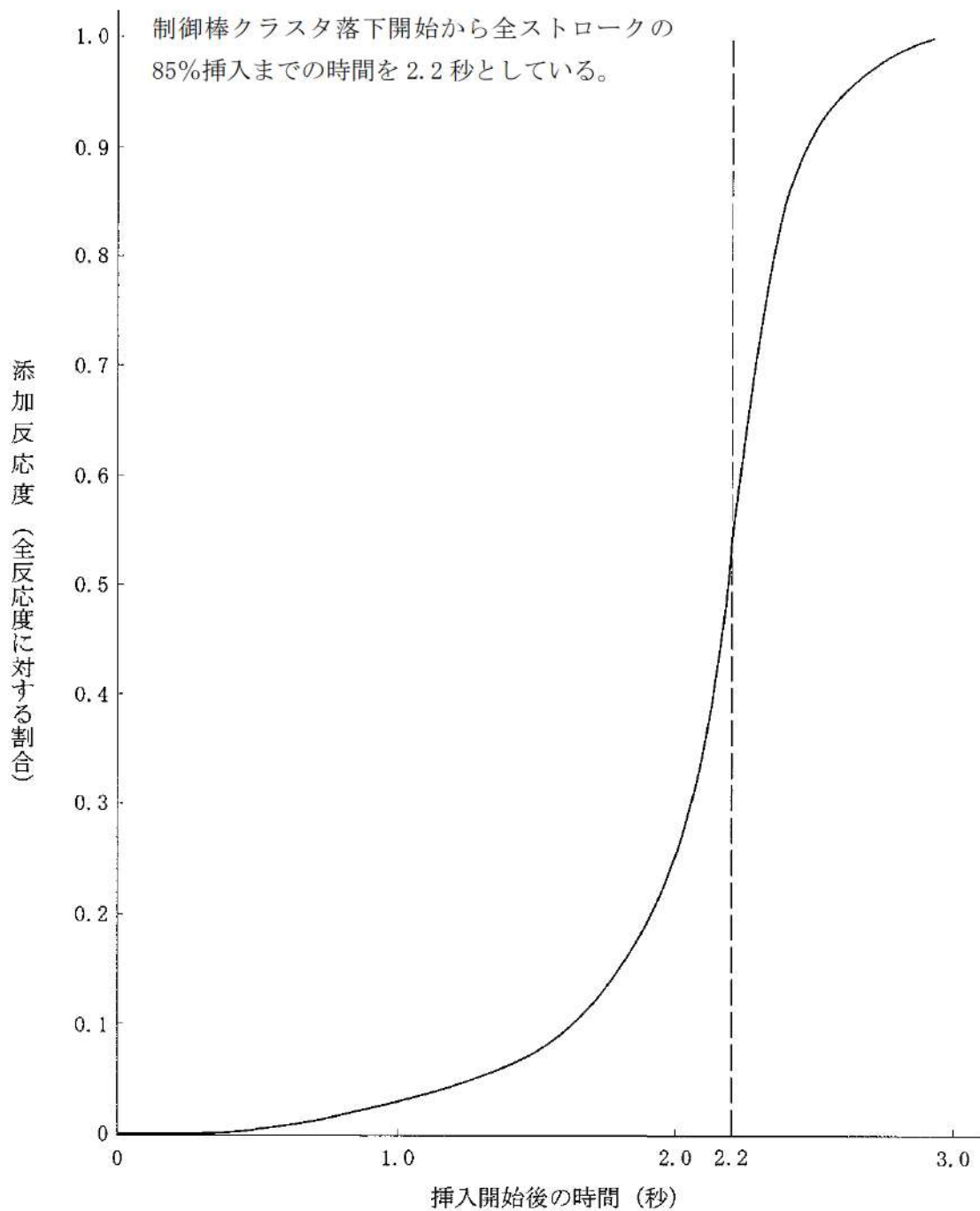
第6図 減速材密度係数

■ 枠囲みの内容は機密情報に属しますので公開できません。

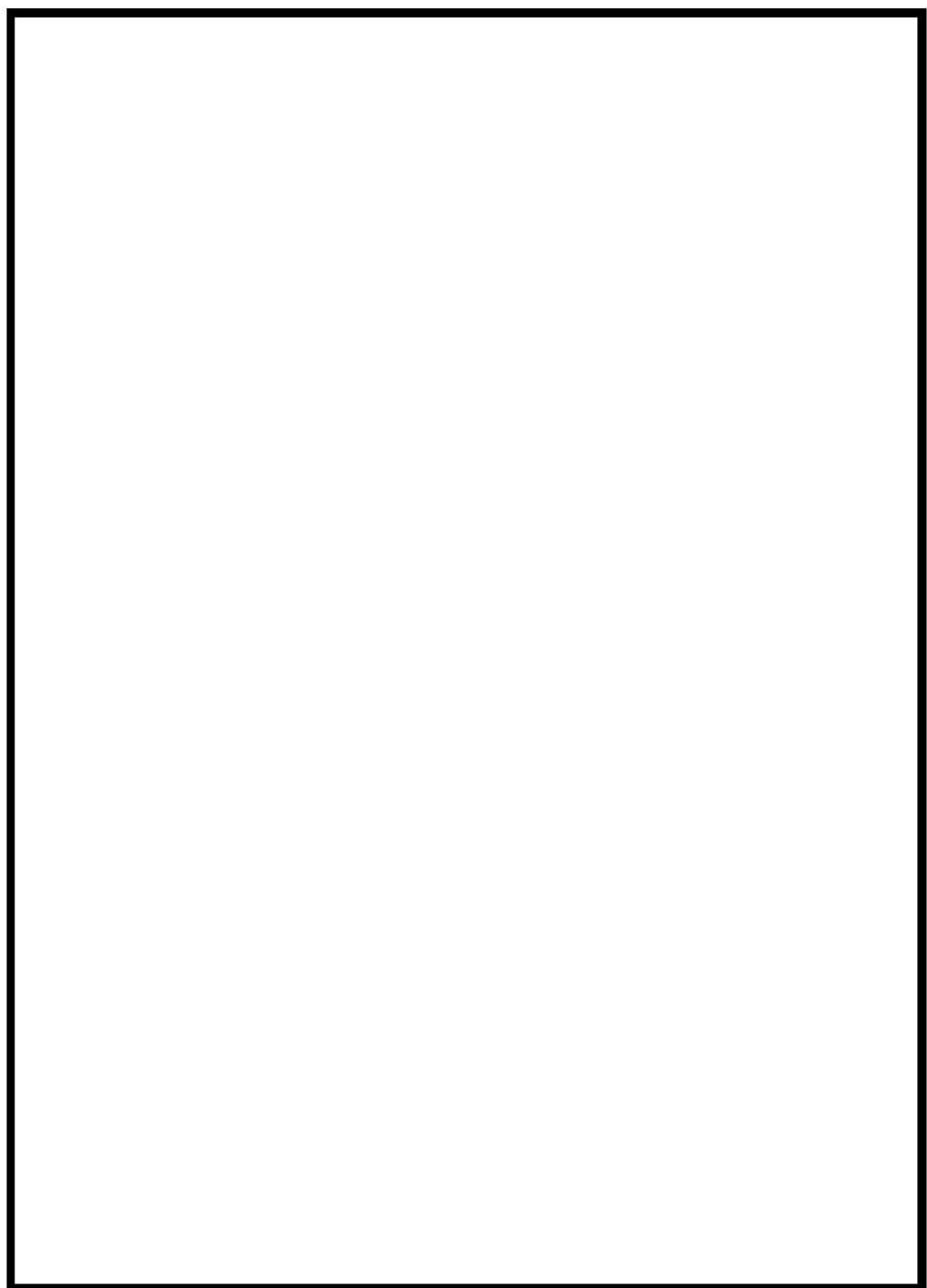


第7図 ドップラ係数

[REDACTED] 枠囲みの内容は機密情報に属しますので公開できません。

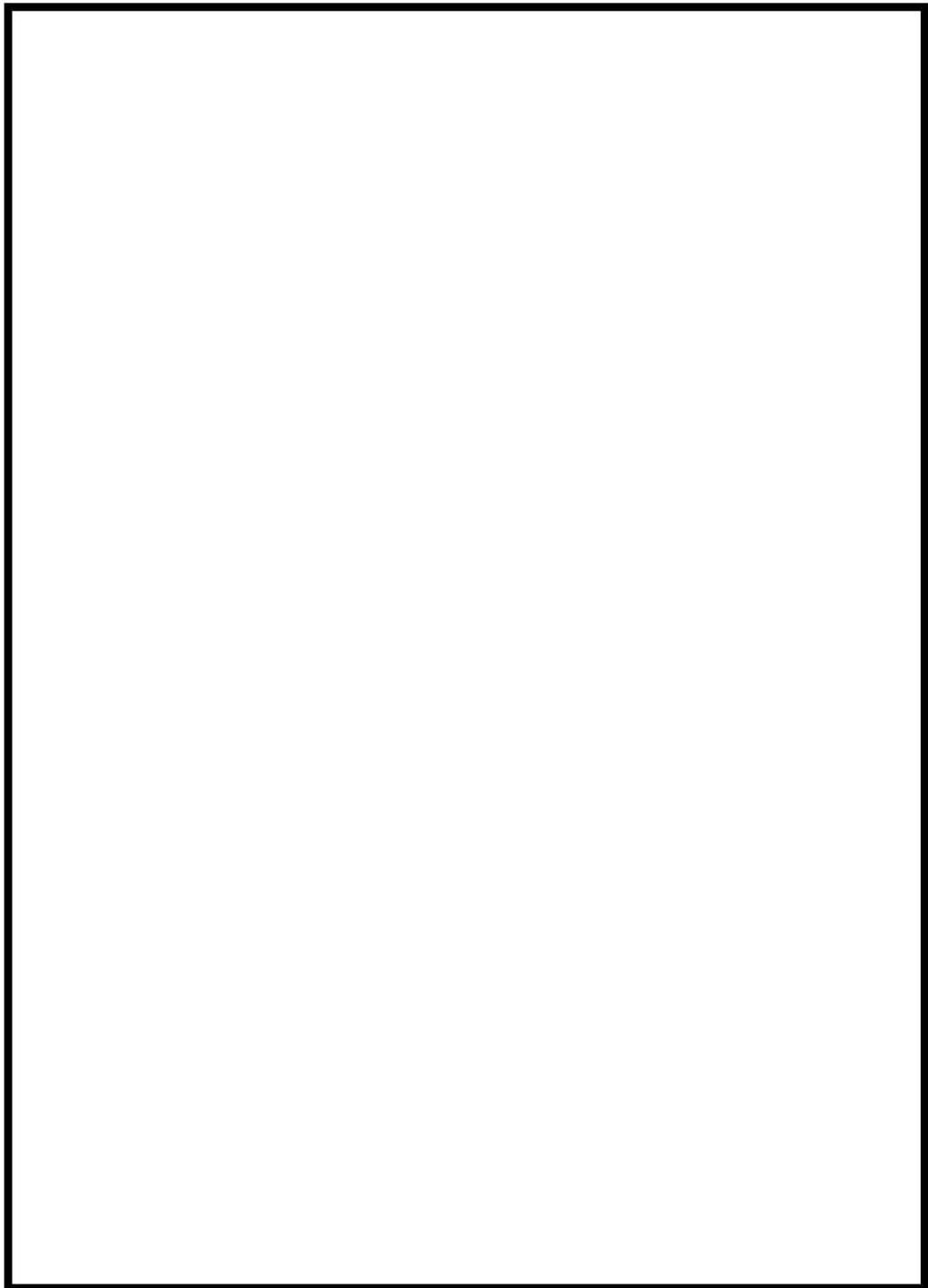


第8図 トリップ時の制御棒クラスタ挿入による反応度添加曲線



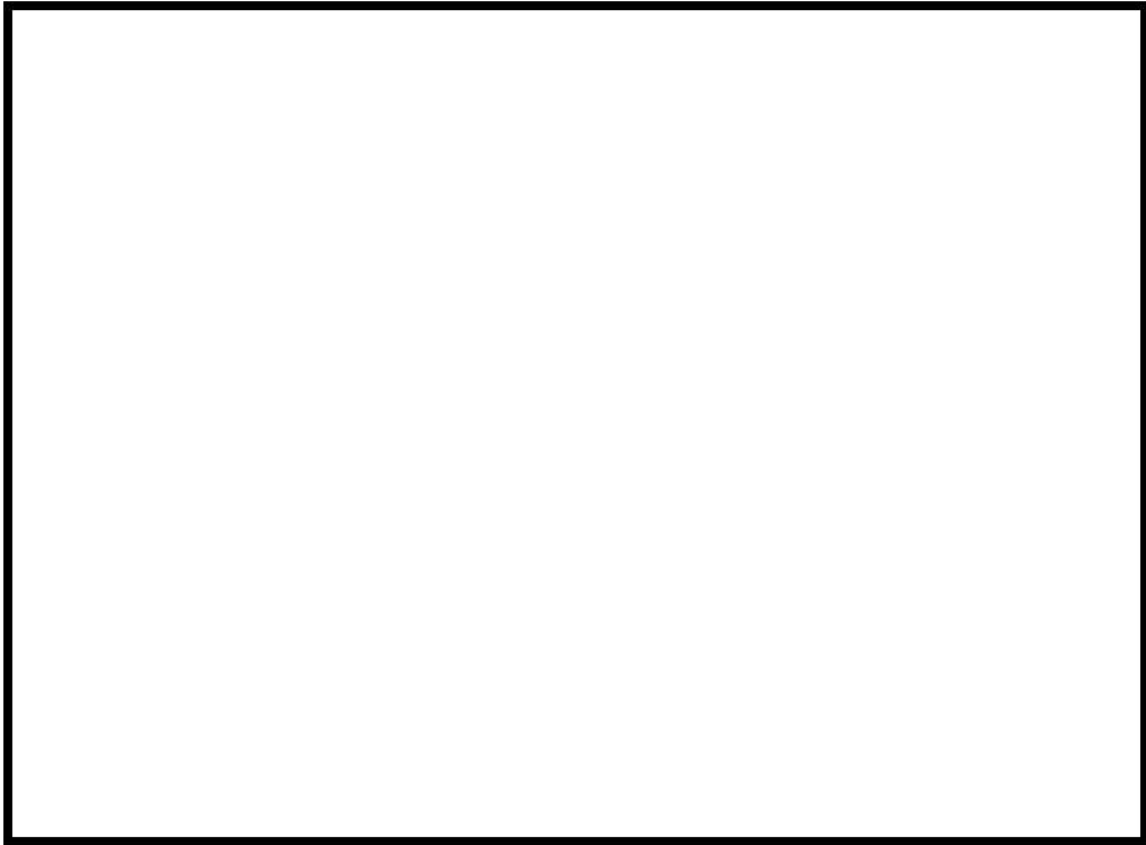
第9図 1次冷却材ポンプホモロガス曲線(1/2)

■ 枠囲みの内容は機密情報に属しますので公開できません。



第9図 1次冷却材ポンプホモロガス曲線(2/2)

[REDACTED] 枠囲みの内容は機密情報に属しますので公開できません。



第 10 図 格納容器再循環ユニット除熱特性

■ 梱囲みの内容は機密情報に属しますので公開できません。

原子炉停止機能喪失における有効性評価の初期条件の考え方について

1. 重大事故等対策の有効性評価における解析条件の基本的な考え方

「実用発電用原子炉に係る炉心損傷防止対策及び格納容器破損防止対策の有効性評価に関する審査ガイド」（以下「審査ガイド」という。）においては、有効性評価の解析にあたって、保守的な仮定及び条件の適用を否定するものではないものの、最適評価手法を適用することとされている。

今回の重大事故等対策の有効性評価にあたっては、これを踏まえ、原則として機器条件には設計値を用いる等の最適評価条件を適用することとしつつも、条件の不確かさや運転員操作の観点を考慮しても重大事故等に対する対策が有効であることを示す目的から、初期条件に定常誤差（原子炉出力、1次冷却材平均温度、1次冷却材圧力）を考慮する等、一部の解析条件について設計基準事故解析で考慮しているものと同程度の保守的な取扱いをしている。特に、事象進展において炉心露出に至る可能性がある事象では、初期出力運転状態（初期条件）や崩壊熱などの影響が大きいため、このような扱いとして解析し、有効性を確認している。

2. 原子炉停止機能喪失の有効性評価における解析条件の考え方

(1) 原子炉停止機能喪失事象の特徴について

事故シーケンスグループ「原子炉停止機能喪失」に対する有効性評価では、制御棒の挿入に期待できないことから、事象発生後短時間で減速材反応度帰還効果による出力抑制の緩和策を講じなければ、炉心損傷に至るおそれがあり、厳しい結果となることが予想される。

また、原子炉停止機能喪失は、後述のとおり減速材反応度帰還効果（減速材温度係数）の感度が大きい事象であるが、減速材温度係数は、装荷炉心毎の変動に加え、燃焼中（サイクル初期～末期）の変化が大きいパラメータである。このうち、解析結果が厳しくなるのは、減速材温度係数の絶対値が小さい装荷炉心のうち、サイクル初期の限られた期間であることから、評価項目となるパラメータである原子炉圧力が厳しくなる可能性は非常に低いものであると考えられる。

(2) 原子炉停止機能喪失における有効性評価の基本的方針

上述のような事故シーケンスグループ「原子炉停止機能喪失」の特徴を踏まえると、振れ幅が大きくかつ評価項目となるパラメータへの感度が大きい減速材反応度帰還効果を含めた様々な評価条件に対し、他の事故シーケンスグループと同様の保守性を考慮することは、評価結果を過度に厳しくする取扱いである。そこで、評価においては、他の事故シーケンスとは異なり、減速材温度係数を除いて、審査ガイドの考え方へ沿って最適評価を適用することを基本方針としている。

(3) 原子炉停止機能喪失における具体的解析条件の設定

「(2) 原子炉停止機能喪失における有効性評価の基本的方針」のとおり、原子炉停止機能喪失の有効性評価に対しては、最確条件を適用することを基本方針としているが、審査ガイドの考え方に基づき、入力条件の不確かさについては、運転条件等の変化に伴うパラメータの変動範囲を踏まえ、感度解析にてその影響を確認し、適切に考慮することとした。

入力条件の不確かさとして、解析コード（SPARKLE-2）の不確かさ及び解析条件の不確かさが考えられるが、このうち評価項目となるパラメータである原子炉冷却材圧力バウンダリにかかる圧力に有意な影響が考えられるパラメータ（減速材反応度帰還効果、ドップラ効果、初期定常誤差（炉心熱出力、1次冷却材平均温度、1次冷却材圧力））に対して感度解析を行った。

表1に代表4ループプラント¹を対象に実施した「主給水流量喪失時に原子炉トリップに失敗する事故」に対する感度解析結果を示す。ここでは、最確条件での解析結果をベースケースとし、減速材反応度帰還効果として減速材温度係数初期値（以下「MTC 初期値」という）、ドップラ反応度帰還効果及び初期定常誤差の感度を確認した。ここに示すとおり、最も評価指標に対する影響が大きいパラメータは MTC 初期値であり、その他のパラメータの影響は相対的に小さい。なお、ここでの感度解析に用いた MTC 初期値 (-13pcm/°C) は、解析コードの不確かさ及び装荷炉心毎の変動を上回る余裕を考慮した保守的な値であるが、最確条件にこの MTC 初期値を考慮した解析結果（ケース1）は、その他のパラメータに対する感度解析結果（ケース2、3）を包絡している。

なお、「主給水流量喪失時に原子炉トリップに失敗する事故」では、ATWS 緩和設備による主蒸気ライン隔離により原子炉出力が低下するのに対し、「負荷の喪失時に原子炉トリップに失敗する事故」では、蒸気負荷の喪失により原子炉出力が事象開始直後に低下する点が異なるが、原子炉冷却材圧力バウンダリにかかる圧力が最大値となる付近の挙動を含め、その他事象については同様であることから、評価項目となるパラメータに与える影響が最も大きいパラメータが MTC 初期値であるとの傾向は同様であると考える。

これらの検討の結果、原子炉停止機能喪失における有効性評価では、最確条件を基本方針としつつも、入力条件の不確かさに伴う感度解析の結果を考慮し、最も評価項目となるパラメータへの影響が大きい MTC 初期値に保守性を考慮した解析ケースに基づき、有効性を示すこととした。また、具体的な MTC 初期値の設定

¹ この感度解析は代表4ループプラントを対象としたものであるが、ATWS 緩和設備が有する機能は各プラントで同じであること、原子炉出力と1次冷却材体積、加圧器気相部体積及び蒸気発生器2次側保有水量の比は2／3／4ループで同等でありプラント挙動は同等となることなどから、評価項目となるパラメータに対する影響が最も大きいパラメータが MTC 初期値であるとの傾向は各プラントで共通であると考えられる。

値としては、ウラン燃料（55GWd/t）装荷炉心の典型例である平衡炉心の減速材温度係数評価値に基づき、泊3号炉の入力条件に不確かさを考慮し、評価結果を厳しくするようMTC初期値を設定した。

これにより、炉心運用の影響も考慮した原子炉停止機能喪失における重大事故等対策の有効性を合理的に示すことができるものと考える。

表1 「主給水流量喪失時に原子炉トリップに失敗する事故」の感度解析結果
(代表4ループ)

| 解析ケース | MTC 初期値 | ドップラ効果 | 初期定常誤差 ² | 原子炉冷却材圧力バウンダリにかかる圧力の最高値 |
|-------|-------------------|---------|---------------------|-------------------------|
| 最適条件 | 最確値 ^{*1} | 最確値 | 仮定しない | 約 18.4MPa[gage] |
| ケース1 | -13pcm/°C | 最確値 | 仮定しない | 約 18.7MPa[gage] |
| ケース2 | 最確値 ^{*1} | 最確値+20% | 仮定しない | 約 18.4MPa[gage] |
| ケース3 | 最確値 ^{*1} | 最確値 | 仮定する | 約 18.4MPa[gage] |

* 1：約-28pcm/°C（平衡炉心評価値であり核的不確かさ含まず）

² 初期定常誤差は、炉心熱出力（2%）、1次冷却材平均温度（2.2°C）及び原子炉圧力（0.21MPa）である。

有効性評価に用いた崩壊熱について

1. 崩壊熱データについて

燃料からの崩壊熱については、核分裂生成物（以下「FP」という。）による崩壊熱とアクチニドによる崩壊熱の合計からなる。

FP の崩壊熱に関しては「軽水型動力炉の非常用炉心冷却系の性能評価指針（昭和 56 年 7 月 20 日原子力安全委員会決定、平成 4 年 6 月 11 日一部改訂）」において、崩壊熱データとして妥当性が認められている日本原子力学会推奨値（不確定性（ $3\sigma A$ ）込み）を用いている。

アクチニド崩壊熱に関しては、再処理施設の設計等でも使用されており、長寿命核種の効果も含めて評価できる ORIGEN-2 コード（不確定性（20%）込み）を用いている。

2. 評価用崩壊熱の設定について

有効性評価に用いた評価用崩壊熱としては、局所的な影響を考慮した高温点評価用崩壊熱と、炉心全体からの熱放出を考慮した炉心平均評価用崩壊熱を設定した。それぞれの崩壊熱曲線については設定方法のフローを含め図 1 及び図 2 に記載したとおりである。また、それぞれの崩壊熱の設定に用いた評価条件は表 1 及び表 2 のとおりである。

なお、有効性評価で評価する各事象に対する崩壊熱の扱いを表 3 に示す。

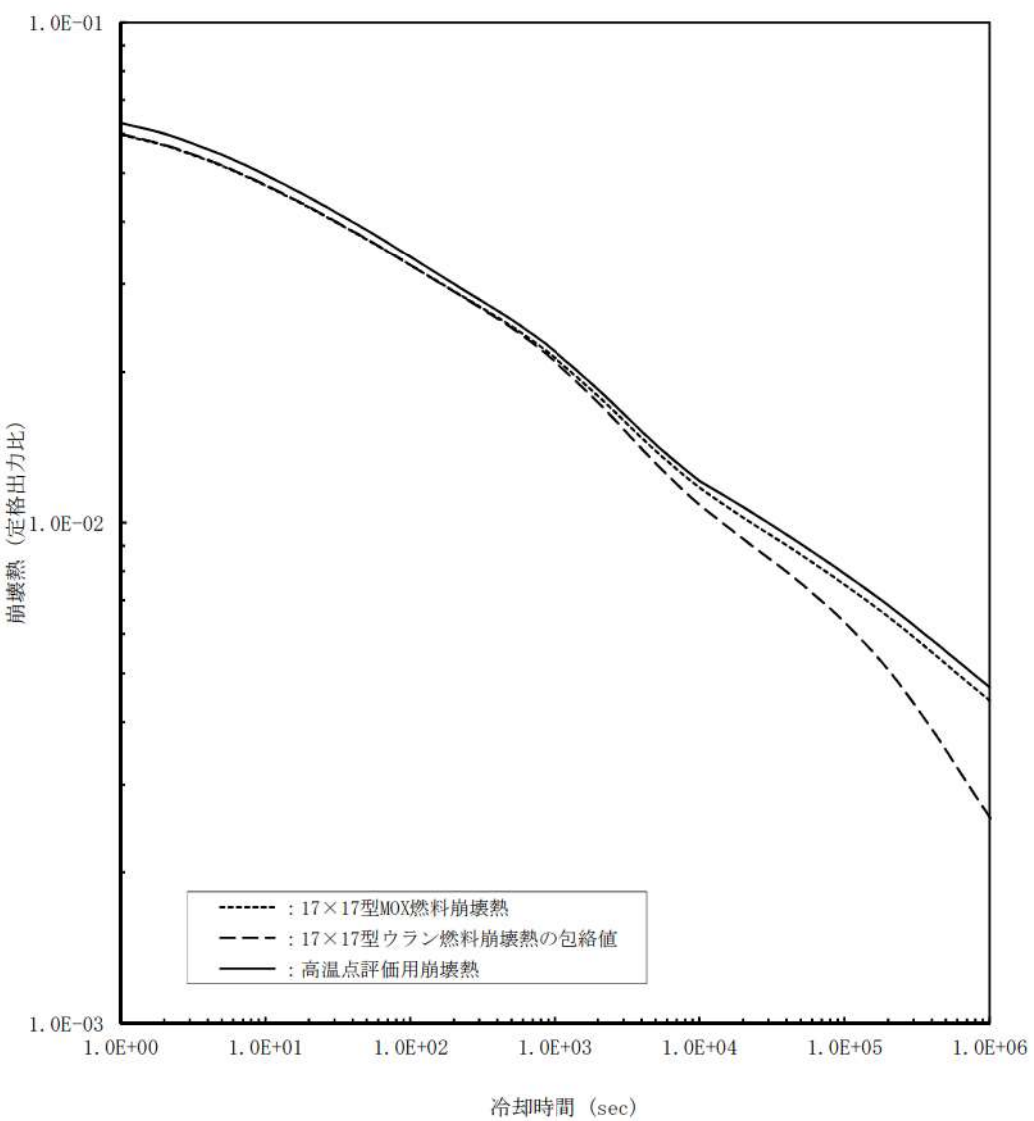
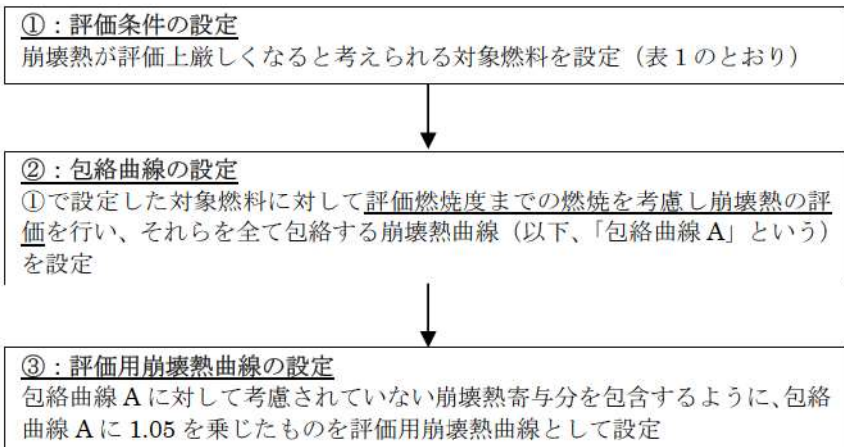


図1 高温点評価用崩壊熱曲線の設定方法および高温点評価用崩壊熱曲線

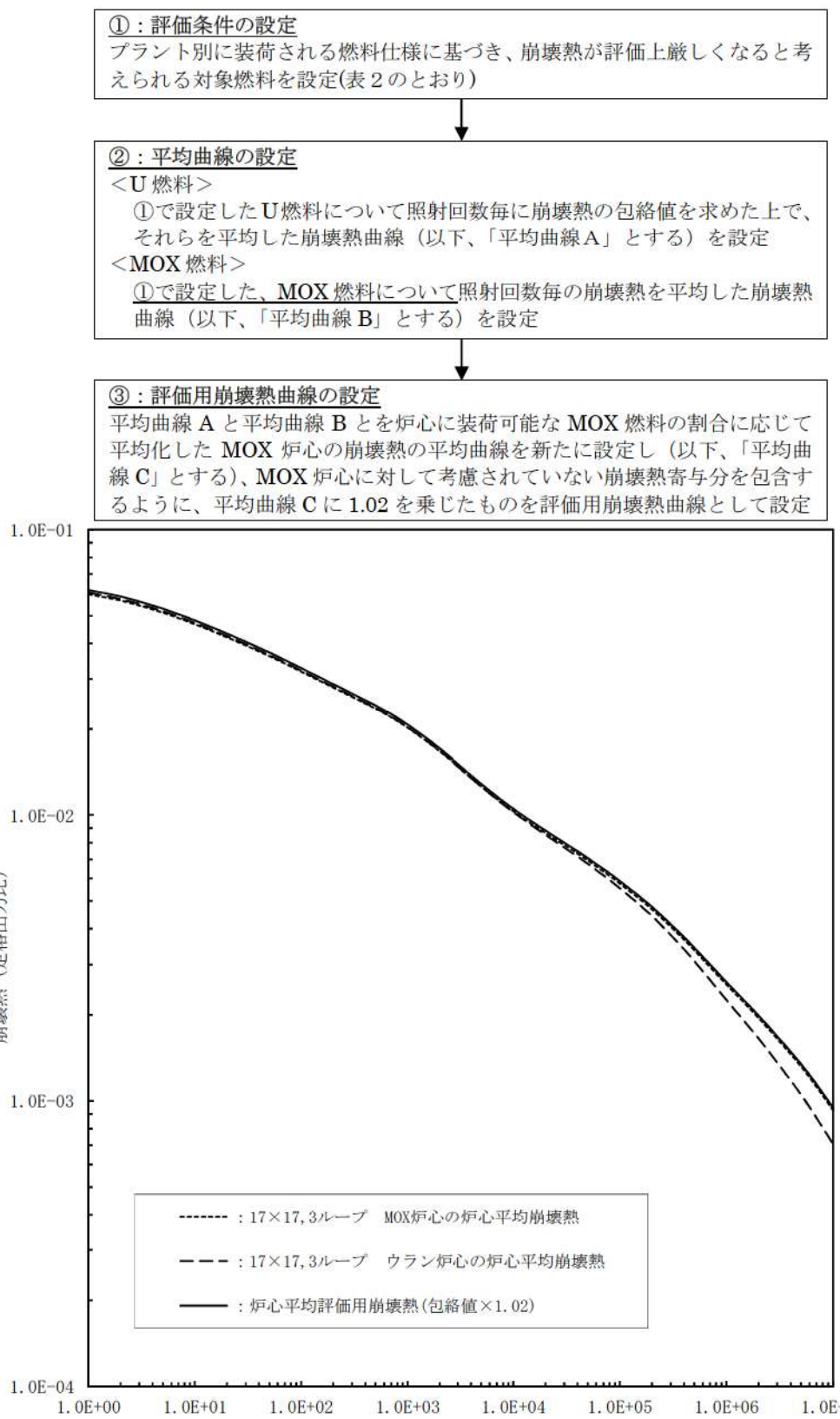


図 2 炉心平均評価用崩壊熱曲線の設定方法および炉心平均評価用崩壊熱曲線

表 1 泊3号炉における高温点評価用崩壊熱設定条件

| 項目 | 設計基準事象 (DBA) 評価用崩壊熱 | 有効性評価用崩壊熱 | 変更した理由 |
|---------------|--|---|---|
| 計算手法と 不確定性 | FP : 日本原子力学会推奨値 + 3 σ _A アクチニド : ORIGEN2 評価値 × 1.2 | 同左 | — |
| 評価対象時間 | ~1 × 10 ⁴ 秒 | (~1 × 10 ⁴ 秒は DBA 崩壊熱を使用) | 有効性評価では、DBA で想定した 1 × 10 ⁴ 秒以降の冷却期間も評価対象となるため。 |
| 対象プラント | 17×17型3ループ | 同左 | — |
| 線出力密度 | 17.1kW/m | 同左 | — |
| 照射履歴 | 上記線出力密度にて連続照射 (中間停止は考慮せず) | 同左 | — |
| 燃料タイプ | 17×17 ワラン燃料及び 17×17MOX 燃料 | 同左 | — |
| 対象燃料 | 48G燃料 対応燃料(48G 燃料) 燃料濃縮度 : 4.1wt% 55G燃料 対応燃料(55G 燃料) 燃料濃縮度 : 4.8wt% | 48G燃料 燃料濃縮度 : 3.0wt% 55G燃料 燃料濃縮度 : 4.0wt% | 評価対象時間の拡張に伴い、冷却時間が長くなるとアクチニド崩壊熱が支配的となる。ウラン燃料については濃縮度が低い方が、また MOX 燃料については核分裂性 Pu 割合が低い方が、評価上の中性子束が上昇し、中性子捕獲によるアクチニド核種の高次化が進むことから、保守的に、ウラン濃縮度の低い燃料及び核分裂性 Pu の割合が低い通常外 Pu 組成燃料を選定した。 |
| MOX 燃料 | Pu 含有率 : 13 wt% Pu 組成 : 低 Pu 組成 ^{*1} Am-241 考慮 : 5 年保管相当 | MOX 燃料 Pu 含有率 : 13 wt% Pu 組成 : 通常外 Pu 組成 ^{*2} Am-241 考慮 : 5 年保管相当 | DBA 崩壊熱の評価対象時間は ~1 × 10 ⁴ 秒と比較的短いことから、FP 崩壊熱が支配的である。そのため、燃焼度が高いことによるアクチニドの蓄積効果は大きくないことがから、DBA 崩壊熱ではペレット燃焼度制限まで燃焼した際の崩壊熱の増分は、上乗せで考慮していた。一方、有効性評価用崩壊熱の評価対象時間は ~1 × 10 ⁶ 秒まで拡張したことから、燃焼度が高いことによるアクチニドの蓄積効果が大きくなつた。そのため、1 × 10 ⁴ 秒以降では、ペレット燃焼度制限まで燃焼させた際の崩壊熱の増分を上乗せで考慮するのではなく、ペレット燃焼度制限までの燃焼を考慮した崩壊熱をベースとして選定した。 |
| 評価燃焼度 | 集合体燃焼度制限までの燃焼を考慮 48G 燃料 : 48GWd/t 55G 燃料 : 55GWd/t MOX 燃料 : 45GWd/t | ペレット燃焼度制限までの燃焼を考慮 48G 燃料 : 62GWd/t 55G 燃料 : 71GWd/t MOX 燃料 : 62GWd/t | 上記のとおり 1.05 倍の上乗せで考慮していったペレット燃焼度制限までの増分を評価燃焼度で考慮することとしたため、その分を上乗せから低減可能であるが、保守的に從来からの上乗せを考慮。 ペレット燃焼度制限まで燃焼させた燃料の崩壊熱をベースとして設定したことから、ペレット燃焼度制限までの増分を上乗せから除外した。 |
| 上乗せの仕方 | 上記燃料の包絡値 × 1.05 | 同左 | — |
| 上乗せで考慮している影響 | 燃料集合体構造材放射化発熱 燃料製造公差 プラント・燃料仕様の差 ペレット燃焼度制限までの増分 | 燃料集合体構造材放射化発熱 燃料製造公差 プラント・燃料仕様の差 | — |

*1 : Pu-238 / Pu-239 / Pu-240 / Pu-241 / Am-241 = 2.1 / 54.5 / 25.0 / 7.3 / 6.4 / 4.7wt%

*2 : Pu-238 / Pu-239 / Pu-240 / Pu-241 / Pu-242 / Am-241 = 4.1 / 45.4 / 25.3 / 7.5 / 13.0 / 4.7wt%

表2 沂3号炉における炉心・平均評価用崩壊熱設定条件

| 項目 | 設定基準事象 (DBA) 評価用崩壊熱 FP：日本原子力学会推奨値 + 3 σ_A アクチニド：ORIGEN2 評価値 × 1.2 | 有効性評価用崩壊熱 同左 | 変更した理由 |
|---------------|---|---|---|
| 計算手法と 不確定性 | 評価対象時間 ～4 × 10 ⁶ 秒 | ～1 × 10 ⁷ 秒 | 有効性評価において、DBA で想定した 4 × 10 ⁶ 秒以降の解析を行う場合を考慮して、入力条件として作成した。 |
| 対象プラント | 17×17型 3 ループ | 同左 | — |
| 線出力密度 | 17.1kW/m | 同左 | — |
| 照射履歴 | 上記線出力密度にて連続照射 (中間停止は考慮せず*) | 同左 | — |
| 燃料タイプ | 17×17 ウラン燃料及び 17×17MOX 燃料 | 同左 | — |
| 対象燃料 | 48GWd/t 対応燃料 (48G 燃料) 燃料濃縮度 : 4.1wt% 55GWd/t 対応燃料 (55G 燃料) 燃料濃縮度 : 4.8 wt% | 48G 燃料 燃料濃縮度 : 4.1wt% 55G 燃料 燃料濃縮度 : 4.8 wt% | 有効性評価に用いる炉心平均評価用崩壊熱については、審査ガイドの記載内容「炉心の出力分布、炉心流量及び炉心崩壊熱等は、設計値等に基づく現実的な値を用いる」を踏まえて、Pu 含有率と保管期間の条件を変更した。 Pu 含有率 : 炉心平均評価用崩壊熱の算定に当たって、MOX 燃料のすべての Pu 含有率をペレット最大 Pu 含有率制限値である 13wt%とする ことは現実的ではないため、低 Pu 組成に対応する集合体平均 Pu 含有率とする。 |
| | MOX 燃料 Pu 含有率 : 13 wt% Pu 組成 : 低 Pu 組成 ^{※3} Am-241 考慮 : 5 年保管相当 | MOX 燃料 Pu 含有率 : 10.9 wt% Pu 組成 ^{※4} Am-241 考慮 : 0 年保管相当 | 保管期間 : 炉心に装荷する全ての MOX 燃料が装荷までに 5 年間保管するこ とを想定することは現実的ではないため、その期間を 0 年とする。 |
| 燃焼度 | 3 回照射燃料は、集合体燃焼度制限までの 燃焼を考慮 48G 燃料 16,32,48GWd/t 55G 燃料 18,37,55GWd/t MOX 燃料 15,30,45GWd/t | 3 回照射燃料は、集合体燃焼度制限までの 燃焼を考慮 48G 燃料 16,32,48GWd/t 55G 燃料 18,37,55GWd/t MOX 燃料 15,35,45GWd/t | 3 ループプラントでは、MOX 燃料を 2 回照射で取り出すことをも想定され(1 回照射 : 16 体、2 回照射 : 16 体、3 回照射 : 8 体)、この場合、燃料の有効活 用の観点から、取り出し時の集合体燃焼度が 30GWd/t を超えることが考えら れる。有効性評価の対象時間を考えると、冷却時間が長くなると影響が強 く現れるアクチニド崩壊熱の効果を適切に見込む必要があるので、2 回照射 の集合体燃焼度を 30GWd/t よりも高めの 35GWd/t とすることでの、より現実 的な評価となるとした。なお、燃焼度を高めに設定することとは保守的な 取り扱いとなる。 |
| | ウラン炉心の評価値と MOX 炉心の評価 値との包絡値 × 1.05 ここで、 ・ウラン炉心の評価値とは、ウラン燃料の 包絡値 ・MOX 炉心の評価値とは、ウラン燃料の包 絡値と MOX 燃料の評価値を体数重み (7:3) で平均したもの。 | ウラン炉心の評価値と MOX 炉心の評価 値との包絡値 × 1.02 ここで、 ・ウラン炉心の評価値とは、ウラン燃料の 包絡値 ・MOX 炉心の評価値とは、ウラン燃料の包 絡値と MOX 燃料の評価値を体数重み (7:3) で平均したもの。 | DBA では代表的に 17×17 型 3 ループプラントで算出した崩壊熱曲線に基 づいて、プラント共通の崩壊熱曲線を設定していたことから、他プラントの崩 壊熱曲線を包絡するために、上乗せとして 1.05 を考慮していた。一方、有効 性評価用崩壊熱曲線は、プラント毎の炉心・燃料条件に基づいて算出してい るので、上乗せとしては、燃料集合体及び炉内構造物の放射化発熱のみを考 慮すればよいことから、この上乗せを 5%から 2%に低減した(1.05→1.02)。 また、MOX 燃料の装荷規模(崩壊熱を平均する際の重み)を、30%から泊 3 号 炉設置変更許可申請書の最大装荷体数である 40 体(約 25.5%)とした。 |
| 上乗せの仕方 | 燃料集合体構造材放射化発熱 炉内構造物構造材放射化発熱 プラント・燃料仕様の差 による影響 | 燃料集合体構造材放射化発熱 炉内構造物構造材放射化発熱 | 有効性評価用崩壊熱曲線は、プラント毎の炉心・燃料条件に基づいて崩壊熱 曲線を算出していることから、プラント・燃料仕様の差(プラントの違いに よる出力密度の差及び燃料仕様の差に伴う崩壊熱の差)を上乗せから除外し た。 |

*3 : Pu-238 / Pu-239 / Pu-240 / Pu-241 / Pu-242 / Am-241 = 2.1 / 54.5 / 25.0 / 7.3 / 6.4 / 4.7wt%

*4 : Pu-238 / Pu-239 / Pu-240 / Pu-241 / Pu-242 / Am-241 = 2.1 / 54.5 / 25.0 / 9.3 / 6.4 / 2.7wt%

表3 各事象で使用している崩壊熱について

| No. | 事象名 | M-RELAP5 ^{*1} | MAAP |
|-----|--|------------------------|--------------------|
| ① | 2次冷却系からの除熱機能喪失（主給水喪失 + 補助給水喪失） | 高温点 ^{*2} | — |
| ② | 全交流動力電源喪失（RCP シール LOCA が発生する場合） 原子炉補機冷却機能喪失 | 高温点 ^{*2} | — |
| ③ | 全交流動力電源喪失（RCP シール LOCA が発生しない場合） | 高温点 ^{*2} | — |
| ④ | 原子炉格納容器の除熱機能喪失 (大 LOCA + 低圧再循環喪失 + 格納容器スプレイ失敗) | — | 炉心平均 ^{*2} |
| ⑤ | 原子炉停止機能喪失(主給水流量喪失 + 原子炉自動停止失敗及 び負荷の喪失+原子炉自動停止失敗) | 高温点 ^{*3} | — |
| ⑥⑦⑧ | ECCS 注水機能喪失 (中小 LOCA(6インチ、4インチ、2インチ)+高压注入失敗) | 高温点 ^{*2} | — |
| ⑨ | ECCS 再循環機能喪失 (大 LOCA + 低圧再循環／高压再循環失敗) | — | 炉心平均 ^{*2} |
| ⑩ | 格納容器バイパス（インターフェイスシステム LOCA） | 高温点 ^{*2} | — |
| ⑪ | 格納容器バイパス（蒸気発生器伝熱管破損） | 高温点 ^{*3} | — |
| ⑫ | 格納容器過圧破損、原子炉圧力容器外の溶融燃料－冷却材相互 作用及び溶融炉心・コンクリート相互作用 (大 LOCA + ECCS 注入失敗 + 格納容器スプレイ失敗) | — | 炉心平均 ^{*2} |
| ⑬ | 格納容器過温破損及び高压溶融物放出／格納容器旁回気直接 加熱（全交流動力電源喪失 + 補助給水失敗） | — | 炉心平均 ^{*2} |
| ⑭ | 水素燃焼（大 LOCA + ECCS 注入失敗） | — | 炉心平均 ^{*2} |
| ⑮ | 崩壊熱除去機能喪失及び全交流動力電源喪失（ミッドループ運 転中の余熱除去系統の故障又は全交流動力電源喪失） | 高温点 ^{*2} | — |
| ⑯ | 原子炉冷却却材の流出(ミッドループ運転中の原子炉冷却却材流出) | 高温点 ^{*2} | — |

* 1：原子炉停止機能喪失では、SPARKLE-2 を使用。

* 2：炉心平均運動を解析する事象は炉心平均を用い、高温燃料棒を模擬した熱点解析を行う事象では高温点を用いている。
* 3：炉心平均運動を解析しているが、1次系圧力を高めに評価することを目的に高温点を用いている。

LOCA 時の破断位置設定の考え方について

重大事故対策の有効性評価において LOCA 事象を想定する場合の破断位置設定の考え方については以下のとおりである。

1. 運転中の原子炉における重大事故に至るおそれがある事故

(1) 破断位置

運転中の原子炉における重大事故に至るおそれがある事故のうち、LOCA 事象（原子炉格納容器の除熱機能喪失、ECCS 注水機能喪失、ECCS 再循環機能喪失）では、設置許可申請書添付書類十の安全解析の知見を踏まえ、以下の理由から低温側配管破断を想定している（図 1）。

- 低温側配管破断を想定する場合、炉心出口から破断点までの間に抵抗の大きい 1 次冷却材ポンプ、蒸気発生器が存在するため、炉心の冠水が遅れる。
- 低温側配管破断を想定する場合、破断ループに接続された ECCS 注入系の作動に期待できないことから、炉心注水が減少するため、炉心冷却能力が低下する。
- 「原子炉格納容器の除熱機能喪失」については、炉心冷却能力の観点に加え、蒸気発生器 2 次側保有熱量が原子炉格納容器内に放出されることからも低温側配管破断を想定している。なお、ECCS による炉心注入及び高圧再循環運転の成功を仮定しているため、LOCA 後の長期の原子炉格納容器圧力、温度に対する破断位置による差異は小さい。

(2) 破断口径

配管の両端破断を想定することで、原子炉からの 1 次冷却材の流出が大きくなり、炉心冷却性が厳しくなる。ただし、「ECCS 注水機能喪失」では高圧注入機能が喪失した場合に、時間余裕及び要求される設備容量の観点で厳しくなる中破断 LOCA のスプリット破断を想定している。

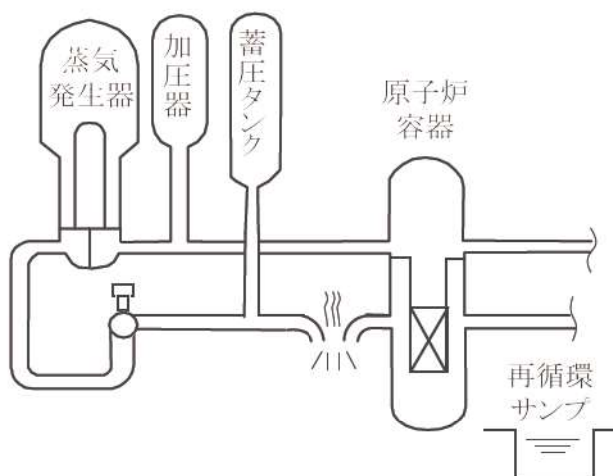


図 1 低温側配管破断の概要図

2. 重大事故

(1) 破断位置

重大事故のうち、LOCA 事象（格納容器過圧破損、溶融炉心・コンクリート相互作用、原子炉圧力容器外の溶融燃料－冷却材相互作用、水素燃焼）では、運転中の原子炉における重大事故に至るおそれがある事故のように ECCS 注水機能に期待しておらず、以下の理由から高温側配管破断を想定している（図 2）。

○ECCS 注水に期待していないこと、また、静的機器となる蓄圧タンクからの注水のみでは炉心冠水を維持できないことから、炉心冠水及び ECCS 系統数の影響がなくなる。したがって、高温側配管破断を想定する場合、早期に炉心からの蒸気が系外に放出されるため、事象進展が早く、炉心溶融、原子炉容器破損などの主要事象の発生時刻が早まり、厳しい想定となる。

(2) 破断口径

配管の両端破断を想定することで、原子炉格納容器へのエネルギー放出が大きくなるため、原子炉格納容器圧力及び温度の観点で厳しくなる。

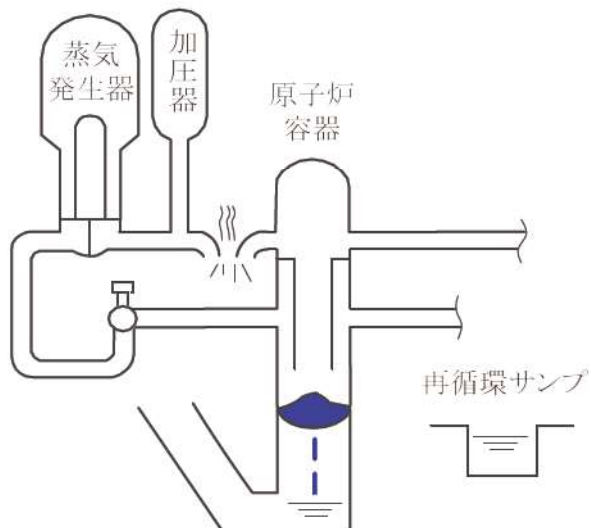


図 2 高温側配管破断の概要図

解析に使用する反応度添加曲線について

重大事故等対策の有効性評価において使用する制御棒クラスタ挿入による反応度添加曲線を図1に示す。

また、ステップ2燃料(55GWd/t)装荷炉心及びMOX燃料装荷炉心における制御棒挿入時間と添加反応度の関係について、トリップ反応度曲線の評価値(MOX燃料装荷炉心、ステップ2燃料装荷炉心)を安全解析使用値とともに図2に示す。

図2のトリップ反応度曲線の評価値は、実際の炉心設計における軸方向出力分布により、炉心下部方向に歪んだ分布*により計算している。このため、制御棒落下による炉心上部での添加反応度は、この評価値よりさらに添加反応度が小さくなるように設定されたものである。安全解析に使用する添加反応度は、この評価値よりもさらに添加反応度が小さくなるように設定されたものである。

以上より、図1の重大事故等対策の有効性評価に使用される制御棒クラスタ挿入による反応度添加曲線が得られる。

*：通常運転時からキセノン振動を強制的に励起させ、実際には生じえないほどの軸方向出力分布が炉心下部に歪む時点の出力分布を使用している。

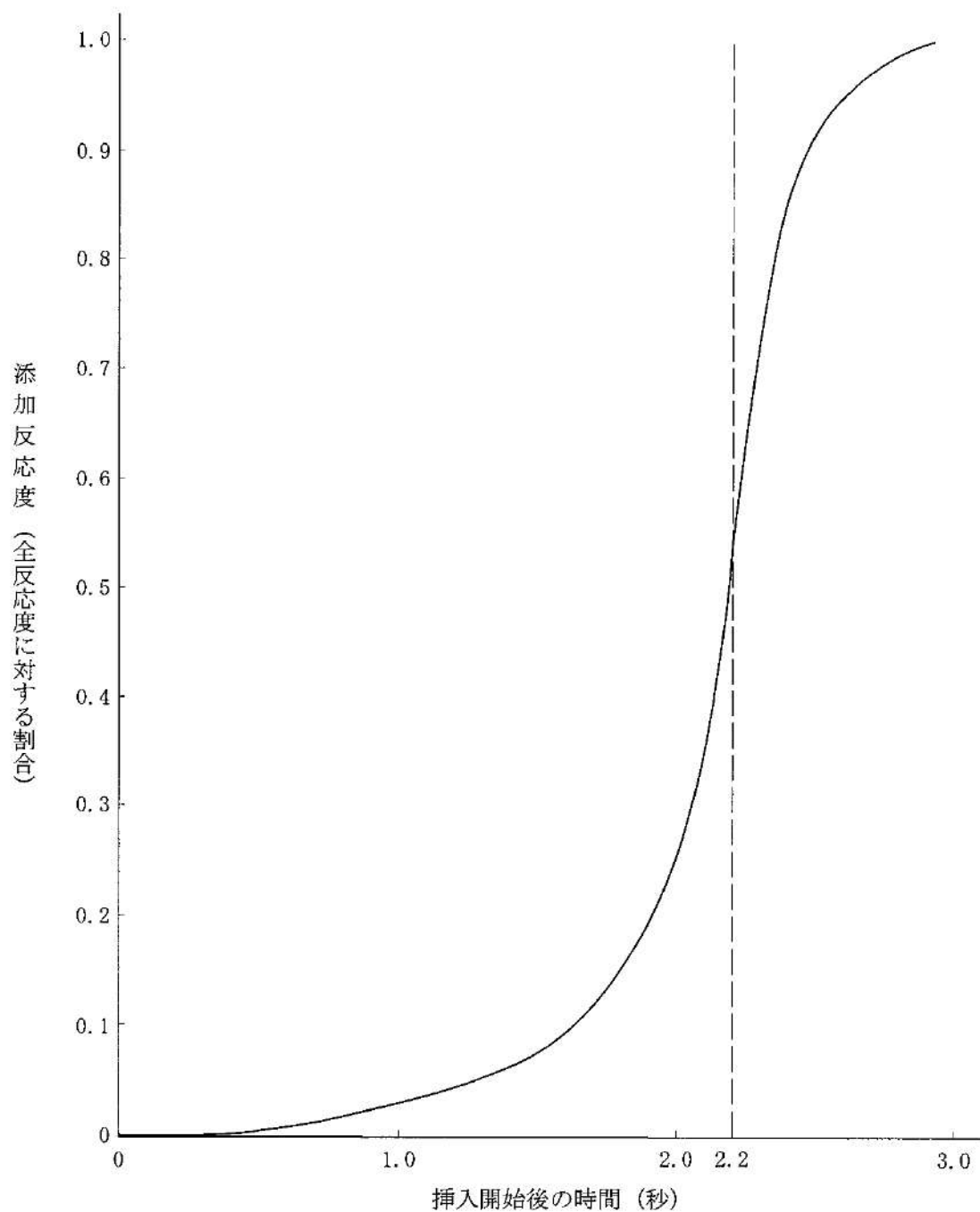


図1 トリップ時の制御棒クラスタ挿入による反応度添加曲線

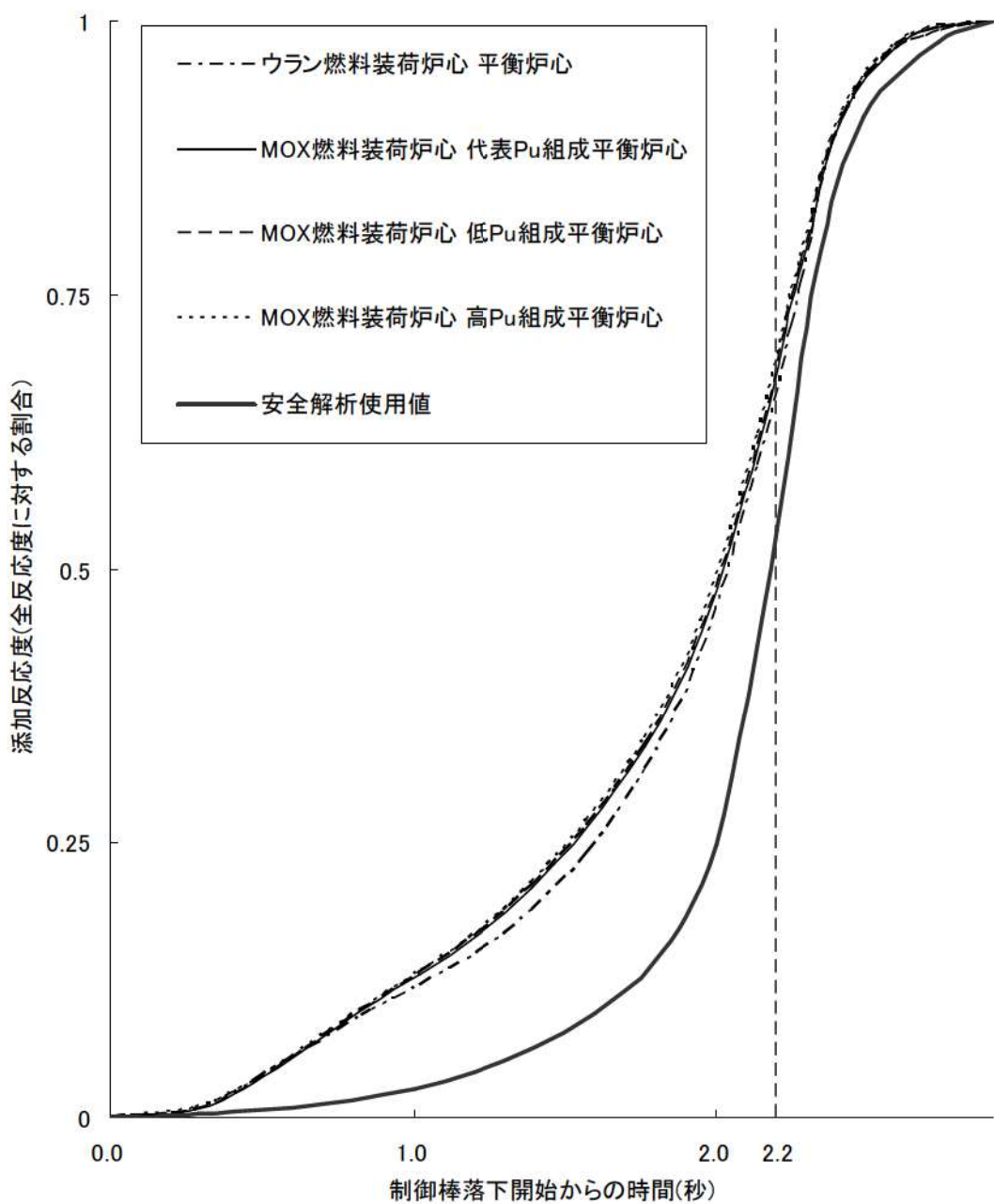


図2 トリップ時の制御棒クラスタ挿入による反応度添加曲線
(トリップ反応度曲線の評価値と安全解析使用値を併せて記載)

加圧器逃がし弁／安全弁及び主蒸気逃がし弁／安全弁作動圧力の設定の考え方について

有効性評価における加圧器逃がし弁/安全弁及び主蒸気逃がし弁/安全弁の作動開始圧力を表1に示す。作動開始圧力としては、原則として設計値を用いるが、加圧器安全弁及び主蒸気安全弁は、「運転時の異常な過渡変化」及び「設計基準事故」解析において、設計の妥当性を確認している安全設備であることから、今回の有効性評価においても、保守的に作動開始圧力と全開時の圧力を高めに設定した値を使用している。

表1 安全解析で期待する加圧器逃がし弁／安全弁及び
主蒸気逃がし弁／安全弁の作動設定値

| 弁 | 作動設定値(MPa[gage]) | 備考 |
|---------|---|--|
| 加圧器逃がし弁 | 開開始圧力 : [] | 実機設定圧通り |
| 加圧器安全弁 | 開開始圧力 : [] 全開圧力 : [] | 開開始圧力は高めに実機設定圧 ^{*1} の []倍としている。 全開圧力は高めに実機設定圧 ^{*1} に対して []倍としている。 |
| 主蒸気逃がし弁 | 開開始圧力 : [] | 実機設定圧通り |
| 主蒸気安全弁 | 第1弁開開始圧力 : [] 第1弁全開圧力 : [] 第2弁開開始圧力 : [] 第2弁全開圧力 : [] 第3弁開開始圧力 : [] 第3弁全開圧力 : [] | 開開始圧力は高めに実機設定圧 ^{*1} の []倍としている。 全開圧力は高めに実機設定圧 ^{*1} に対して []倍としている。 |

*1 実機設定圧は表2参照

表2 実機での加圧器安全弁／主蒸気安全弁作動設定値

| 弁 | 作動設定値(MPa[gage]) |
|--------|--|
| 加圧器安全弁 | 17.16 |
| 主蒸気安全弁 | 第1弁 : 7.48 第2弁 : 7.65 第3弁 : 7.85 |



枠囲みの内容は機密情報に属しますので公開できません。

使用済燃料ピットの水位低下及び遮蔽に関する評価条件について

1. 使用済燃料ピット概要図

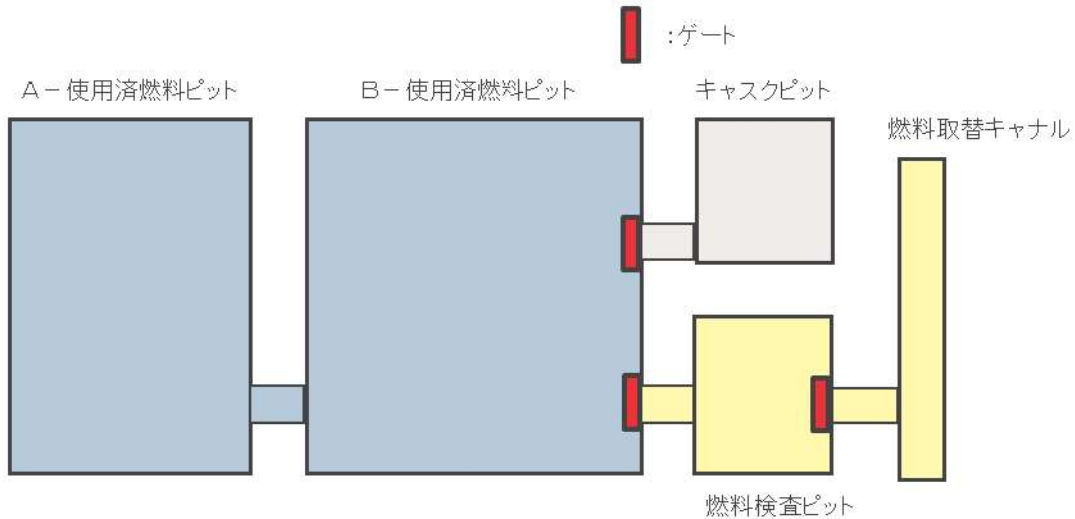


図1 使用済燃料ピット概略図（平面図）

※通常運転時は、A、B－使用済燃料ピット（上図の [] 箇所）と燃料検査ピット及び燃料取替キャナル（上図の [] 箇所）は、ゲートで分離されている。
定期検査中は燃料取出しのために上図 [] 箇所に水張りを行い、A、B－使用済燃料ピットは燃料検査ピット及び燃料取替キャナルと接続される。

2. 使用済燃料ピットの崩壊熱及びピット水量

① 定期検査中

使用済燃料の崩壊熱の設定条件として崩壊熱が高めとなるよう燃料取出し直後の状態を想定することから、燃料取替キャナル及び燃料検査ピットには燃料取出しのために水張りを行っており、A、B－使用済燃料ピットは燃料検査ピット及び燃料取替キャナルと接続されている状態である。

このため、有効性評価における条件を以下のとおり想定する。

表1 設定値（定期検査中）

| | 有効性評価にて 使用した設定値 | 設定の考え方 |
|------------------------|--------------------|--|
| 崩壊熱 ^{※1} | 11.508MW | A、B－使用済燃料ピットそれぞれ貯蔵容量満杯に保管された場合のA、B－使用済燃料ピット合計の崩壊熱を考慮 【原子炉から一時的に取り出された1回、2回及び3回照射燃料全てを使用済燃料ピットに保管し、燃料取出期間を7.5日とした場合の崩壊熱】 |
| 評価 水量 ^{※2} | 630m ³ | A、B－使用済燃料ピット、燃料取替キャナル及び燃料検査ピットが接続された状態での必要遮蔽水厚の水量を考慮 |
| | 362m ³ | |

※1：崩壊熱の評価条件

※2：上段が想定事故1のピット水量、下段が想定事故2のピット水量を示す。

表2 燃料条件（定期検査中）

| 燃料条件 | | ウラン燃料 (最高燃焼度：55GWd/t、ウラン濃縮度4.8wt%) MOX燃料 (最高燃焼度：45GWd/t) |
|------|------------|---|
| 貯蔵体数 | A－使用済燃料ピット | 600体 |
| | B－使用済燃料ピット | 840体 |
| | 合計 | 1,440体 |

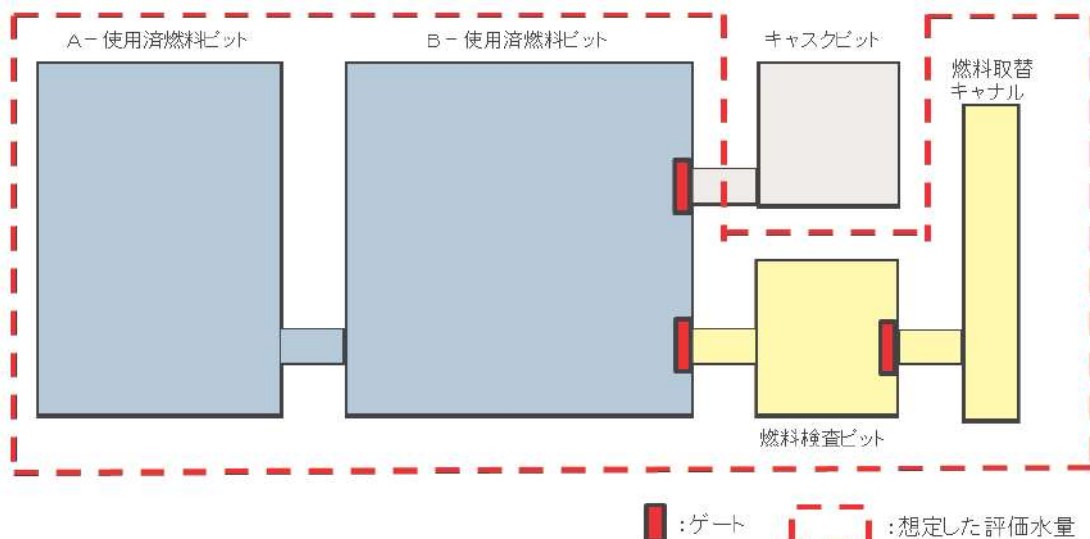


図1 使用済燃料ピット概略図（平面図）

② 通常運転中

通常運転中は、燃料検査ピット及び燃料取替キャナルに水を張っておらず、A、B－使用済燃料ピットのみ水を張っている期間が存在する。

このため、有効性評価における条件を以下のとおり想定する。

表3 設定値（通常運転中）

| | 有効性評価にて 使用した設定値 | 設定の考え方 |
|------------------------|--------------------|--|
| 崩壊熱 ^{*1} | 5.122MW | 崩壊熱の高い燃料を優先的に貯蔵した場合に、評価結果の厳しくなるピットの崩壊熱及び水量を設定 【原子炉から一時的に取り出された1回及び2回照射燃料を使用済燃料ピットから炉心に再装荷し、定検期間を30日とした場合の崩壊熱】 |
| 評価 水量 ^{*2} | 525m ³ | A、B－使用済燃料ピットのみ水を張っている状態での必要遮蔽水厚の水量を考慮 |
| | 303m ³ | |

※1：崩壊熱の評価条件

※2：上段が想定事故1のピット水量、下段が想定事故2のピット水量を示す。

表4 燃料条件（通常運転中）

| 燃料条件 | | ウラン燃料 (最高燃焼度：55GWd/t、ウラン濃縮度4.8wt%) MOX燃料 (最高燃焼度：45GWd/t) |
|------|------------|---|
| 貯蔵体数 | A－使用済燃料ピット | 600体 |
| | B－使用済燃料ピット | 840体 |
| | 合計 | 1,440体 |

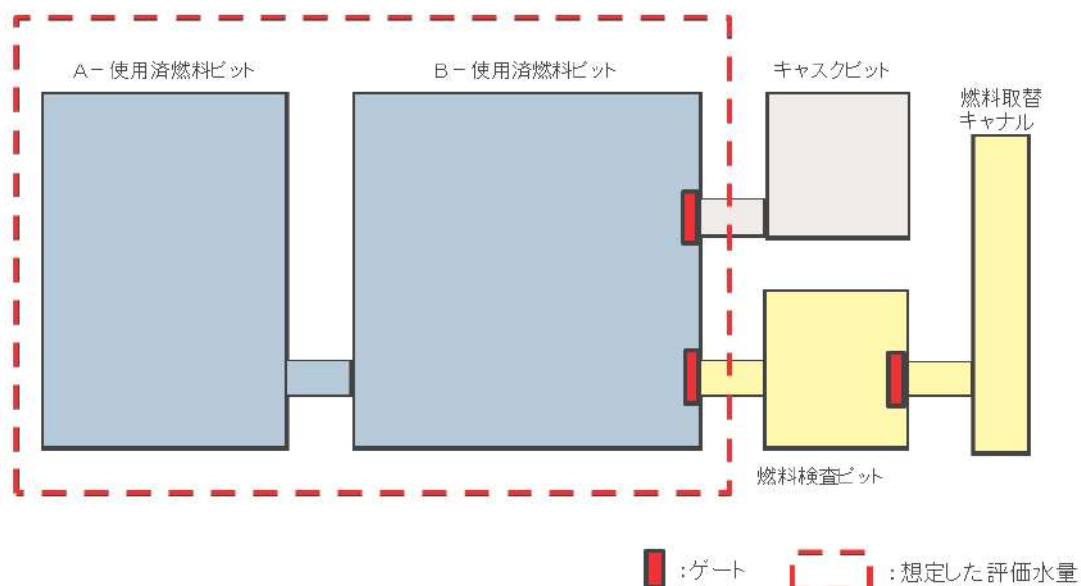


図2 使用済燃料ピット概略図（平面図）

3. 「水遮蔽厚に対する貯蔵中の使用済燃料からの水面線量率」の計算条件について

「水遮蔽厚に対する貯蔵中の使用済燃料からの水面線量率」については、以下の計算方法により求めている。

(1) 使用済燃料の線源強度

使用済燃料の線源強度は、工事計画認可申請書の生体遮蔽装置用の計算に用いている原子炉停止後100時間の線源強度を使用しており、使用済燃料ピットに貯蔵されている全ての燃料集合体に対して適用している。これは、泊3号炉にて使用されている高燃焼度ステップ2ウラン燃料（最高燃焼度55,000MWD/t）およびMOX燃料（最高燃焼度45,000MWD/t）について、ORIGEN2コードを用いて計算した結果を包含する保守的な値であることを確認している。

(2) 水面線量率

線量率は、点減衰核積分コードであるSPAN-SLABコードを用いて計算している。使用済燃料は直方体形状にモデル化し、燃料集合体1体あたりの水面線量率に対して、使用済燃料ピットの最大貯蔵体数をかけて水面線量率を求めている。

計算式は以下のとおりである。

$$D(E) = K(E) \int v \frac{S(E)}{4 \pi r^2} B(E) \cdot e^{-b} dV$$

ここで、

$D(E)$: 線量率 (mSv/h)

$S(E)$: 線源強度 (MeV/(cm³ · s))

$K(E)$: 線量率の換算係数 ((mSv/h)/(MeV/(cm² · s)))

$B(E)$: ビルドアップファクタ

$$B(E) = A \cdot e^{(-\alpha_1 \cdot b)} + (1 - A) \cdot e^{(-\alpha_2 \cdot b)}$$

A 、 α_1 、 α_2 は定数

r : 線源から計算点までの距離 (cm)

V : 線源体積 (cm³)

b : 減衰距離

$$b = \sum_{i=1}^n \mu_i \cdot t_i$$

μ_i : 物質 i の線減衰係数 (cm⁻¹)

$$\mu_i = (\mu / \rho)_i \times \rho_i$$

$(\mu / \rho)_i$: 物質 i の質量減衰係数 (cm²/g)

ρ_i : 物質 i の密度 (g/cm³)

t_i : 物質 i の透過距離 (cm)

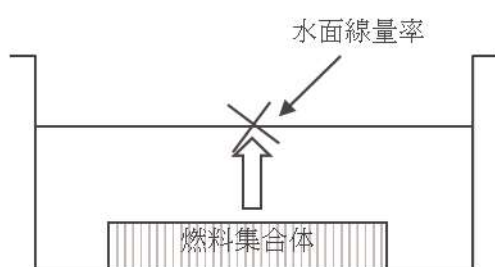


図1 使用済燃料ピットの線源強度概要
SFPの水面線量率
=燃料集合体1体からの水面線量率
×SFP最大貯蔵体数

4. 放射線の遮蔽が維持される水位について

放射線の遮蔽が維持される水位については、以下のとおり使用済燃料ピット保有水の水位が低下した場合でも、使用済燃料ピット中央水面での線量率は、燃料取替時の燃料取扱棟の遮蔽設計基準値を超えない範囲である。

(1) 想定事故 1

a. SFP保有水高さ

燃料集合体より上の水の高さ

= 約7.62m

b. 必要遮蔽厚

下記グラフから4.25m以上

c. 許容水位低下量

$a - b =$ 約3.37m

安全側に3.3mとする。

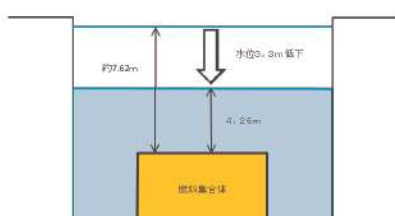


図1 使用済燃料ピット水位量概略図(想定事故1)

2) 想定事故 2

a. SFP保有水高さ

燃料集合体より上の水の高さ

= 約6.27m

b. 必要遮蔽厚

下記グラフから4.25m以上

c. 許容水位低下量

$a - b =$ 約2.02m

安全側に2.0mとする。

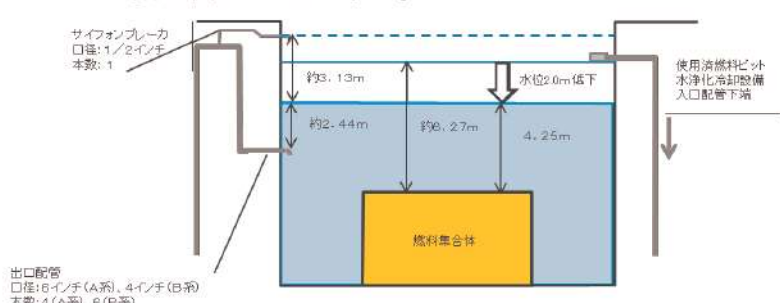


図2 使用済燃料ピット水位量概略図(想定事故2)

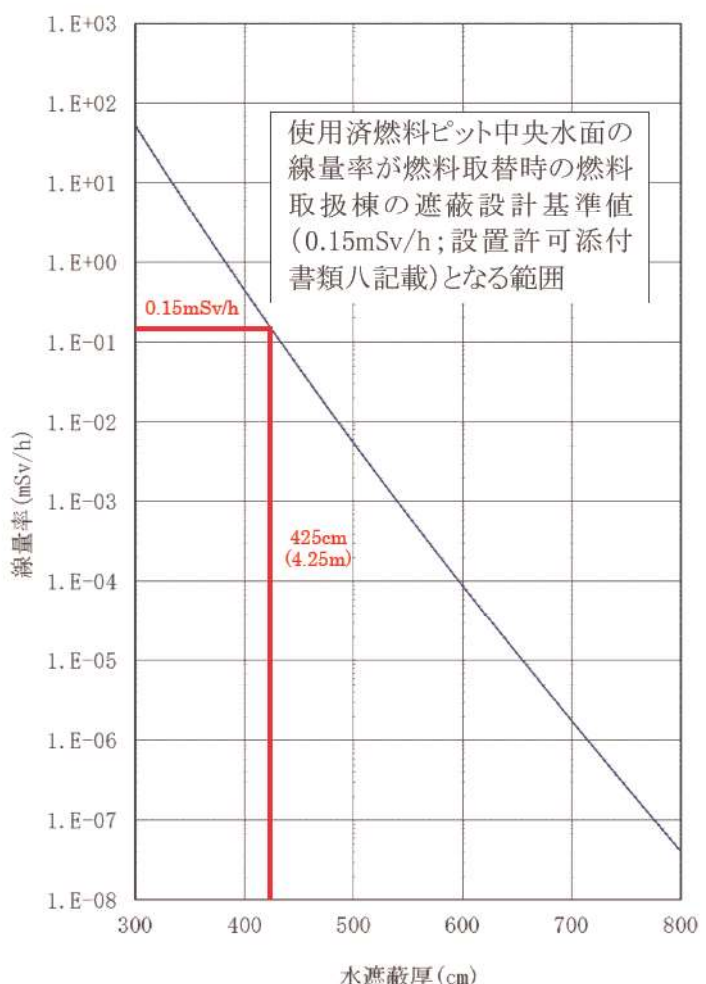


図3 水遮蔽厚に対する貯蔵中の使用済燃料からの水面線量率

※水温52°C、燃料有効部からの評価値。

100°Cの水を考慮した場合、必要水厚は、約11cm増加するが、本評価では、燃料有効部から [] 余裕を見込んだ燃料上部ノズル部からの必要水厚として評価していること、上部ノズル・プレナム等の遮蔽を考慮していないことから、評価上の余裕に含まれる。

[] 部は機密情報に属しますので公開できません。

5. 燃料取替スキーム

(1) 使用済燃料ピットに貯蔵する使用済燃料の熱負荷 (停止時)

| 取出燃料 | 泊3号炉燃料 | | | | 泊1, 2号炉燃料 | | | |
|-------------|---------------------|---------|-------|---------|-----------|------------------|----------|-------|
| | 冷却期間 | | MOX燃料 | | ウラン燃料 | | 冷却期間 | |
| | 取出燃料数 | 崩壊熱(MW) | 取出燃料数 | 崩壊熱(MW) | | 取出燃料数 | 崩壊熱(MW) | |
| 今回取出 | 7.5日 | 16体 | 0.978 | 39体 | 1.712 | — | — | — |
| 今回取出 | 7.5日 | 16体 | 1.110 | 39体 | 1.855 | — | — | — |
| 今回取出 | 7.5日 | 8体 | 0.571 | 39体 | 1.988 | — | — | — |
| 1サイクル冷却済燃料 | (13ヶ月+30日) ×1+7.5日 | ※1 | 0.176 | 39体 | 0.234 | — | — | — |
| 2サイクル冷却済燃料 | (13ヶ月+30日) ×2+7.5日 | ※1 | 0.088 | 39体 | 0.127 | 2年 | 40体×2 | 0.256 |
| 3サイクル冷却済燃料 | (13ヶ月+30日) ×3+7.5日 | ※1 | 0.062 | 39体 | 0.084 | (13ヶ月+30日) ×1+2年 | 40体×2 | 0.168 |
| 4サイクル冷却済燃料 | (13ヶ月+30日) ×4+7.5日 | ※1 | 0.053 | 39体 | 0.064 | — | — | — |
| 5サイクル冷却済燃料 | (13ヶ月+30日) ×5+7.5日 | ※1 | 0.049 | — | — | — | — | — |
| 6サイクル冷却済燃料 | (13ヶ月+30日) ×6+7.5日 | ※1 | 0.047 | — | — | — | — | — |
| 7サイクル冷却済燃料 | (13ヶ月+30日) ×7+7.5日 | ※1 | 0.045 | — | — | — | — | — |
| ... | ... | ... | ... | — | — | — | — | — |
| 59サイクル冷却済燃料 | (13ヶ月+30日) ×59+7.5日 | ※1 | 0.025 | — | — | — | — | — |
| 60サイクル冷却済燃料 | (13ヶ月+30日) ×60+7.5日 | ※1 | 0.025 | — | — | — | — | — |
| 61サイクル冷却済燃料 | (13ヶ月+30日) ×61+7.5日 | 8体 | 0.013 | — | — | — | — | — |
| 小計 | — | 1008体 | 5.020 | 273体 | 6.064 | — | 160体 | 0.424 |
| 合計 | 取出燃料体数※2 | 1,441体 | — | — | — | — | 11,508MW | — |

添 6.5.7-6

※1：2回照射MOX燃料8体、3回照射MOX燃料8体 ※2：泊発電所3号機使用済燃料ビットの燃料保管容量は1440体

(1) 使用済燃料ビットに貯蔵する使用済燃料の熱負荷（運転時）

| 取出燃料 | 泊3号炉燃料 | | | | 泊1, 2号炉燃料 | | | |
|-------------|--------------------|---------|-------|---------|-----------|------------------|----------------|--|
| | 冷却期間 | | MOX燃料 | | ウラン燃料 | | 冷却期間 | |
| | 取出燃料数 | 崩壊熱(MW) | 取出燃料数 | 崩壊熱(MW) | | 取出燃料数 | 崩壊熱(MW) | |
| 今回取出 | — | — | — | — | — | — | — | |
| 今回取出 | 30日 | 8体 | 0.376 | — | — | — | — | |
| 今回取出 | 30日 | 8体 | 0.390 | 39体 | 1.094 | — | — | |
| 1サイクル冷却済燃料 | (13ヶ月+30日) ×1+30日 | ※1 | 0.166 | 39体 | 0.224 | — | — | |
| 2サイクル冷却済燃料 | (13ヶ月+30日) ×2+30日 | ※1 | 0.085 | 39体 | 0.124 | 2年 | 40体×2 0.256 | |
| 3サイクル冷却済燃料 | (13ヶ月+30日) ×3+30日 | ※1 | 0.062 | 39体 | 0.081 | (13ヶ月+30日) ×1+2年 | 40体×2 0.168 | |
| 4サイクル冷却済燃料 | (13ヶ月+30日) ×4+30日 | ※1 | 0.053 | 39体 | 0.063 | — | — | |
| 5サイクル冷却済燃料 | (13ヶ月+30日) ×5+30日 | ※1 | 0.049 | — | — | — | — | |
| 6サイクル冷却済燃料 | (13ヶ月+30日) ×6+30日 | ※1 | 0.047 | — | — | — | — | |
| 7サイクル冷却済燃料 | (13ヶ月+30日) ×7+30日 | ※1 | 0.045 | — | — | — | — | |
| ... | ... | ... | ... | — | — | — | — | |
| 59サイクル冷却済燃料 | (13ヶ月+30日) ×59+30日 | ※1 | 0.025 | — | — | — | — | |
| 60サイクル冷却済燃料 | (13ヶ月+30日) ×60+30日 | ※1 | 0.025 | — | — | — | — | |
| 61サイクル冷却済燃料 | (13ヶ月+30日) ×61+30日 | 8体 | 0.013 | — | — | — | — | |
| 小計 | — | 984体 | 3.112 | 195体 | 1.586 | — | 160体 0.424 | |
| 合計 | 取出燃料体数※2 | 1,339体 | | | 崩壊熱 | | 5.122MW | |

※1：2回照射MOX燃料8体、3回照射燃料8体 ※2：泊発電所3号機使用済燃料ビットの燃料保管容量は1440体

(参考) 事象発生時の使用済燃料ピットの初期水位、初期水温設定について

使用済燃料ピットの水位低下時間評価における初期水位、初期水温は、それぞれ実運用及び実測値を踏まえ設定したものである。以下に初期水位、初期水温の条件設定の考え方を示す。

(1) 初期水位 (NWL : T. P. 32.66m)

初期水位は、水位低警報 (NWL - 0.08m : T. P. 32.58m) を下回らないよう、通常は水位 NWL ± 0.05m を目安に管理運用している。よって、最適評価として初期水位を NWL に設定した。

(2) 初期水温 (40°C)

初期水温は、燃料取出し完了後の使用済燃料ピット水温の実測値に基づき設定した。至近の泊発電所における定検時の燃料取出し完了後～燃料装荷までの使用済燃料ピット水温実測値の最高値を以下に示す。

表1 各号機の使用済燃料ピット水温 (運転中、定検中)

a. 泊発電所3号機(定検中)

(運転中(参考))

| 定検回数 (年度) | 1回 (2011) | 2回 (2012) |
|--------------|--------------|--------------|
| SFP 水温 | 21.8 | 29.5 |

| 年 | 2009 | 2010 | 2011 | 2012 |
|--------|------|------|------|------|
| SFP 水温 | 25.1 | 25.9 | 26.3 | 12.2 |

b. 泊発電所1号機(定検中)

(運転中(参考))

| 定検回数 (年度) | 14回 (2007) | 15回 (2008) | 16回 (2009) | 17回 (2011) |
|--------------|---------------|---------------|---------------|---------------|
| SFP 水温 | 25.0 | 35.0 | 23.5 | 31.8 |

| 年 | 2007 | 2008 | 2009 | 2010 | 2011 |
|--------|------|------|------|------|------|
| SFP 水温 | 31.5 | 26.0 | 27.5 | 33.5 | 15.0 |

c. 泊発電所2号機(定検中)

(運転中(参考))

| 定検回数 (年度) | 13回 (2008) | 14回 (2009) | 15回 (2010) | 16回 (2011) |
|--------------|---------------|---------------|---------------|---------------|
| SFP 水温 | 31.5 | 24.5 | 29.0 | 43.0 |

| 年 | 2007 | 2008 | 2009 | 2010 | 2011 |
|--------|------|------|------|------|------|
| SFP 水温 | 29.0 | 29.0 | 30.0 | 32.0 | 29.0 |

以上に示すとおり、定検中の使用済燃料ピット水温の最高値は約 21°C～43°C の間で分布しており、最適評価として初期水温を 40°C に設定した。

また、運転中の使用済燃料ピット水温の最高値は約 12°C～34°C の間で分布しており、最適評価として初期水温を 30°C に設定した。

3 ループ標準値を用いた解析から泊 3 号炉の個別解析に見直した経緯 及び見直しに伴う影響について

泊 3 号炉の重大事故等対策の有効性評価において、当初申請では国内 PWR において代表性のある 3 ループ標準プラントデータ（以下、「3 ループ標準値」という。）をベースとして用いた解析を実施していたが、今回、個別プラントの設計条件を用いた解析（以下、「個別解析」という。）へと見直したことから、解析条件を見直した経緯及びその影響について以下にまとめた。

1. 解析条件を見直した経緯について

- ・ 泊 3 号炉の原子炉設置変更許可申請時における重大事故等対策の有効性評価にあたっては、審査ガイド類に則って評価を行うことを前提としつつ、効率的な解析作業を進めることも念頭に置き、3 ループ標準値を解析の入力条件として可能な限り活用した評価を行った。
なお、一部の入力条件に 3 ループ標準値を採用することの妥当性確認については、平成 26 年 1 月 28 日の審査会合において説明済である。
- ・ その後、個別解析を実施する十分な時間が確保出来たことから、全事象において泊 3 号炉の個別プラントの設計条件を用いた解析を改めて実施した。

2. 見直しに伴う影響について

当初申請解析（3 ループ標準値をベースとして使用）と個別解析との間で、解析条件の相違による双方の解析結果の差を以下のとおり確認した。

なお、「原子炉停止機能喪失」については、当初申請解析と個別解析の間で解析結果に有意な影響を与えるパラメータである減速材温度係数を見直していることから、ここでの比較・考察の対象外とする。

■ 解析条件の差が解析結果及び事象進展に及ぼす影響

① 補助給水流量

解析条件で両者の差が比較的大きい項目として「補助給水流量」が挙げられる。泊 3 号炉では、設備の合理化のため、リファレンスプラントと比較してタービン動補助給水ポンプの容量を低減している（別紙 5）。このため、タービン動補助給水ポンプ 1 台による補助給水となる「全交流動力電源喪失」では、個別解析の方が蒸気発生器保有水量の回復が遅くなる傾向があるが、炉心の健全性に影響を及ぼすパラメータである「1 次系保有水量」、「燃料被覆管温度」等はほぼ同様の挙動を示していることから、1 次系からの除熱に必要な補助給水流量を確保出来ていることを確認した。

（別紙 1-1 (2/8)、別紙 2-1 (12/43)、(17/43)）

② ポンプの注入特性

「余熱除去ポンプの注入特性」は、個別解析の方が高圧時の注入流量が若干多くなる特性となっている。これにより、「ECCS 注水機能喪失（2 インチ破断）」の「燃料被覆

管温度」は、当初申請解析ではごく短時間ではあるが燃料が露出するため燃料被覆管温度が初期値から上昇するが、個別解析では終始冠水しているため上昇しない。いずれも燃料被覆管温度は制限値に対して十分に低く問題ない。

(別紙 1-1 (5/8)、別紙 2-1 (33/43))

③ CV関連パラメータ

「CV自由体積」は個別解析の方が若干小さく、「CV再循環ユニットの除熱特性」も若干低いため、「原子炉格納容器圧力」及び「原子炉格納容器雰囲気温度」が高めに推移する傾向となる。これにより、「原子炉格納容器の除熱機能喪失」、「格納容器過圧破損」及び「格納容器過温破損」の「原子炉格納容器圧力」及び「原子炉格納容器雰囲気温度」においては、CVの最高圧力・温度が異なってくるが、その差は小さい。(CV圧力・温度は個別解析の方が最大値で約 0.025MPa[gage] (過圧破損)、約 3°C高い (過温破損))

(別紙 1-1 (3/8)、別紙 1-2 (1/3)、(2/3)、

別紙 2-1 (20/43)、(21/43)、別紙 2-2 (1/11)、(3/11)、(6/11)、(7/11))

④ 1次冷却材平均温度（初期）

電気出力向上のため、泊3号機（電気出力 912MWe）ではリファレンスプラントである伊方3号機（電気出力 890MWe）よりも原子炉容器出口温度を高く設定している。なお、原子炉容器出口温度の設定に当たっては、国内既設4ループ（325°C）を参考に、熱的裕度を確保し、燃料被覆管腐食制限等を逸脱しないような値として 325.0°Cと設定している。これに伴い、1次冷却材平均温度（初期）は3ループ標準値（302.3+2.2°C）に対して 306.6+2.2°Cと 4.3°C高くなり、1次冷却材の初期エネルギーがやや大きいが、その差は炉心崩壊熱による発生エネルギーと比べると十分に小さく、解析結果に及ぼす影響は小さい。

(別紙 1-1、別紙 1-2)

⑤ その他の項目

その他の項目に関しては、解析条件の差が解析結果に与える影響は小さく、事象進展では細かい挙動の違いが見られるものもあるが、ほぼ同様の挙動となっている。

なお、解析条件に直接は関係がないものの、リファレンスプラントである伊方3号機と違い、泊3号機では 55GWd/t+1/4MOX を設計ベースとしていることから、燃料取替用水ピットのほう素濃度増加による設備面でのデメリットを回避するためほう酸注入タンクを設置している。

■評価項目に対する解析結果の比較（別紙3）

ここでは重大事故等対策の有効性評価の各事故シーケンスグループ等における判断基準となる評価項目について、当初申請解析と個別解析の解析結果を一覧表にまとめた。

評価項目に対する解析結果で両者の差が比較的大きなものとして「原子炉格納容器圧力」が挙げられるが、これは主にCV自由体積及び格納容器再循環ユニットの除熱特性の差によるものである。個別解析の結果の方が圧力、温度ともにやや高めとなっているが、判断基準に対しては十分余裕があり、原子炉格納容器圧力バウンダリの健全性に影響はないことを確認した。

その他の評価項目については、両者の差は小さく、また、判断基準に対して大きな余裕があることを確認した。

■運転員等操作に対する解析結果の比較（別紙4）

運転員等操作に対する解析結果は、いずれも事象発生からの経過時間に大きな差はなく、運転操作上の余裕の観点からも評価結果に大きな影響を与えていないことを確認した。

以 上

解析条件の差が解析結果に及ぼす影響
(運転中の原子炉における重大事故に至るおそれがある事故)

「2次冷却系からの除熱機能喪失」(主給水流量喪失時に補助給水機能が喪失する事故)

| 項目 | 当初申請解析 | 個別解析 | 解析条件の差が解析結果に及ぼす影響 |
|-------------------------|--|--|--|
| 炉心熱出力 (初期) | 2652 × 1.02MWh | 同左 | 相違なし |
| 1次冷却材平均温度 (初期) | 302.3 + 2.2°C | 306.6 + 2.2°C | 1次冷却材平均温度は個別解析の方が4.3°C高く、1次冷却材の初期エネルギーがやや大きいが、その差は炉心前壁熱による発生エネルギーと比べると十分に小さく、解析結果に及ぼす影響は小さい。 |
| 1次冷却材圧力 (初期) | 15.41+0.21MPa [gage] | 同左 | 相違なし |
| 2次側圧力 (初期) | 5.32+0.21MPa [gage] | 5.73+0.21MPa [gage] | 2次側圧力の初期条件が長期的なプラント拳動へ及ぼす影響は小さい。また、主蒸気逃がし弁／安全弁の自動動作時の除熱量は弁の作動設定圧に依存し、2次側圧力の影響は受けない。 |
| 炉心崩壊熱 | AESJ+ORIGEN2 (UO ₂ +1/4MOX炉心) | 同左 | 相違なし |
| 炉心バイパス流量 | 4.0% | 6.5% | 炉心バイパス流量の差は2.5%であり、炉心冷却に寄与しない流れが増えたため評価としては厳しくなる方向であるが、解析結果に及ぼす影響は小さい。 |
| 1次系体積 (定格時、SG伝熱管10%プラグ) | 264m ³ | 273m ³ | RCS体積は3.6%程度大きく、1次冷却材の初期エネルギーがやや大きいが、その差は炉心前壁熱による発生エネルギーと比べると十分に小さく、解析結果に及ぼす影響は小さい。 |
| 加压器水位 | 60%体積 | 65%体積 | 加压器水位は個別解析がわずかに高いが、解析結果に及ぼす影響は小さい。 |
| 1次冷却材流量 (熱設計流量) | 60300m ³ /h | 60900m ³ /h | 熱設計流量の相違は0.5%程度であり、解析結果に及ぼす影響は小さい。 |
| RCP型式 | 93A | 100D | 型式差により、個別解析の方がRCP停止時のRCS流量の減少がやや遅くなるが、解析結果に及ぼす影響は小さい。 |
| SG型式 | 52F | 54F | SG2次側保有水量は個別解析の方が2t大きいが、初期保有水量の差による1次系の除熱能力への影響は小さく、解析結果に及ぼす影響は小さい。 |
| SG2次側保有水量 | 48t/基 | 50t/基 | |
| 加压器逃がし弁 (個数、容量、設定圧力) | 2個、95t/h/個、□ MPa [gage] | 同左 | 相違なし |
| 高压注入ポンプ (台数、注入特性) | 2台、最小注入特性 (0m ³ /h～約230m ³ /h、0MPa [gage]～約13.0MPa [gage]) | 2台、最小注入特性 (0m ³ /h～約250m ³ /h、0MPa [gage]～約12.7MPa [gage]) | 個別解析の方が高圧時の炉心注入流量が若干多くなる注入特性であるが、解析結果に及ぼす影響は小さい。 |
| 重大事故等対策 | フィードアンドブリード ・条件：SG広域水位0%以下 ・運転員操作時間：5分 | 同左 | 相違なし |

■：当初申請解析とのパラメータの相違点
□：相違があるパラメータのうち、事象進展に有意な影響を与えるパラメータ

枠囲みの内容は機密情報に属しますので公開できません。

解析条件の差が解析結果に及ぼす影響

(運転中の原子炉における重大事故に至るおそれがある事故)

「全交流動力電源喪失」(外部電源喪失時)に非常用所内交流電源が喪失し、原子炉補機冷却機能を喪失する事故)
 (「原子炉補機冷却機能喪失」も同じ)

「全交流動力電源喪失」(外部電源喪失時)に非常用所内交流電源が喪失し、原子炉補機冷却機能が喪失する事故)

| 項目 | 当初申請解析 | 個別解析 | 解析条件の差が解析結果に及ぼす影響 |
|-------------------------------------|--|---|---|
| 炉心熱出力 (初期) | 2652 × 1.02MWt | 同左 | 相違なし |
| 1次冷却材平均温度 (初期) | 302.3 +2.2°C | 306.6 +2.2°C | 1次冷却材平均温度は個別解析の方が4.3°C高く、1次冷却材の初期エネルギーがやや大きいため、その差は炉心崩壊熱による発生エネルギーと比べると十分に小さく、解析結果に及ぼす影響は小さい。 |
| 1次冷却材圧力 (初期) | 15.41+0.21MPa [gage] | 同左 | 相違なし |
| 2次側圧力 (初期) | 5.32+0.21MPa [gage] | 5.73+0.21MPa [gage] | 2次側圧力の初期条件が長期的なプラント運動へ及ぼす影響は小さい。また、主蒸気逃げ弁ノブ安全弁の自動動作時の除熱量は弁の作動設定圧に依存し、2次側圧力の影響は受けない。 |
| 炉心崩壊熱 | AESJ+0R1GEN2 (10 ² +1/4MΩX炉心) | 同左 | 相違なし |
| 炉心バイパス流量 | 4.0% | 6.5% | 炉心バイパス流量の差は2.5%であり、炉心冷却に寄与しない流れが増えたため評価としては厳しくなる方向であるが、解析結果に及ぼす影響は小さい。 |
| 1次系体積 (定格時、SG伝熱管10%ブレーキ) | 264m ³ | 273m ³ | RCS体積は3%程度大きくなり、1次冷却材の初期エネルギーがやや大きいが、その差は炉心崩壊熱による発生エネルギーと比べると十分に小さく、解析結果に及ぼす影響は小さい。 |
| 加圧器水位 | 60%体積 | 65%体積 | 加圧器水位は個別解析がわずかに高いが、解析結果に及ぼす影響は小さい。 |
| 1次冷却材流量 (熱設計流量) | 60300m ³ /h | 60600m ³ /h | 熱設計流量の相違は0.5%程度であり、解析結果に及ぼす影響は小さい。 |
| RCP型式 | 93A | 1000 | 型式により、個別解析の方がRCP停止時のRCS流量の減少がやや遅くなるが、解析結果に及ぼす影響は小さい。 |
| RCPシール部からの漏えい率 (初期) (RCPシールLOCA) | 定格圧力において、約109m ³ /h/台 | 同左 | 相違なし |
| RCPシール部からの漏えい率 (初期) (RCPシールリーフ) | 定格圧力において、約1.5m ³ /h/台 | 同左 | 相違なし |
| SG型式 | 52F | 54F | SG2次側保有水量は個別解析の方が2t大きいが、初期保有水量の差による1次系の除熱能力への影響は小さく、解析結果に及ぼす影響は小さい。 |
| SG2次側保有水量 (初期) | 48t/基 | 50t/基 | SG2次側保有水量は個別解析の方が2t大きいが、初期保有水量の差による1次系の除熱能力への影響は小さく、解析結果に及ぼす影響は小さい。 |
| 主蒸気逃がし弁 (個数、容量、設定圧力) | 3個 定格蒸気の10%、 ■ MPa [gage] | 同左 | 相違なし |
| 蓄圧タンク (保有水量、保持圧力) | 29.0m ³ /基、4.04MPa [gage] | 同左 | 相違なし |
| 代替CVスプレイボンブ (台数、流量) | 1台、30m ³ /h | 同左 | 相違なし |
| 補助給水ポンプ (台数、流量) | タービン動補助給水ポンプ1台 160m ³ /h (蒸気発生器3基合計) | タービン動補助給水ポンプ1台 80m ³ /h (蒸気発生器3基合計) | 補助給水ポンプの流量は、個別解析の方が約半分と少なく、事象発生後の蒸気発生器保有水量の回復が遅くなるが、必要な除熱量は確保されており、解析結果に及ぼす影響は小さい。 |
| CV自由体積 | 67400m ³ | 65500m ³ | CV自由体積の相違は3%程度であり、CV圧力が高くなる傾向であるが、解析結果に及ぼす影響は小さい。 |
| 重大事故等対策 | 2次系強制冷却 ・事象発生の30分後に開始 代替炉心注水 ・1次冷却材圧力0.7MPa [gage] 到達後に開始 | 同左 | 相違なし |

■ : 当初申請解析とのパラメータの相違点

■ : 相違があるパラメータのうち、事象進展に有意な影響を与えるパラメータ

解析条件の差が解析結果に及ぼす影響
(運転中の原子炉における重大事故に至るおそれがある事故)

「原子炉格納容器の除熱機能喪失」(大破断LOCA時に低圧再循環機能及び格納容器スプレイ注入機能が喪失する事故)

| 項目 | 当初申請解析 | 個別解析 | 解析条件の差が解析結果に及ぼす影響 |
|------------------------|--|---|--|
| 炉心熱出力 (初期) | 2652×1.02MWt | 同左 | 相違なし |
| 1次冷却材平均温度 (初期) | 302.3+2.2°C | 306.6+2.2°C | 1次冷却材平均温度は個別解析の方が4.3°C高く、1次冷却材の初期エネルギーがやや大きいが、その差は恒温前線による発生エネルギーと比べると十分に小さく、解析結果に及ぼす影響は小さい。 |
| 1次冷却材圧力 (初期) | 15.41+0.21MPa [gage] | 同左 | 相違なし |
| 2次側圧力 (初期) | 5.32+0.21MPa [gage] | 5.73+0.21MPa [gage] | 2次側圧力の初期条件が長期的なプラント運動へ及ぼす影響は小さい。また、主蒸気逃げ弁／安全弁の自動動作時の除熱量は弁の作動設定圧に依存し、2次側圧力の影響は受けない。 |
| 炉心崩壊熱 | AESJ+ORIGEN2 (UO ₂ +1/AMOX炉心) | 同左 | 相違なし |
| 1次系体積 (定格時、SG伝熱管10%破裂) | 264m ³ | 273m ³ | RCS体積は3%程度大きく、1次冷却材の初期エネルギーがやや大きいが、その差は炉心崩壊熱による発生エネルギーと十分に小さく、解析結果に及ぼす影響は小さい。 |
| 加圧器水位 | 60%体積 | 65%体積 | 加圧器水位は個別解析がわずかに高いが、解析結果に及ぼす影響は小さい。 |
| 1次冷却材流量 (熱設計流量) | 60300m ³ /h | 60600m ³ /h | 熱設計流量の相違は0.5%程度であり、解析結果に及ぼす影響は小さい。 |
| RCP型式 | 93A | 100D | 型式差により、個別解析の方がRCP停止時のRCS流量の減少がやや遅くなるが、解析結果に及ぼす影響は小さい。 |
| SG型式 | 52F | 54F | SG2次側保有水量は個別解析の方が2t大きいが、初期保有水量の差がやや遅くなるが、解析能力への影響は小さく、解析結果に及ぼす影響は小さい。 |
| SG2次側保有水量 | 48t/基 | 50t/基 | SG2次側保有水量は個別解析の注入特性は若干異なるものの、解析結果に及ぼす影響は小さい。 |
| 高压注入ポンプ (台数、注入特性) | 2台、最大注入特性 (0m ³ /h～約350m ³ /h、0MPa [gage]～約15.7MPa [gage]) | 2台、最大注入特性 (0m ³ /h～約350m ³ /h、0MPa [gage]～約15.7MPa [gage]) | 高压注入ポンプの注入特性は高圧注入ポンプの注入特性と少しが、初期保有水量の差による1次系の除熱能力への影響は小さく、解析結果に及ぼす影響は小さい。 |
| 蓄圧タンク (保有水量、保持圧力) | 29.0m ³ /基、4.04MPa [gage] | 同左 | 相違なし |
| 余熱除去ポンプ (台数、注入特性) | 2台、最大注入特性 (0m ³ /h～約1820m ³ /h、0MPa [gage]～約1.3MPa [gage]) | 同左 | 相違なし |
| 補助給水ポンプ (台数、注入特性) | 2台、最大注入特性 (0m ³ /h～約280m ³ /h (蒸気発生器3基合計)) | 電動補助給水ポンプ2台 タービン動補助給水ポンプ1台 タービン動補助給水ポンプ2台 280m ³ /h (蒸気発生器3基合計) | 補助給水流量は個別解析の方が約半分と少ないが、解析結果に及ぼす影響は小さい。 |
| CV自由体積 | 67400m ³ | 65500m ³ | CV自由体積は個別解析の方が約3%程度小さいため、CV圧力が高くなる傾向であるが、当初申請解析と個別解析を比較した結果、CV圧力・温度が評価項目を満足することを確認した。 |
| ヒートシンク | 金属 : 約 m ³ コンクリート : 約 m ³ | 金属 : 約 m ³ コンクリート : 約 m ³ | 金属の体積は個別解析の方が約3%小さいが、コンクリートの体積は約1割大きいため、CV圧力が低くなる傾向であるが、解析結果に及ぼす影響は小さい。 |
| CV再循環ユニット (基数、除熱特性) | 2基 (1基当たり100°C～約155°C、約1.9MW～約38.1MW) | 2基 (1基当たり100°C～約155°C、約3.6MW～約6.5MW) | 再循環ユニットの除熱特性は個別解析の方が高温領域ではやや低いため、格納容器内自然対流冷却開始後のCV圧力・温度が推移するが、当初申請解析と個別解析を比較した結果、CV圧力・温度が評価項目を満足することを確認した。 |
| 重大事故等対策 | 格納容器内自然対流冷却開始 | 同左 | 相違なし |

■ : 当初申請解析とのパラメータの相違点
□ : 相違があるパラメータのうち、事象進展に有意な影響を与えるパラメータ

■ : 特開みの内容は機密情報に属しますので公開できません。

解析条件の差が解析結果に及ぼす影響
(運転中の原子炉における重大事故に至るおそれがある事故)

| 項目 | 当初申請解析 | 個別解析 | 解析条件の差が解析結果に及ぼす影響 |
|-----------------------------|---|---|---|
| 炉心熱出力 (初期) | 2652MWt | 同左 | 相違なし |
| 1次冷却材平均温度 (初期) | 306.6°C | 同左 | 相違なし |
| 1次冷却材圧力 (初期) | 15.4 MPa [gage] | 同左 | 相違なし |
| 2次側圧力 (初期) | 5.75 MPa [gage] | 同左 | 相違なし |
| 炉心崩壊熱 | AESJ+ORIGEN2 (UO ₂ +1/ANOX炉心) | 同左 | 相違なし |
| 減速材温度係数 | -13 ppm/ ^o C (2,3,4ループプラントに共通に適用できる保守的な値) | -18 ppm/ ^o C (泊3号炉の炉心設計に基づく減速材温度係数を用いているため、出力上昇に伴う反応度偏還効果が大きくなり、当初申請解析よりも評価項目となるパラメータであるRC S圧力バウンダリに対する余裕が大きくなることを確認した。 | 個別解析では泊3号炉の炉心設計に基づく減速材温度係数を用いているため、出力上昇に伴う反応度偏還効果が大きくなり、当初申請解析よりも評価項目となるパラメータであるRC S圧力バウンダリに対する余裕が大きくなることを確認した。 |
| 炉心バイパス流量 | 4.0% | 6.5% | 炉心バイパス流量の差は2.5%であり、炉心冷却に寄与しない流れが増えるため評価としては厳しくなる方向であるが、解析結果に及ぼす影響は小さい。 |
| 1次系体積 (定格時、SG伝熱管10%ブレーキ) | 264m ³ | 273m ³ | RCS体積は個別解析の方が3%程度大きいため、減速材温度の上昇が遅れるが、解析結果に及ぼす影響は小さい。 |
| 加圧器水位 | 65.9%体積 | 同左 | 相違なし |
| 1次冷却材流量 (熱設計流量) | 60300m ³ /h | 60600m ³ /h | 熱設計流量の相違は0.5%程度であり、解析結果に及ぼす影響は小さい。 |
| RCP型式 | 93A | 100D | 外部電源がある事象であり、運転継続しているため、型式差の解析結果への影響は無い。 |
| SG型式 | 52F | 54F | SG2次側保有水量は個別解析の方が2t大きいが、初期保有水量の差による1次系の除熱能力への影響は小さく、解析結果に及ぼす影響は小さい。 |
| SG2次側保有水量 | 48t/基 | 50t/基 | SG2次側保有水量は小さく、解析結果に及ぼす影響は小さい。 |
| 加圧器安全弁 (個数、容量、設定圧力) | 3個、157t/h/個 MPa [gage] | 同左 | 相違なし |
| 加圧器逃がし弁 (個数、容量、設定圧力) | 2個、95t/h/個 MPa [gage] | 同左 | 相違なし |
| 主蒸気安全弁 (個数、容量、設定圧力) | 15個、定格蒸気の100%、 MPa [gage] (第1段) | 同左 | 相違なし |
| 主蒸気逃がし弁 (個数、容量、設定圧力) | 3個、定格蒸気の10%、 MPa [gage] | 同左 | 相違なし |
| 補助給水ポンプ (台数、流量) | 電動補助給水ポンプ2台 150m ³ /h (蒸気発生器3基合計) | 同左 | 相違なし |
| 重大事故等対策 | ATWS緩和設備 (主蒸気隔離+補助給水) ・作動信号：SG水位7% (独立) ・設定期点：SG水位7% (独立) ・作動時間：設定点到達後17秒 (主蒸気隔離)/60秒 (補助給水) | 同左 | 相違なし |

□ : 当初申請解析とのパラメータの相違点
□ : 相違があるパラメータのうち、事象進展に有意な影響を与えるパラメータ

□ : 件固みの内容は機密情報に属しますので公開できません。

解析条件の差が解析結果に及ぼす影響
(運転中の原子炉における重大事故に至るおそれがある事故)

「ECCS注水機能喪失」(中破断LOCA時に高圧注入機能が喪失する事故)

| 項目 | | 当初申請解析 | 個別解析 | 解析条件の差が解析結果に及ぼす影響 |
|--------------------------|---|---|------|--|
| 炉心熱出力 (初期) | 2652×1.02MWt | 同左 | | 相違なし |
| 1次冷却材平均温度 (初期) | 302.3+2.2°C | 306.6+2.2°C | | 1次冷却材平均温度は個別解析の方が4.3°C高く、1次冷却材の初期エネルギーがやや大きいが、その差は炉心崩壊熱による発生エネルギーと比べると十分に小さく、解析結果に及ぼす影響は小さい。 |
| 1次冷却材圧力 (初期) | 15.41±0.21MPa [gage] | 同左 | | 相違なし |
| 2次側圧力 (初期) | 5.32±0.21MPa [gage] | 5.73±0.21MPa [gage] | | 2次側圧力の初期条件が長期的なプラント運動へ及ぼす影響は小さい。また、主蒸気逃がし弁／安全弁の自動動作時の除熱量は弁の作動設定圧に依存し、2次側圧力の影響は受けない。 |
| 炉心崩壊熱 | AESJ+ORIGIN2 (UO ₂ +1/4NOX炉心) | 同左 | | 相違なし |
| 炉心バイパス流量 | 4.0% | 6.5% | | 炉心バイパス流量の差は2.5%であり、炉心冷却に寄与しない流れが増えるため評価としては厳しくなる方向であるが、解析結果に及ぼす影響は小さい。 |
| 1次系体積 (定格時、SG伝熱管10%ブレーキ) | 264m ³ | 273m ³ | | RCS体積は3%程度大きく、1次冷却材の初期エネルギーがやや大きいが、その差は炉心崩壊熱による発生エネルギーと比べると十分に小さく、解析結果に及ぼす影響は小さい。 |
| 加圧器水位 | 60%体積 | 65%体積 | | 加圧器水位は個別解析がわずかに高いが、解析結果に及ぼす影響は小さい。 |
| 1次冷却材流量 (熱設計流量) | 60300m ³ /h | 60600m ³ /h | | 熱設計流量の相違は0.5%程度であり、解析結果に及ぼす影響は小さい。 |
| RCP型式 | 93A | 1000 | | 型式により、個別解析の方がRCP停止時のRCS流量の減少がやや遅くなるが、解析結果に及ぼす影響は小さい。 |
| SG型式 | 52F | 54F | | SG2次側保有水量は個別解析の方が2t大きいが、初期保有水量の差による1次系の除熱能力への影響は小さく、解析結果に及ぼす影響は小さい。 |
| SG2次側保有水量 | 48t/基 | 50t/基 | | |
| 主蒸気逃がし弁 (個数、容量、設定圧力) | 3個、定格蒸気の10%、 ■ MPa [gage] | 同左 | | 相違なし |
| 蓄圧タンク (保有水量、保持圧力) | 29.0m ³ /基、4.04MPa [gage] | 同左 | | 相違なし |
| 余熱除去ポンプ (台数、注入特性) | 2台、最小注入特性 (0m ³ /h～約830m ³ /h、 0MPa [gage]～約0.7MPa [gage]) | 2台、最小注入特性 (0m ³ /h～約770m ³ /h、 0MPa [gage]～約0.8MPa [gage]) | | 個別解析の方が高圧時の炉心注入流量が若干多くなる注入特性であるため、2インチ破断のケースでは炉心露出しない。 |
| 補助給水泵ポンプ (台数、流量) | 電動補助給水泵ポンプ2台 タービン動補助給水泵ポンプ1台 280m ³ /h (蒸気発生器3基合計) | 電動補助給水泵ポンプ2台 タービン動補助給水泵ポンプ1台 150m ³ /h (蒸気発生器3基合計) | | 補助給水泵ポンプの流量は、個別解析の方が約半分と少なく、事象発生後の蒸気発生器保有水量の回復が遅くなるが、必要な除熱量は確保されており、解析結果に及ぼす影響は小さい。 |
| 重大事故等対策 | 2次系強制冷却による蓄圧・低圧注入 ・S1信号発信の1分後に開始 | 同左 | | 相違なし |

■ : 当初申請解析とのパラメータの相違点
■ : 相違があるパラメータのうち、事象進展に有意な影響を与えるパラメータ
■ : 件固みの内容は機密情報に属しますので公開できません。

解析条件の差が解析結果に及ぼす影響
(運転中の原子炉における重大事故に至るおそれがある事故)

「ECCS再循環機能喪失」(大破断LOCA時に低圧再循環機能及び高压再循環機能が喪失する事故)

| 項目 | 当初申請解析 | 個別解析 | 解析条件の差が解析結果に及ぼす影響 |
|------------------------|---|--|---|
| 炉心熱出力 (初期) | 2652×1.02MWt | 同左 | 相違なし |
| 1次冷却材平均温度 (初期) | 302.3+2.2°C | 306.6+2.2°C | 1次冷却材平均温度は個別解析の方が4.3°C高く、1次冷却材の初期エネルギーがやや大きいが、その差は恒温による発生エネルギーと比べると十分に小さく、解析結果に及ぼす影響は小さい。 |
| 1次冷却材圧力 (初期) | 15.41+0.21MPa [gage] | 同左 | 相違なし |
| 2次側圧力 (初期) | 5.32+0.21MPa [gage] | 5.73+0.21MPa [gage] | 2次側圧力の初期条件が長期的なプラント運動へ及ぼす影響は小さい。また、主蒸気逃げ弁／安全弁の自動動作時時の除熱量は弁の作動設定圧に依存し、2次側圧力の影響は受けない。 |
| 炉心崩壊熱 | AESJ+ORIGEN2 (UO ₂ +1/AMOX炉心) | 同左 | 相違なし |
| 1次系体積 (定格時、SG伝熱管10%破裂) | 264m ³ | 273m ³ | RCS体積は3%程度大きく、1次冷却材の初期エネルギーがやや大きいが、その差は炉心崩壊熱による発生エネルギーと十分に小さく、解析結果に及ぼす影響は小さい。 |
| 加圧器水位 | 60%体積 | 65%体積 | 加圧器水位は個別解析がわずかに高いが、解析結果に及ぼす影響は小さい。 |
| 1次冷却材流量 (熱設計流量) | 60300m ³ /h | 60600m ³ /h | 熱設計流量の相違は0.5%程度であり、解析結果に及ぼす影響は小さい。 |
| RCP型式 | 93A | 100D | 型式差により、個別解析の方がRCP停止時のRCS流量の減少がやや遅くなるが、解析結果に及ぼす影響は小さい。 |
| SG型式 | 52F | 54F | SG2次側保有水量は個別解析の方が2t大きいが、初期保有水量の差による1次系の除熱能力への影響は小さく、解析結果に及ぼす影響は小さい。 |
| SG2次側保有水量 | 48t/基 | 50t/基 | SG2次側保有水量は若干異なるものの、高压注入ポンプの特性は若干異なるが、高压注入ポンプの特性は若干異なるものの、解析結果に及ぼす影響は小さい。 |
| 高压注入ポンプ (台数、注入特性) | 2台、最大注入特性 (0m ³ /h～約350m ³ /h、0MPa [gage]～約15.7MPa [gage]) | 2台、最大注入特性 (0m ³ /h～約350m ³ /h、0MPa [gage]～約15.6MPa [gage]) | 高压注入ポンプの特性は若干異なるものの、初期保有水量の差による1次系の除熱能力への影響は小さく、解析結果に及ぼす影響は小さい。 |
| 蓄圧タンク (保有水量、保持圧力) | 29.0m ³ /基、4.04MPa [gage] | 同左 | 相違なし |
| 余熱除去ポンプ (台数、注入特性) | 2台、最大注入特性 (0m ³ /h～約1.820m ³ /h、0MPa [gage]～約1.3MPa [gage]) | 同左 | 相違なし |
| 補助給水ポンプ (台数、流量) | 電動補助給水泵ポンプ2台 タービン動補助給水泵ポンプ1台 280m ³ /h (蒸気発生器3基合計) | 電動補助給水泵ポンプ2台 タービン動補助給水泵ポンプ1台 150m ³ /h (蒸気発生器3基合計) | 補助給水流量は個別解析の方が約半分と少ないが、補助給水流量の差が解析結果に及ぼす影響は小さい。 |
| CV自由体積 | 67400m ³ | 65500m ³ | CV自由体積の相違は3%程度であり、CV圧力が高くなる傾向であるが、解析結果に及ぼす影響は小さい。 |
| CVSブレイブレイ (台数、流量) | [代替再循環実施前] 2台、 \square m ³ /h/台 (CVスブレイ) [代替再循環実施後] 1台、 \square m ³ /h (CVスブレイ) 1台、200 m ³ /h (炉心注水) | 同左 | 相違なし |
| 重大事故等対策 | 代替再循環 (タイライン方式) ・再循環切替失敗後の30分後に開始 | 同左 | 相違なし |

■：当初申請解析とのパラメータの相違点
■：相違があるパラメータのうち、事象進展に有意な影響を与えるパラメータ

■：特徴のみの内容は機密情報に属しますので公開できません。

解析条件の差が解析結果に及ぼす影響
(運転中の原子炉における重大事故に至るおそれがある事故)

「格納容器バイパス」(インターフェイスシステムLOCA)

| 項目 | 当初申請解析 | 個別解析 | 解析条件の差が解析結果に及ぼす影響 |
|-------------------------|--|--|--|
| 炉心熱出力 (初期) | 2652×1.02MWt | 同左 | 相違なし |
| 1次冷却材平均温度 (初期) | 302.3+2.2°C | 306.6+2.2°C | 1次冷却材平均温度は個別解析の方が4.3°C高く、1次冷却材の初期エネルギーがやや大きいが、その差は炉心崩壊熱による発生エネルギーと比べると十分に小さく、解析結果に及ぼす影響は小さい。 |
| 1次冷却材圧力 (初期) | 15.41+0.21MPa [gage] | 同左 | 相違なし |
| 2次側圧力 (初期) | 5.32+0.21MPa [gage] | 5.73+0.21MPa [gage] | 2次側圧力の初期条件が長期的なプラント運動へ及ぼす影響は小さい。また、主蒸気逃がし弁／安全弁の自動動作設定圧に依存し、2次側圧力の影響は受けない。 |
| 炉心崩壊熱 | AESJ+ORIGEN2 (UO ₂ +1/AMOX炉心) | 同左 | 相違なし |
| 炉心バイパス流量 | 4.0% | 6.5% | 炉心バイパス流量の差は2.5%であり、炉心冷却に寄与しない流れが増えたため評価としては厳しくなる方向であるが、解析結果に及ぼす影響は小さい。 |
| 1次系体積 (定格時、SG伝熱管10%プラグ) | 264m ³ | 273m ³ | RCP体積は3%程度大きくなり、1次冷却材の初期エネルギーがやや大きいが、その差は炉心崩壊熱による発生エネルギーと比べると十分に小さく、解析結果に及ぼす影響は小さい。 |
| 加圧器水位 | 60%体積 | 65%体積 | 加圧器水位は個別解析がわざわざかに高いが、熱設計流量の相違は0.5%程度であり、解析結果に及ぼす影響は小さい。 |
| 1次冷却材流量 (熱設計流量) | 60300m ³ /h | 60600m ³ /h | 熱設計流量の相違により、個別解析の方がRCP停止時のRCS流量の減少がやや遅くなるが、解析結果に及ぼす影響は小さい。 |
| RCP型式 | 93A | 100D | SG2次側熱型式により、個別解析の方がSG保有水量の差による1次系の除熱能力への影響は小さく、解析結果に及ぼす影響は小さい。 |
| SG型式 | 52F | 54F | SG2次側熱 |
| SG2次側保有水量 | 48t/基 | 50t/基 | SG2次側保有水量は個別解析の方が2t大きいが、初期保有水量の差による1次系の除熱能力への影響は小さく、解析結果に及ぼす影響は小さい。 |
| 加圧器逃がし弁 (個数、容量、設定圧力) | 2個、95t/h/個 [gage] | 同左 | 相違なし |
| 主蒸気逃がし弁 (個数、容量、設定圧力) | 3個、定格蒸気の10%、 [gage] | 同左 | 相違なし |
| 充てんポンプ (台数、流量) | 2台、 160m ³ /h以下で加圧器水位を維持するよう [調整] | 同左 | 相違なし |
| 高圧注入ポンプ (台数、注入特性) | 2台、最大注入特性 (0m ³ /h～約350m ³ /h、 0MPa [gage]～約15.7MPa [gate]) | 2台、最大注入特性 (0m ³ /h～約350m ³ /h、 0MPa [gage]～約15.7MPa [gate]) | 個別解析の方が高圧時の炉心注入流量が若干多くなる注入特性であるが、その後、充てん注入に切り替わるため、解析結果に及ぼす影響は小さい。 |
| 蓄圧タンク (保有水量、保持圧力) | 29.0m ³ /基、4.0MPa [gage] | 同左 | 相違なし |
| 補助給水ポンプ (台数、流量) | 電動補助給水泵ポンプ2台 タービン動補助給水泵ポンプ1台 280m ³ /h (蒸気発生器3基合計) | 電動補助給水泵ポンプ2台 タービン動補助給水泵ポンプ1台 150m ³ /h (蒸気発生器3基合計) | 補助給水ポンプの流量は、個別解析の方が約半分ど少なく、事象発生後の蒸気発生器保有水量の回復が遅くなるが、必要な除熱量は確保されており、解析結果に及ぼす影響は小さい。 |
| 重大事故等対策 | クールダウン&リサイクル・ジョブ ・S1信号発信の25分後に主蒸気逃し弁開 ・S1停止条件成立又は原子炉トリップの1 時間後に蓄圧タンク隔離・充てん注入切 替開始(4分で完了) | クールダウン&リサイクル・ジョブ ・S1信号発信の25分後に主蒸気逃し弁開 ・S1停止条件成立又は原子炉トリップの1 時間後に蓄圧タンク隔離・充てん注入切 替開始(4分で完了) | 個別解析の方が蓄圧タンクは早期に隔離するが、S1停止条件成立時点で1次系保有水量を確保しており、解析結果に及ぼす影響は小さい。 |

■ : 当初申請解析とのパラメータの相違点

■ : 相違があるパラメータのうち、事象進展に有意な影響を与えるパラメータ

■ : 件固みの内容は機密情報に属しますので公開できません。
■ : ません。

解析条件の差が解析結果に及ぼす影響
(運転中の原子炉における重大事故に至るおそれがある事故)

「格納容器バイパス」(蒸気発生器伝熱管破損時に破損側蒸気発生器の隔離に失敗する事故)

| 項目 | 当初申請解析 | 個別解析 | 解析条件の差が解析結果に及ぼす影響 |
|---------------------------|--|--|--|
| 炉心熱出力 (初期) | 2652×1.02MWt | 同左 | 相違なし |
| 1次冷却材平均温度 (初期) | 302.3+2.2°C | 306.6+2.2°C | 1次冷却材平均温度は個別解析の方が4.3°C高く、1次冷却材の初期エネルギーがやや大きいが、その差は炉心崩壊熱による発生エネルギーと比べると十分に小さく、解析結果に及ぼす影響は小さい。 |
| 1次冷却材圧力 (初期) | 15.41+0.21MPa [gage] | 同左 | 相違なし |
| 2次側圧力 (初期) | 5.32+0.21MPa [gage] | 5.73+0.21MPa [gage] | 2次側圧力の初期条件が長期的なプラント運動へ及ぼす影響は小さい。また、主蒸気逃がし弁／安全弁の自動動作設定圧に依存し、2次側圧力の影響は受けない。 |
| 炉心崩壊熱 | AESJ+ORIGEN2 (UO ₂ +1/AMOX炉心) | 同左 | 相違なし |
| 炉心バイパス流量 | 4.0% | 6.5% | 炉心バイパス流量の差は2.5%であり、炉心冷却に寄与しない流れが増えたため評価としては厳しくなる方向であるが、解析結果に及ぼす影響は小さい。 |
| 1次系体積 (定格時、SG伝熱管10%プラグ) | 264m ³ | 273m ³ | RCS体積は3%程度大きく、1次冷却材の初期エネルギーがやや大きいが、その差は炉心崩壊熱による発生エネルギーと比べると十分に小さく、解析結果に及ぼす影響は小さい。 |
| 加圧器水位 | 60%体積 | 65%体積 | 加圧器水位は個別解析がわずかに高いが、解析結果に及ぼす影響は小さい。 |
| 1次冷却材流量 (熱設計流量) | 60300m ³ /h | 60600m ³ /h | 熱設計流量の相違は0.5%程度であり、解析結果に及ぼす影響は小さい。 |
| RCP型式 | 93A | 100D | 型式差により、個別解析の方がRCP停止時のRCS流量の減少がやや遅くなるが、解析結果に及ぼす影響は小さい。 |
| SG型式 | 52F | 54F | SG2次側保有水量は個別解析の方が2t大きいが、初期保有水量の差による1次系の除熱能力への影響は小さく、解析結果に及ぼす影響は小さい。 |
| SG2次側保有水量 | 48t/基 | 50t/基 | |
| 主蒸気逃がし弁 (個数、容量、設定圧力) | 3個 定格蒸気の10%、 □ MPa [gage] | 同左 | 相違なし |
| 充てんポンプ (台数、流量) | 2台、 160m ³ /h以下で加圧器水位を維持するよう [調整] | 同左 | 相違なし |
| 高圧注入ポンプ (台数、注入特性) | 2台、最大注入特性 (0m ³ /h～約350m ³ /h、 0MPa [gage]～約15.6MPa [gage]) | 2台、最大注入特性 (0m ³ /h～約350m ³ /h、 0MPa [gage]～約15.7MPa [gage]) | 高压注入ポンプの特性は個別解析の方が高圧時の炉心注入量が多いいため、1次冷却材圧力の降下が遅くなるが、その後、充てん注入に切り替わるため、解析結果に及ぼす影響は小さい。 |
| 補助給水ポンプ (台数、流量) | 電動補助給水ポンプ2台 タービン動補助給水ポンプ1台 280m ³ /h (蒸気発生器3基合計) | 電動補助給水ポンプ2台 タービン動補助給水ポンプ1台 150m ³ /h (蒸気発生器3基合計) | 補助給水ポンプの流量は、個別解析の方が約半分と少なく、当初申請解析と個別解析を比較した結果、1次系からの除熱に必要な補助給水流量を確保できることを確認した。 |
| 原子炉トリップ信号 (種類 (設定点、応答時間)) | 過大温度△T高 (直線方式、6秒)又は原子炉圧力低 (12.73MPa [gage]、2秒) | 過大温度△T高 (折線方式、6秒)又は原子炉圧力低 (12.73MPa [gage]、2秒) | 「過大温度△T高」原子炉トリップ信号は個別解析では折線方式としており、原子炉トリップ後の事象進展は同様であり、解析結果に及ぼす影響は小さい。 |
| ECCS作動信号 (設定、応答時間) | 原子炉圧力低と加圧器水位低の一致 (12.04MPa [gage]と水位検出器下端水位、2秒) | 同左 | 相違なし |
| 重大事故等対策 | クールダウン＆リサイクルショット ・破損SG隔離 (原子炉トリップ後10分で開始、2分で完了) ・健全側主蒸気逃がし弁開 (破損SG隔離後1分で開始) | 同左 | 相違なし |

□ : 当初申請解析とのパラメータの相違点

□ : 相違があるパラメータのうち、事象進展に有意な影響を与えるパラメータ

□ : 相違みの内容は機密情報に属しますので公開できません。

解析条件の差が解析結果に及ぼす影響
(運転中の原子炉における重大事故)

「零困気圧力・温度による静的負荷（格納容器過圧破損）」（大破断しOCA時に低圧注入機能及び格納容器スプレイ注入機能が喪失する事故）
（「原子炉圧力容器外への溶融燃料一冷却材相互作用」及び「溶融炉心・コンクリート相互作用」も同じ）

| 項目 | 当初申請解析 | 個別解析 | 解析条件の差が解析結果に及ぼす影響 |
|-----------------------------|--|---|--|
| 炉心熱出力（初期） | 2652 × 1.02MWt | 同左 | 相違なし |
| 1次冷却材平均温度（初期） | 302.3 + 2.2°C | 306.6 + 2.2°C | 1次冷却材平均温度は個別解析の方が4.3°C高く、1次冷却材の初期エネルギーがやや大きいが、その差は炉心前壁熱による発生エネルギーと比べると十分に小さく、解析結果に及ぼす影響は小さい。 |
| 1次冷却材圧力（初期） | 15.41+0.21MPa [gage] | 同左 | 相違なし |
| 2次側圧力（初期） | 5.32+0.21MPa [gage] | 5.73+0.21MPa [gage] | 2次側圧力の初期条件が長期的なプラント拳動へ及ぼす影響は小さい。また、主蒸気逃げ弁／安全弁の自動動作時の除熱量は弁の作動設定圧に依存し、2次側圧力の影響は受けない。 |
| 炉心崩壊熱 | AESJ+ORIGEN2 (UO ₂ +1/4MOX炉心) | 同左 | 相違なし |
| 1次系体積 (定格時、SG伝熱管10% ブラグ) | 264m ³ | 273m ³ | RCS体積は個別解析の方が3%程度大きく、1次冷却材の初期エネルギーと出べると十分に小さく、解析結果に及ぼす影響は小さい。 |
| 加圧器水位 | 60%体積 | 65%体積 | 加圧器水位は個別解析の方がわずかに高いが、解析結果に及ぼす影響は小さい。 |
| 1次冷却材流量（熱設計流量） | 60300m ³ /h | 60600m ³ /h | 熱設計流量の相違は0.5%程度であり、解析結果に及ぼす影響は小さい。 |
| RCP型式 | 93A | 1000 | 型式差により、個別解析のほうがRCP停止時のRCS流量の減少がやや遅くなるが、解析結果に及ぼす影響は小さい。 |
| SG型式 | 52F | 54F | SG2次側保有水量は個別解析の方が2t大きいが、初期保有水量の差による1次系の除熱能力への影響は小さく、解析結果に及ぼす影響は小さい。 |
| SG2次側保有水量 | 48t/基 | 50t/基 | |
| 蓄圧タンク（保有水量、保持圧力） | 29.0m ³ /基、4.0MPa [gage] | 同左 | 相違なし |
| 補助給水ポンプ（台数、流量） | タービン動補助給水ポンプ1台 160m ³ /h (蒸気発生器3基合計) | タービン動補助給水ポンプ1台 80m ³ /h (蒸気発生器3基合計) | 補助給水流量は個別解析の方が約半分と少ないが、解析結果に及ぼす影響は小さい。 |
| CV自由体積 | 67400m ³ | 65500m ³ | CV自由体積は個別解析の方が36%小さいため、CV圧力・温度が評価項目を満足することを確認した。 |
| ヒートシンク | 金属 コンクリート：約 [] m ³ | 約 [] m ³ | 金属の体積は個別解析の方が約30%小さいが、コンクリートの体積は約1割大きいため、CV圧力が低くなる傾向であるが、解析結果に及ぼす影響は小さい。 |
| 代替CVスプレイポンプ（台数、容量） | 1台、140m ³ /h | 同左 | 相違なし |
| CV再循環ユニット（基数、除熱特性） | 2基（1基当たり100°C～約155°C、約1.9MW～約38.1MW） | 2基（1基当たり100°C～約155°C、約3.6MW～約6.5MW） | 再循環ユニットの除熱特性は個別解析の方が高温領域ではやや低いため、格納容器内自然対流冷却開始後のCV圧力・温度が高めに推移する傾向であるが、当初申請解析と個別解析を比較した結果、CV圧力・温度が評価項目を満足することを確認した。 |
| 重大事故等対策 | 代替CVスプレイ ・炉心溶融開始の30分後に開始 ・事象発生の24時間後に開始 | 同左 | 相違なし |

■ : 当初申請解析とのパラメータの相違点
■ : 相違があるパラメータのうち、事象進展に有意な影響を与えるパラメータ

解析条件の差が解析結果に及ぼす影響
(運転中の原子炉における重大事故)

「零困気圧力・温度による静的負荷（格納容器過温破損）」（外部電源喪失時に非常用所内交流電源が喪失し、補助給水機能が喪失する事故）
（「高压溶融物放出／格納容器零困気直接加熱」も同じ）

| 項目 | 当初申請解析 | 個別解析 | 解析条件の差が解析結果に及ぼす影響 |
|-----------------------------------|---|--|--|
| 炉心熱出力（初期） | 2652 × 1.02MWt | 同左 | 相違なし |
| 1次冷却材平均温度（初期） | 302.3 + 2.2°C | 306.6 + 2.2°C | 1次冷却材平均温度は個別解析の方が4.3°C高く、1次冷却材の初期エネルギーがやや大きいが、その差は炉心崩壊熱による発生エネルギーと比べると十分に小さく、解析結果に及ぼす影響は小さい。 |
| 1次冷却材圧力（初期） | 15.41+0.21MPa [gage] | 同左 | 相違なし |
| 2次側圧力（初期） | 5.32+0.21MPa [gage] | 5.73+0.21MPa [gage] | 2次側圧力の初期条件が長期的なプラント挙動へ及ぼす影響は小さい。また、主蒸気逃がし弁／安全弁の自動動作時の除熱量は弁の作動設定圧に依存し、2次側圧力の影響は受けない。 |
| 炉心崩壊熱 | AESJ+ORIGEN2 (10 ⁻² +1/4NOX炉心) | 同左 | 相違なし |
| 1次系体積（定格時、SG伝熱管10%プラグ） | 264m ³ | 273m ³ | RCS体積は個別解析の方が3%程度大きく、1次冷却材の初期エネルギーがやや大きいが、その差は炉心崩壊熱による発生エネルギーと比べると十分に小さく、解析結果に及ぼす影響は小さい。 |
| 加圧器水位 | 60%体積 | 65%体積 | 加圧器水位は個別解析の方がわずかに高いが、解析結果に及ぼす影響は小さい。 |
| 1次冷却材流量（熱設計流量） | 60300m ³ /h | 60600m ³ /h | 熱設計流量の相違は0.5%程度であり、解析結果に及ぼす影響は小さい。 |
| RCP型式 | 93A | 1000 | 型式差により、個別解析のほうがRCP停止時のRC-S流量の減少がやや遅くなるが、解析結果に及ぼす影響は小さい。 |
| RCPシール部からの漏えい率（初期） (RCPシールリーフ) | 定格圧力において、約1.5m ³ /h/台 | 同左 | 相違なし |
| SG型式 | 52F | 54F | SG2次側保有水量は個別解析の方が2倍大きいが、初期保有水量の差による1次系の除熱能力への影響は小さく、解析結果に及ぼす影響は小さい。 |
| SG2次側保有水量 | 48t/基 | 50t/基 | 相違なし |
| 加圧器安全弁（個数、容量、設定圧力） | 全3個、157t/h/個、[] MPa [gage] | 同左 | 相違なし |
| 加圧器逃がし弁（個数、容量、設定圧力） | 全2個、95t/h/個、[] MPa [gage] | 同左 | 相違なし |
| 蓄圧タンク（保有水量、保持圧力） | 29.0m ³ /基、4.0MPa [gage] | 同左 | 相違なし |
| CV自由体積 | 67400m ³ | 65500 m ³ | CV自由体積は個別解析の方が3%程度小さいため、CV圧力が高くなる傾向であるが、当初申請解説と個別解析を比較した結果、CV圧力・温度が評価項目を満足することを確認した。 |
| ヒートシンク | 金属コンクリート：約 [] m ³ コンクリート：約 [] m ³ | 金属コンクリート：約 [] m ³ コンクリート：約 [] m ³ | 金属の体積は個別解析の方が約3%小さいが、コンクリートの体積は約1割大きいため、CV圧力が低くなる傾向であるが、解析結果に及ぼす影響は小さい。 |
| 代替CVスプレイポンプ（台数、流量） | 1台、140m ³ /h | 同左 | 相違なし |
| CV再循環ユニット（基数、除熱特性） | 2基（1基当たり100°C～約155°C、約1.9MW～約8.1MW） | 2基（1基当たり100°C～約155°C、約3.6MW～約6.5MW） | 再循環ユニットの除熱特性は個別解析の方が高温領域ではやや低いため、格納容器内自然対流冷却開始後のCV圧力・温度が高めに推移する傾向であるが、当初申請解説と個別解析を比較した結果、CV圧力・温度が評価項目を満足することを確認した。 |
| 重大事故等対策 | 1次系強制減圧 ・炉心溶融開始の10分後に開始 代替CVスプレイポンプ ・炉心溶融開始の30分後に開始 格納容器内自然対流冷却（海水） 事象発生の2時間後に開始 | 同左 | 相違なし |

■：当初申請解析とのパラメータの相違点
■：相違があるパラメータのうち、事象進展に有意な影響を与えるパラメータ

■：枠囲みの内容は機密情報に属しますので公開できません。

解析条件の差が解析結果に及ぼす影響
(運転中の原子炉における重大事故)

「水素燃焼」(大破断LOCA時に低圧注入機能及び高压注入機能が喪失する事故)

| 項目 | 当初申請解析 | 個別解析 | 解析条件の差が解析結果に及ぼす影響 |
|--------------------------|---|---|--|
| 炉心熱出力 (初期) | 2652×1.02MWt | 同左 | 相違なし |
| 1次冷却材平均温度 (初期) | 302.3+2.2°C | 306.6+2.2°C | 1次冷却材平均温度は個別解析の方が4.3°C高く、1次冷却材の初期エネルギーがやや大きいが、その差は炉心崩壊熱による発生エネルギーと比べると十分に小さく、解析結果に及ぼす影響は小さい。 |
| 1次冷却材圧力 (初期) | 15.41+0.21MPa [gage] | 同左 | 相違なし |
| 2次側圧力 (初期) | 5.32+0.21MPa [gage] | 5.73+0.21MPa [gage] | 2次側圧力の初期条件が長期的なプラント拳動へ及ぼす影響は小さい。また、主蒸気逃がし弁／安全弁の自動動作時の除熱量は弁の作動設定圧に依存し、2次側圧力の影響は受けない。 |
| 炉心崩壊熱 | AESJ+ORIGEN2 (UO ₂ +1/4MOX炉心) | 同左 | 相違なし |
| 1次系体積 (定格時、SG伝熱管10% ブラグ) | 264m ³ | 273m ³ | RCS体積は個別解析の方が3%程度大きく、1次冷却材の初期エネルギーがやや大きいが、その差は炉心崩壊による発生エネルギーと比べると十分に小さく、解析結果に及ぼす影響は小さい。 |
| 加圧器水位 | 60%体積 | 65%体積 | 加圧器水位は個別解析の方がわずかに高いが、解析結果に及ぼす影響は小さい。 |
| 1次冷却材流量 (熱設計流量) | 60300m ³ /h | 60900m ³ /h | 熱設計流量の相違は0.5%程度であり、解析結果に及ぼす影響は小さい。 |
| RCP型式 | 93A | 100D | 型式差により、個別解析のほうがRCP停止時の RCS流量の減少がやや遅くなるが、解析結果に及ぼす影響は小さい。 |
| SG型式 | 52F | 54F | SG2次側保有水量は個別解析の方が2t大きいが、初期保有水量の差による1次系の除熱能力への影響は小さく、解析結果に及ぼす影響は小さい。 |
| SG2次側保有水量 | 48t/基 | 50t/基 | SG2次側保有水量は個別解析の方が2t大きいが、初期保有水量の差による1次系の除熱能力への影響は小さく、解析結果に及ぼす影響は小さい。 |
| 蓄圧タンク (保有水量、保持圧力) | 29.0m ³ /基、4.04MPa [gage] | 同左 | 相違なし |
| PAR (個数、性能) | 5個、1.2kg/h/個 (水素濃度4vol%、圧力0.15MPa [abs]) | 同左 | 相違なし |
| イグナイタ | 効果を期待せず | 同左 | 相違なし |
| 補助給水ポンプ (台数、流量) | 電動補助給水ポンプ2台 タービン動補助給水ポンプ1台 280m ³ /h (蒸気発生器3基合計) | 電動補助給水ポンプ2台 タービン動補助給水ポンプ1台 150m ³ /h (蒸気発生器3基合計) | 補助給水流量は個別解析の方が約半分と少ないが、解析結果に及ぼす影響は小さい。 |
| CV自由体積 | 65500m ³ | 同左 | 相違なし |
| ヒートシンク | 金属 : 約 m ³ コンクリート : 約 m ³ | 金属 : 約 m ³ コンクリート : 約 m ³ | 金属の体積は個別解析の方が約3%、コンクリートの体積は約割大きいため、水蒸気が凝縮されやすく水素濃度が高めになるが、解析結果に及ぼす影響は小さい。 |
| CV初期温度 | 49°C | 同左 | 相違なし |
| CV初期圧力 | 大気圧 | 同左 | 相違なし |
| CVスプレイポンプ (台数、流量) | 2台、 m ³ /h/台 | 同左 | 相違なし |
| 重大事故等対策 | PAR | 同左 | 相違なし |

□ : 当初申請解析とのパラメータの相違点
■ : 相違があるパラメータのうち、事象進展に有意な影響を与えるパラメータ

□ : 案用みの内容は機密情報に属しますので公開できません。

解析条件の差が解析結果に及ぼす影響
(運転停止中の原子炉における重大事故に至るおそれがある事故)

「崩壊熱除去機能喪失（余熱除去系の故障による停止時冷却機能喪失）」（燃料取出前のミッドループ運転中ににおける余熱除去機能が喪失する事故）
「全交流動力電源喪失」（燃料取出前のミッドループ運転中に外部電源が喪失するとともに非常用所内交流電源が喪失し、原子炉補機冷却機能が喪失する事故）も同じ）

| 項目 | 当初申請解析 | 個別解析 | 解析条件の差が解析結果に及ぼす影響 |
|--------------------|--|-----------------------------|--|
| 原子炉停止後の時間 | 55時間 | 72時間 | 原子炉停止後の時間が長くなるため、1次冷却材の蒸発量が小さくなるが、注水流量は流出量とバランスさせているため、解析結果へ及ぼす影響は小さい。 |
| 1次冷却材高温側温度（初期） | 93°C | 同左 | 相違なし |
| 1次冷却材圧力（初期） | 大気圧 | 同左 | 相違なし |
| 炉心崩壊熱 | AESI+ORIGEN2 (U0 ₂ +1/4M0) (炉心) | 同左 | 相違なし |
| 1次冷却材水位（初期） | 原子炉容器出入口ノズルセンター+80mm | 原子炉容器出入口ノズルセンター+100mm | 1次冷却材水位は個別解析の方が20mm高いが、保有水量の差は3%程度であるため、解析結果への影響は小さい。 |
| 1次系開口部 | 加圧器安全弁3個取り外し 加圧器ベント弁2個開放 | 加圧器安全弁3個取り外し 加圧器ベント弁1個開放 | 開放されている加圧器ベント弁の個数は個別解析の方が1個少ないが、加圧器安全弁3個の合計の容量に比べると小さく、解析結果へ及ぼす影響は小さい。 |
| 2次系の状態 | 2次系からの冷却なし | 同左 | 相違なし |
| 代替CVSフレイポンプ（台数、流量） | 1台、30m ³ /h | 1台、29m ³ /h | 代替格納容器スプレイポンプの注水量は個別解析の方が1m ³ /h少ないが、注水流量は流出量とバランスさせたため、解析結果へ及ぼす影響は小さい。 |
| 重大事故等対策 | 代替炉心注水 ・事象発生の50分後に開始 | 代替炉心注水 ・事象発生の60分後に開始 | 重大事故等対策は、個別解析の方が代替炉心注水の開始時間が10分遅いが、1次系保有水量は十分に確保されるため、解析結果へ及ぼす影響は小さい。 |

■：当初申請解析とのパラメータの相違点

■：相違があるパラメータのうち、事象進展に有意な影響を与えるパラメータ

解析条件の差が解析結果に及ぼす影響
 (運転停止中の原子炉における重大事故に至るおそれがある事故)

「原子炉冷却材の流出」(燃料取出前のミッドループ運転中ににおける原子炉冷却材圧力バランスリ機能が喪失する事故)

| 項目 | 当初申請解説 | 個別解析 | 解析条件の差が解析結果に及ぼす影響 |
|----------------|----------------------------------|-----------------------------|--|
| 原子炉停止後の時間 | 55時間 | 72時間 | 原子炉停止後の時間は個別解析の方が17時間長く前焼熱量が小さくなるため、1次冷却材の蒸発量が少なくなるが、注水流量は流出流量とバランスさせているため、解析結果へ及ぼす影響は小さい。 |
| 1次冷却材高温側温度（初期） | 93°C | 同左 | 相違なし |
| 1次冷却材圧力（初期） | 大気圧 | 同左 | 相違なし |
| 炉心崩壊熱 | AESJ+ORIGEN2 ($UO_2+1/4M0X$ 炉心) | 同左 | 相違なし |
| 1次冷却材水位（初期） | 原子炉容器出入口 ノズルセシスター+80mm | 原子炉容器出入口 ノズルセシスター+100mm | 1次冷却材水位は個別解析の方が20mm高いが、1次冷却材が1次冷却材配管下端まで流出し余熱除去機能が喪失するまでの時間は短いため、解析結果に及ぼす影響は小さい。 |
| 1次系開口部 | 加圧器安全弁3個取り外し 加圧器ベント弁2個開放 | 加圧器安全弁3個取り外し 加圧器ベント弁1個開放 | 開放されている加圧器ベント弁の個数は個別解析の方が1個少ないが、加圧器安全弁3個の合計の容量に比べると小さく、解析結果へ及ぼす影響は小さい。 |
| 2次系の状態 | 2次系からの冷却なし | 同左 | 相違なし |
| 充てんポンプ（台数、流量） | 1台、 $31m^3/h$ | 1台、 $29m^3/h$ | 充てんポンプの注水量は個別解析の方が $2m^3/h$ 少ないが、注水流量は流出流量とバランスを取るために、解析結果へ及ぼす影響は小さい。 |
| 1次冷却材の流出流量 | $380m^3/h$ | $400m^3/h$ | 1次冷却材の流出流量は個別解析の方が $20m^3/h$ 多いが、1次冷却材が1次冷却材配管下端まで流出し余熱除去機能が喪失するまでの時間は短いため、解析結果に及ぼす影響は小さい。 |
| 重大事故等対策 | 代替炉心注水 ・余熱除去ポンプ停止の20分後に開始 | 同左 | 相違なし |

：当初申請解説とのパラメータの相違点

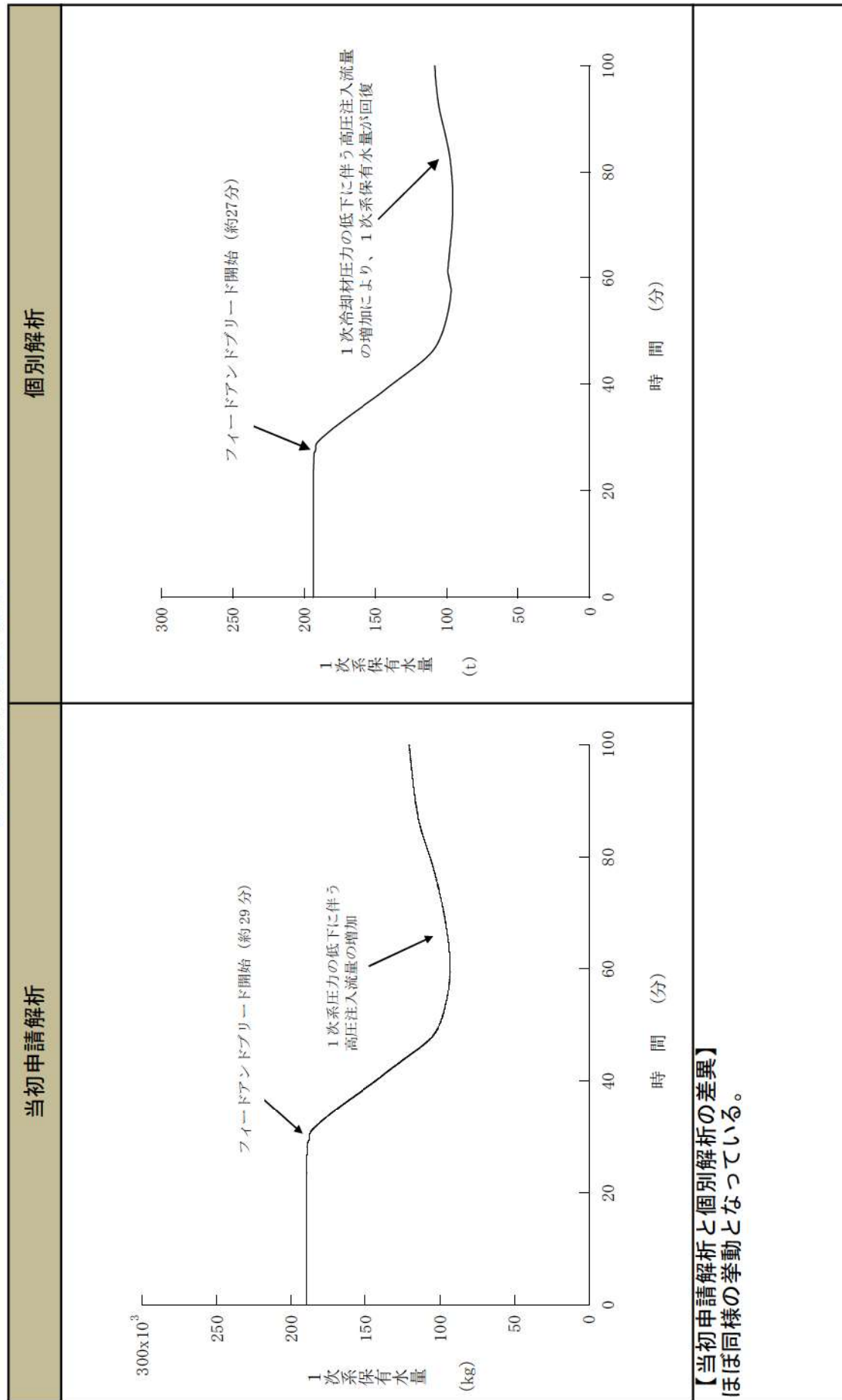
：相違があるパラメータのうち、事象進展に有意な影響を与えるパラメータ

事象進展の比較
(運転中の原子炉における重大事故に至るおそれがある事故)

別紙2-1 (1/43)

2次冷却系からの除熱機能喪失

【1次系保有水量の推移】

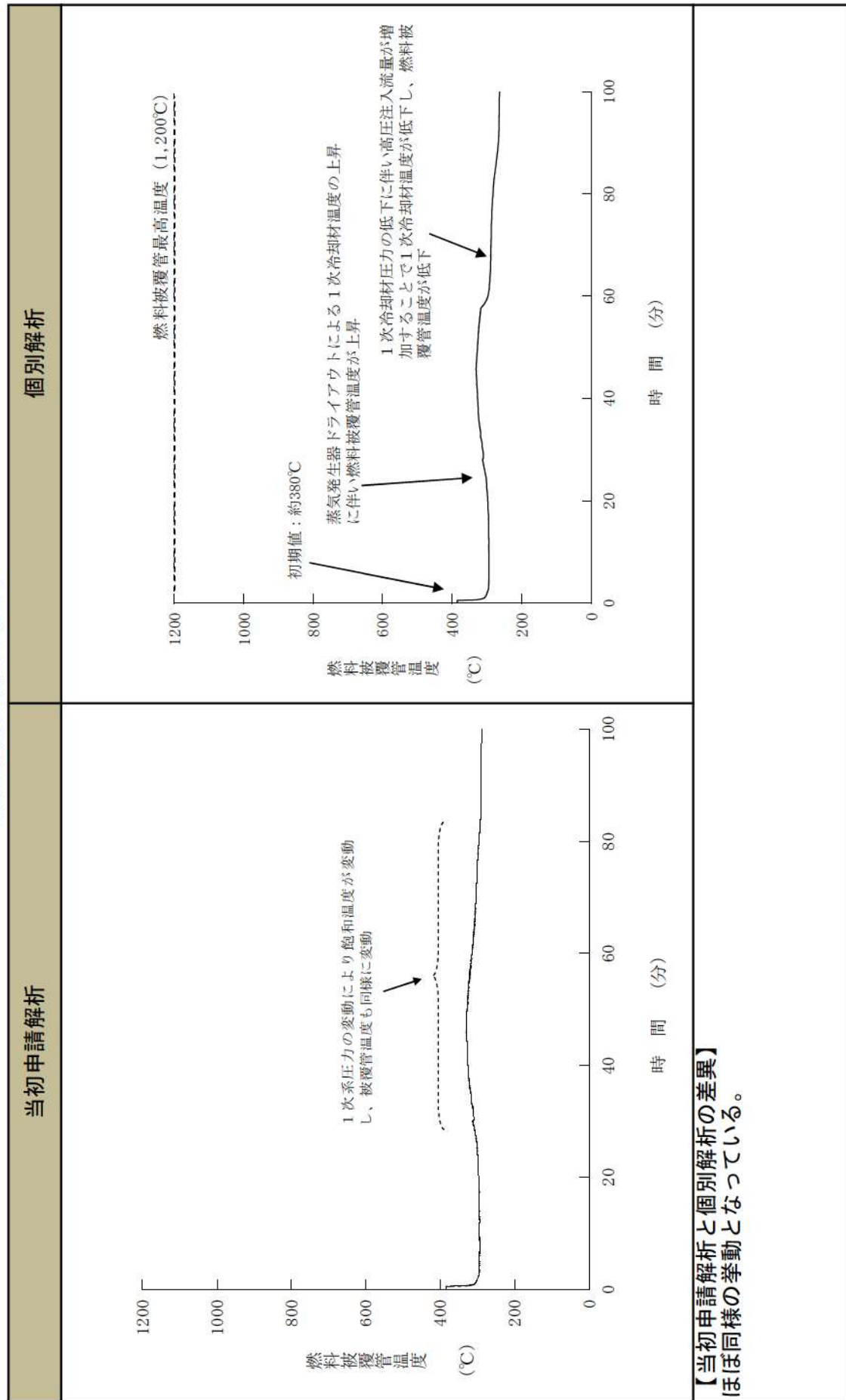


【当初申請解析と個別解析の差異】
(ほぼ同様の挙動となつていい。)

事象進展の比較
(運転中の原子炉における重大事故に至るおそれがある事故)

2次冷却系からの除熱機能喪失

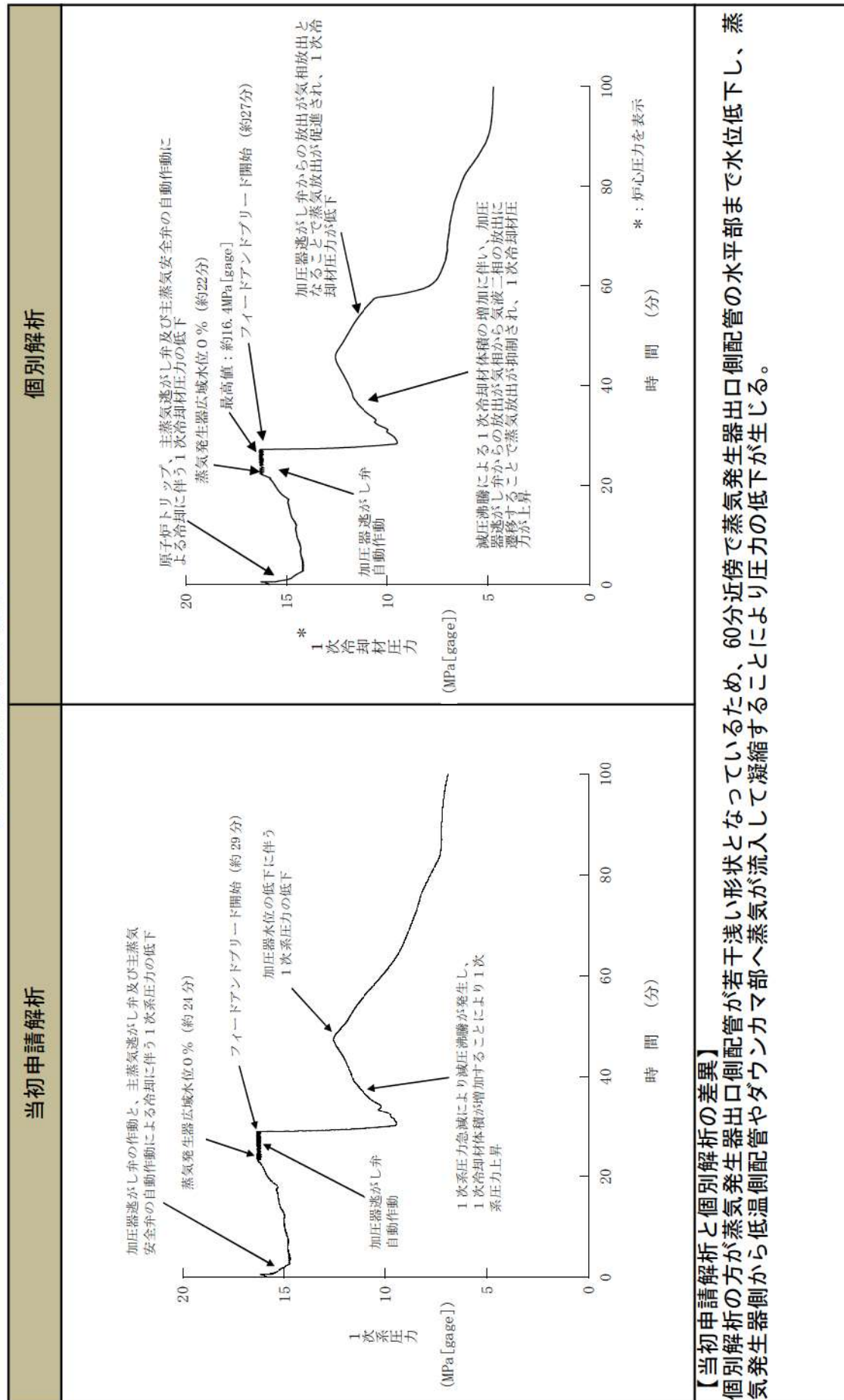
【燃料被覆管温度の推移】



事象進展の比較
(運転中の原子炉における重大事故に至るおそれがある事故)

2次冷却系からの除熱機能喪失

【1次冷却材圧力の推移】

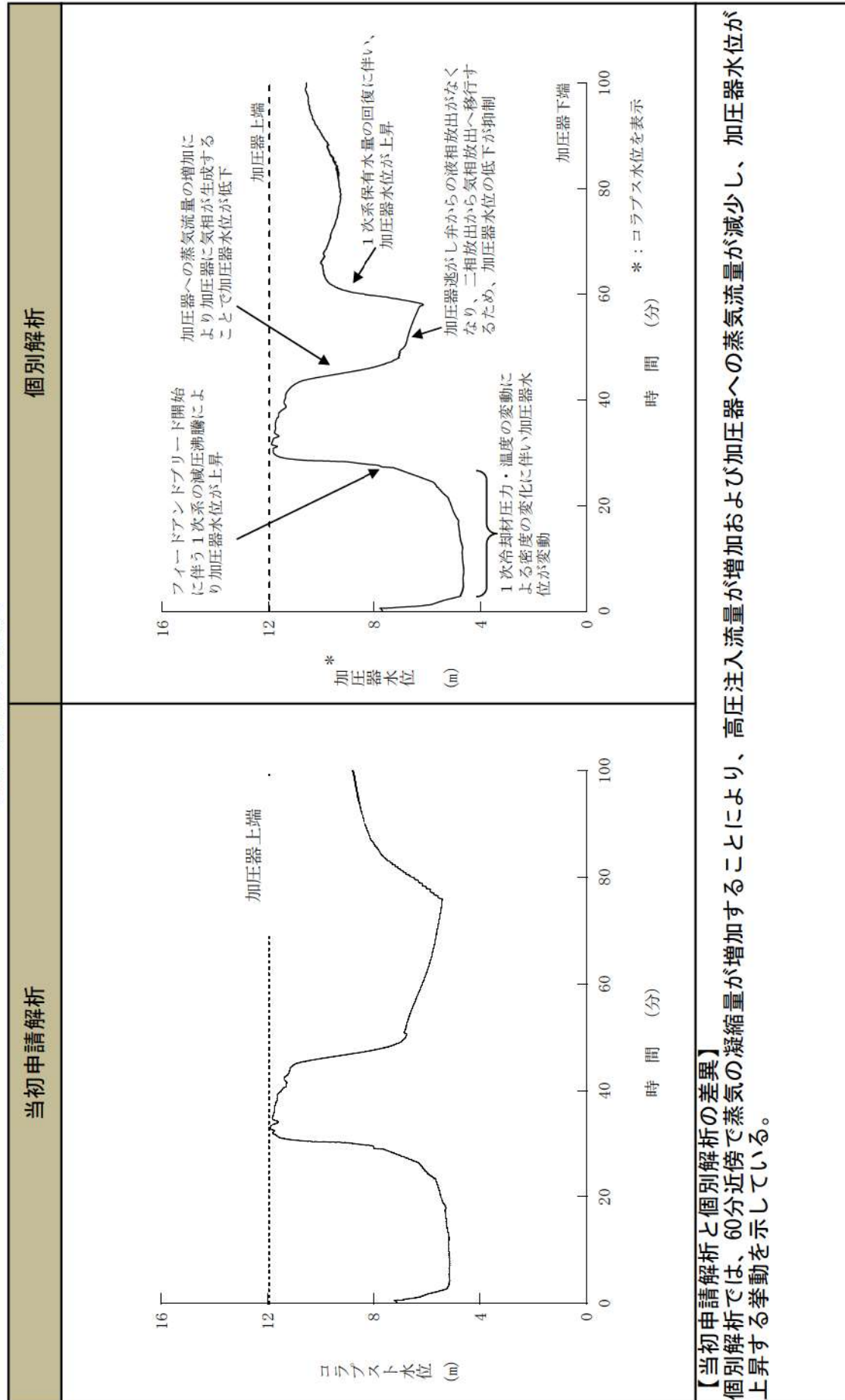


【当初申請解析と個別解析の差異】
個別解析の方が蒸気発生器出口側配管が若干深い形状となっているため、60分近傍で蒸気発生器出口側配管の水平部まで水位低下し、蒸気発生器側から低温側配管やダウンカマ部へ蒸気が流入して凝縮することにより圧力の低下が生じる。

事象進展の比較
(運転中の原子炉における重大事故に至るおそれがある事故)

2次冷却系からの除熱機能喪失

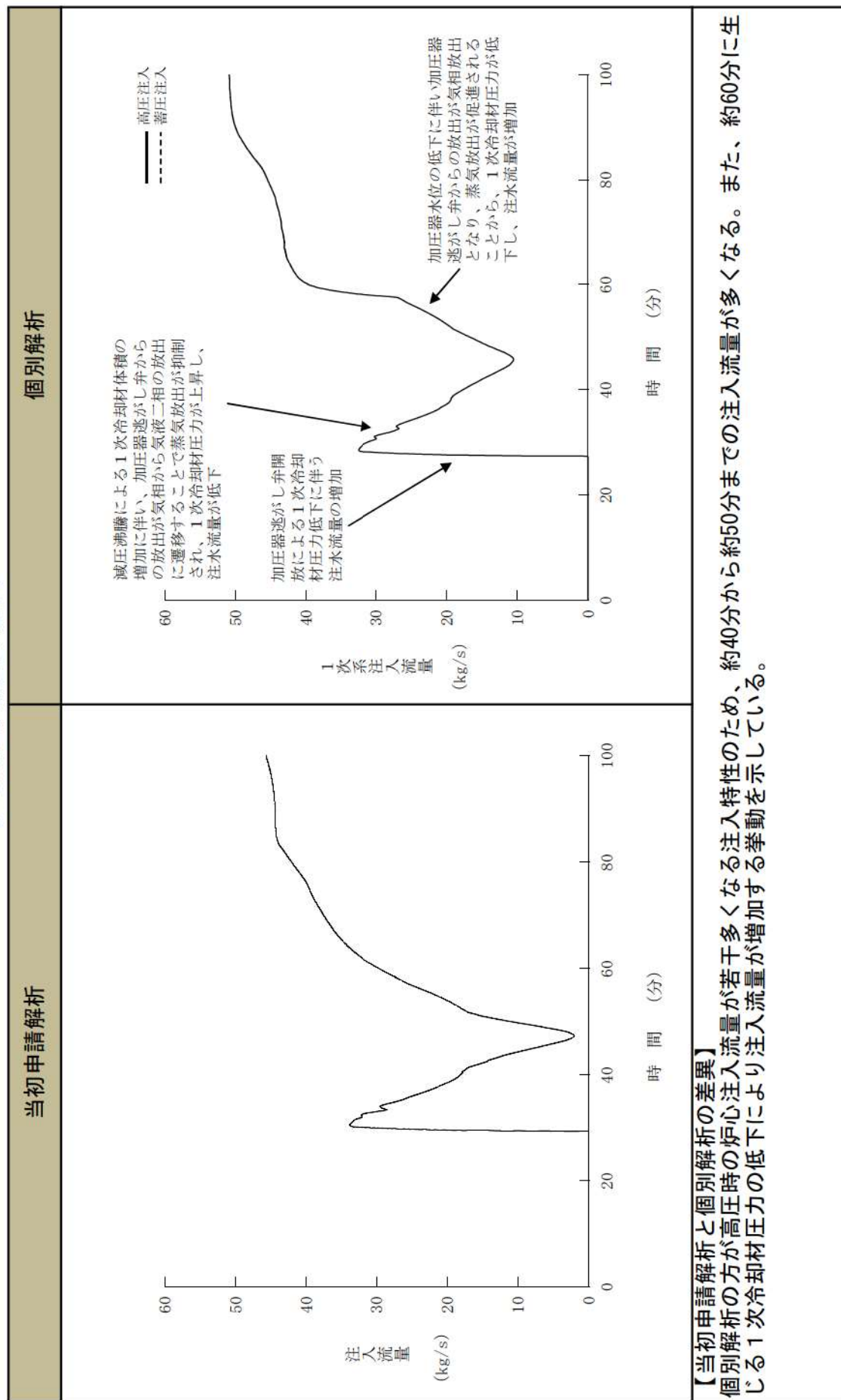
【加圧器水位の推移】



事象進展の比較
(運転中の原子炉における重大事故に至るおそれがある事故)

2次冷却系からの除熱機能喪失

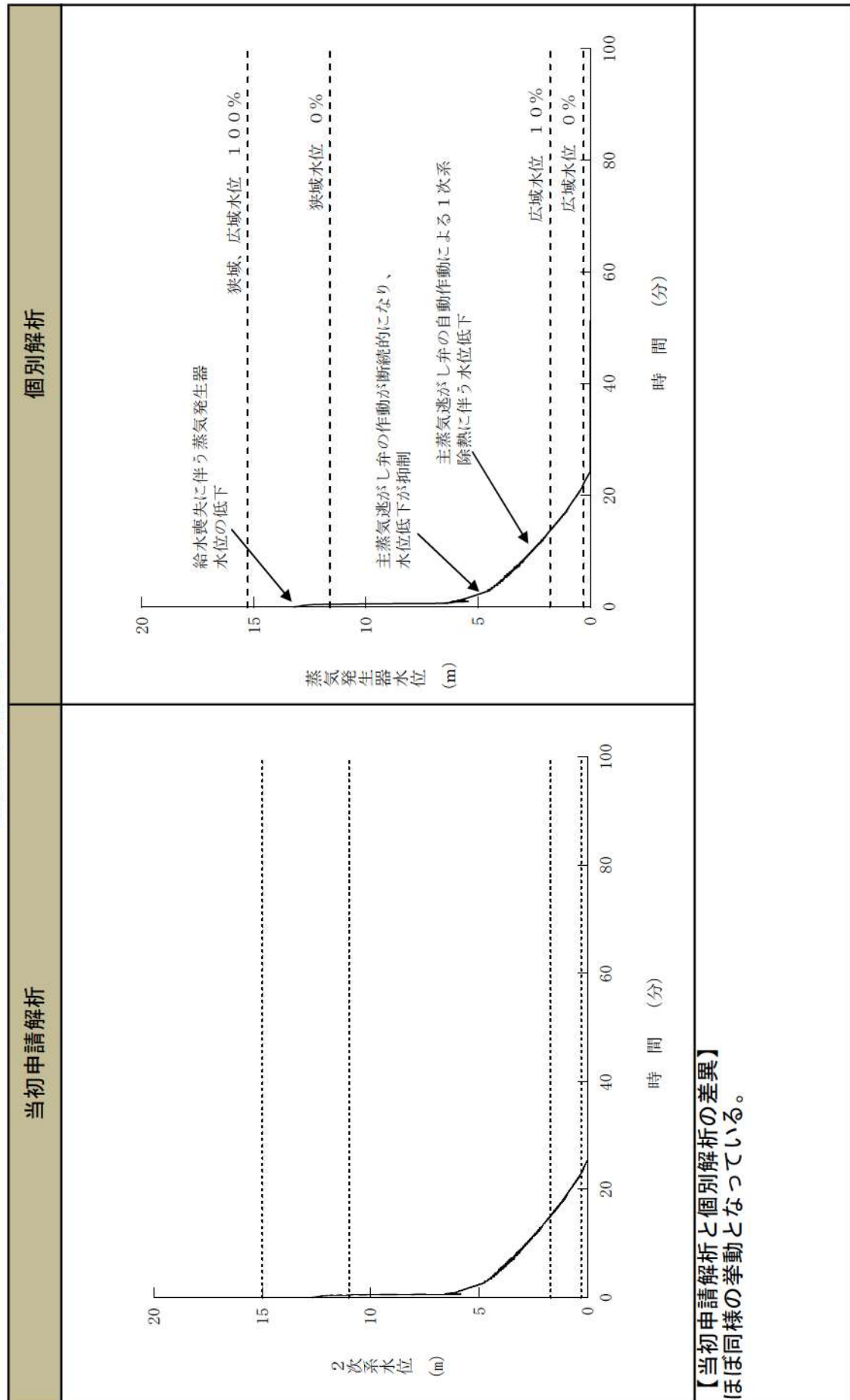
【1次系注入流量の推移】



事象進展の比較
(運転中の原子炉における重大事故に至るおそれがある事故)

2次冷却系からの除熱機能喪失

【蒸気発生器水位の推移】

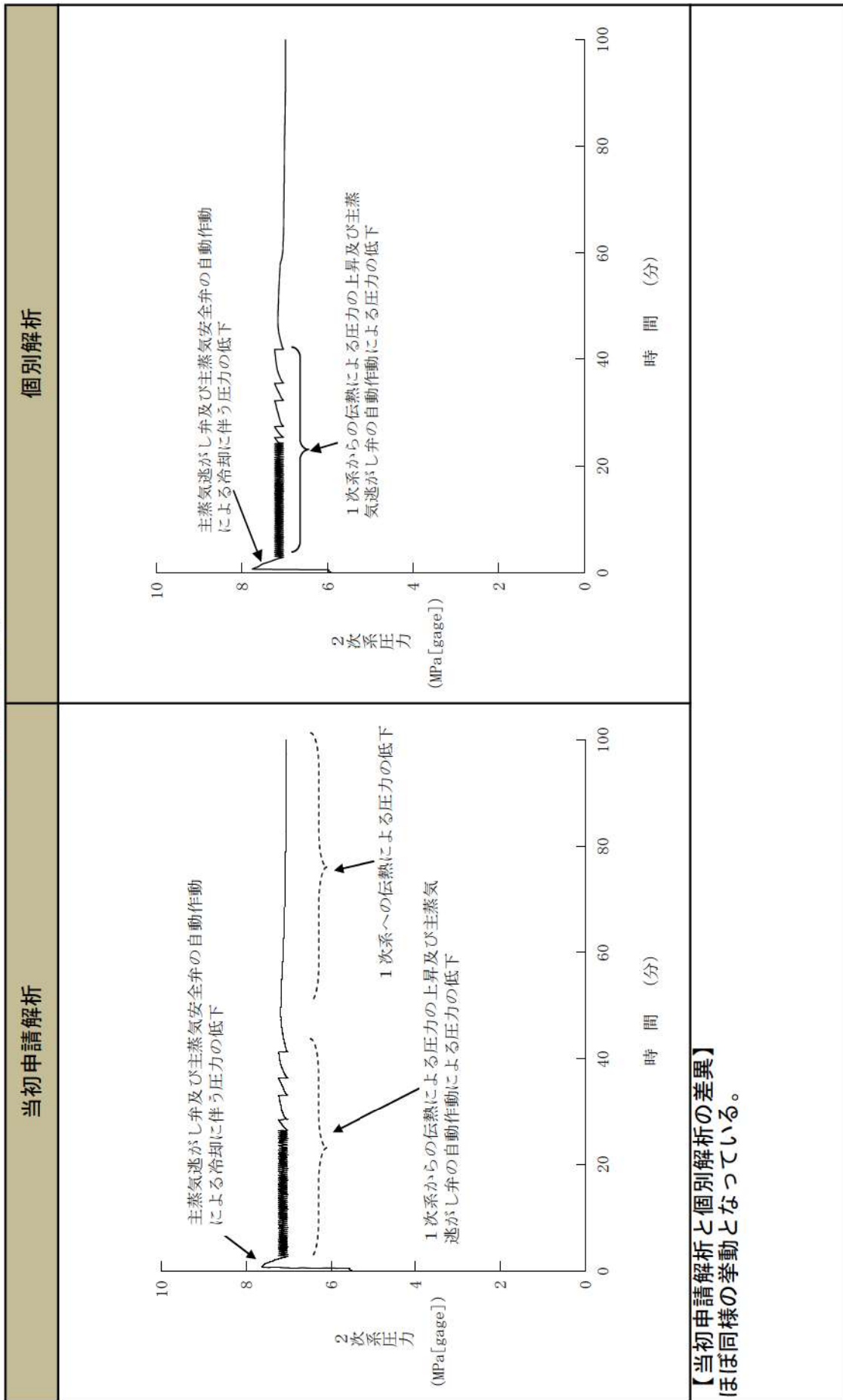


事象進展の比較
(運転中の原子炉における重大事故に至るおそれがある事故)

別紙2-1 (7/43)

2次冷却系からの除熱機能喪失

【2次系圧力の推移】

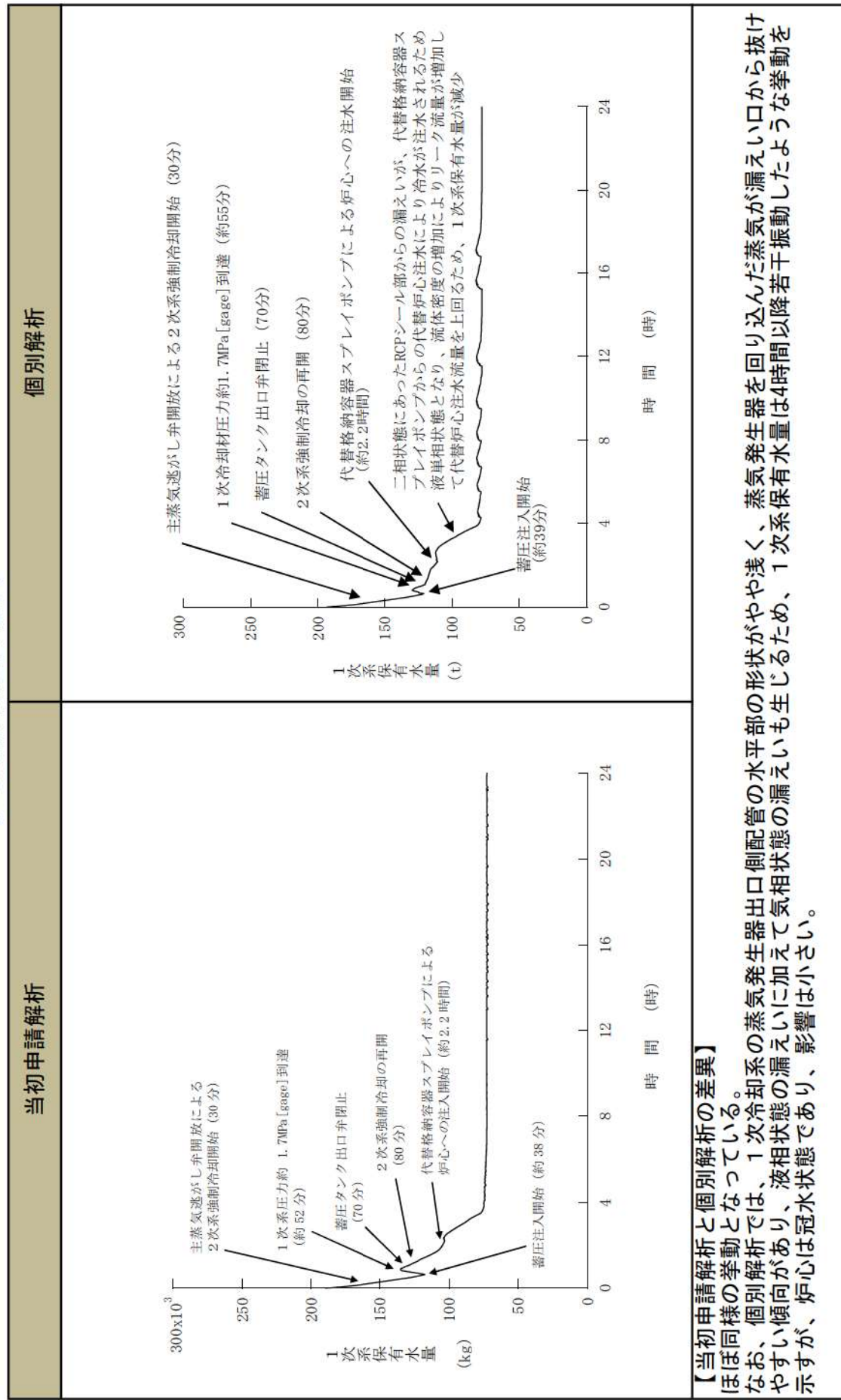


事象進展の比較
(運転中の原子炉における重大事故に至るおそれがある事故)

別紙2-1 (8/43)

全交流動力電源喪失 (RCPシールル LOCA)・原子炉補機冷却機能喪失

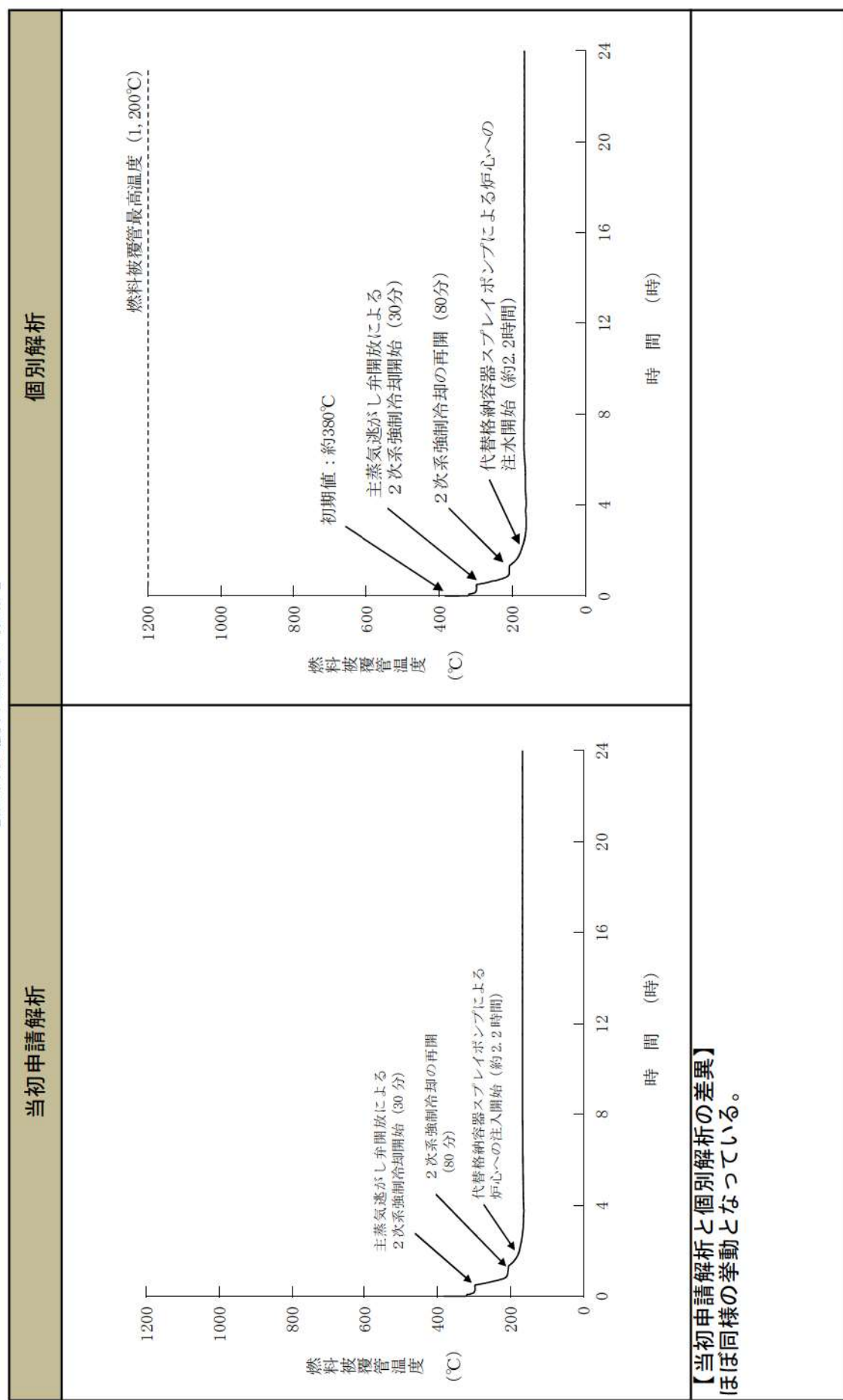
【1次系保有水量の推移】



事象進展の比較
(運転中の原子炉における重大事故に至るおそれがある事故)

全交流動力電源喪失 (RCPシールル LOCA) ・原子炉補機冷却機能喪失

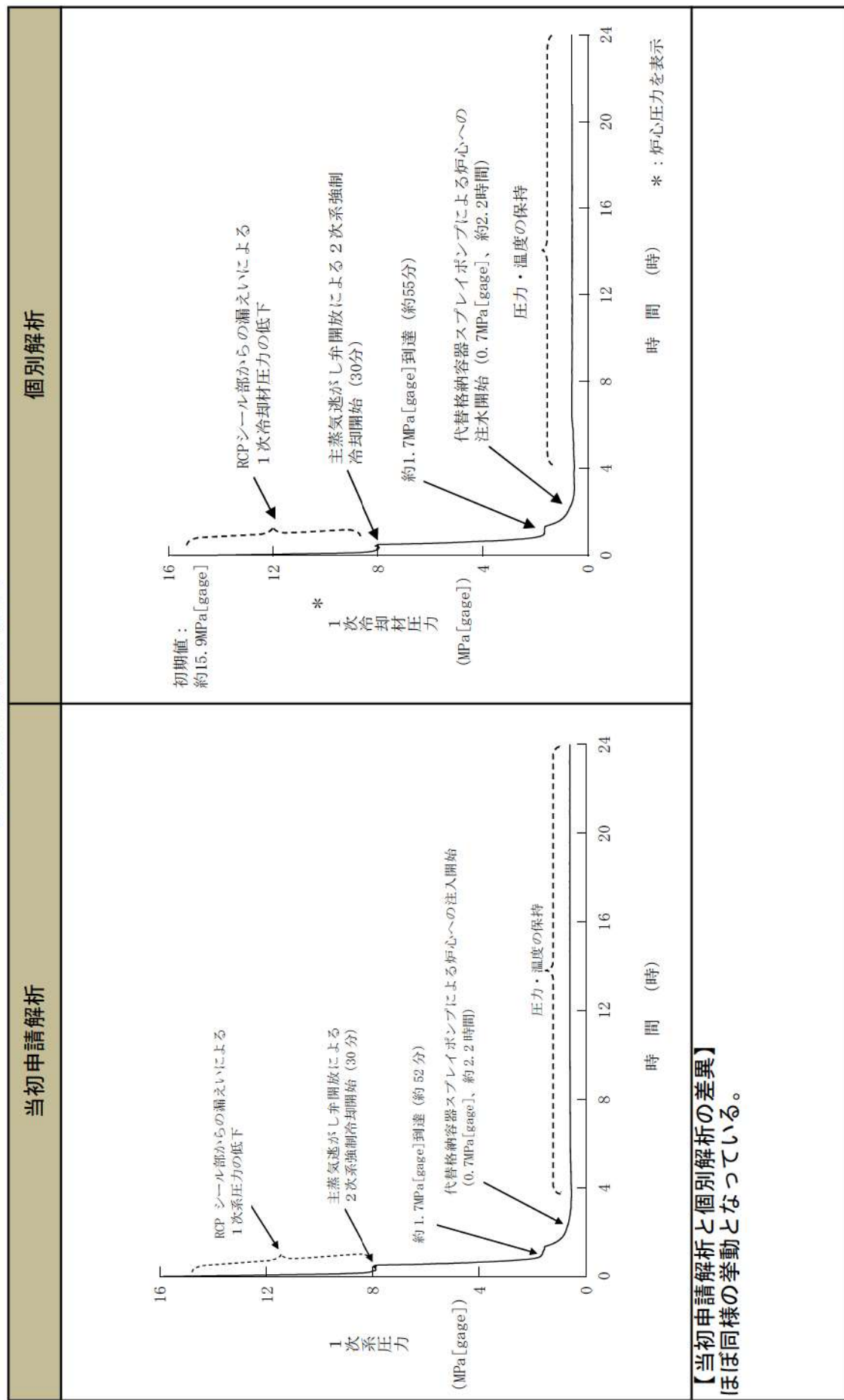
【燃料被覆管温度の推移】



事象進展の比較
(運転中の原子炉における重大事故に至るおそれがある事故)

全交流動力電源喪失 (RCPシールル LOCA)・原子炉補機冷却機能喪失

【1次冷却材圧力の推移】

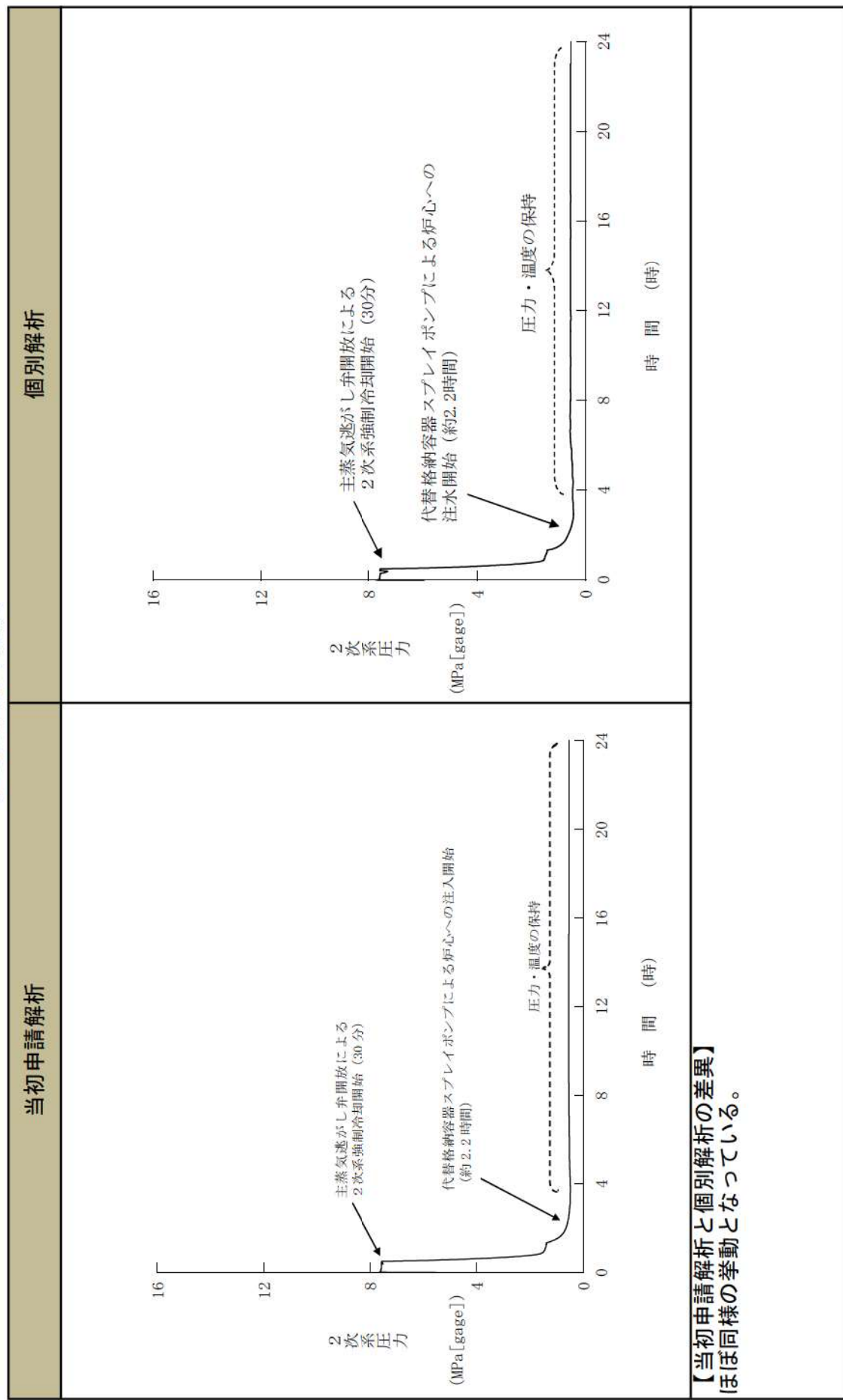


【当初申請解析と個別解析の差異】
ほぼ同様の挙動となつていい。

事象進展の比較
(運転中の原子炉における重大事故に至るおそれがある事故)

全交流動力電源喪失 (RCPシールルLOCA)・原子炉補機冷却機能喪失

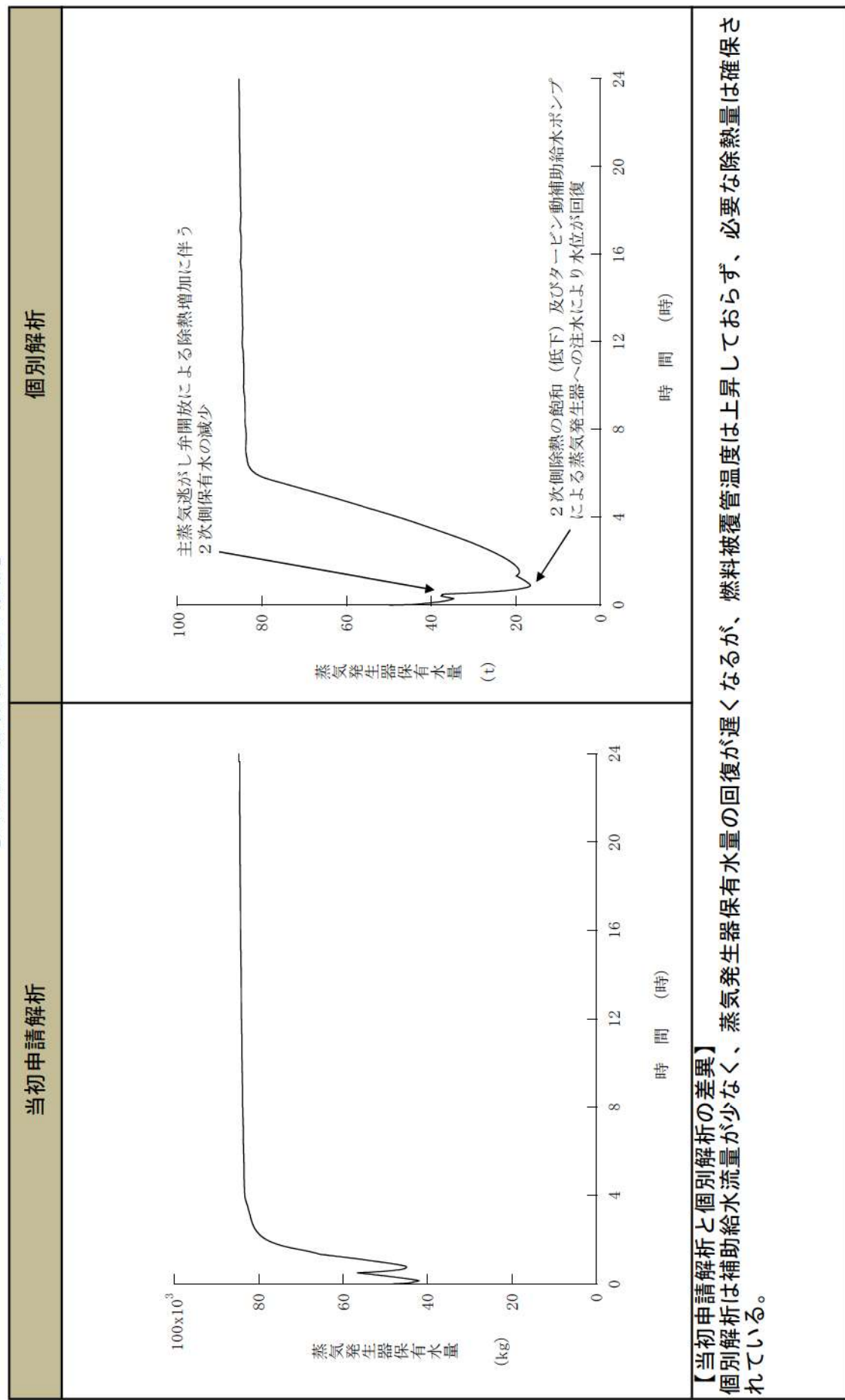
【2次系圧力の推移】



事象進展の比較
(運転中の原子炉における重大事故に至るおそれがある事故)

全交流動力電源喪失 (RCPシールルLOCA)・原子炉補機冷却機能喪失

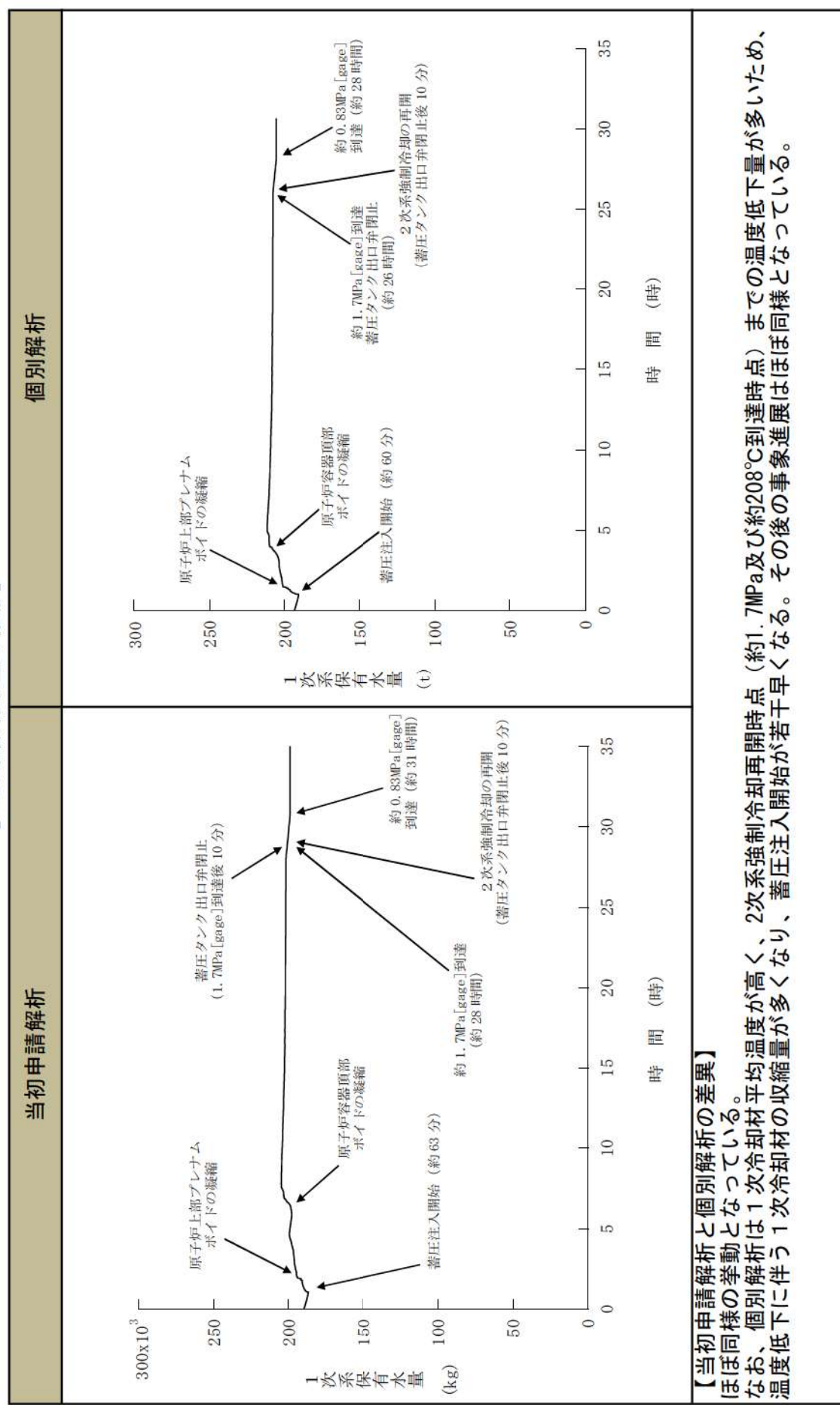
【蒸気発生器保有水量の推移】



事象進展の比較
(運転中の原子炉における重大事故に至るおそれがある事故)

全交流動力電源喪失 (RCPシールリーク)

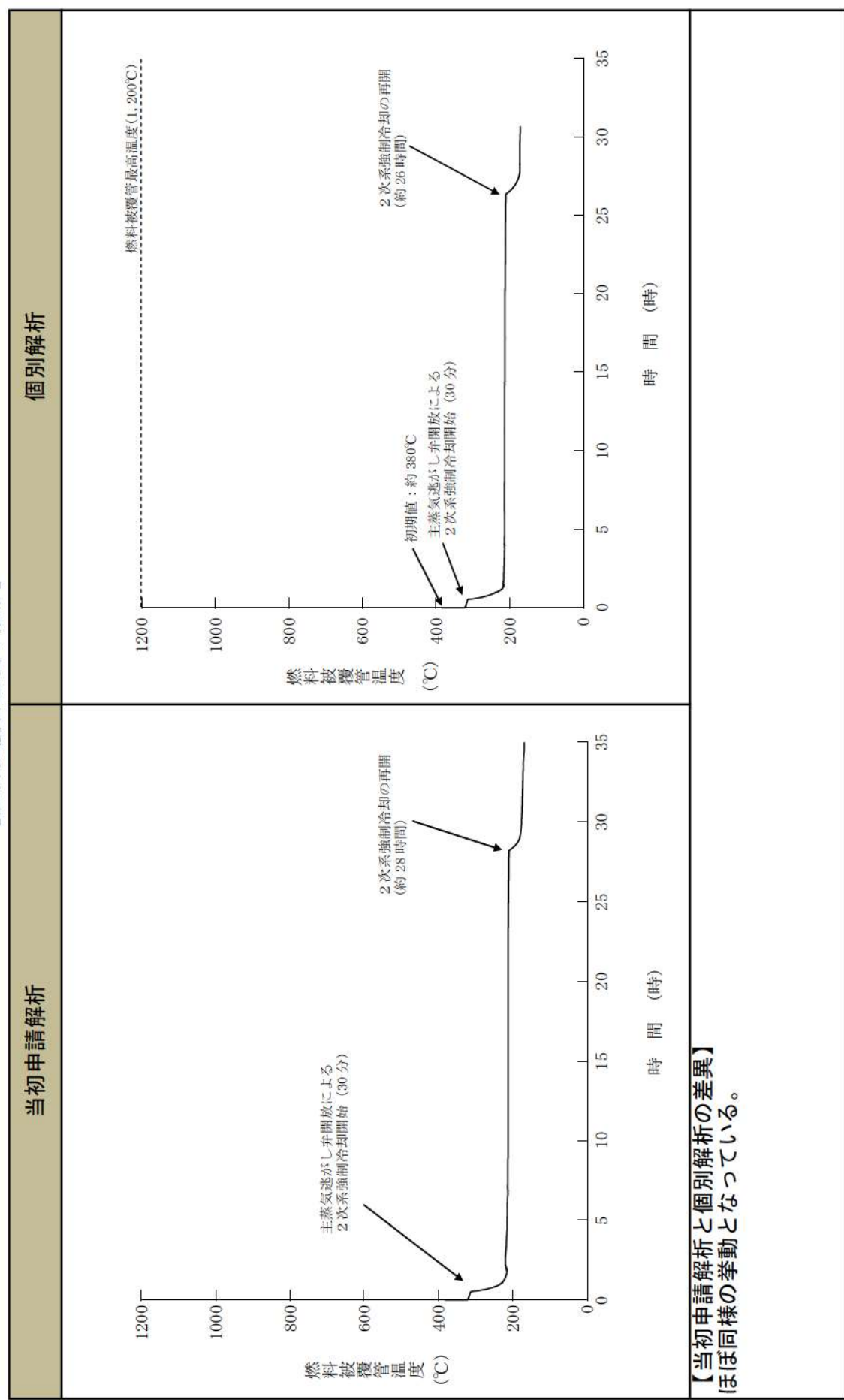
【1次系保有水量の推移】



事象進展の比較
(運転中の原子炉における重大事故に至るおそれがある事故)

全交流動力電源喪失 (RCPシールリーク)

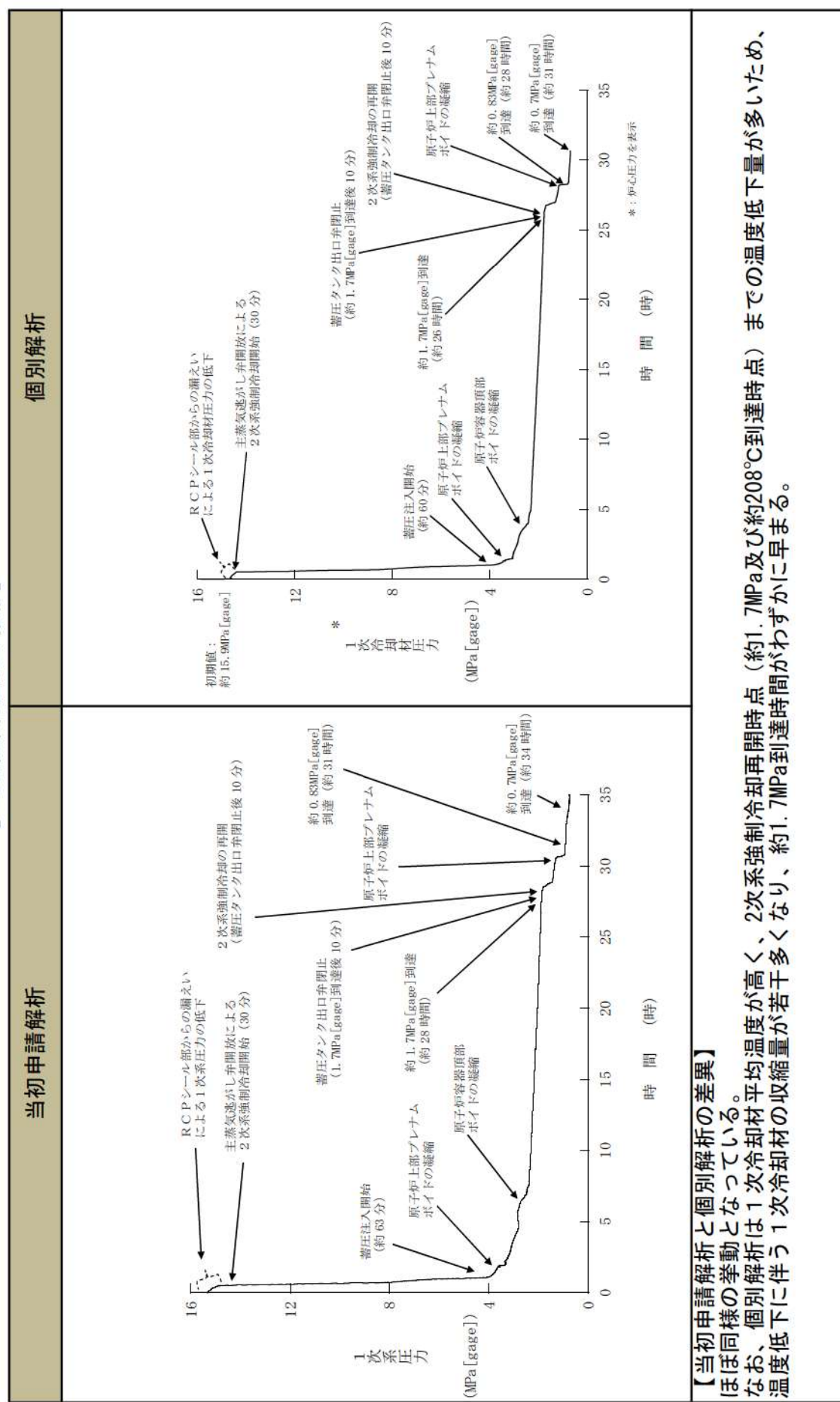
【燃料被覆管温度の推移】



事象進展の比較
(運転中の原子炉における重大事故に至るおそれがある事故)

全交流動力電源喪失 (RCPシールリーク)

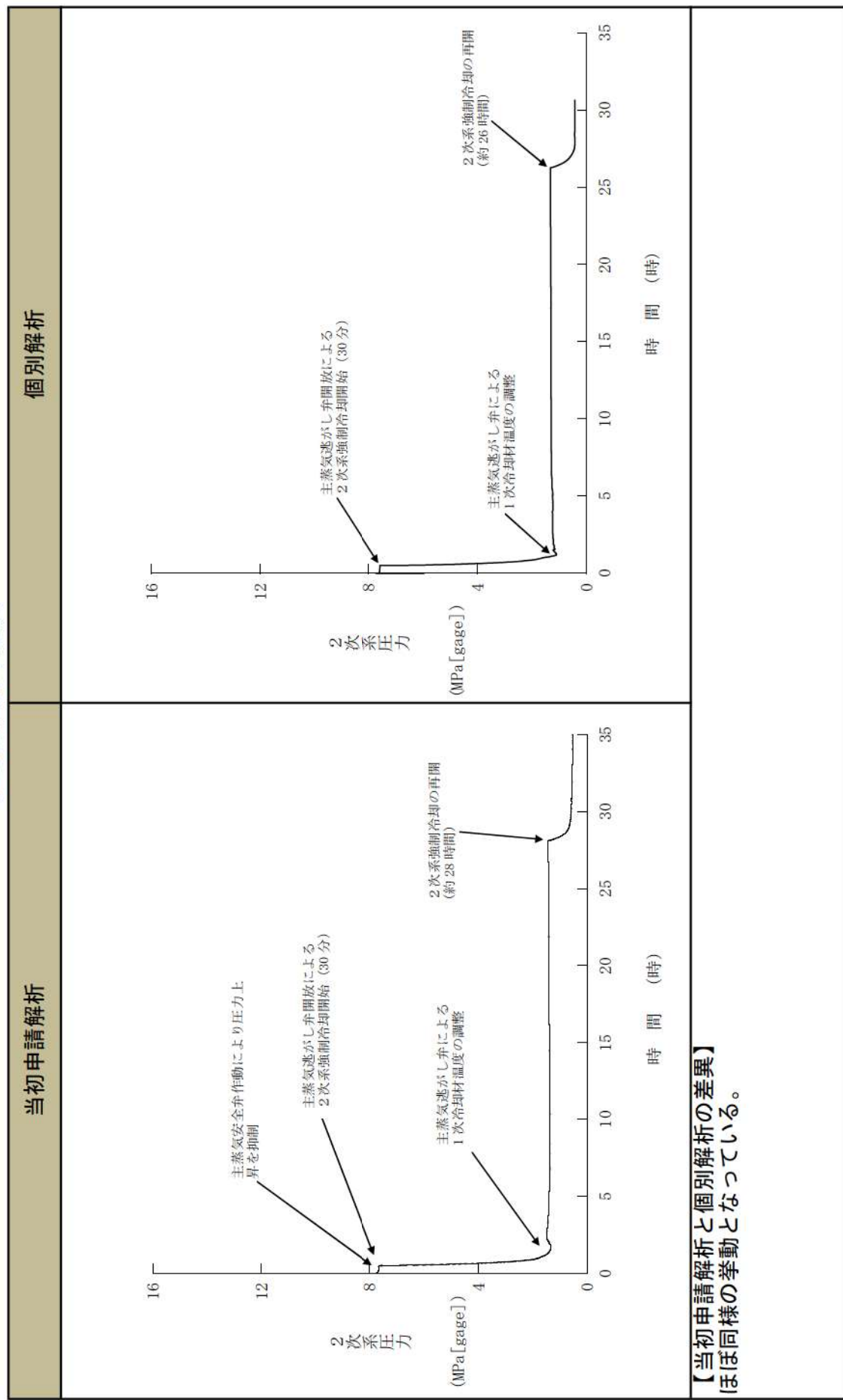
【1次冷却材圧力の推移】



事象進展の比較
(運転中の原子炉における重大事故に至るおそれがある事故)

全交流動力電源喪失 (RCPシールリーク)

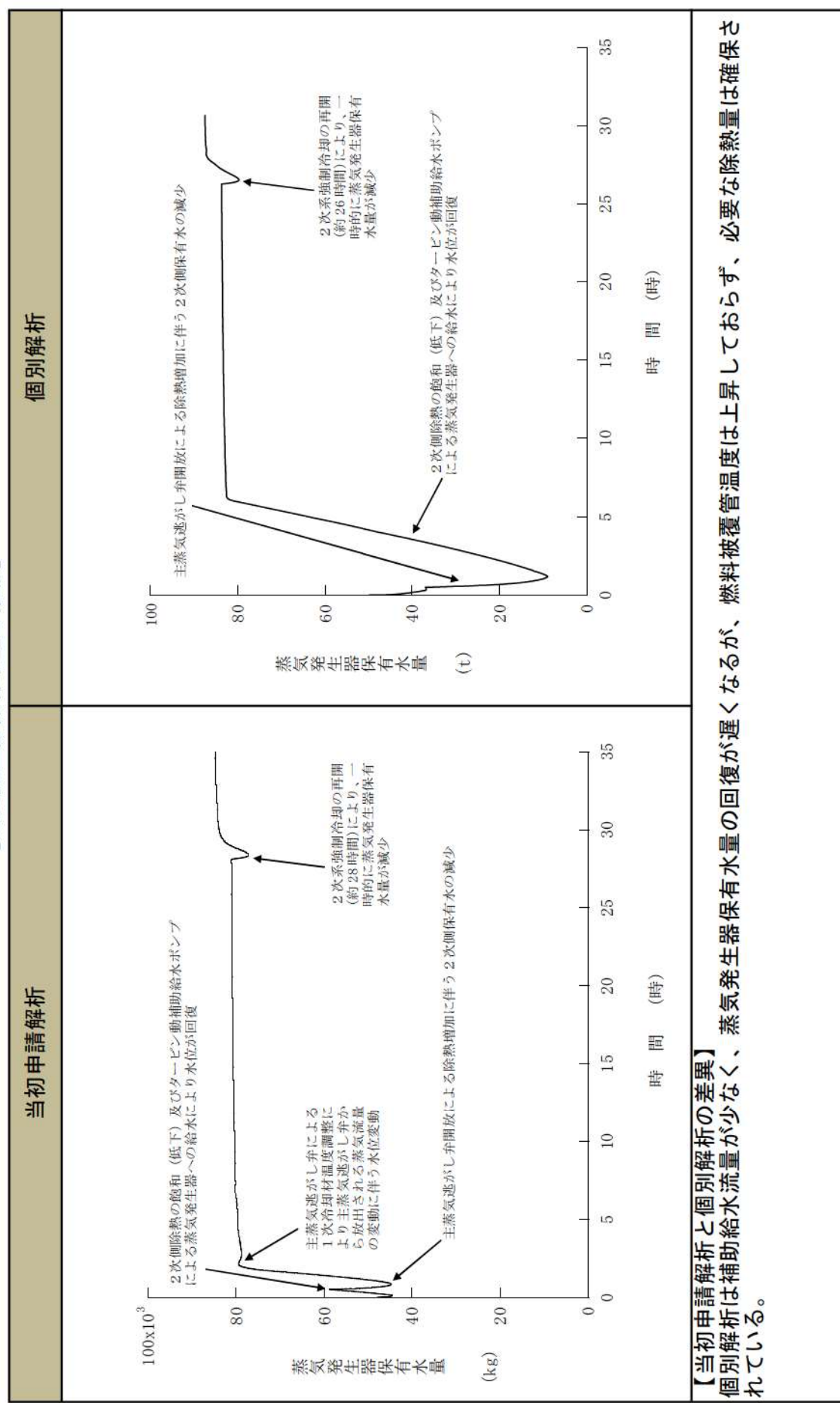
【2次系圧力の推移】



全交流動力電源喪失 (RCPシールリーク)
(運転中の原子炉における重大事故に至るおそれがある事故)

事象進展の比較

【蒸気発生器保有水量の推移】

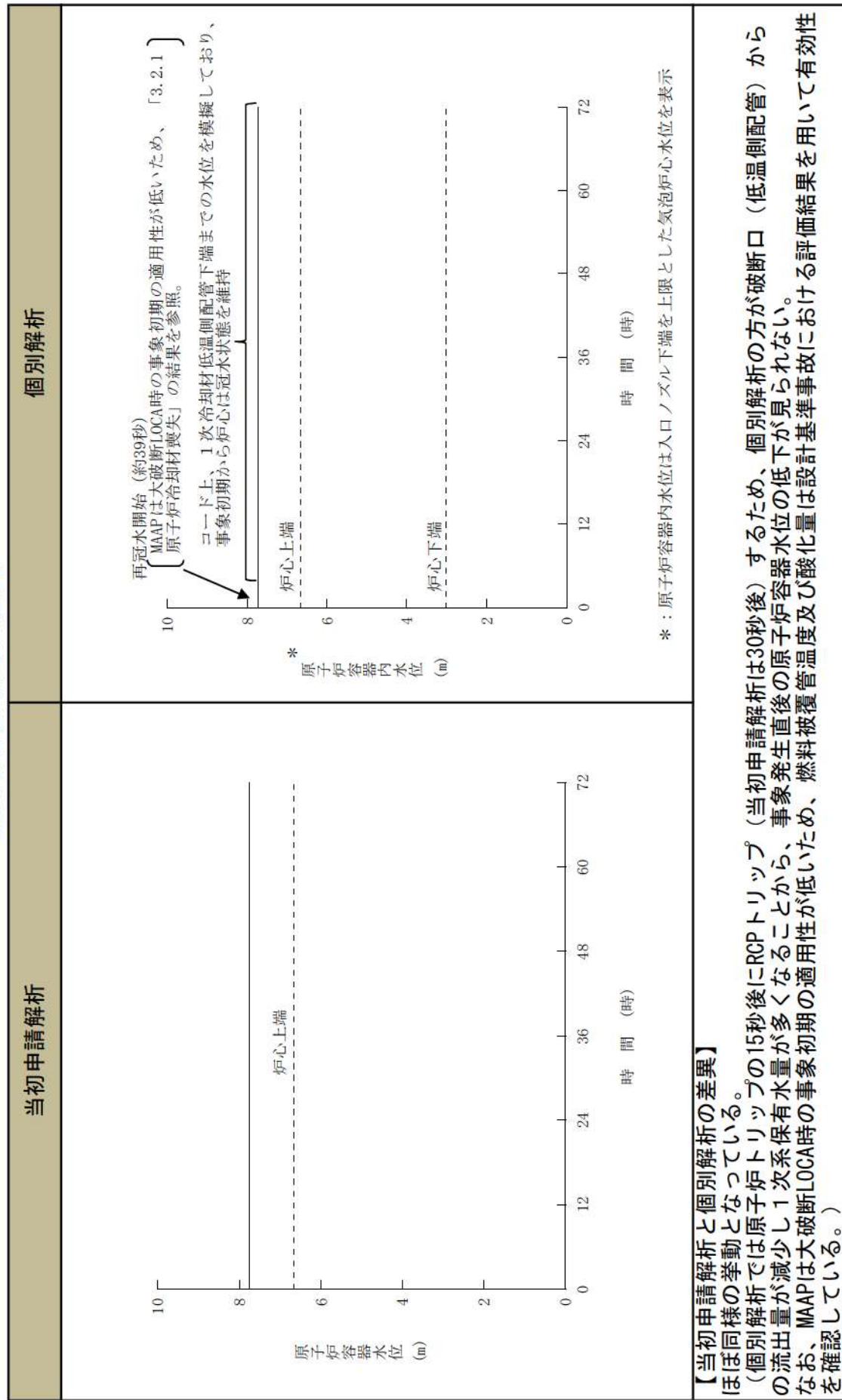


原子炉格納容器の除熱機能喪失
(運転中の原子炉における重大事故に至るおそれがある事故)

別紙2-1 (18/43)

原子炉格納容器の除熱機能喪失

【原子炉容器内水位の推移】



【当初申請解析と個別解析の差異】

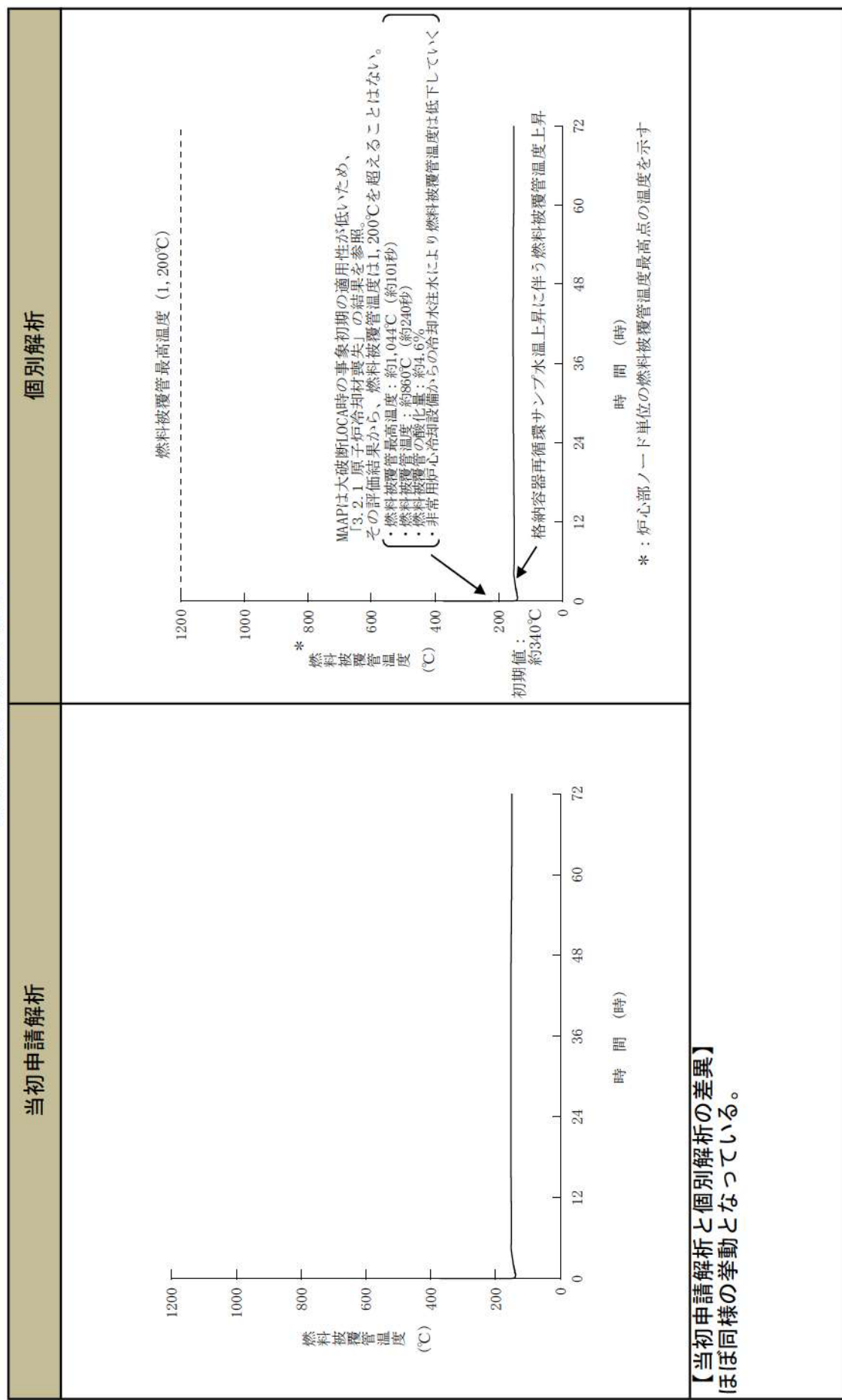
ほぼ同様の挙動となつていい。
(個別解析では原子炉トリップの15秒後にRCPトリップ(当初申請解析は30秒後)するため、個別解析の方が破断口(低温側配管)からの流出量が減少し1次系保有水量が多くなることから、事象発生直後の原子炉容器水位の低下が見られない。
なお、MAAPは大破断LOCA時の事象初期の適用性が低いため、燃料被覆管温度及び酸化量は設計基準事故における評価結果を用いて有効性を確認している。)

原子炉格納容器の除熱機能喪失
(運転中の原子炉における重大事故に至るおそれがある事故)

別紙2-1 (19/43)

原子炉格納容器の除熱機能喪失

【燃料被覆管温度の推移】

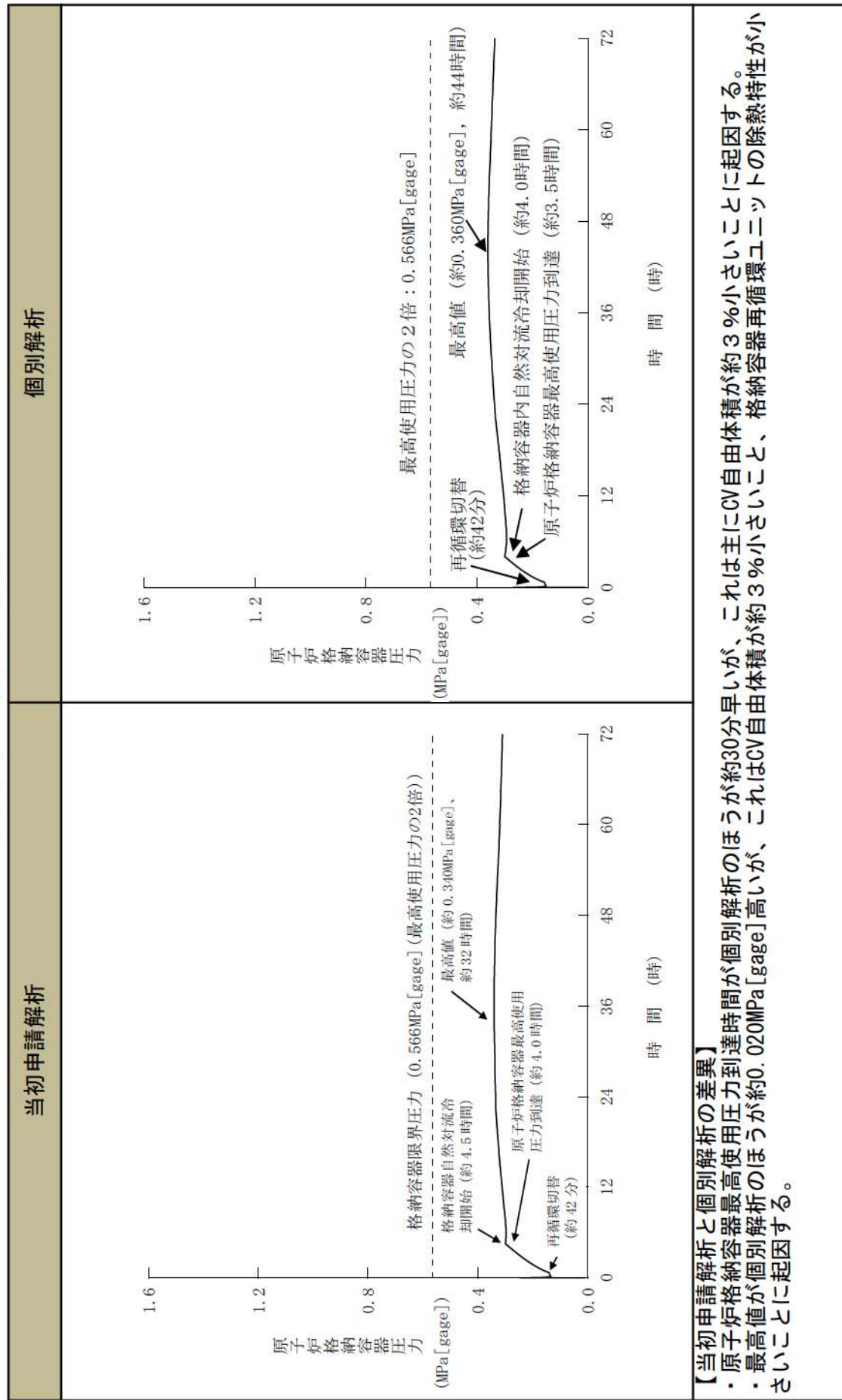


【当初申請解析と個別解析の差異】
(ほぼ同様の挙動となつていい。)

原子炉格納容器の除熱機能喪失
(運転中の原子炉における重大事故に至るおそれがある事故)

原子炉格納容器の除熱機能喪失

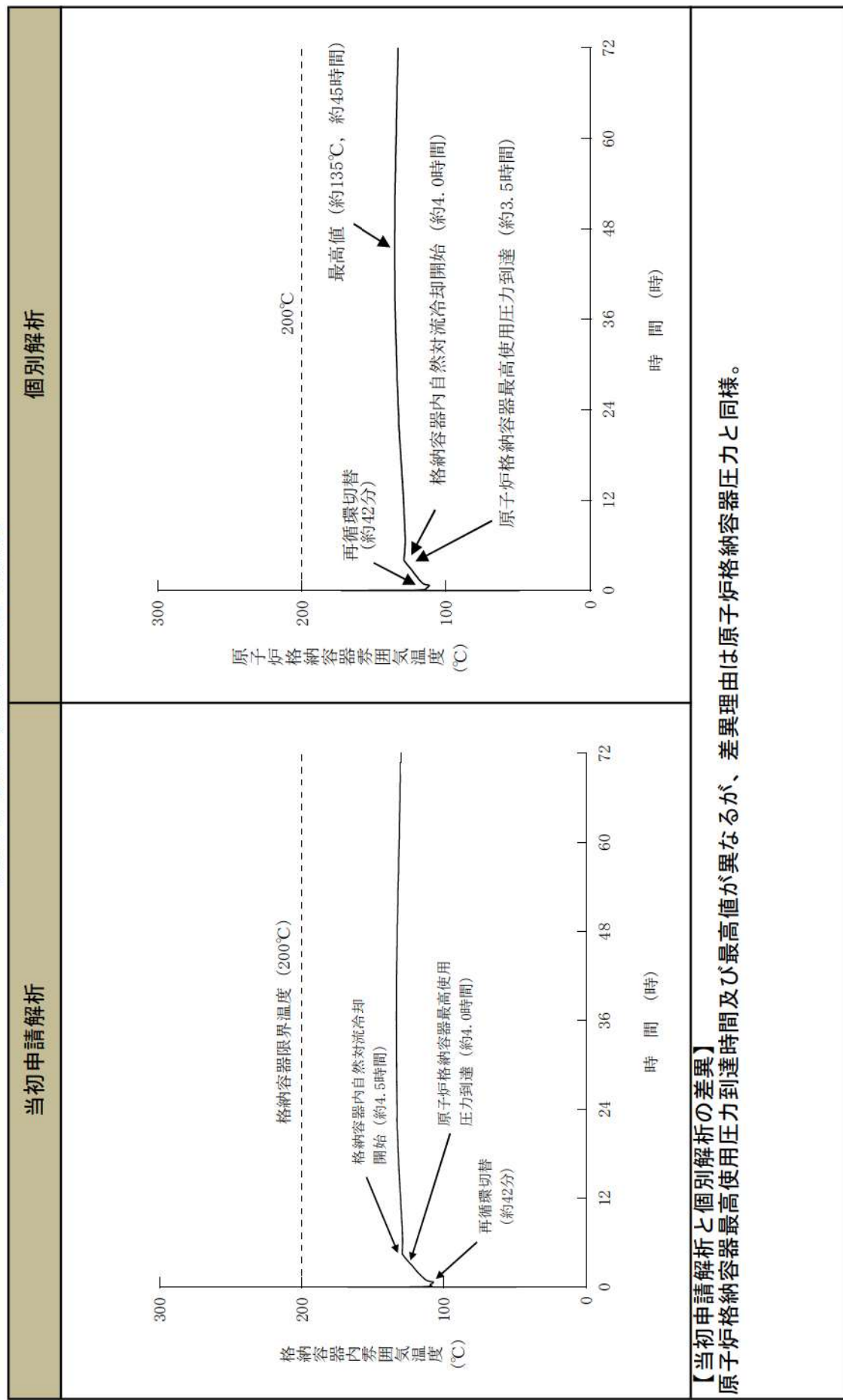
【原子炉格納容器圧力の推移】



原子炉格納容器の除熱機能喪失
 (運転中の原子炉における重大事故に至るおそれがある事故)

原子炉格納容器の除熱機能喪失

【原子炉格納容器零困気温度の推移】

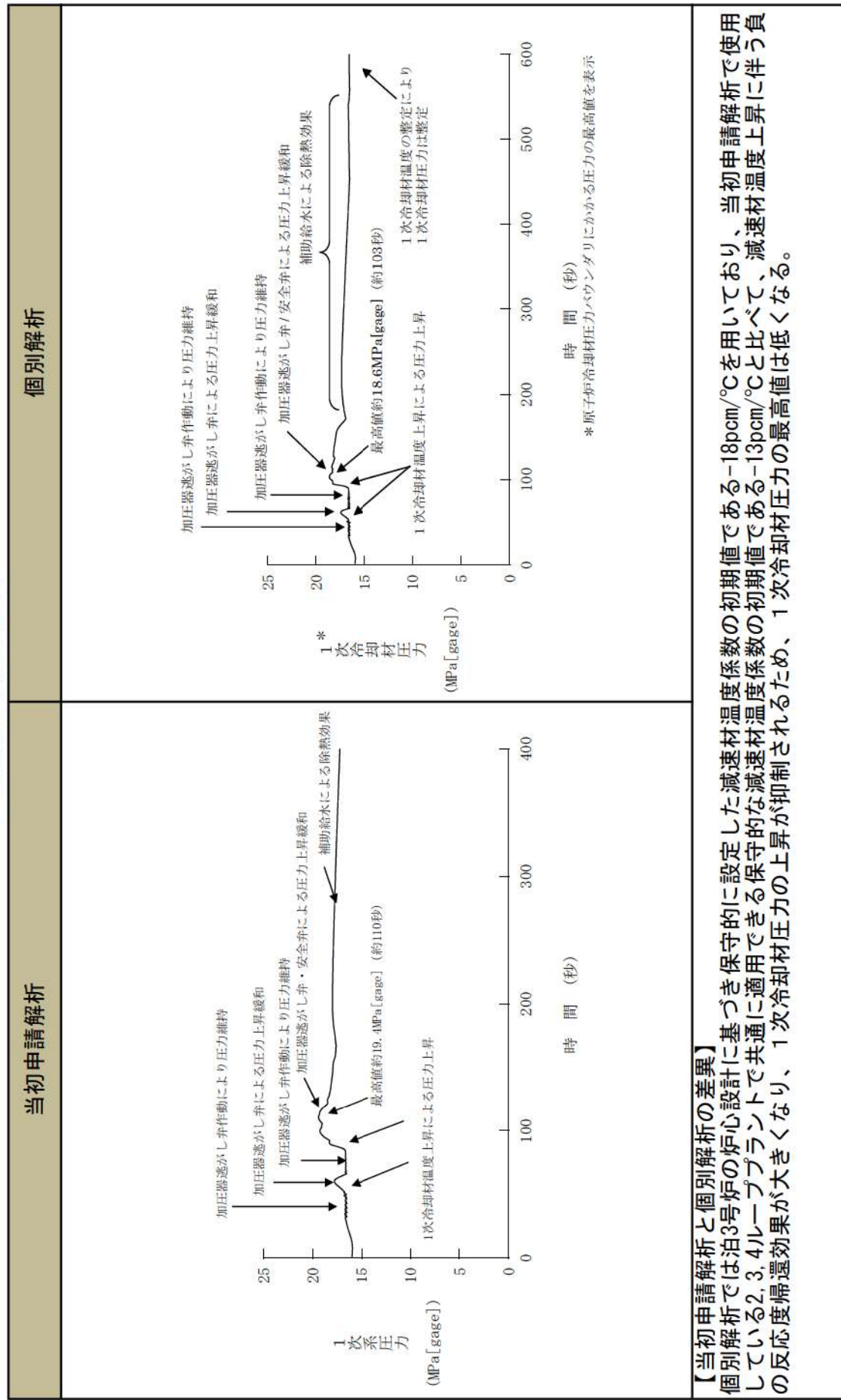


【当初申請解析と個別解析の差異】
 原子炉格納容器最高使用圧力と同様。

事象進展の比較
(運転中の原子炉における重大事故に至るおそれがある事故)

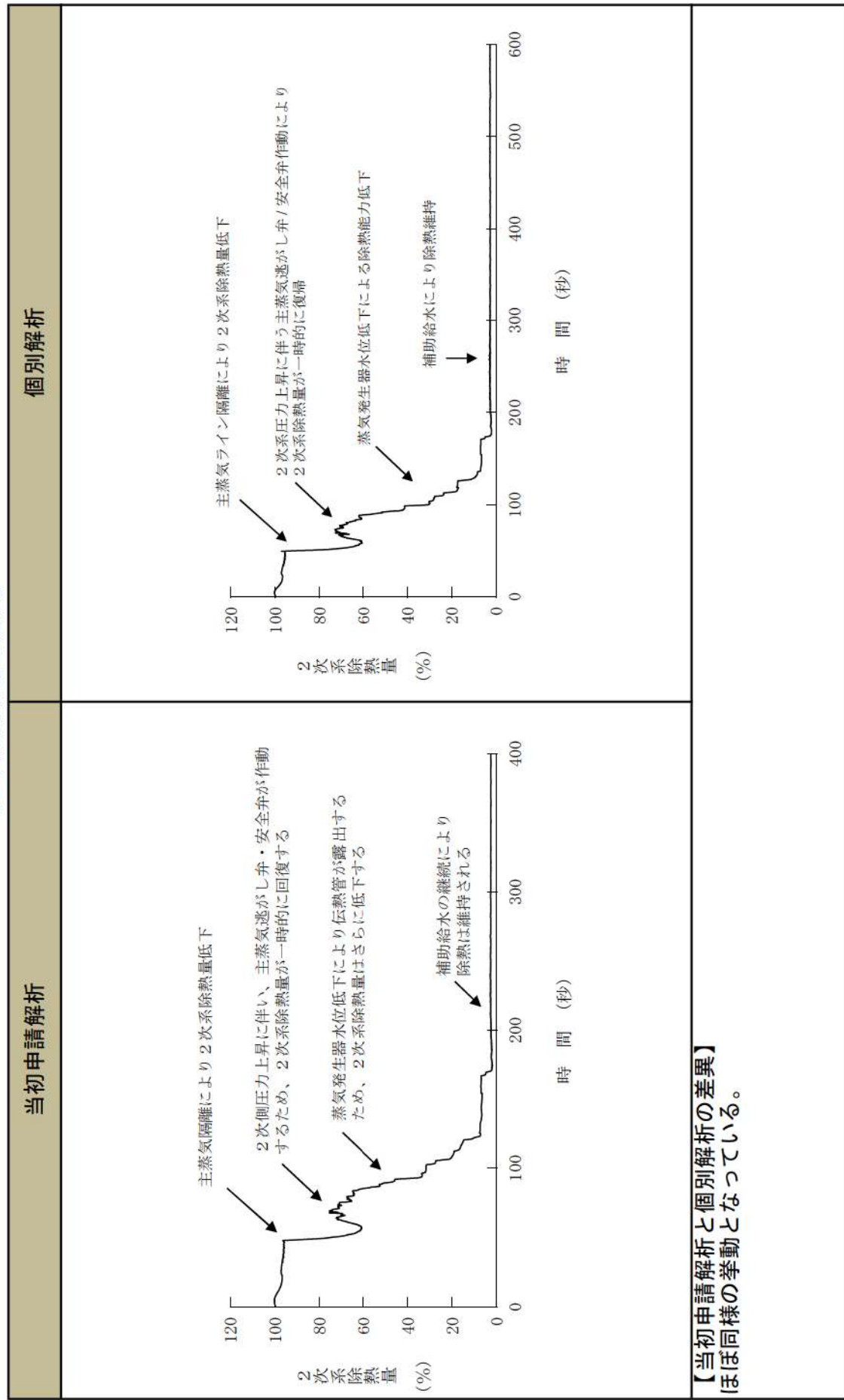
原子炉停止機能喪失（主給水流量喪失時に原子炉トリップ機能が喪失する事故）

【1次冷却材圧力の推移】



事象進展の比較
(運転中の原子炉における重大事故に至るおそれがある事故)

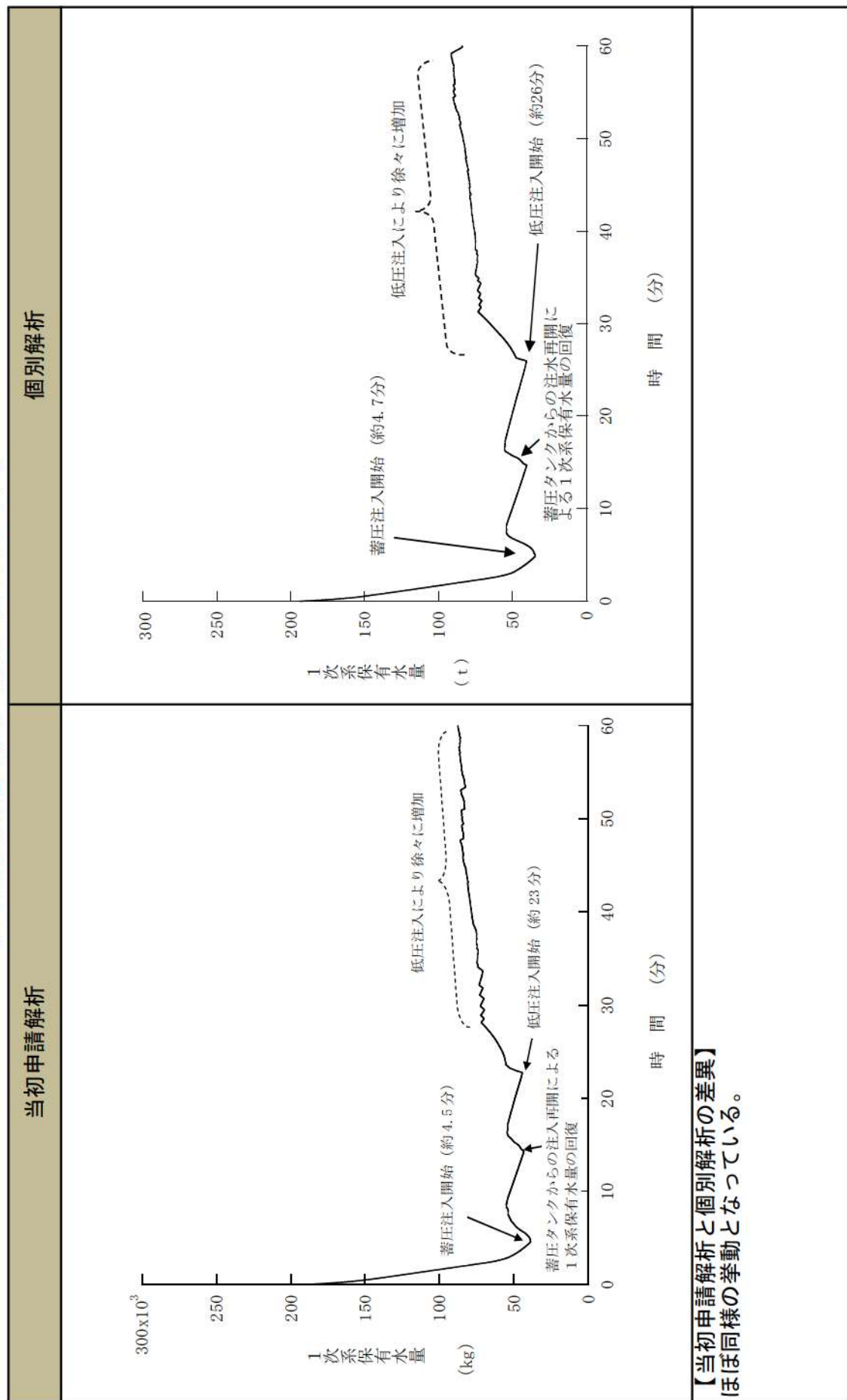
原子炉停止機能喪失（主給水流量喪失時に原子炉トリップ機能が喪失する事故）
【2次系除熱量の推移】



事象進展の比較
(運転中の原子炉における重大事故に至るおそれがある事故)

ECCS注水機能喪失

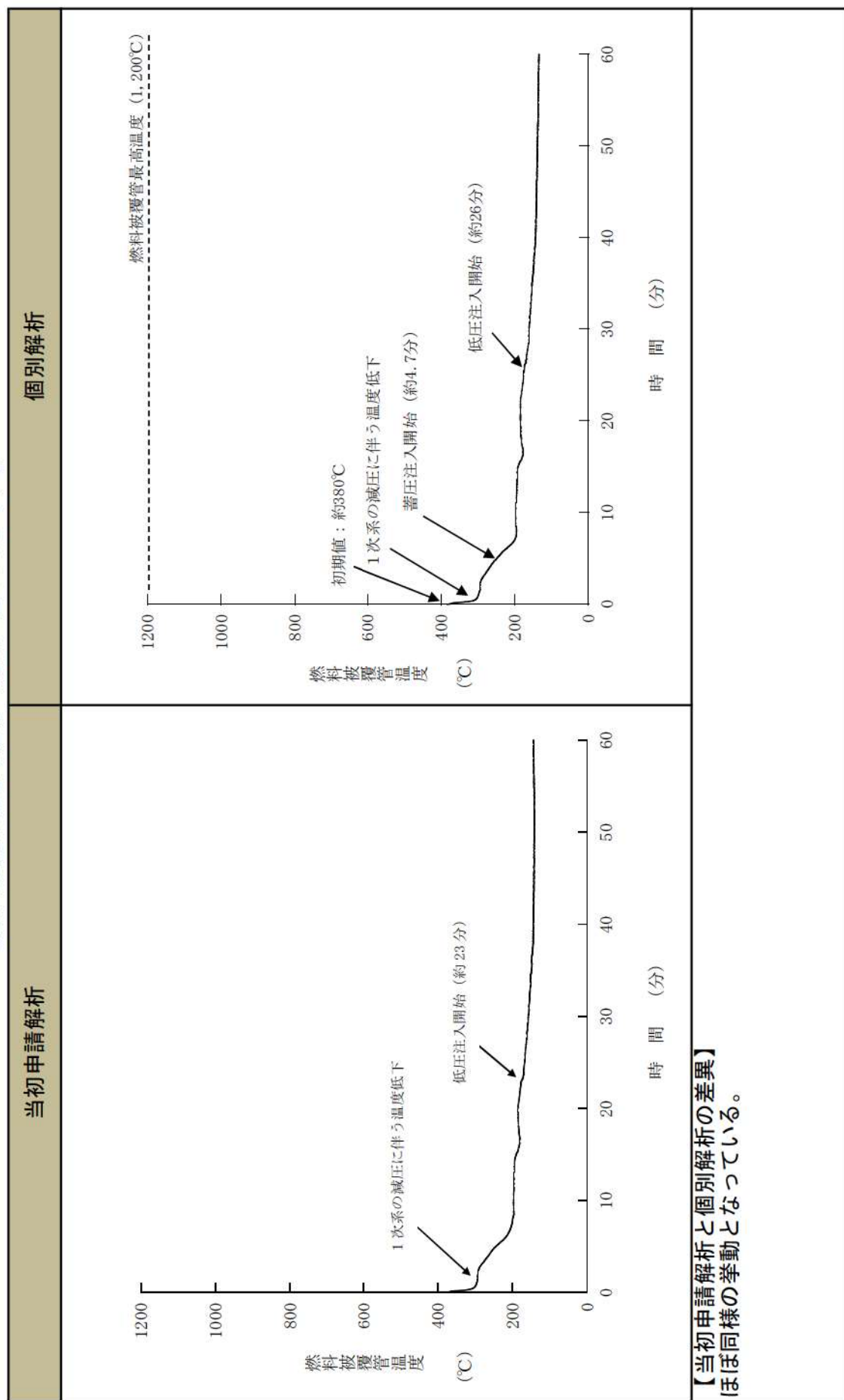
【1次系保有水量の推移（破断口径：6インチ）】



事象進展の比較
(運転中の原子炉における重大事故に至るおそれがある事故)

ECCS注水機能喪失

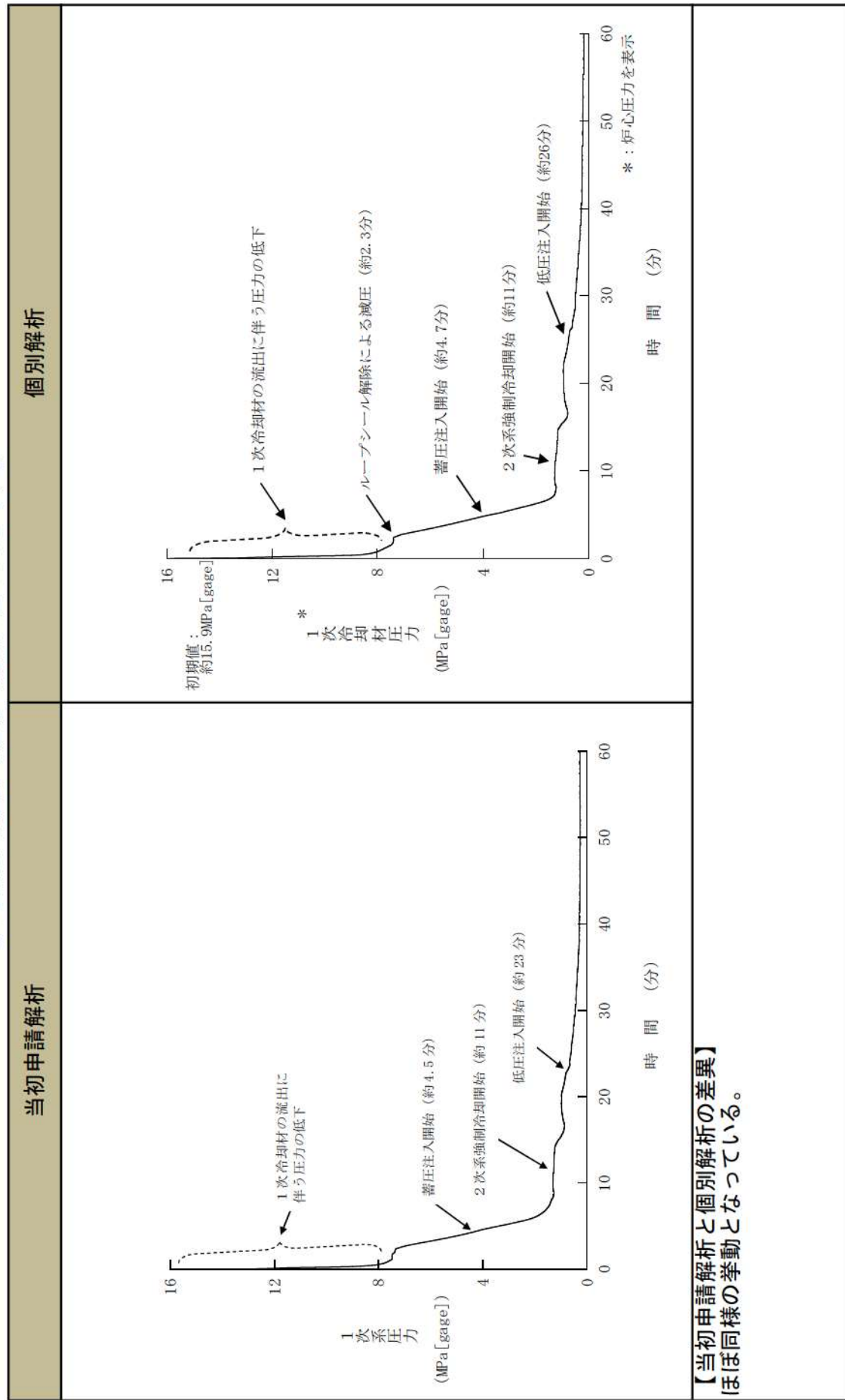
【燃料被覆管温度の推移（破断口径：6インチ）】



ECCS注水機能喪失
 事象進展の比較
 (運転中の原子炉における重大事故に至るおそれがある事故)

ECCS注水機能喪失

【1次冷却材圧力の推移（破断口径：6インチ）】

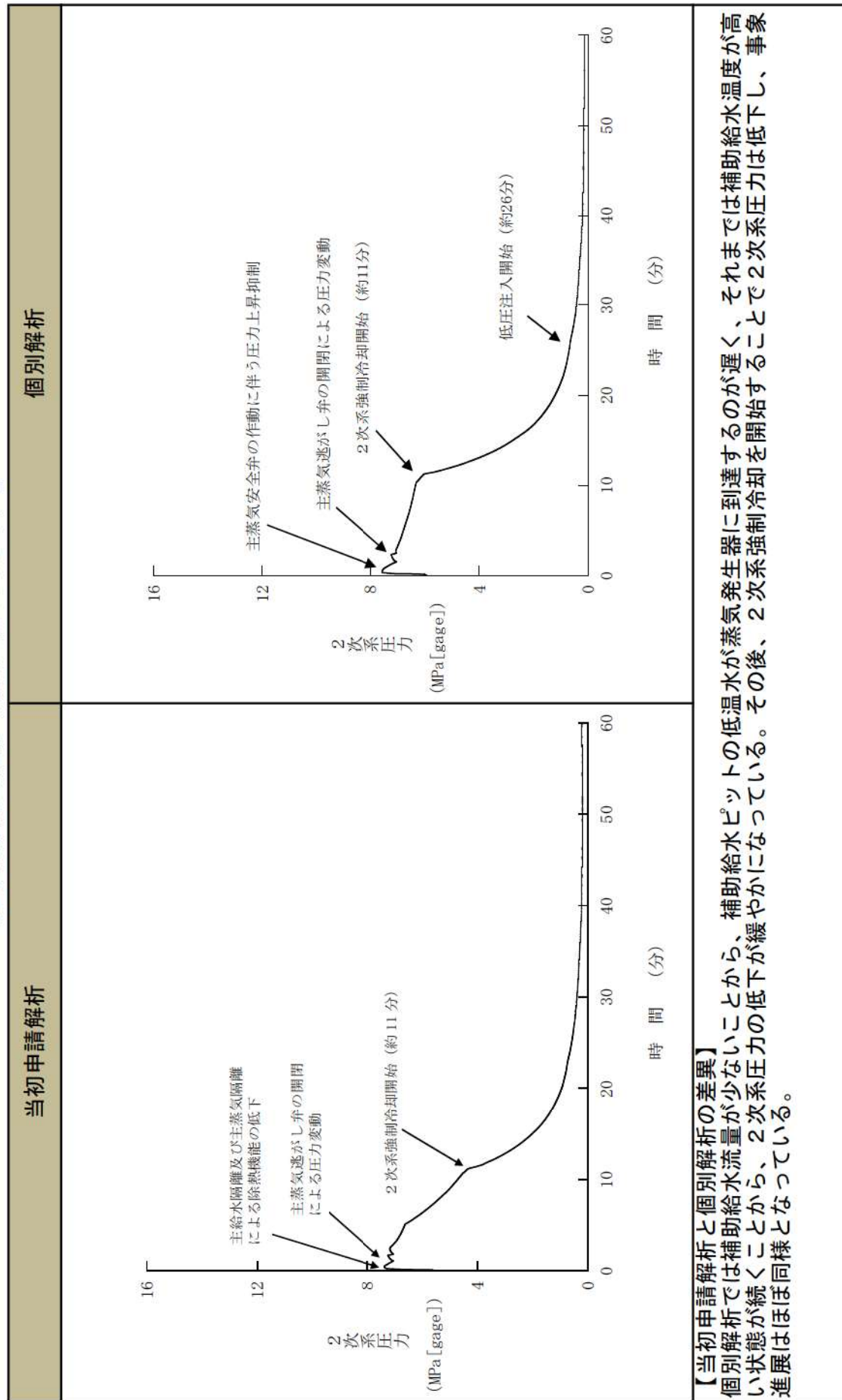


ECCS注水機能喪失
(運転中の原子炉における重大事故に至るおそれがある事故)

別紙2-1 (27/43)

ECCS注水機能喪失

【2次系圧力の推移（破断口径：6インチ）】

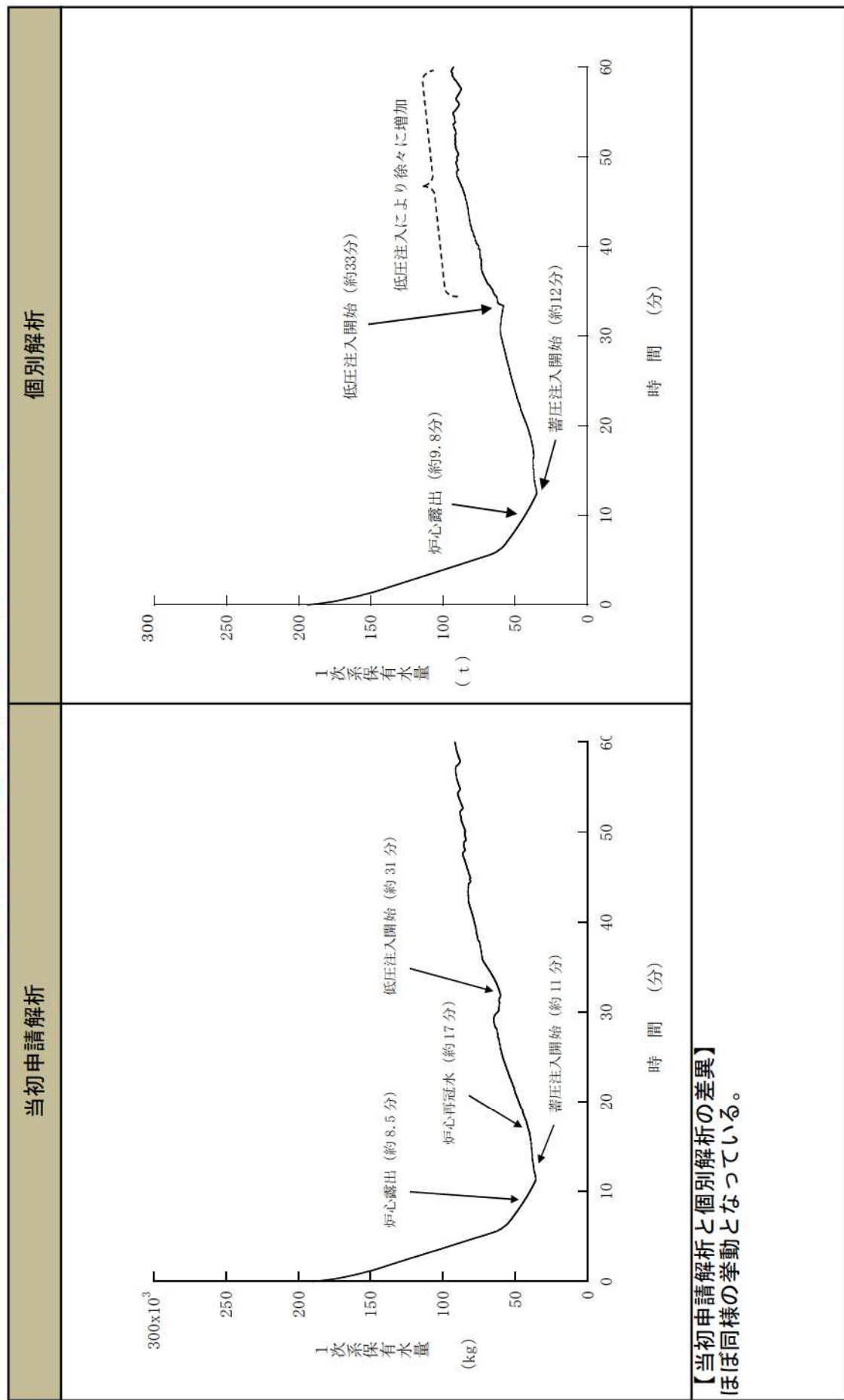


事象進展の比較
(運転中の原子炉における重大事故に至るおそれがある事故)

別紙2-1 (28/43)

ECCS注水機能喪失

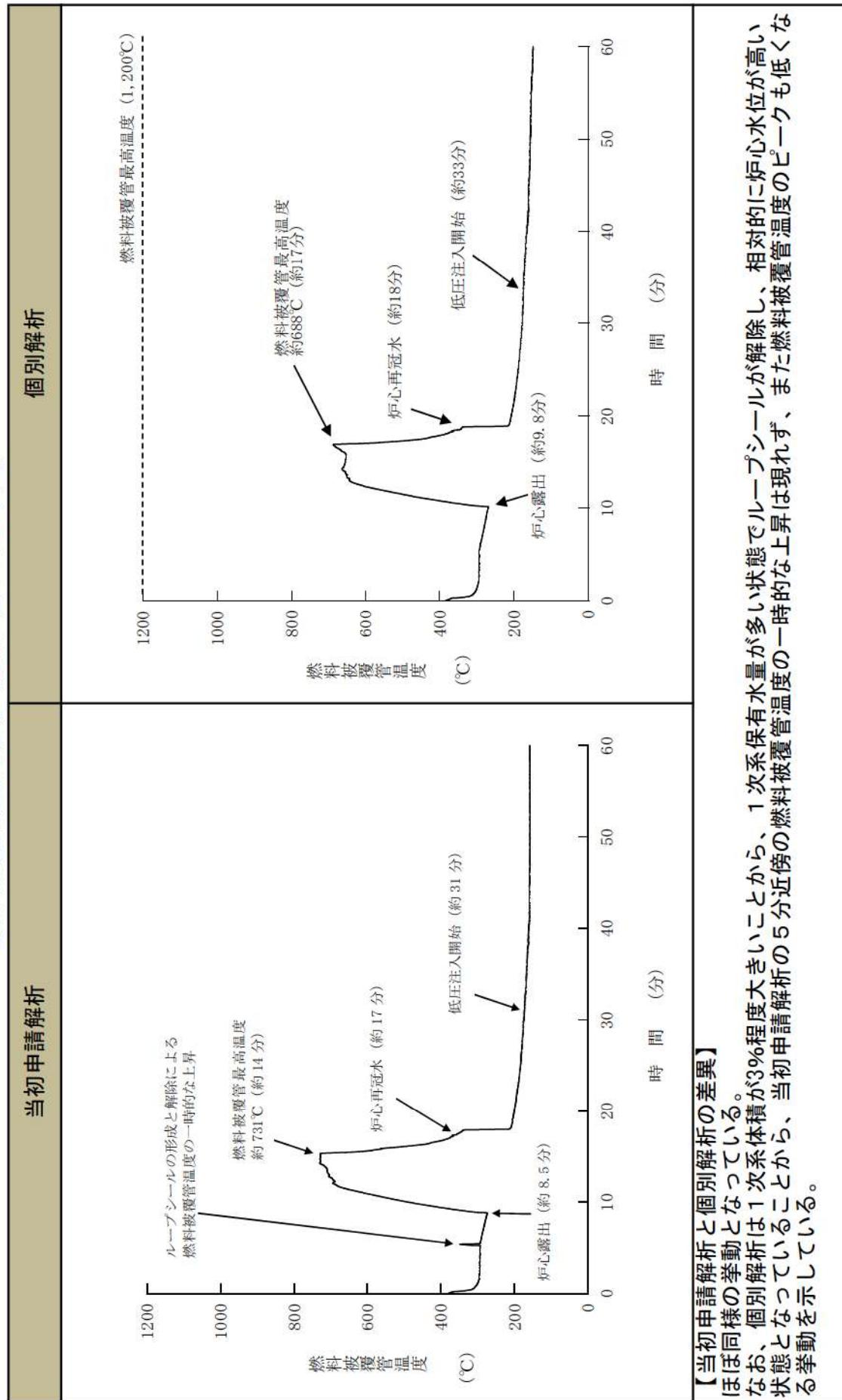
【1次系保有水量の推移（破断口径：4インチ）】



事象進展の比較
(運転中の原子炉における重大事故に至るおそれがある事故)

ECCS注水機能喪失

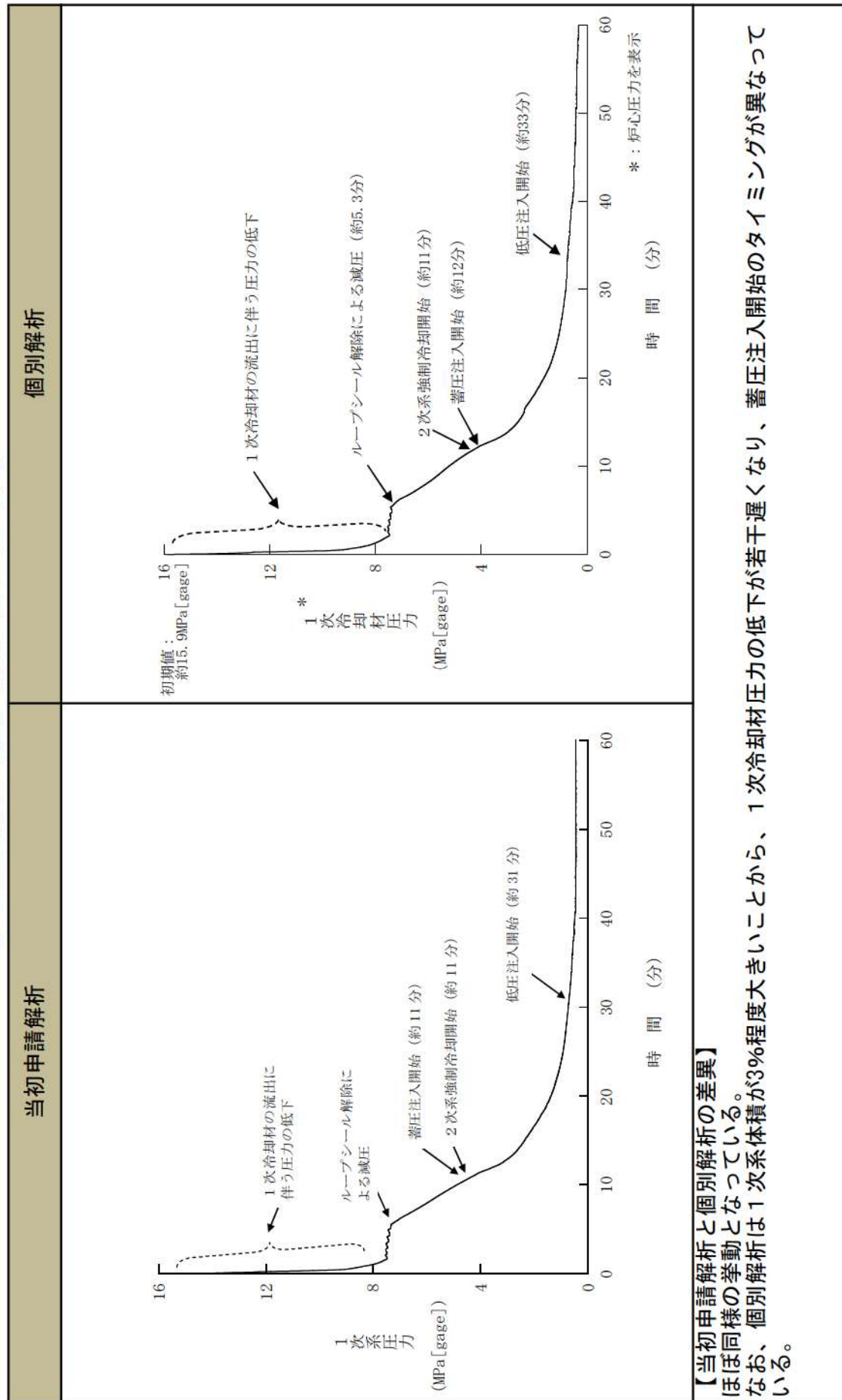
【燃料被覆管温度の推移（破断口径：4インチ）】



事象進展の比較
(運転中の原子炉における重大事故に至るおそれがある事故)

ECCS注水機能喪失

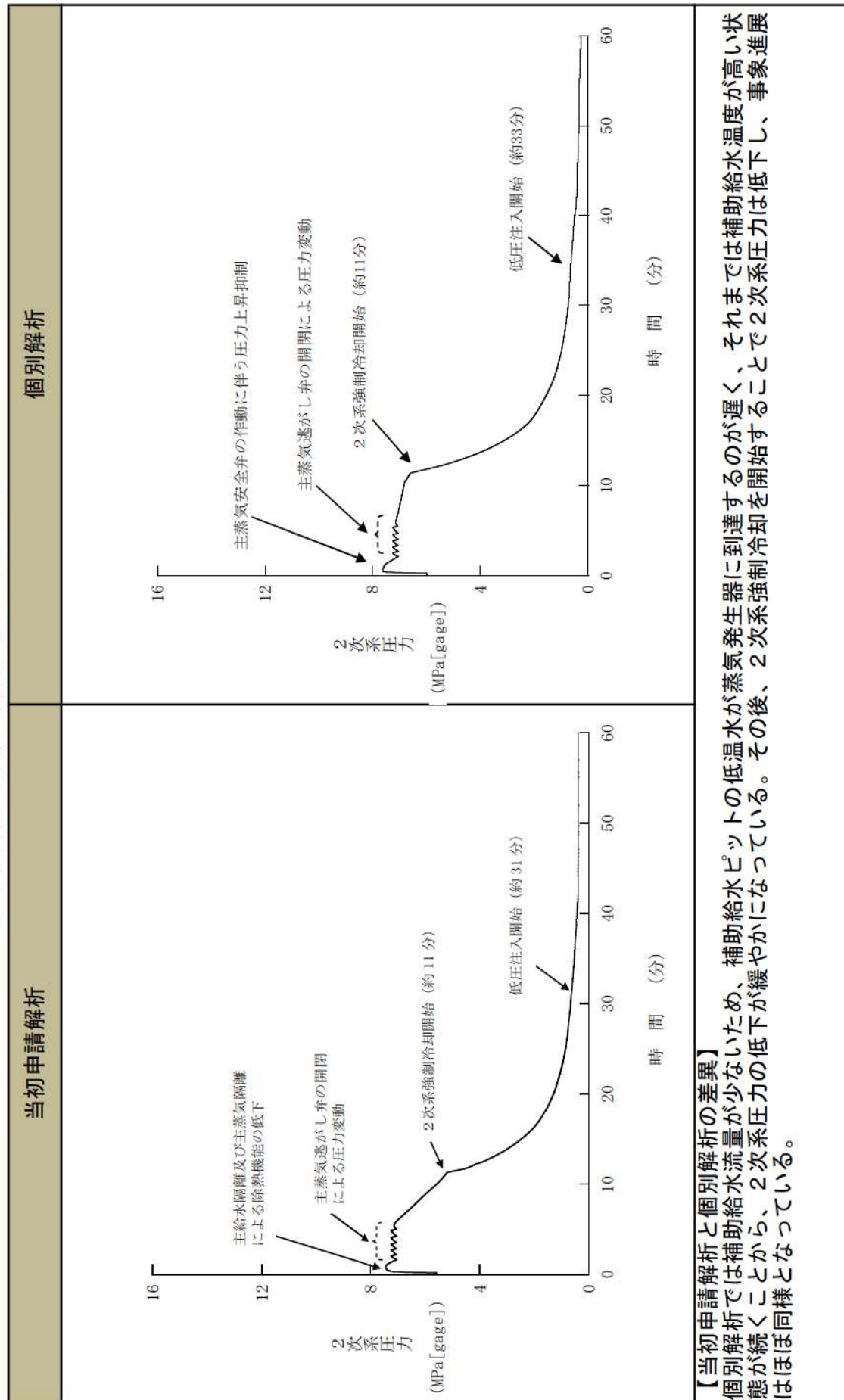
【1次冷却材圧力の推移（破断口径：4インチ）】



ECCS注水機能喪失
(運転中の原子炉における重大事故に至るおそれがある事故)

ECCS注水機能喪失

【2次系圧力の推移（破断口径：4インチ）】

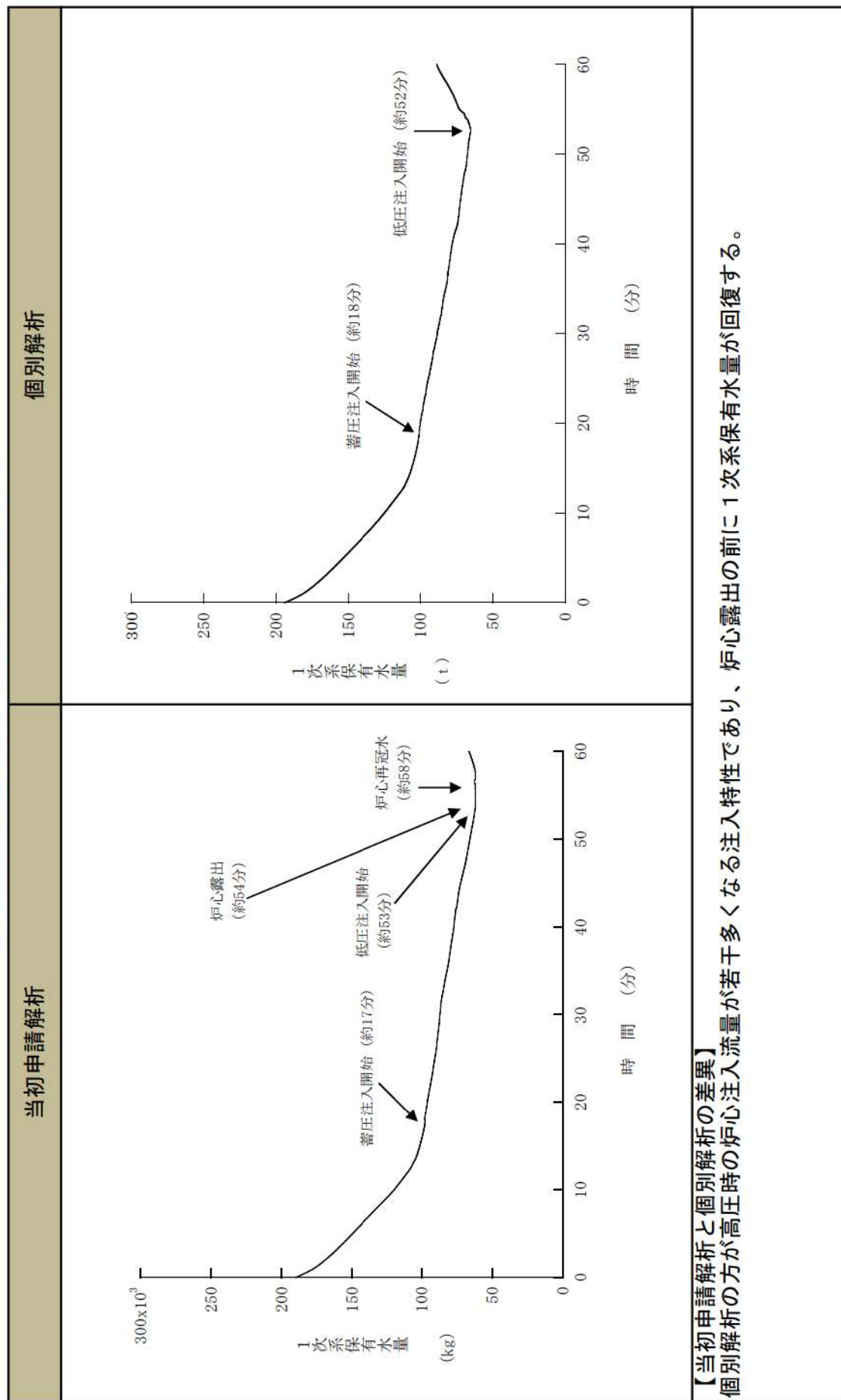


ECCS注水機能喪失
(運転中の原子炉における重大事故に至るおそれがある事故)

別紙2-1 (32/43)

ECCS注水機能喪失

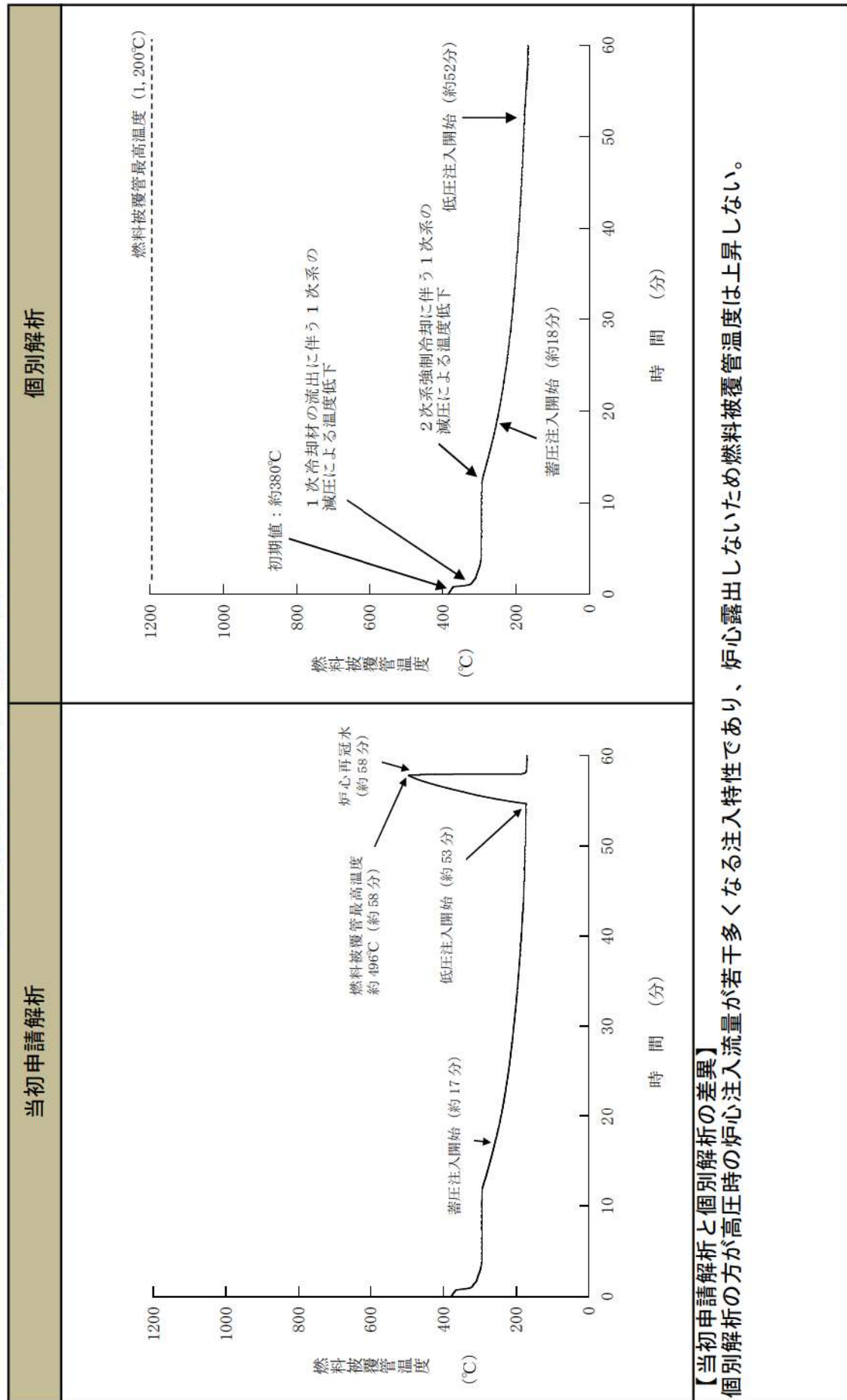
【1次系保有水量の推移（破断口径：2インチ）】



事象進展の比較
(運転中の原子炉における重大事故に至るおそれがある事故)

ECCS注水機能喪失

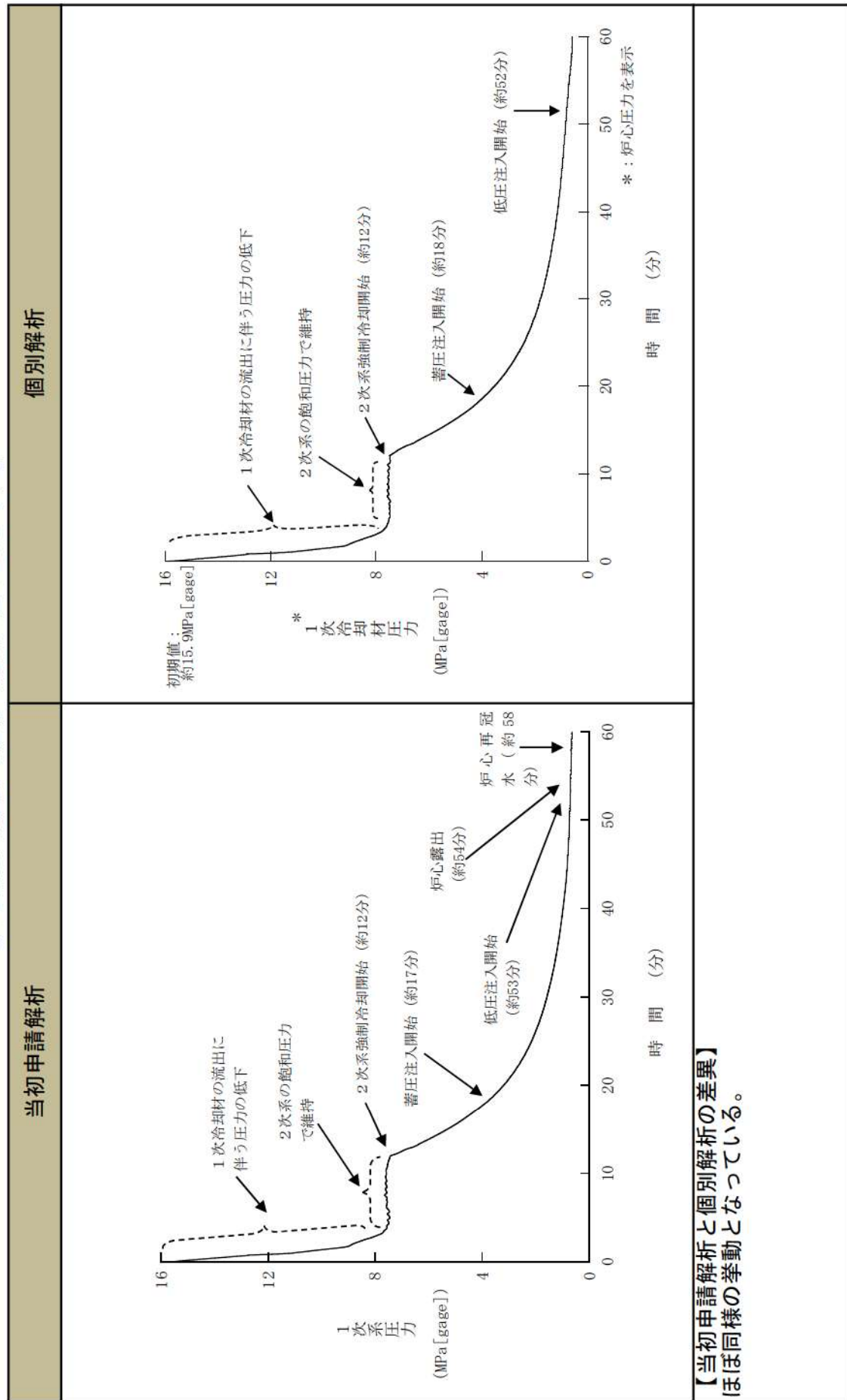
【燃料被覆管温度の推移（破断口径：2インチ）】



ECCS注水機能喪失
 事象進展の比較
 (運転中の原子炉における重大事故に至るおそれがある事故)

ECCS注水機能喪失

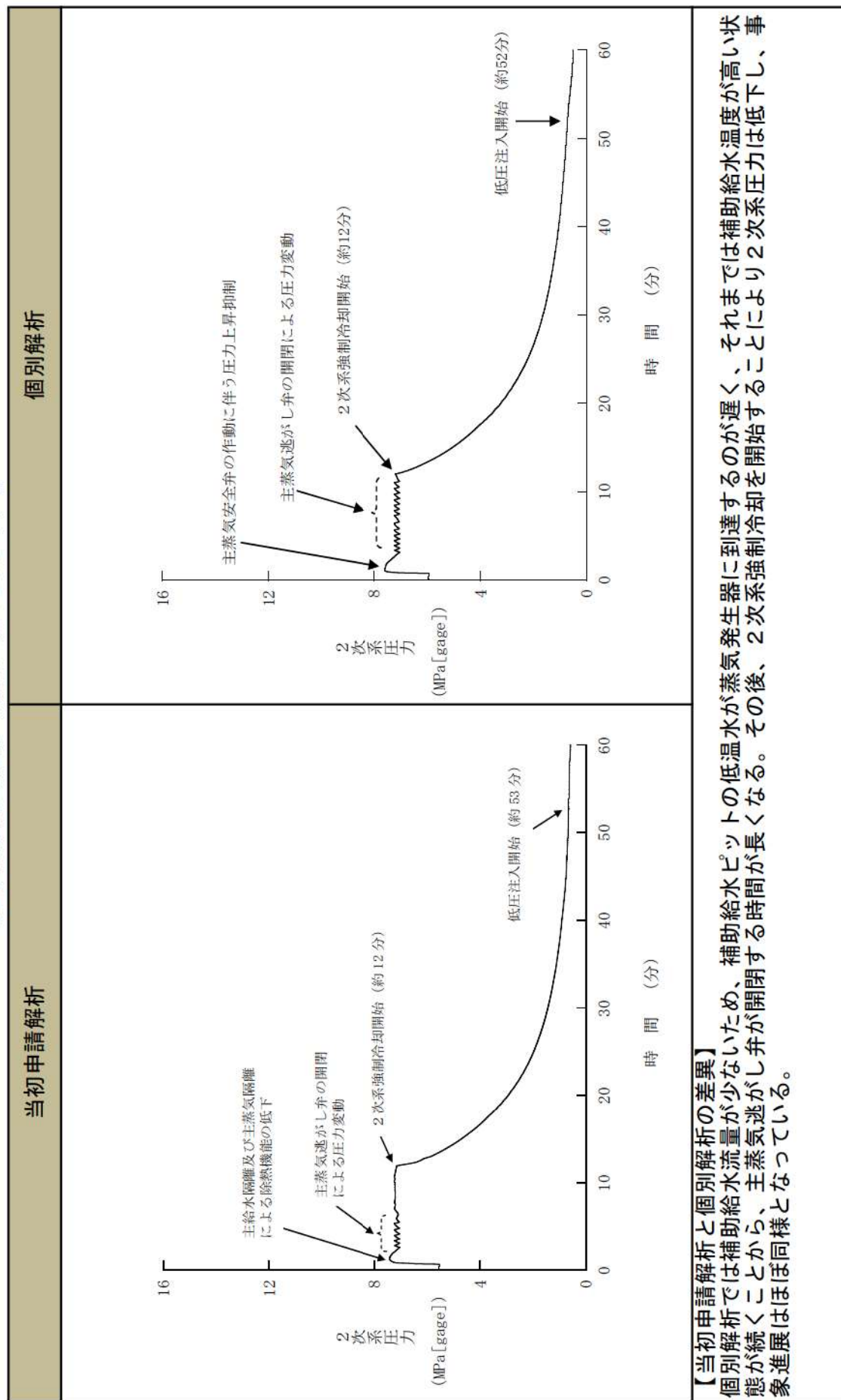
【1次冷却材圧力の推移（破断口径：2インチ）】



事象進展の比較
(運転中の原子炉における重大事故に至るおそれがある事故)

ECCS注水機能喪失

【2次系圧力の推移（破断口径：2インチ）】

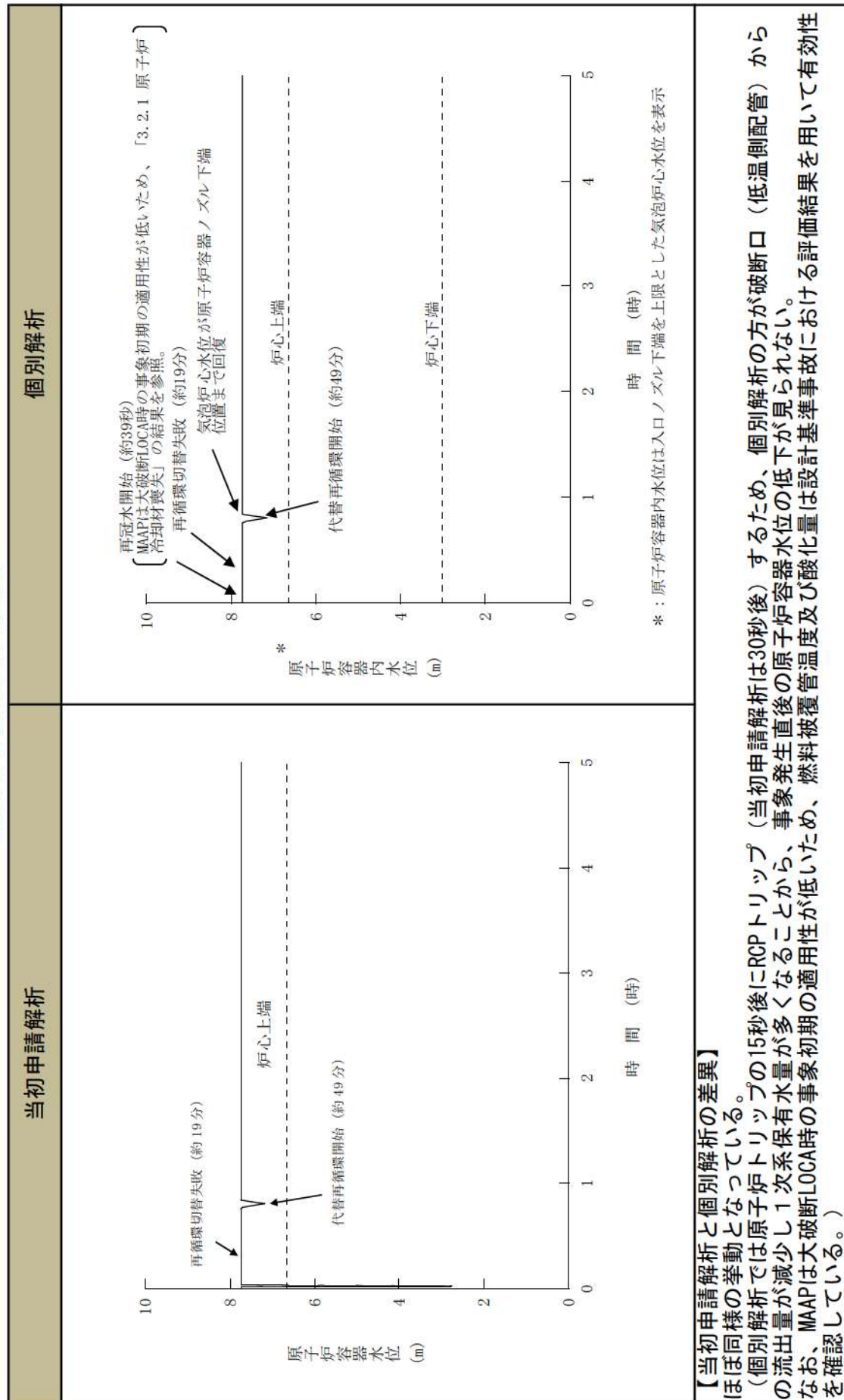


事象進展の比較
(運転中の原子炉における重大事故に至るおそれがある事故)

別紙2-1 (36/43)

ECCS再循環機能喪失

【原子炉容器内水位の推移】



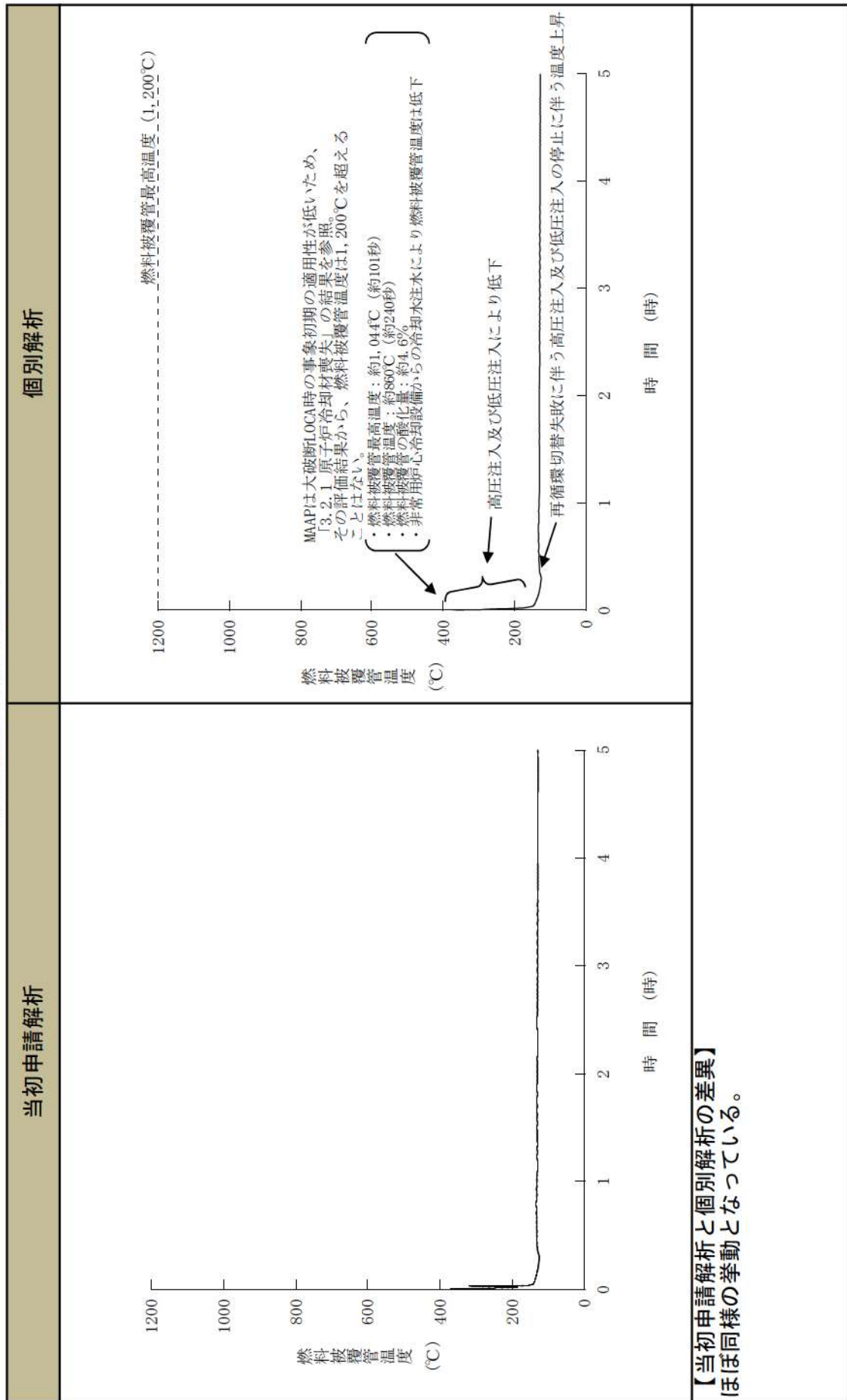
【当初申請解析と個別解析の差異】

ほぼ同様の挙動となつていい。
(個別解析では原子炉トリップの15秒後にRCPトリップ(当初申請解析は30秒後)するため、個別解析の方が破断口(低温側配管)からの流出量が減少し1次系保有水量が多くなることから、事象発生直後の原子炉容器水位の低下が見られない。なお、MAAPは大破壊LOCA時の事象初期の適用性が低いため、燃料被覆管温度及び酸化量は設計基準事故における評価結果を用いて有効性を確認している。)

事象進展の比較
(運転中の原子炉における重大事故に至るおそれがある事故)

ECCS再循環機能喪失

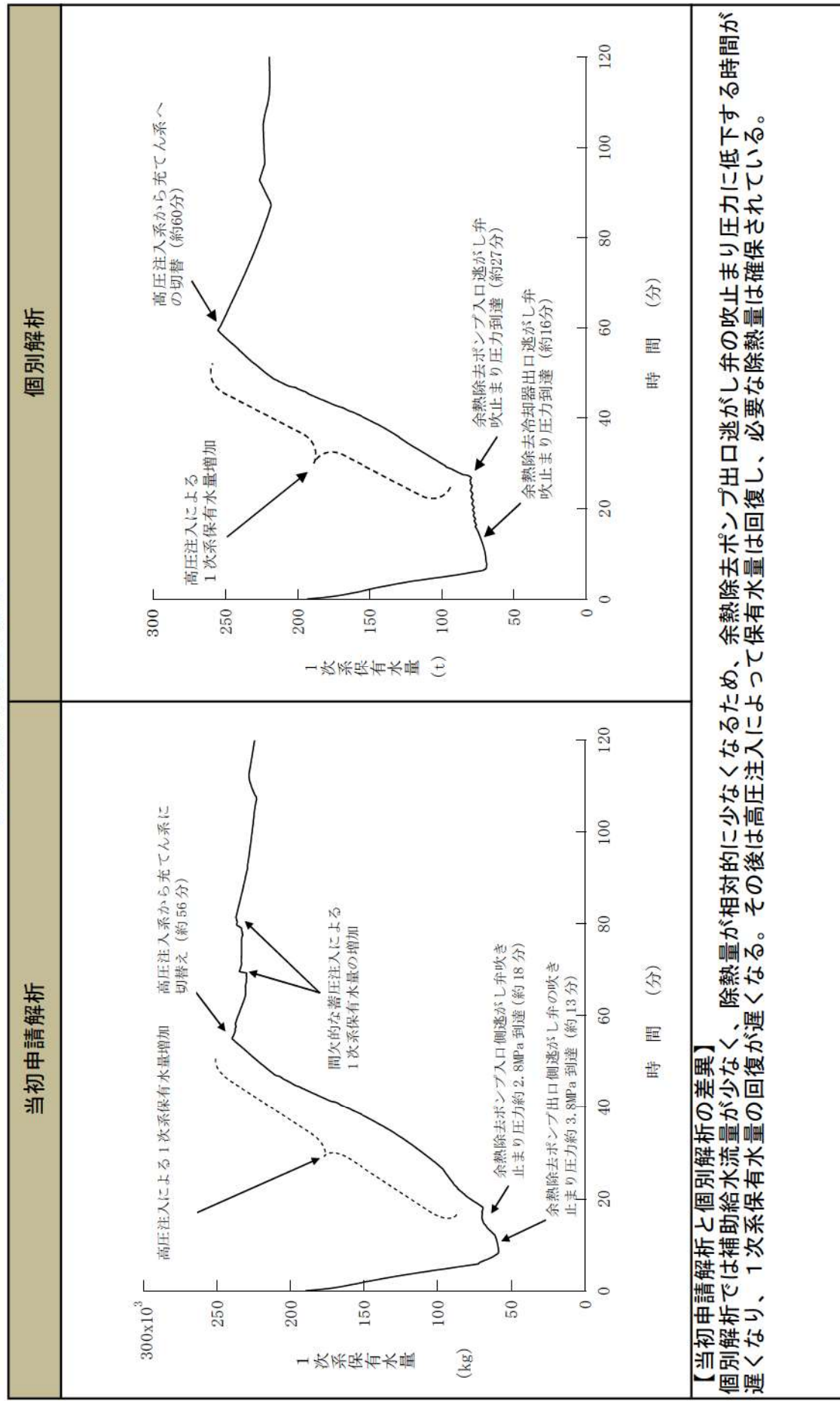
【燃料被覆管温度の推移】



事象進展の比較
(運転中の原子炉における重大事故に至るおそれがある事故)

格納容器バイパス（インターフェイスシステムLOCA）

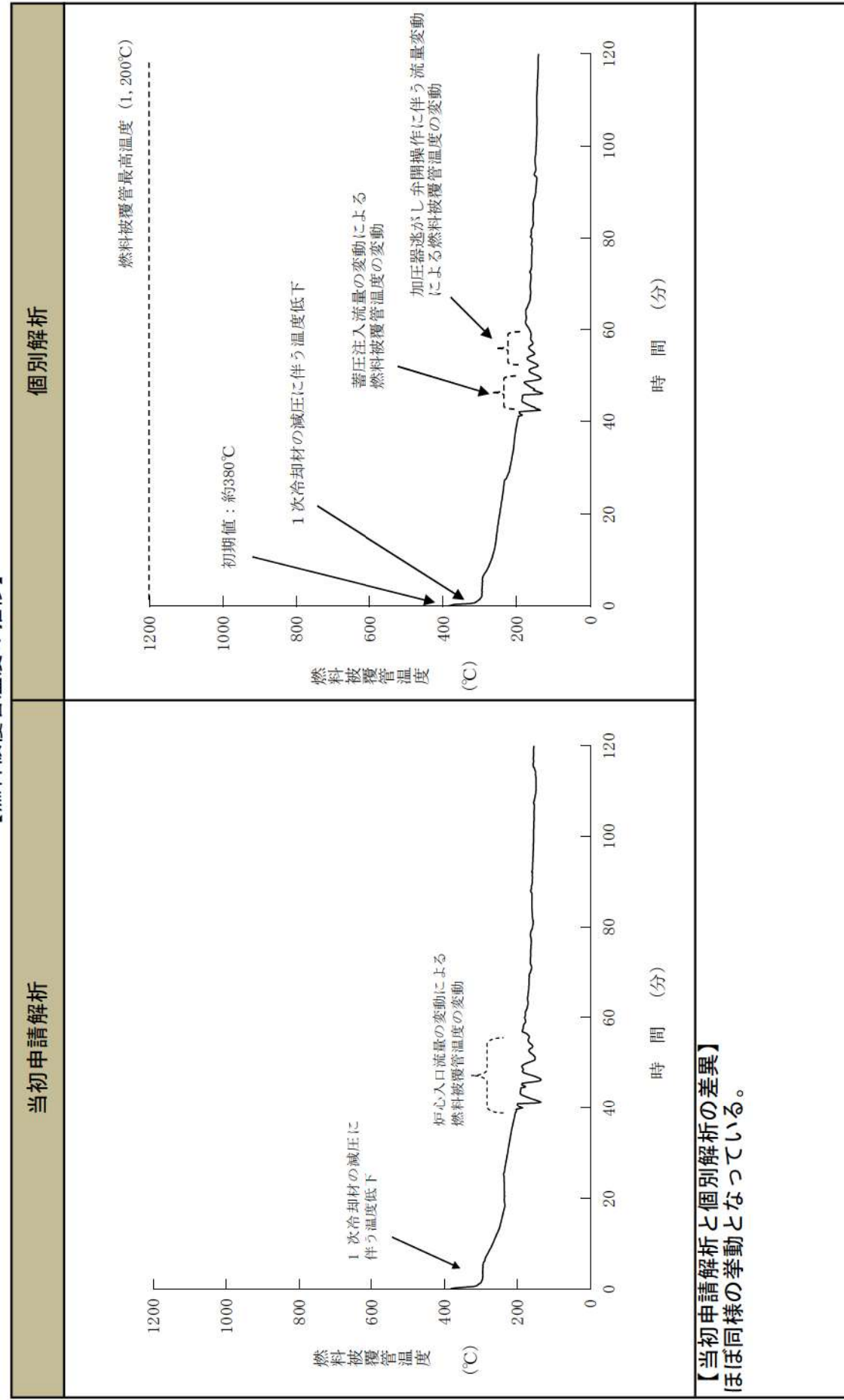
【1次系保有水量の推移】



事象進展の比較
(運転中の原子炉における重大事故に至るおそれがある事故)

格納容器バイパス（インターフェイスシステムLOCA）

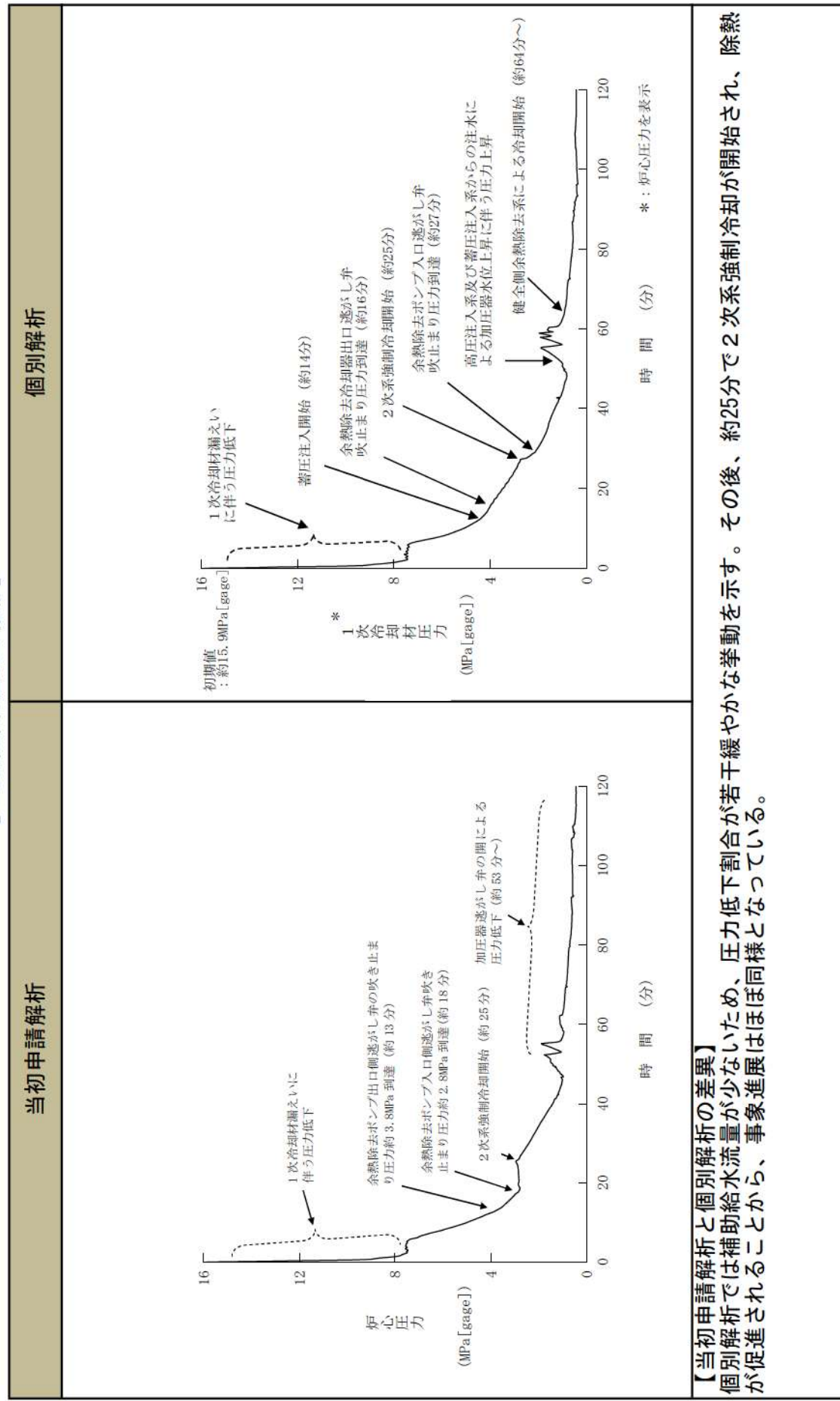
【燃料被覆管温度の推移】



事象進展の比較
(運転中の原子炉における重大事故に至るおそれがある事故)

格納容器バイパス（インターフェイスシステムLOCA）

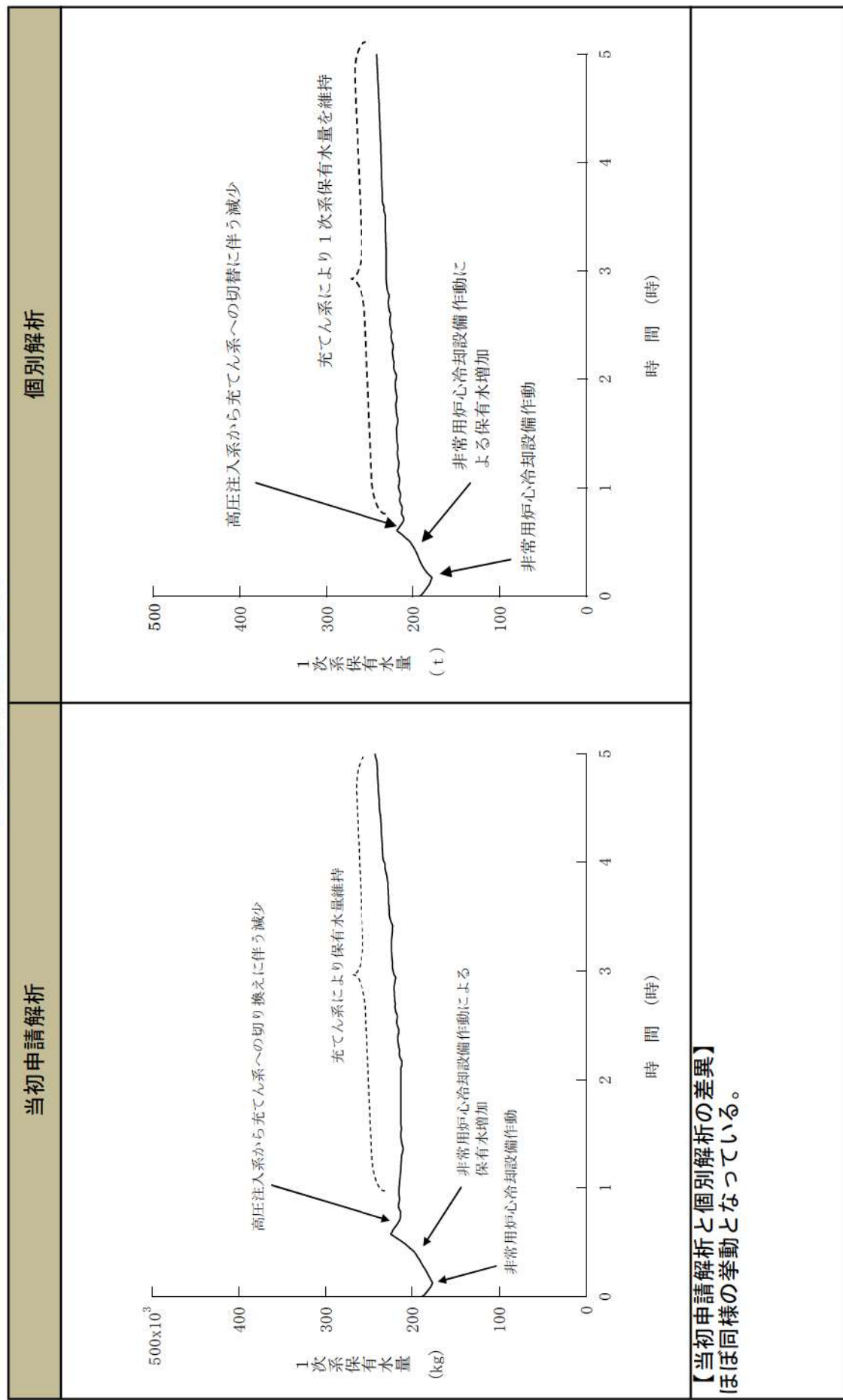
【1次冷却材圧力の推移】



事象進展の比較
(運転中の原子炉における重大事故に至るおそれがある事故)

格納容器バイパス（蒸気発生器伝熱管破損時に破損側蒸気発生器の隔離に失敗する事故）

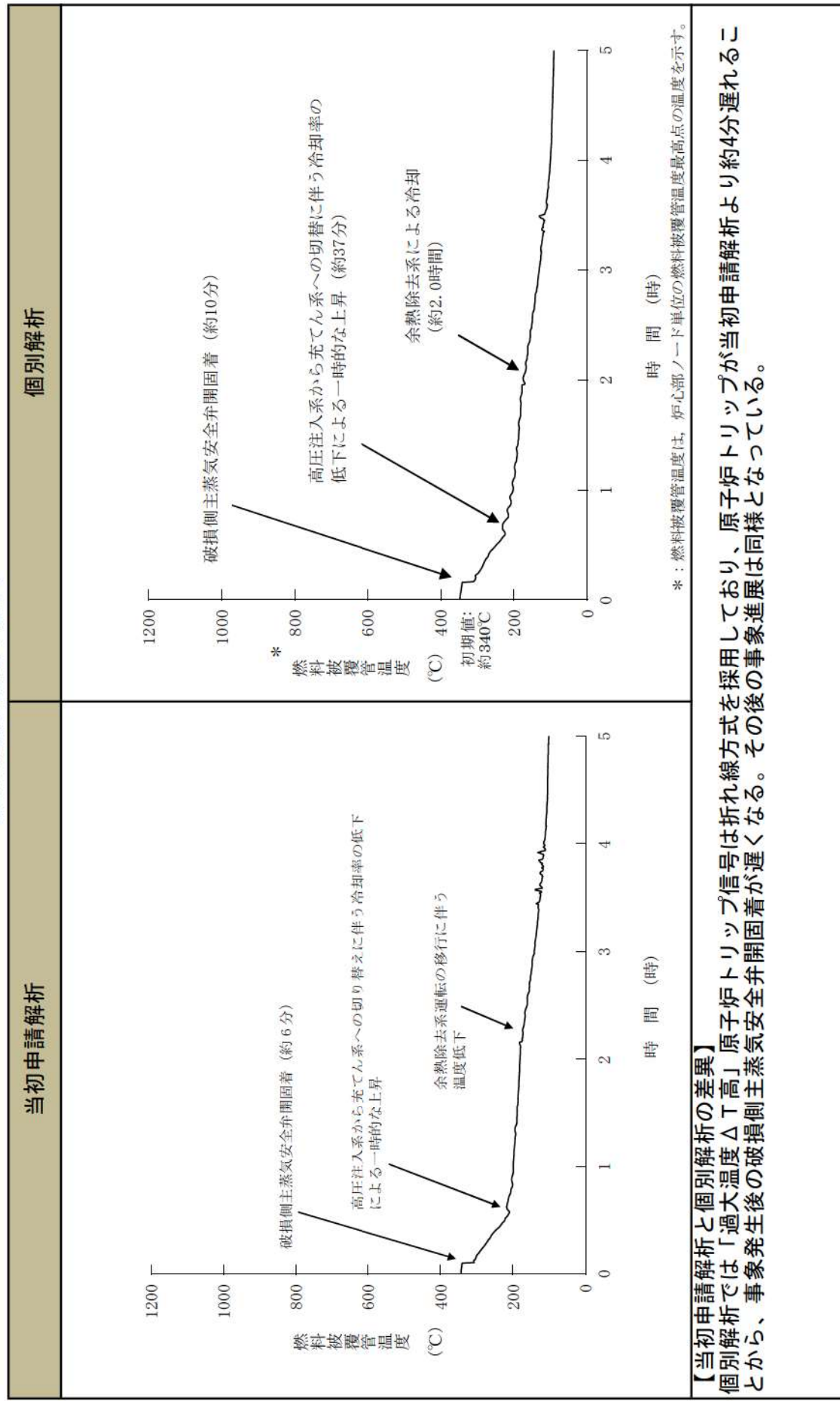
【1次系保有水量の推移】



事象進展の比較
(運転中の原子炉における重大事故に至るおそれがある事故)

格納容器バイパス（蒸気発生器伝熱管破損時に破損側蒸気発生器の隔離に失敗する事故）

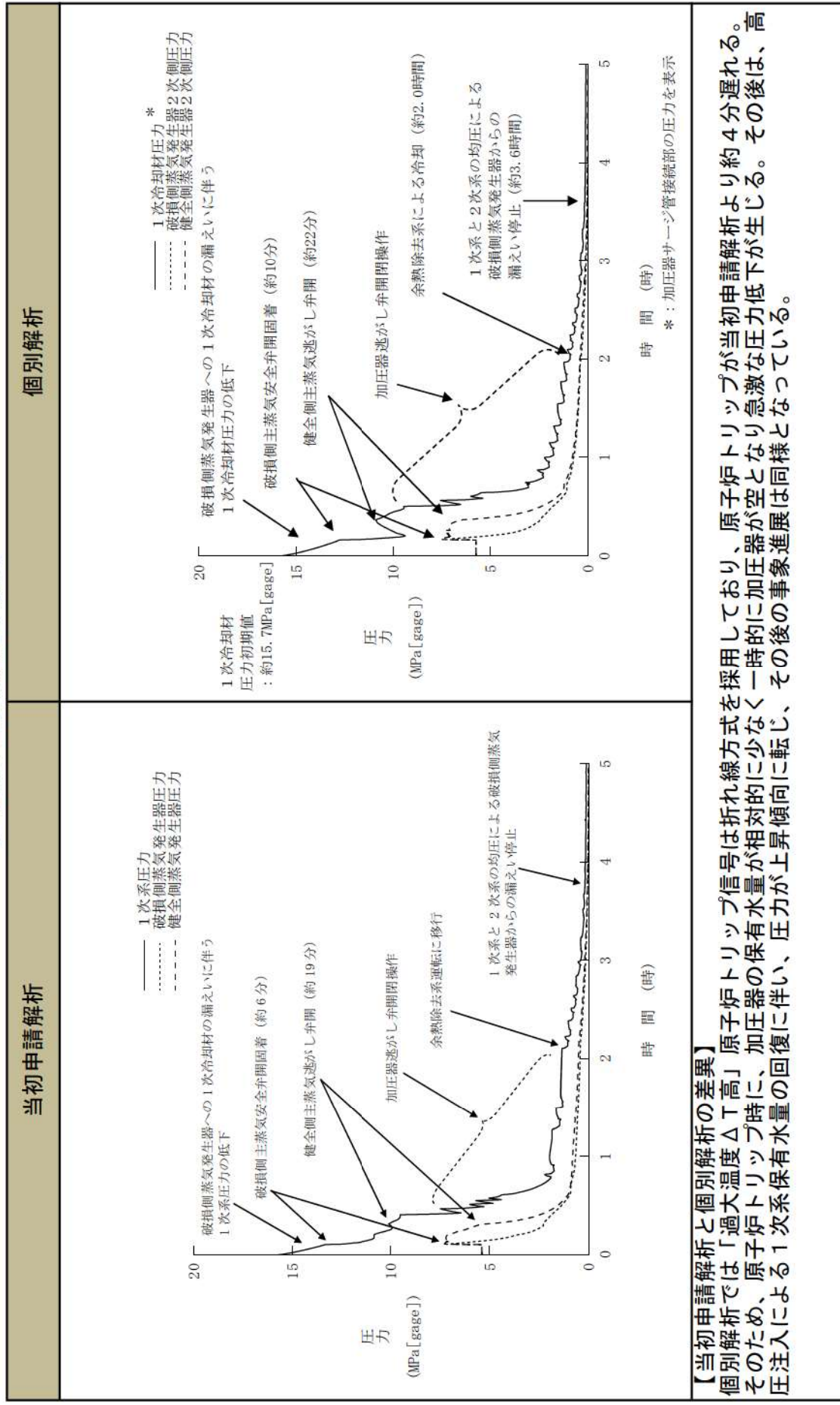
【燃料被覆管温度の推移】



事象進展の比較
(運転中の原子炉における重大事故に至るおそれがある事故)

格納容器バイパス（蒸気発生器伝熱管破損時に破損側蒸気発生器の隔離に失敗する事故）

【1次系、2次系圧力の推移】

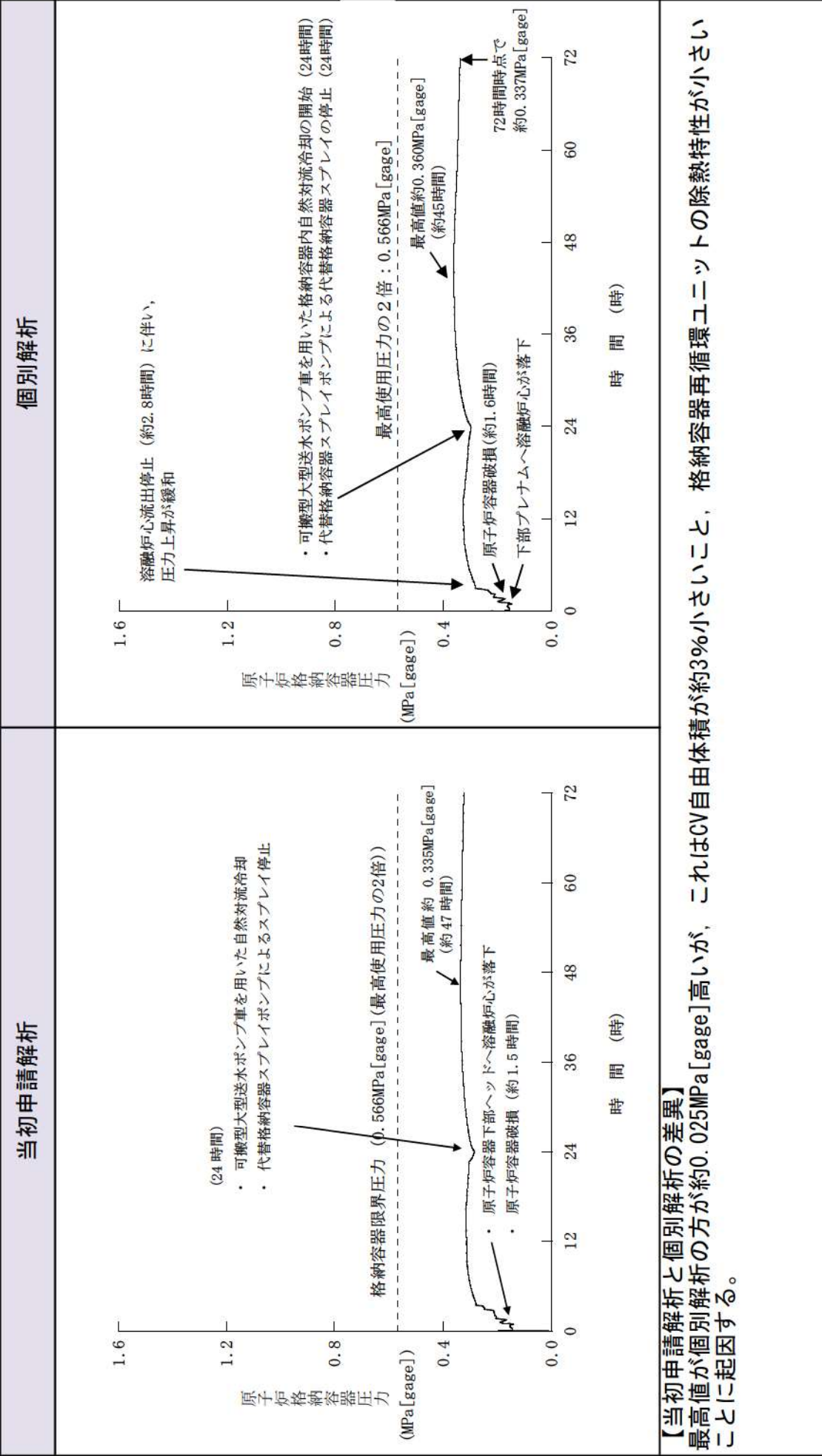


事象進展の比較
(運転中の原子炉における重大事故)

別紙2-2 (1/11)

雰囲気圧力・温度による静的負荷 (格納容器過圧破損)
原子炉圧力容器外の溶融燃料－冷却材相互作用
溶融炉心・コシクリート相互作用

【原子炉格納容器圧力の推移】

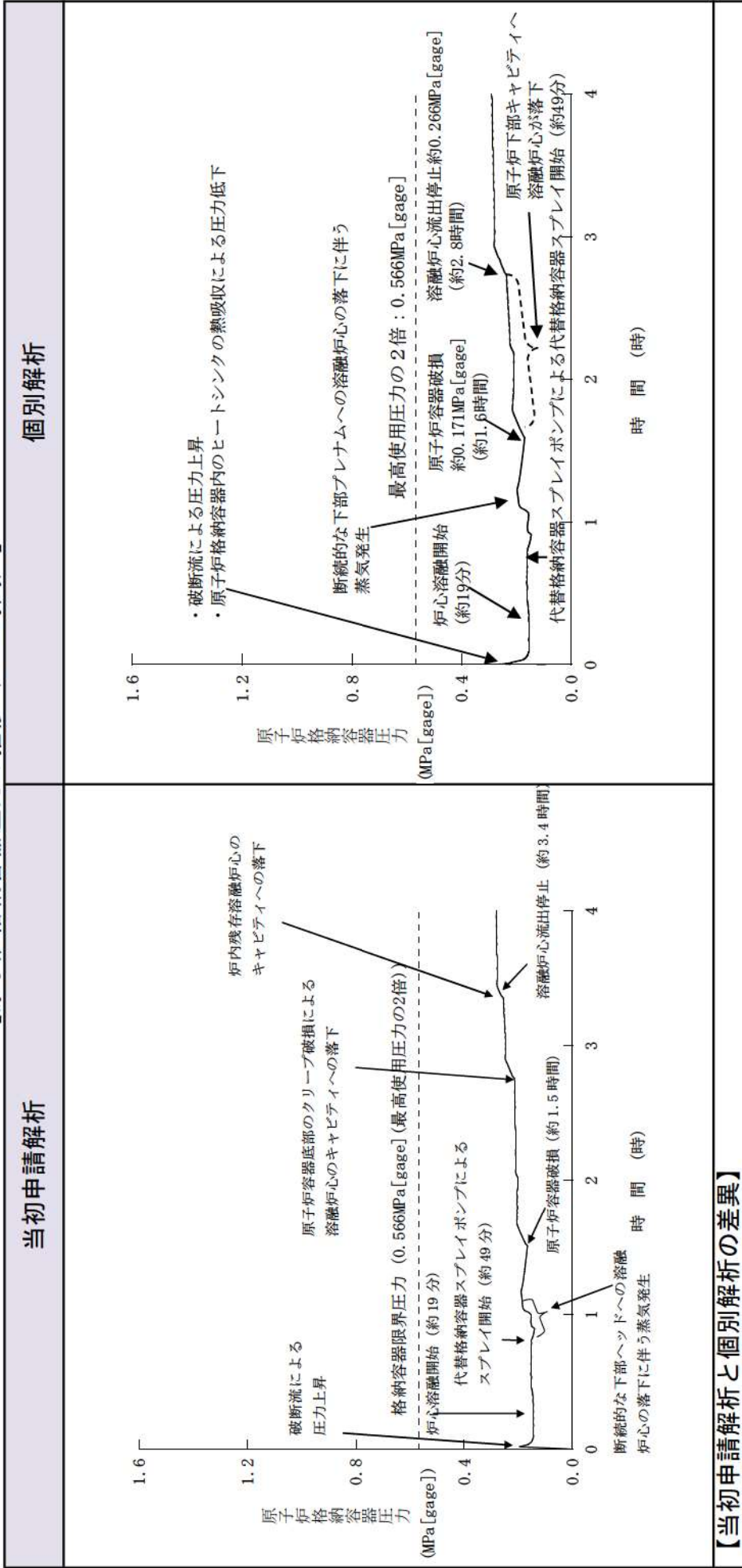


事象進展の比較
(運転中の原子炉における重大事故)

別紙2-2 (2/11)

零圧力・温度による静的負荷 (格納容器過圧破損)
原子炉圧力容器外の溶融燃料－冷却材相互作用
溶融炉心・コンクリート相互作用

【原子炉格納容器圧力の推移 (~4時間)】



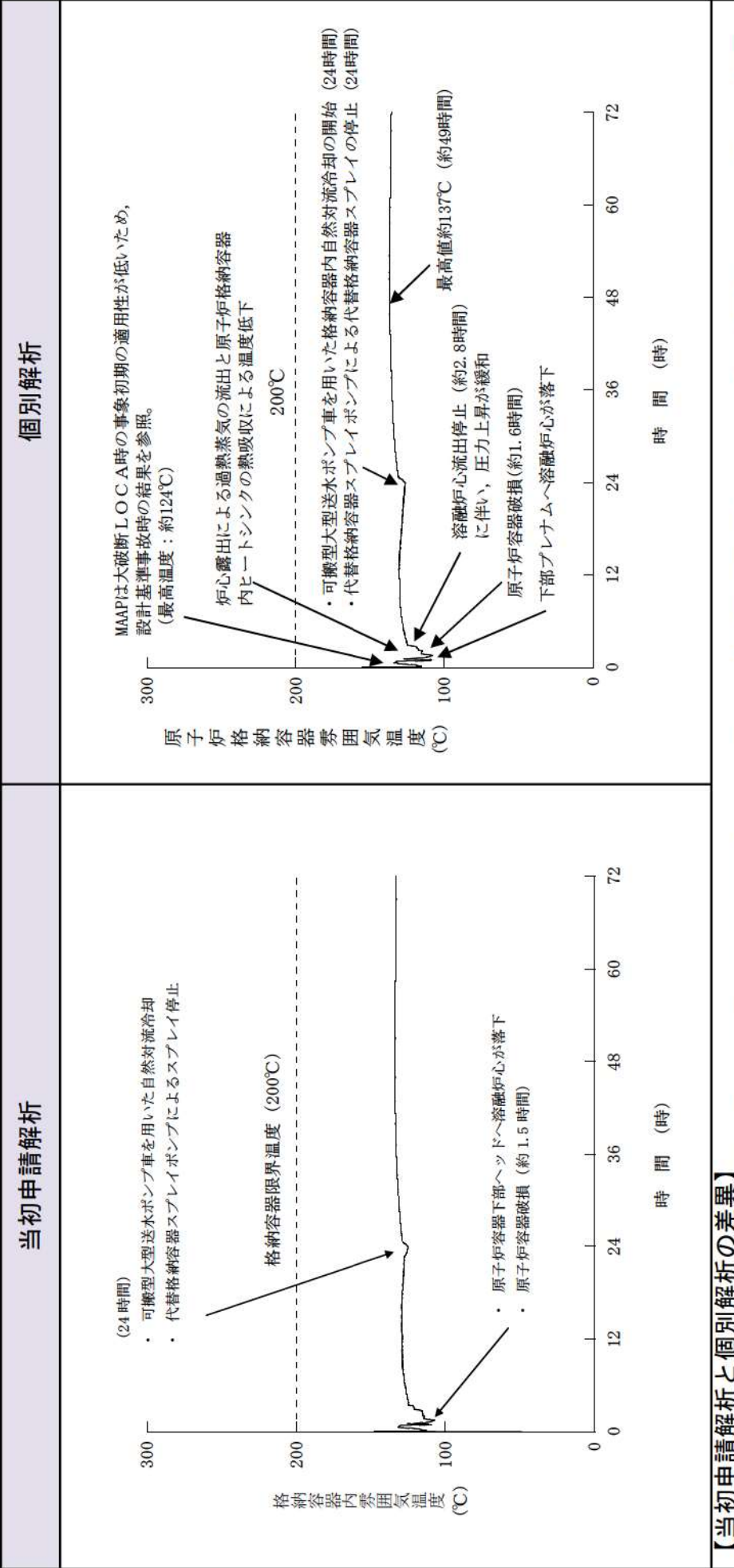
【当初申請解析と個別解析の差異】
(ほぼ同様の挙動となっている。)

事象進展の比較
(運転中の原子炉における重大事故)

別紙2-2 (3/11)

雰囲気圧力・温度による静的負荷 (格納容器過圧破損)
原子炉圧力容器外の溶融燃料-冷却材相互作用
溶融炉心・コンクリート相互作用

【原子炉格納容器内雰囲気温度の推移】

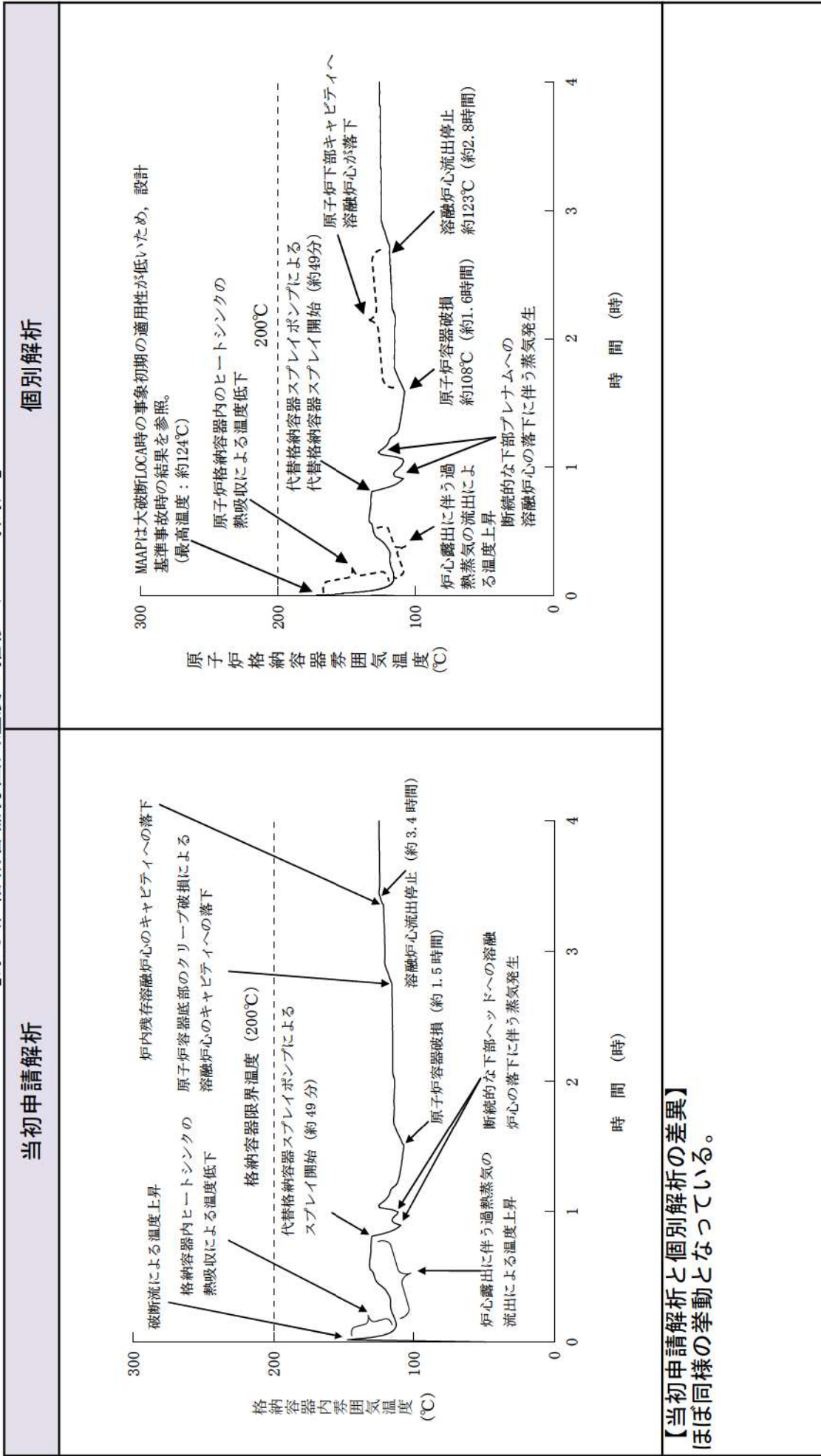


【当初申請解析と個別解析の差異】
最高値が個別解析の方が約4°C高いが、これはCV自由体積が約3%小さいこと、格納容器再循環ユニットの除熱特性が小さいことに起因する。

事象進展の比較
(運転中の原子炉における重大事故)

雰囲気圧力・温度による静的負荷 (格納容器過圧破損)
原子炉圧力容器外の溶融燃料－冷却材相互作用
溶融炉心・コンクリート相互作用

【原子炉格納容器雰囲気温度の推移 (~4時間)】



事象進展の比較
(運転中の原子炉における重大事故)

雰囲気圧力・温度による静的負荷 (格納容器過圧破損)
原子炉圧力容器外の溶融燃料－冷却材相互作用
溶融炉心・コンクリート相互作用

【ベースマット侵食深さの推移】

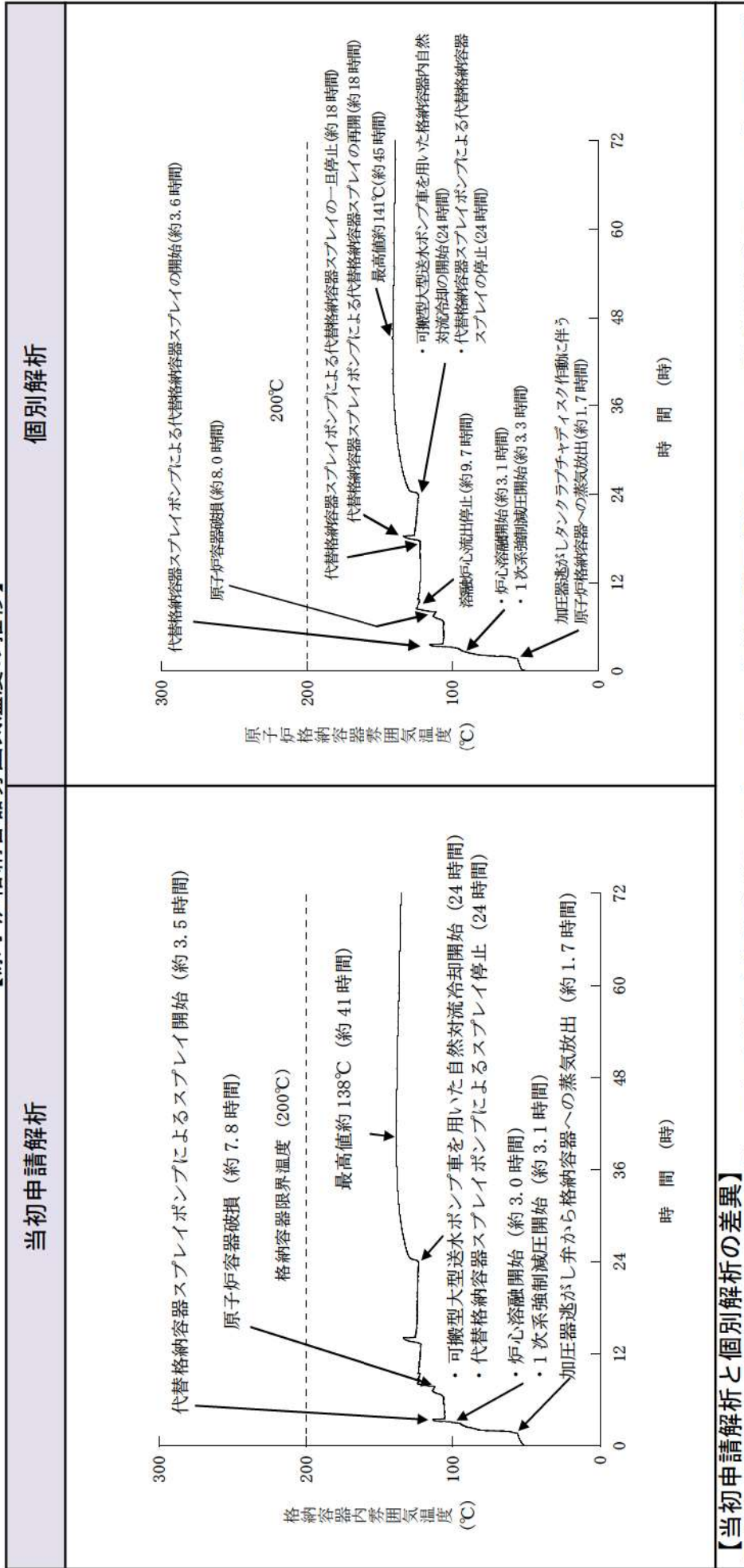
| 当初申請解析 | 個別解析 |
|---|--|
| <p>ベースマット侵食深さ (m)</p> <p>時 間 (時)</p> <p>有意な侵食は発生しない</p> | <p>ベースマット侵食深さ (m)</p> <p>時 間 (時)</p> <p>侵食なし</p> |

【当初申請解析と個別解析の差異】
(ほぼ同様の挙動となっている。)

事象進展の比較
(運転中の原子炉における重大事故)

雰囲気圧力・温度による静的負荷（格納容器過温破損）
高圧溶融物放出／格納容器零圧直接加熱

【原子炉格納容器零圧温度の推移】

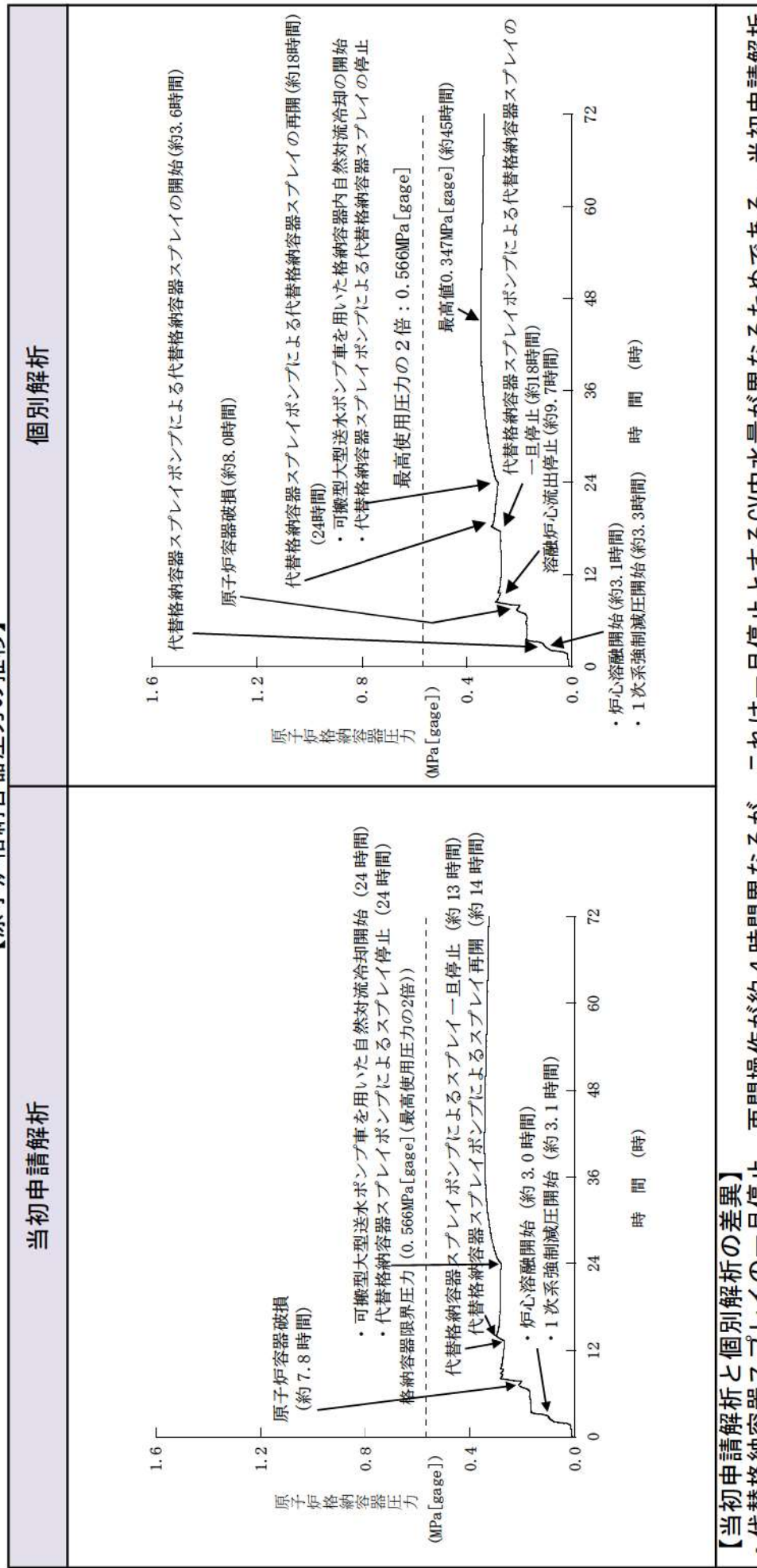


【当初申請解析と個別解析の差異】
最高値が個別解析の方が約3°C高いが、これはCV自由体積が約3%小さいこと、格納容器再循環ユニットの除熱特性が小さいことに起因する。

事象進展の比較
(運転中の原子炉における重大事故)

雰囲気圧力・温度による静的負荷（格納容器過温破損）
高圧溶融物放出／格納容器零圧直接加熱

【原子炉格納容器】



【当初申請解析と個別解析の差異】

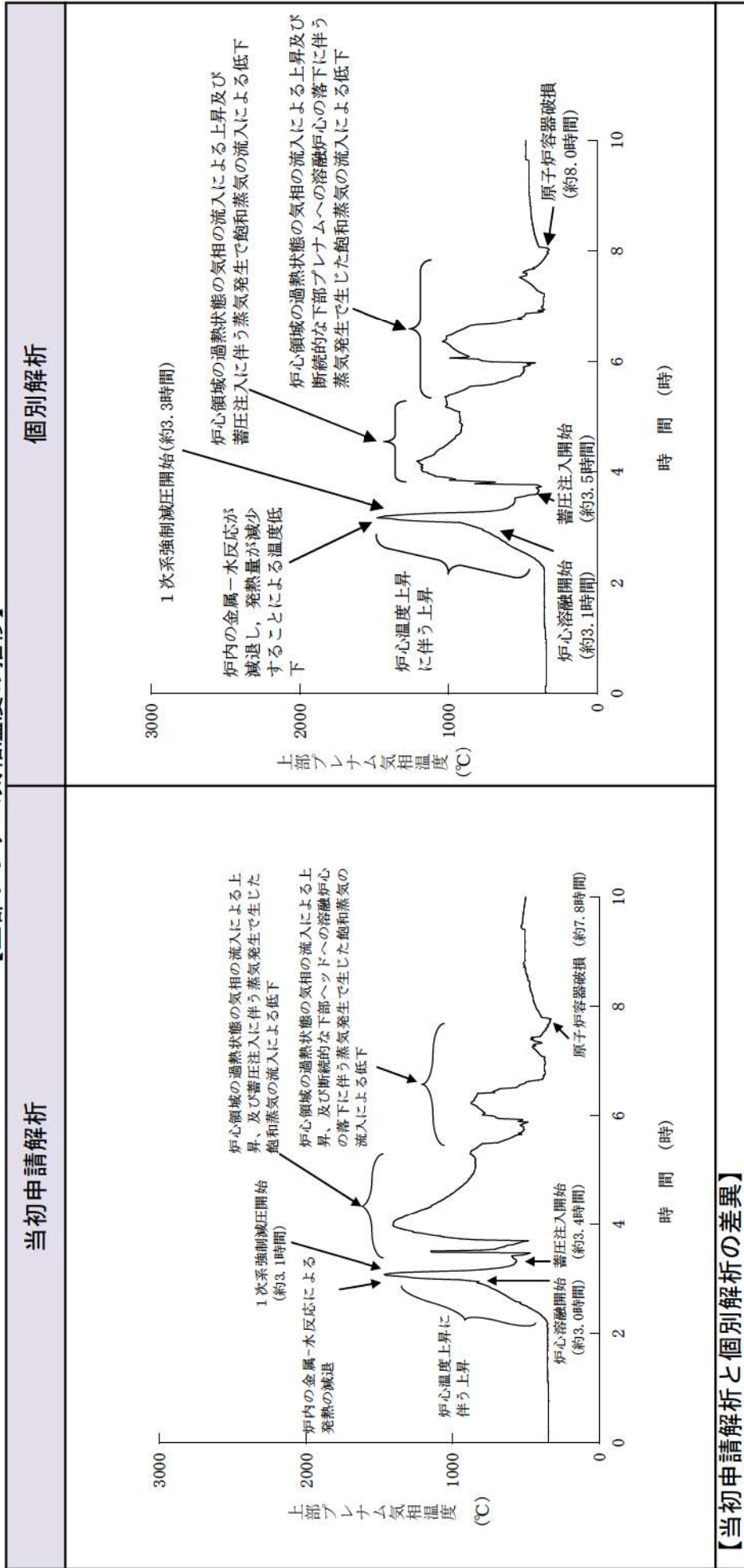
- 代替格納容器スプレイの一時停止、再開操作が約4時間異なるが、これは一旦停止とするCV内水量が異なるためである。当初申請解析では $1,700\text{m}^3$ 、個別解析では $2,270\text{m}^3$ で同一であるため、 $570\text{m}^3 \div 140\text{m}^3/\text{h} = 4.07$ 時間が運転停止時間の差となっている。再開操作は最高使用圧力を到達から30分後に再開するが、どちらも同等である。
- 最高値が個別解析の方が約0.002 MPa[gage]高いが、これはCV自由体積が約3%小さいこと、格納容器再循環ユニットの除熱特性が小さいことに起因する。

事象進展の比較
(運転中の原子炉における重大事故)

別紙2-2 (8/11)

雰囲気圧力・温度による静的負荷（格納容器過温破損）
高圧溶融物放出／格納容器零圧直接加熱

【上部プレナム気相温度の推移】



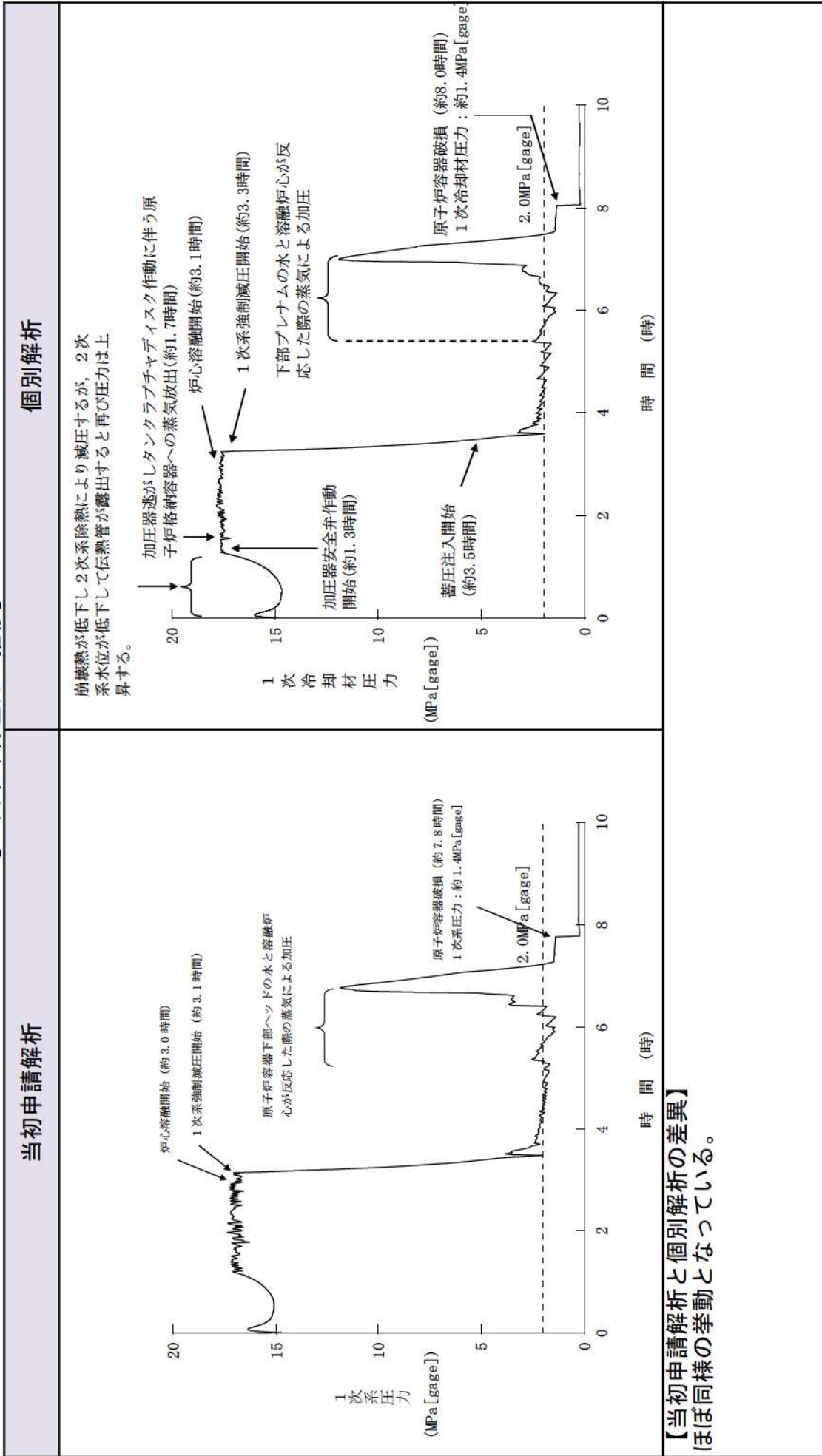
【当初申請解析と個別解析の差異】
(ほぼ同様の挙動となつてている。)

事象進展の比較
(運転中の原子炉における重大事故)

別紙2-2 (9/11)

雰囲気圧力・温度による静的負荷(格納容器過温破損)
高圧溶融物放出／格納容器零圧気直接加熱

【1次冷却材圧力の推移】



【当初申請解析と個別解析の差異】
ほぼ同様の挙動となっている。

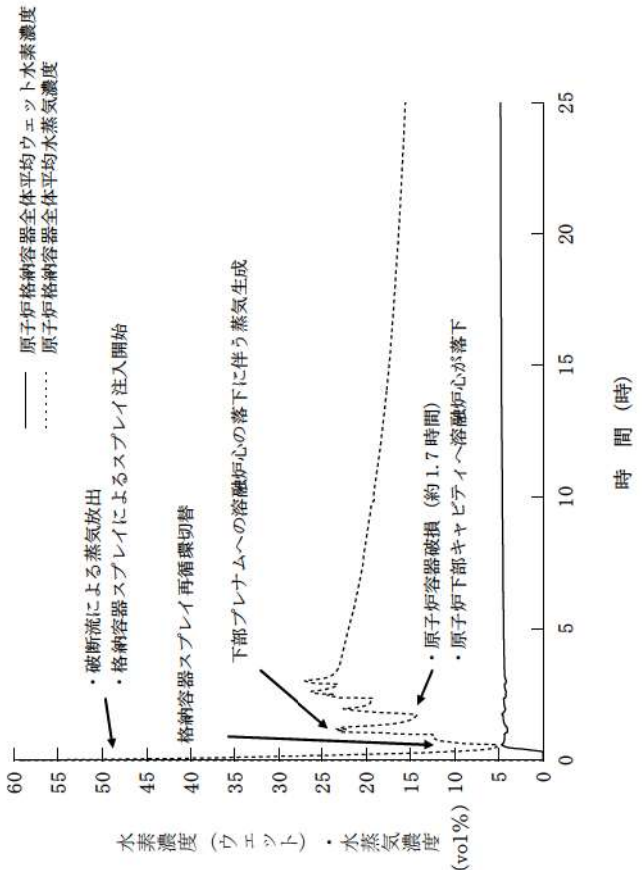
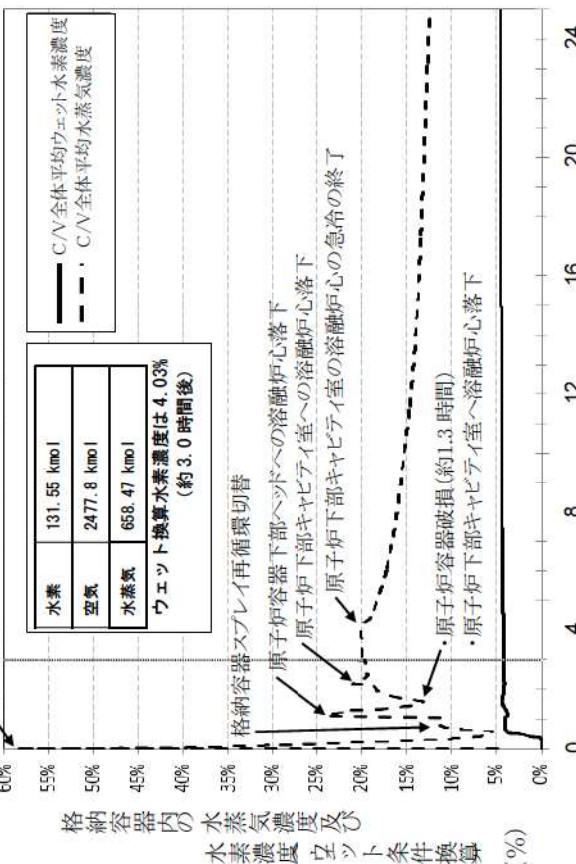
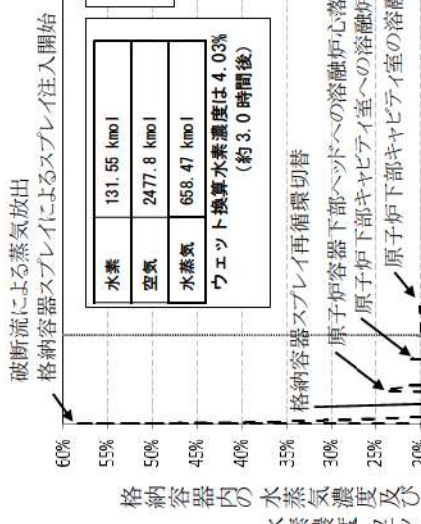
事象進展の比較
(運転中の原子炉における重大事故)

別紙2-2 (10/11)

水素燃焼

【原子炉格納容器内の水素濃度（ウェット）・水蒸気濃度の推移（MAAP）】

当初申請解析



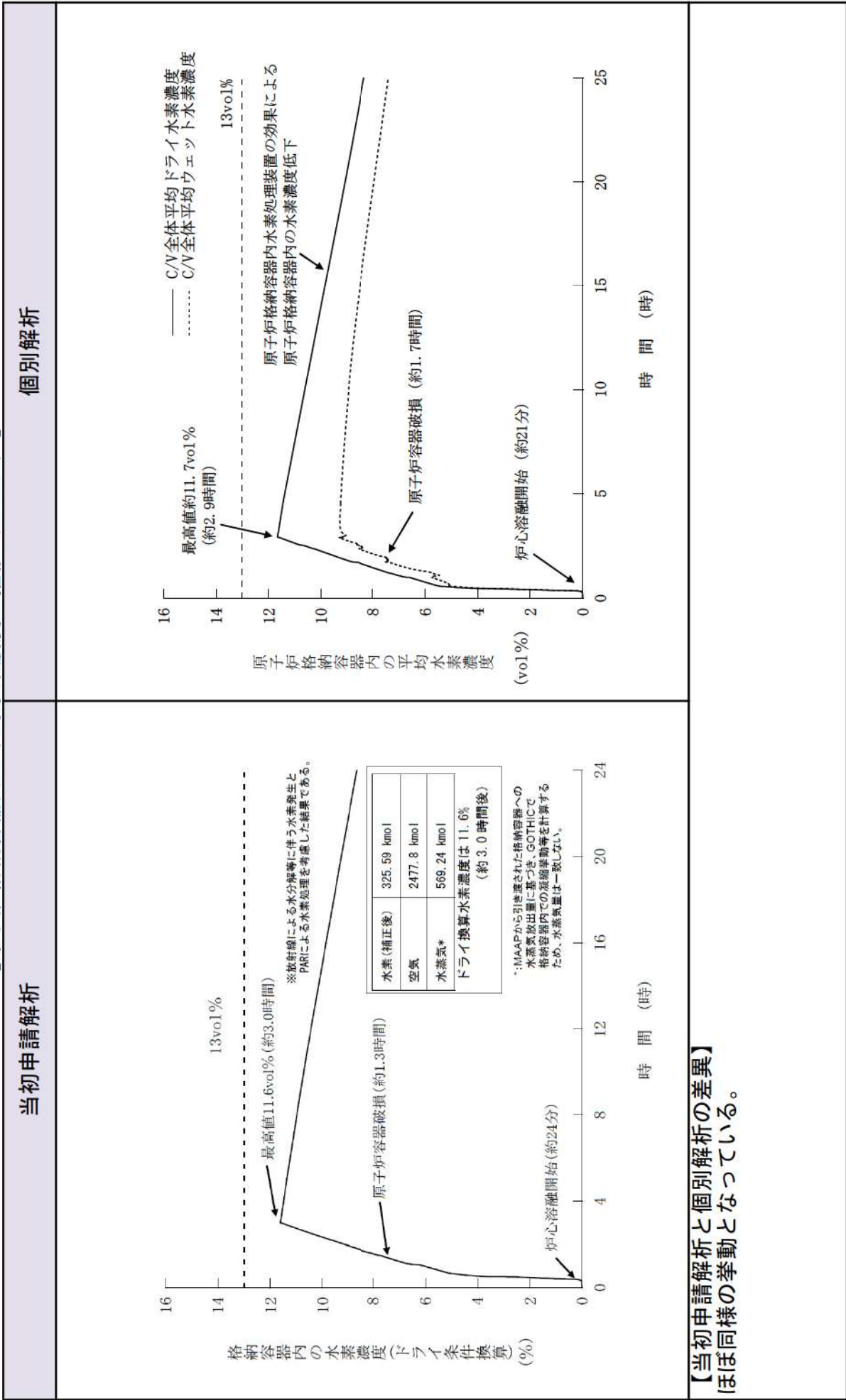
【当初申請解析と個別解析の差異】
原子炉格納容器全体平均水蒸気濃度は、格納容器スプレイ再循環切替以降に個別解析の方がやや高めに推移しているが、これは個別解析の方が格納容器スプレイ冷却器の伝熱容量が小さいために格納容器スプレイの水温が高くなり、水蒸気の凝縮が抑制されるためである。

事象進展の比較
(運転中の原子炉における重大事故)

別紙2-2 (11/11)

水素燃焼

【原子炉格納容器内の平均水素濃度の推移 (GOTHIC)】



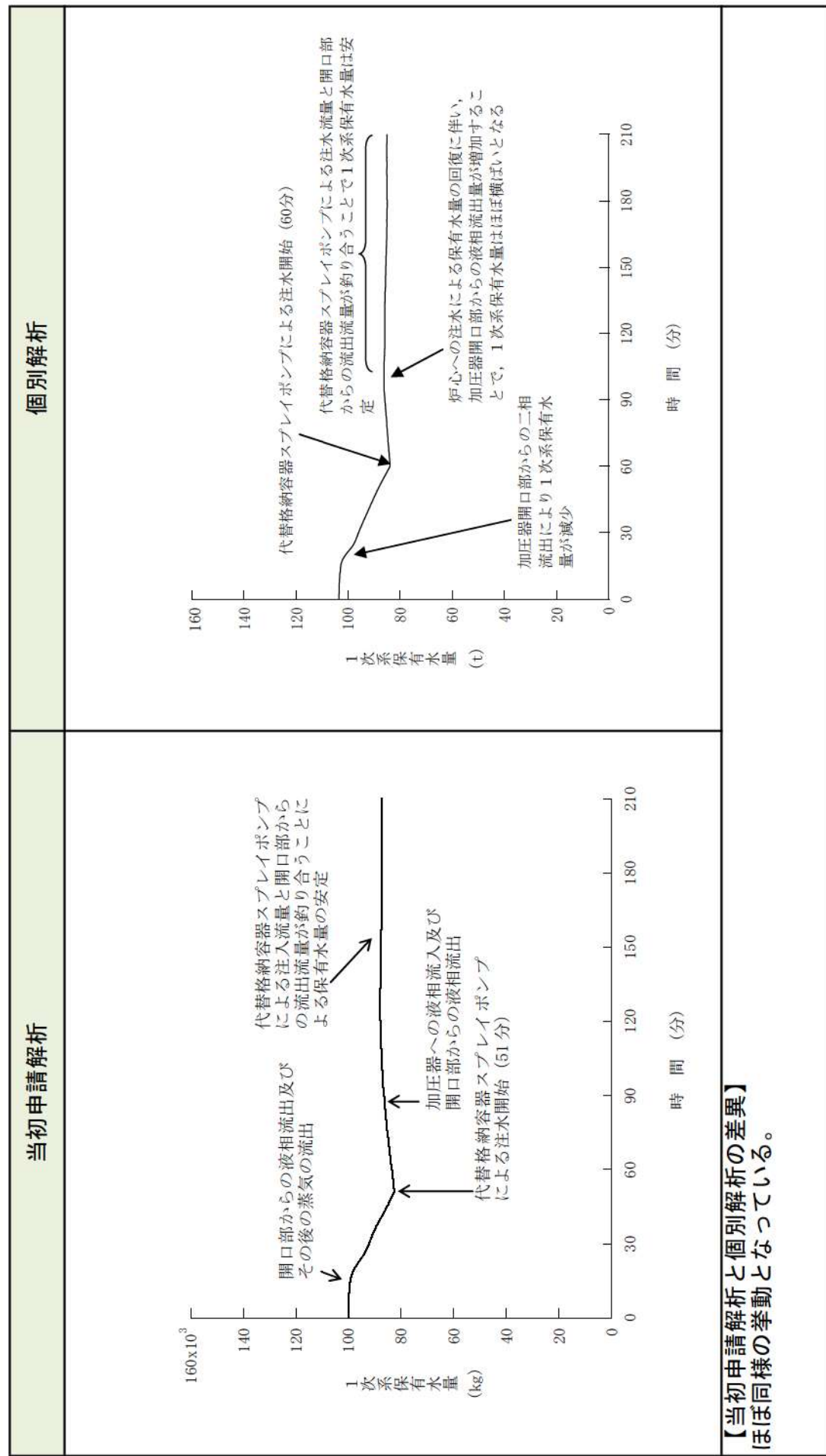
事象進展の比較

(運転停止中の原子炉による故障に至るおそれがある事故)

崩壊熱除去機能喪失
全交流動力電源喪失

(余熱除去系の故障による停止時冷却機能喪失)

【1次系保有水量の推移】

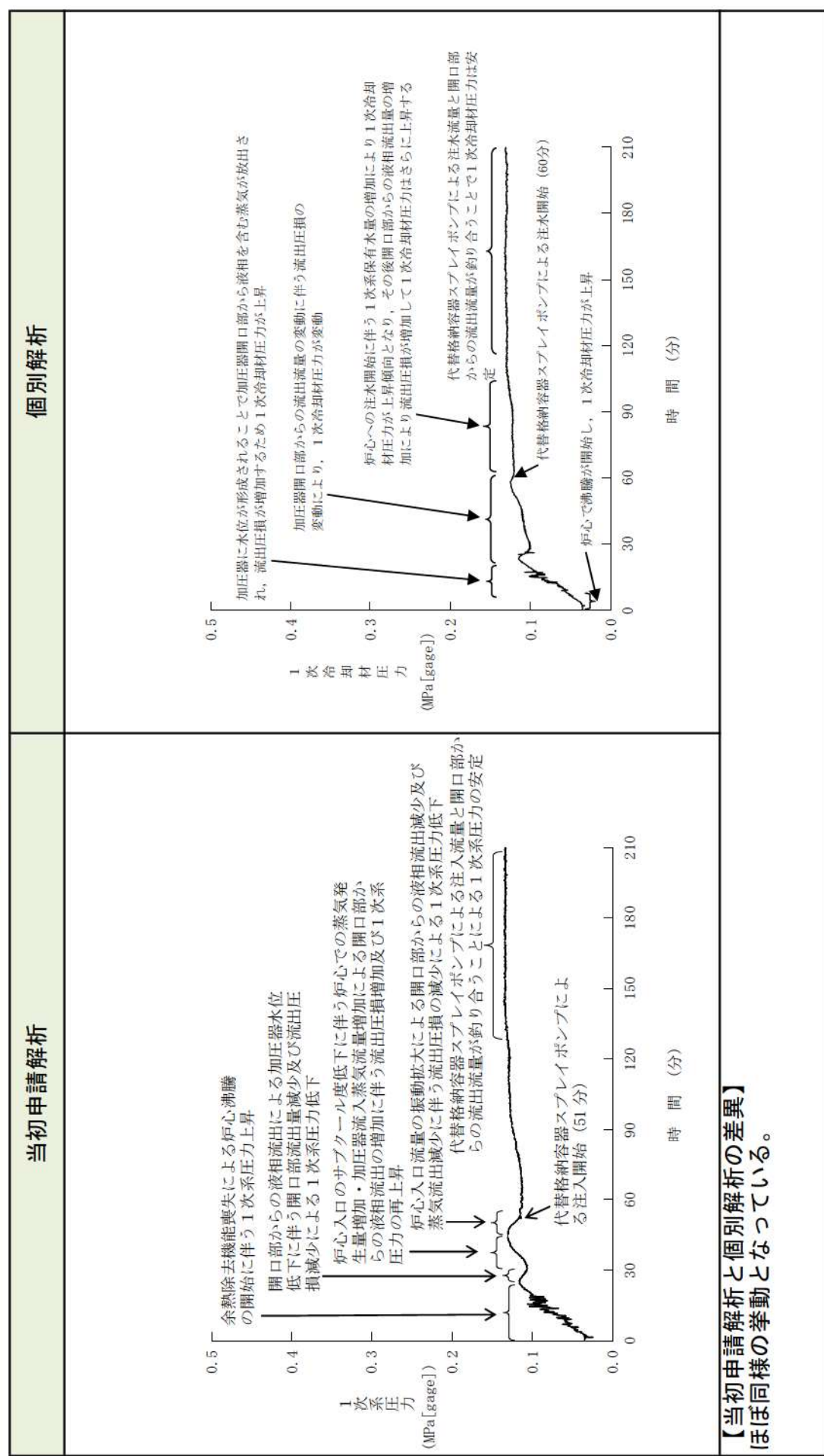


事象進展の比較
(運転停止中の原子炉による停止時冷却機能喪失)

崩壊熱除去機能喪失
全交流動力電源喪失

(余熱除去系の故障による停止時冷却機能喪失)

【1次冷却材圧力の推移】



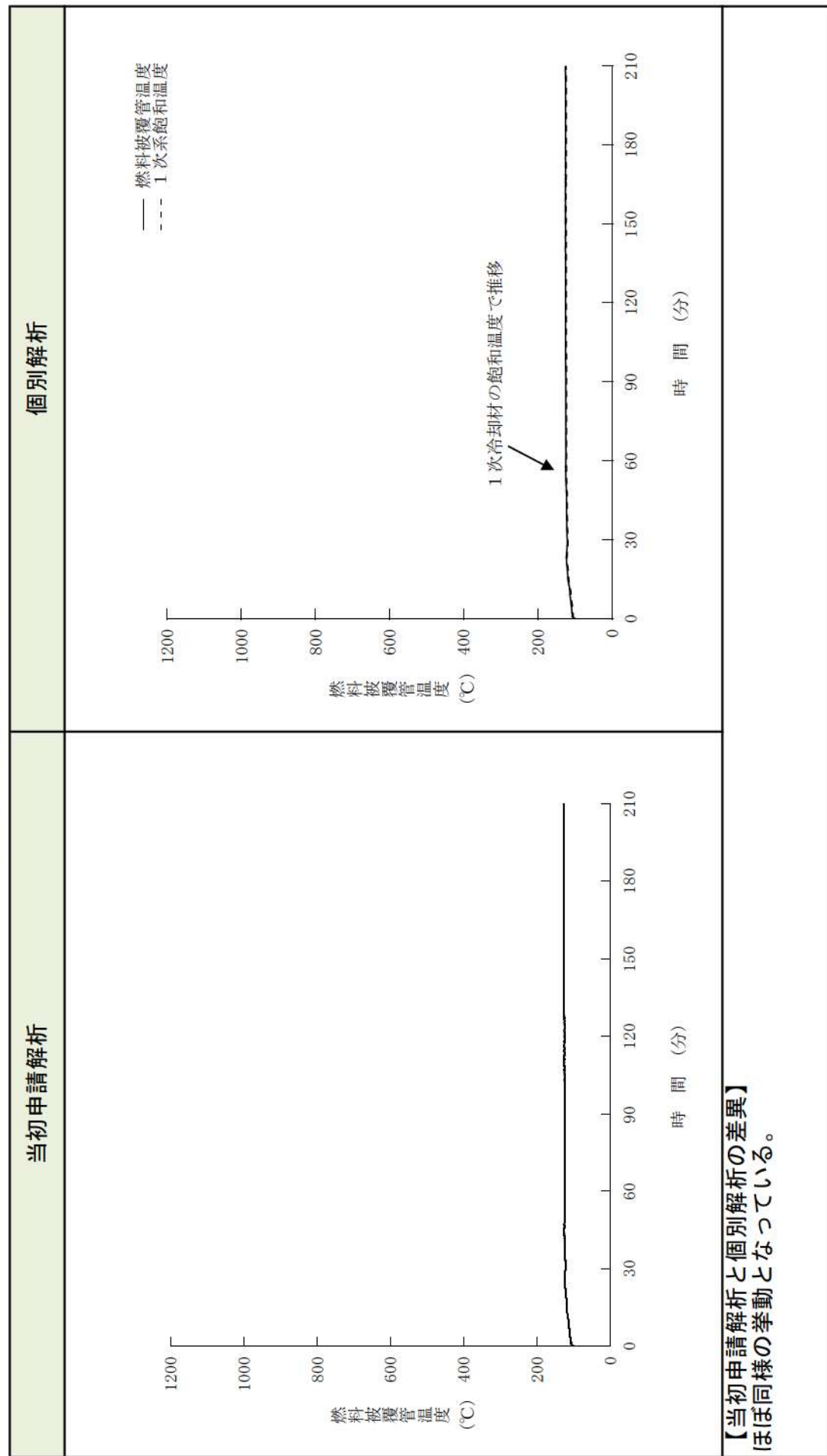
事象進展の比較

(運転停止中の原子炉における重大事故に至るおそれがある事故)

崩壊熱除去機能喪失
全交流動力電源喪失

(余熱除去系の故障による停止時冷却機能喪失)

【燃料被覆管温度の推移】

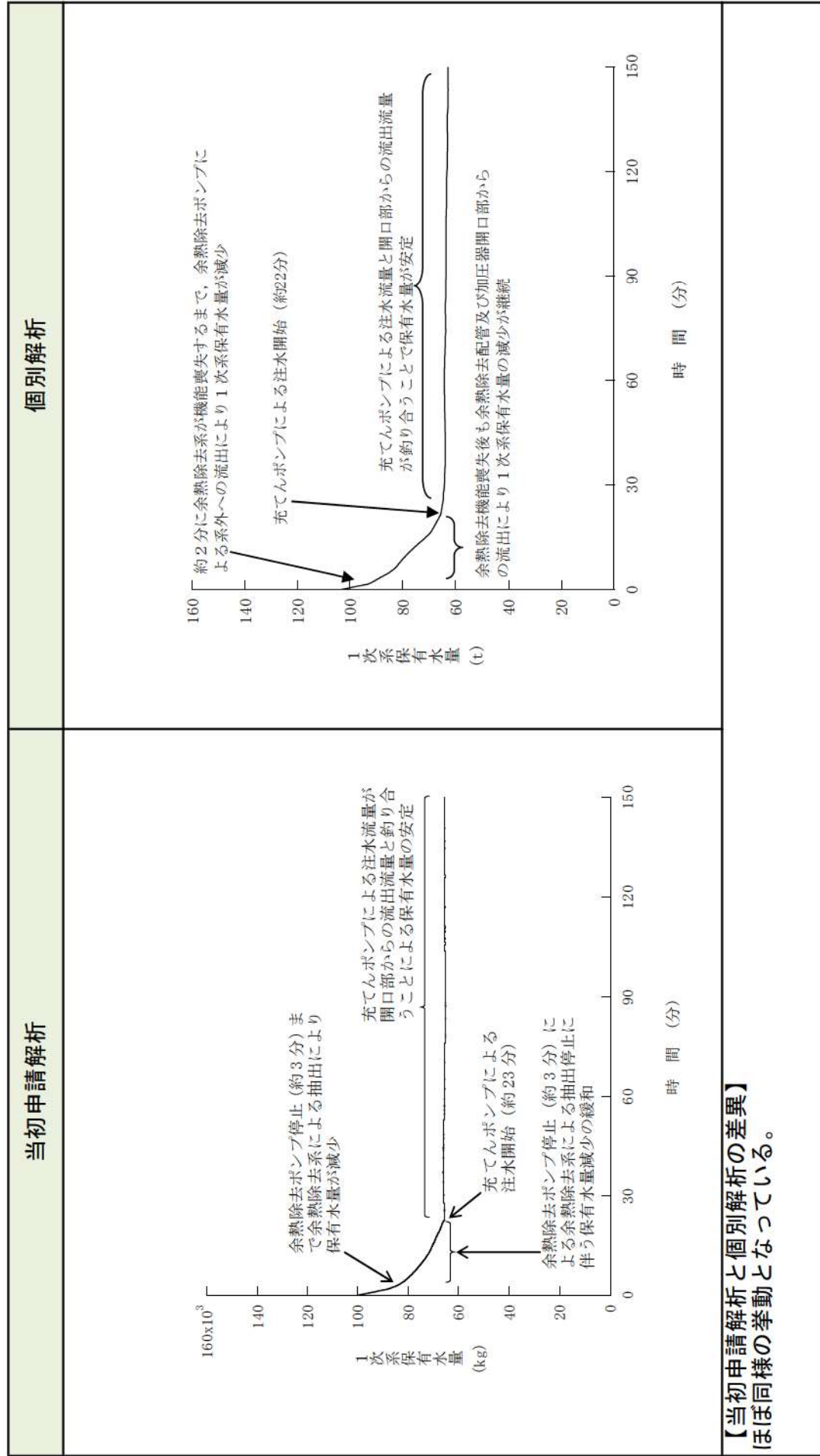


事象進展の比較
(運転停止中の原子炉における重大事故に至るおそれがある事故)

別紙2-3 (4/6)

原子炉冷却材の流出

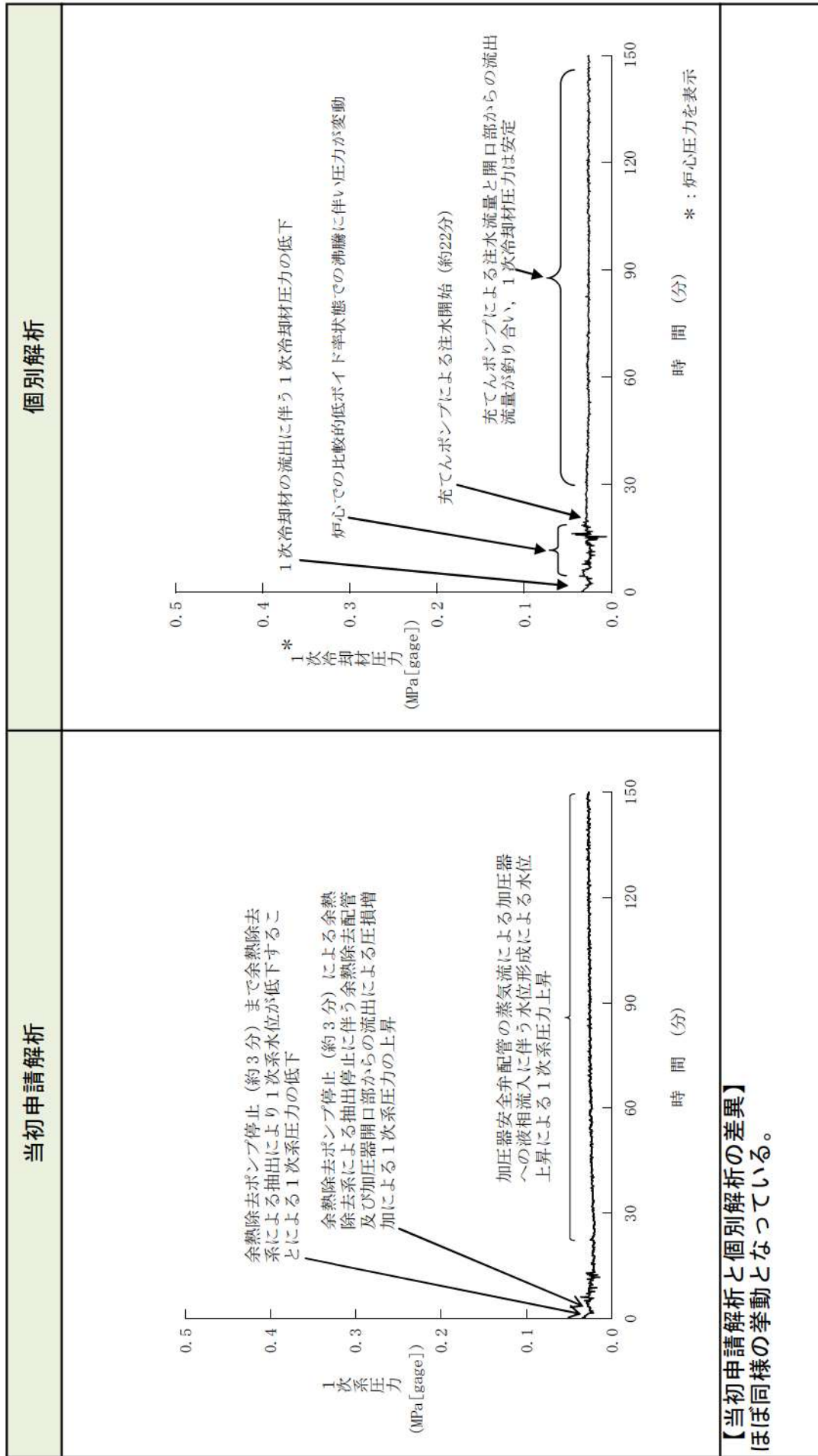
【1次系保有水量の推移】



事象進展の比較
(運転停止中の原子炉における重大事故に至るおそれがある事故)

原子炉冷却材の流出

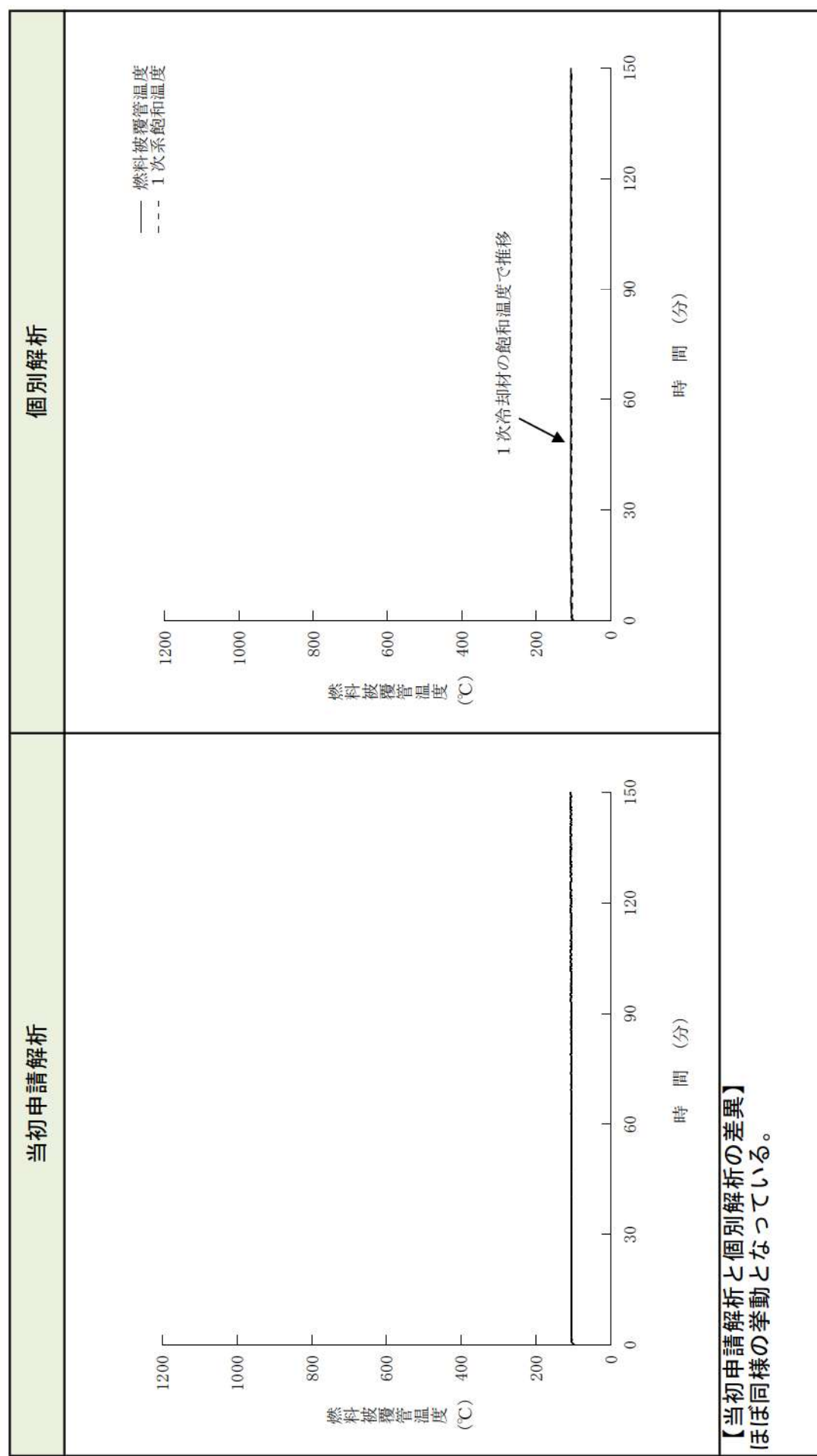
【1次冷却材圧力の推移】



事象進展の比較
(運転停止中の原子炉における重大事故に至るおそれがある事故)

原子炉冷却材の流出

【燃料被覆管温度の推移】



評価項目に対する解析結果の比較
(運転中の原子炉における重大事故に至るおそれがある事故)

| 事故シーケンス グループ | 重要事故シーケンス | 解析結果 | | 評価項目 | 当初申請解釈と個別解析との結果比較 |
|------------------------|--|---|---|---|---|
| | | 項目 | 当初申請解釈 | | |
| 2次冷却系 からの 除熱機能喪失 | 主給水流量喪失時に補助給水機能が喪失する事故 | 燃料被覆管温度 初期値以下 | 初期値以下 | $\leq 1200^{\circ}\text{C}$ | 1次系保有水量は両者ほぼ同等である。保有水量は十分に確保され、燃料被覆管温度は初期値以下に保たれる。 |
| 全交流動力 電源喪失 | 外部電源喪失時に非常用所内交流電源が喪失し、 原子炉補機冷却機能が発生する事故 | 原子炉冷却材 圧力バウンダ リにかかる圧 力 約16.7MPa[gage] | 約16.7MPa[gage] | $\leq 20.592\text{MPa[gage]}$ (最高使用圧力の1.2倍) | 1次冷却材圧力の応答は両者ほぼ同等である。最大値も同様であり、原子炉冷却材圧力バウンダリの健全性に影響はない。 |
| 原子炉補機 冷却機能喪失 | 外部電源喪失時に非常用所内交流電源が喪失し、 原子炉補機冷却機能が喪失する事故 | 燃料被覆管温度 初期値以下 | 初期値以下 | $\leq 1200^{\circ}\text{C}$ | 1次系保有水量の推移は両者ほぼ同等である。保有水量は十分に確保され、燃料被覆管温度は初期値以下に保たれる。 |
| 原子炉格納容器 除熱機能喪失 | 大破断LOCA時に低圧再循環機能及び格納容器スブ レイ注入機能が喪失する事故 | 原子炉格納容 器圧力 約0.340MPa[gage] | 約0.360MPa[gage] | $\leq 0.566\text{MPa[gage]}$ (原子炉格納容器の最高使用圧 力の2倍) | 原子炉格納容器圧力の推移は両者ほぼ同等である。ビーグ値は個別解析の方がわずかに高いが、両者とも判断基準を十分に満足しておらず、原子炉格納容器圧力バウンダリの健全性に影響はない。 |
| 原子炉 停止機能喪失 | 主給水流量喪失時に原子炉トリップ機能が喪失す る事故 負荷の喪失時に原子炉トリップ機能が喪失する事 故 | 原子炉格納容 器圧縮空気温 度 約133°C | 約135°C | $\leq 200^{\circ}\text{C}$ | 原子炉格納容器圧縮空気温度は両者ほぼ同等である。ビーグ値は個別解析の方がわずかに高いが、両者とも判断基準を十分に満足しておらず、原子炉格納容器圧力バウンダリの健全性に影響はない。 |
| ECCS 注水機能喪失 | 中破断LOCA時に高压注入機能が喪失する事故 | 原子炉冷却材 圧力バウンダ リにかかる圧 力 — | 約19.4MPa[gage] (MTG-13pcm/ $^{\circ}\text{C}$) | $\leq 20.592\text{MPa[gage]}$ (最高使用圧力の1.2倍) | 個別解析では3号炉の炉心設計に基づき設定した減速材温度係数を用いており、出力上昇に伴う反応度帰還効果が大きくなり、1次冷却材圧力の上昇が抑制されるため、1次冷却材圧力の最高値は低くなる。 |
| ECCS 再循環機能喪失 | 大破断LOCA時に低圧再循環機能及び高圧再循環機 能が喪失する事故 | 燃料被覆管温 度 約731°C (4インチ破断) | 約688°C (4インチ破断) | $\leq 20.592\text{MPa[gage]}$ (最高使用圧力の1.2倍) | 当初申請では解析を実施していなかったが、個別解析にて解析を実施し、最高使用圧力の1.2倍を下回ることを確認した。 |
| 格納容器 バイパス | インターフェイスシステムLOCA 蒸気発生器伝熱管破損時に破損側蒸気発生器の隔 離に失敗する事故 | 燃料被覆管温 度 約370°C | 約374°C (MAAPは大LOCAへの適用性が低いためDBAの結果を参照した場合、約1044°C) | $\leq 1200^{\circ}\text{C}$ | 燃料被覆管温度は両者ほぼ同等である。燃料被覆管温度は事象初期に最大値となるが直後は低く、両者とも判断基準を十分に満足しており燃料健全性に影響はない。 |
| | | | | $\leq 1200^{\circ}\text{C}$ | 1次系保有水量は十分に確保される。燃料被覆管温度は初期値以下に保たれる。 |
| | | | | $\leq 1200^{\circ}\text{C}$ | 1次系保有水量は十分に確保される。保有水量は十分に確保され、燃料被覆管温度は初期値以下に保たれる。 |

: 当初申請解釈との相違箇所

評価項目に対する解析結果の比較
(運転中の原子炉における重大事故)

| 格納容器 破損モード | 評価事故シーケンス | 解析結果 | | 評価項目 | 当初申請解析と個別解析との結果比較 |
|--|--|--------------------------------|--|---|--|
| | | 項目 | 当初申請解析 | | |
| 等圧気圧力・温度 による静的負荷 (格納容器過圧破 損) | 原子炉格納容器圧力 (格納容器外の溶 融燃料一冷却 材相互作用 による熱的・機械的 作用) | 原子炉格納容器圧力 約0.335MPa[gage] | 約0.360MPa[gage] | $\leq 0.566\text{MPa}[gage]$ (原子炉格納容器の最高使用圧 力の2倍) | 原子炉格納容器圧力の推移は両者ほぼ同等で ある。ピーク値は個別解析の方がわずかに高 いが、両者ともも判断基準を十分に満足してお り、原子炉格納容器圧力バウンダリの健全性 に影響はない。 |
| 原子炉圧力容器外 の溶融燃料一冷却 材相互作用 による熱的・機械的 作用 | 大破断LOCA時に低圧注入機能、高压注入機能及び 格納容器スプレイ注入機能が喪失する事故 | 原子炉格納容器一冷却 材相互作用による熱的 作用 | 熱的・機械的荷重によつて原子炉格納容 器の健全性に影響を与えるものではない | 原子炉格納容器バウンダリの 機能が喪失しないこと | 両者とも溶融炉心と原子炉下部キャビティ水 の相互作用により、圧力上昇は見られるも の、熱的・機械的荷重によつて原子炉格納容 器の健全性に影響を与えるものではない。 |
| 等圧気圧力・温度 による静的負荷 (格納容器過温破 損) | 外部電源喪失時に非常用所内交流電源が喪失し、 補助給水機能が喪失する事故 | 原子炉格納容器圧 力(原子炉格納容器破損時点) | 約138°C | 約141°C | 原子炉格納容器の構造部材の支 持機能が喪失しないこと |
| 高压溶融物放出／ 格納容器等圧直 接加熱 | 1次冷却材 圧力(原子 炉格納容器破損時 点) | 約1.4MPa[gage] | 約1.4MPa[gage] | $\leq 2.0\text{MPa}[gage]$ (原子炉格納容器破損時点) | 1次冷却材圧力の推移は両者ほぼ同等であ る。原子炉格納容器破損時の1次冷却材圧力は両者と も2.0MPa[gage]を下回る。 |
| 水素燃焼 | 大破断LOCA時に低圧注入機能及び高压注入機能が 喪失する事故 | 水素濃度 (ドライ換算) | 約11.6vol% | 約11.7vol% | 水素濃度の推移は両者ほぼ同等である。ピー ク値は個別解析の方がわずかに高いが、両者 とも判断基準を満足している。 |

: 当初申請解析との相違箇所

評価項目に対する解析結果の比較
(運転停止中の原子炉における重大事故に至るおそれがある事故)

| 事故シーケンス グループ | 重要事故シーケンス | 解析(評価)結果 | | | 評価項目 | 当初申請解析と個別解析との結果比較 |
|-------------------------------------|---|----------|---|------------|------------------|---------------------------------------|
| | | 項目 | 当初申請解析 | 個別解析 | | |
| 崩壊熱除去機能喪失 (余熱除去系の故障による停止時冷却機能喪失) | 燃料取出前のミックドループ運転中に余熱除去機能が喪失する事故 | 炉心の冠水状態 | 炉心露出なし | 炉心露出なし | 燃料有効長頂部が冠水していること | 1次系保有水量の推移は両者ほぼ同等である。保有水量は十分に確保されている。 |
| 全交流動力電源喪失 | 燃料取出前後のミックドループ運転中に外部電源が喪失し、原子炉補機冷却機能が喪失する事故 | 炉心の冠水状態 | 炉心露出なし | 炉心露出なし | 燃料有効長頂部が冠水していること | 1次系保有水量の推移は両者ほぼ同等である。保有水量は十分に確保されている。 |
| 原子炉冷却材の圧力流出 | 燃料取出前のミックドループ運転中に原子炉冷却材が喪失する事故 | 炉心の冠水状態 | 炉心露出なし | 炉心露出なし | 燃料有効長頂部が冠水していること | 1次系保有水量の推移は両者ほぼ同等である。保有水量は十分に確保されている。 |
| 反応度の誤投入 | 原子炉起動時に、化学体積制御系の弁の誤作動等により原子炉へ純水が流入する事故 | 希釈停止 | 「中性子源領域炉停止時中性子束高」警報発信から臨界に至るまでの約16分を要する正常な時間余裕があるため、運転員が異常状態を検知し、希釈停止を行うまでに十分な時間余裕がある | 未臨界を確保すること | — | — |

: 当初申請解析との相違箇所

運転員等操作に対する解析結果の比較
(運転中の原子炉における重大事故に至るおそれがある事故)

| 事故シーケンス グループ | 重要事故シーケンス | 運転員等操作 | 事象発生からの経過時間 | | 当初申請解説と個別解説との結果比較 |
|------------------------|--|---|--|--|--|
| | | | 当初申請解説 | 個別解説 | |
| 2次冷却系 からの 除熱機能喪失 | 主給水流量喪失時に補助給水機能が喪失する事故 外部電源喪失時に非常用所内交流電源及びRCPシールLOCAが発生する事故 全交流動力 電源喪失 原子炉補機冷却 機能喪失 | フィードアンドブリード開始 | 約29分後 | 約27分後 | 蒸気発生器ドライアイアウト時間の評価結果が24分後から22分後となるため、運転操作までの時間が若干短くなるが、運転員操作に余裕を有しており、対応体制及び対応手順に影響はない。 |
| | | 2次系強制冷却開始 (主蒸気逃がし弁開) | 30分後 | 30分後 | 解析上の仮定に相違はなく、対応体制及び対応手順に影響はない。 |
| | | 1次冷却材圧力1.7MPa[gage]到達 (一定保持) | 約52分後 | 約55分後 | 圧力目標値到達時間に若干の相違があるが、事象が遅くなる方向であり、以後蓄圧タンクの隔離操作可能時間まで本圧力状態を保持する手順であり、対応体制及び対応手順に影響はない。 |
| | | 蓄圧タンク出口弁閉止 | 70分後 | 70分後 | 解析上の仮定に相違はなく、対応体制及び対応手順に影響はない。 |
| | | 2次系強制冷却再開 | 80分後 (蓄圧タンク出口弁 閉止後10分) | 80分後 (蓄圧タンク出口弁 閉止後10分) | 解析上の仮定に相違はなく、対応体制及び対応手順に影響はない。 |
| | | 1次冷却材圧力0.7MPa[gage]到達代替格納容器スプレイポンプによる炉心注水 | 約2.2時間後 | 約2.2時間後 | 解析結果に相違はなく、対応体制及び対応手順に影響はない。 |
| | | 2次系強制冷却開始 (主蒸気逃がし弁開) | 30分後 | 30分後 | 解析上の仮定に相違はなく、対応体制及び対応手順に影響はない。 |
| | | 不要直流水源負荷切り離し | 60分後 | 60分後 | 解析上の仮定に相違はなく、対応体制及び対応手順に影響はない。 |
| | | 1次冷却材圧力1.7MPa[gage]到達 (一定保持) | 約28時間後 | 約26時間後 | 圧力目標値到達時間が若干短くなるが、以降の運転員操作には余裕を有しており、対応体制及び対応手順に影響はない。 |
| | | 蓄圧タンク出口弁閉止 | 約28時間後 (1次冷却材圧力 1.7MPa[gage]到達10分) | 約26時間後 (1次冷却材圧力 1.7MPa[gage]到達10分) | 圧力目標値到達時間が若干短くなるが、解析上の仮定(作業の想定時間)に相違の時間が若干短くなるが、解析上の仮定(作業の想定時間)に相違はない。 |
| 原子炉格納容器の 除熱機能喪失 | 大破断LOCA時に低圧再循環機能及び格納容器スプレイ注入機能が喪失する事故 | 2次系強制冷却再開 | 約28時間後 (蓄圧タンク出口弁 閉止後10分) | 約26時間後 (蓄圧タンク出口弁 閉止後10分) | 圧力目標値到達時間が若干短くなるが、解析上の仮定(作業の想定時間)に相違の時間が若干短くなるが、解析上の仮定(作業の想定時間)に相違はない。 |
| | | 再循環切替 | 約42分後 | 約42分後 | 解析結果に相違はなく、対応体制及び対応手順に影響はない。 |
| | | 格納容器内自然対流冷却開始 (CCW通水) | 約4.5時間 | 約4.0時間 | 原子炉格納容器最高使用圧力を到達時間の評価結果が約4.0時間後から約3.5時間後となつたため、格納容器内自然対流冷却開始までの時間が短くなるが、作業準備時間に余裕があり、対応体制及び対応手順に影響はない。 |

運転員等操作に対する解析結果の比較
(運転中の原子炉における重大事故に至るおそれがある事故)

| 事故シーケンス グループ | 重要事故シーケンス | 運転員等操作 | 事象発生からの経過時間 | | 当初申請解説と個別解説との結果比較 |
|-----------------|---|---|-------------------|-------------------|---|
| | | | 当初申請解説 | 個別解説 | |
| 原子炉 停止機能喪失 | 主給水流量喪失時に原子炉トリップ機能が喪失する事故 負荷喪失時に原子炉トリップ機能が喪失する事故 | — | — | — | (解析結果に依存する運転員等操作はなく、対応体制及び対応手順に影響はない)。 |
| ECCS 注水機能喪失 | 中破断LOCA時に高压注入機能が喪失する事故 | 2次系強制冷却開始 (主蒸気逃がし弁開) 低压注入開始 | 約11分後 (4インチ破断) | 約11分後 (4インチ破断) | 解析結果に相違はなく、対応体制及び対応手順に影響はない。 |
| ECCS 再循環機能喪失 | 大破断LOCA時に低压再循環機能及び高压再循環機能が喪失する事故 | 再循環切替開始 代替再循環開始 | 約19分後 | 約19分後 | 補助給水流量の差により1次冷却材圧力の低下時間が遅くなることから、低圧注入開始時間に相違があるが、プラント応答に基づく中央制御室の運転員操作事項であり、対応体制及び対応手順に影響はない。 |
| | | | | | 解析結果に相違はなく、対応体制及び対応手順に影響はない。 |
| | | | | | 加圧器速がし弁開操作開始時間に若干の相違があるが、以後、加圧器速がし弁開条件達成後に従って継続される運転操作であり、対応体制及び対応手順に影響はない。 |
| | | | | | 1次系の濾圧がやや遅めになることにより安全注入停止条件のから約60分後となるが、プラント応答に基づく中央制御室の運転員操作事項であり、対応体制及び対応手順に影響はない。 |
| 格納容器 バイパス | インターフェイスシステムLOCA 高圧注入系から充てん系への切替 | 2次系強制冷却開始 (主蒸気逃がし弁開) 加圧器速がし弁開による1次強制減圧 高圧注入系から充てん系への切替 | 約25分後 約56分後 | 約25分後 約55分後 | 原子炉トリップ時刻の相違により、SG隔離時間が約16分後から約20分後となるが、プラント応答に基づく中央制御室の運転員操作事項であり、対応体制及び対応手順に影響はない。 |
| | | | | | 原子炉トリップ時刻の相違により、約19分後から約22分後となるが、中央制御室の運転員操作事項であり、対応体制及び対応手順に影響はない。 |
| | | | | | 原子炉トリップ時刻の相違により、健全側主蒸気逃がし弁開操作時間が約35分後から約37分後となるが、プラント応答に基づく中央制御室の運転員操作事項であり、対応体制及び対応手順に影響はない。 |

: 初申請解説との相違箇所

運転員等操作に対する解析結果の比較
(運転中の原子炉における重大事故に至るおそれがある事故)

| 格納容器破損モード | 評価事故シーケンス | 運転員等操作 | 事象発生からの経過時間 | | 当初申請解析と個別解析との結果比較 |
|---|--------------------------------------|---|-------------|---------|---|
| | | | 当初申請解析 | 個別解析 | |
| 零圧力・温度 による静的負荷 (格納容器過圧破損) 原子炉圧力容器外の溶融 燃料一冷却材相互作用 溶融炉心・ コンクリート相互作用 | 大破壊LOCA時に低圧注入機能、高压注入機能が喪失する事故 | 代替格納容器スプレイポンプによる代替格納容器スプレイ開始 (炉心溶融開始の30分後) | 約49分後 | 約49分後 | 炉心溶融後から30分の操作を想定しているが、解析結果に相違はなく、対応体制及び対応手順に影響はない。 |
| 零圧力・温度 による静的負荷 (格納容器過温破損) 高压溶融物放出／格納容器 零圧直接加熱 | 大破壊LOCA時に非常用所内交流電源が喪失し、補助給水機能が喪失する事故 | 格納容器内自然対流冷却開始 (海水通水) | 24時間後 | 24時間後 | 解析上の仮定に相違はなく、対応体制及び対応手順に影響はない。 |
| 水素燃焼 | 大破壊LOCA時に低圧注入機能及び高压注入機能が喪失する事故 | 1次系強制減圧開始 (炉心溶融開始の10分後) | 約3.1時間後 | 約3.3時間後 | 1次系保有水量の相違のため、炉心溶融開始時刻が遅れるため、操作実施までの余裕時間が拡大する方向であり、対応手順に影響はない。 |
| | | 代替格納容器スプレイポンプによる代替格納容器スプレイ開始 (炉心溶融開始の30分後) | 約3.5時間 | 約3.6時間 | 1次系保有水量の相違のため、炉心溶融開始時刻が遅れるため、代替格納容器スプレイボンブによる代替格納容器スプレイ開始時刻が遅くなるが、操作実施までの余裕時間が拡大する方向であり、対応体制及び対応手順に影響はない。 |
| | | 格納容器内自然対流冷却開始 (海水通水) | 24時間後 | 24時間後 | 解析上の仮定に相違はなく、対応体制及び対応手順に影響はない。 |
| | | — | — | — | (解析結果に依存する運転員等操作はなく、対応体制及び対応手順に影響はない) |

: 当初申請解析との相違箇所

運転員等操作に対する解析結果の比較
(運転中の原子炉における重大事故に至るおそれがある事故)

| 事故シーケンス グループ | 重要事故シーケンス | 運転員等操作 | 事象発生からの経過時間 | | 当初申請解析と個別解析との結果比較 |
|-------------------------------------|---|------------------------|-------------|-------|---|
| | | | 当初申請解析 | 個別解析 | |
| 崩壊熱除去機能喪失 (余熱除去系の故障による停止時冷却機能喪失) | 燃料取出前のミッドループ運転中に余熱除去機能が喪失する事故 | 代替格納容器スプレイポンプによる炉心注水開始 | 50分後 | 60分後 | 代替格納容器スプレイポンプによる炉心注水開始時間が異なるが、運転員操作余裕時間を拡大する方向であり、対応体制及び対応手順に影響はない。 |
| 全交流動力電源喪失 | 燃料取出前のミッドループ運転中に外部電源が喪失するとともに非常用所内交番電源が喪失する事故 | 代替格納容器スプレイポンプによる炉心注水開始 | 50分後 | 60分後 | 代替格納容器スプレイポンプによる炉心注水開始時間が異なるが、運転員操作余裕時間を拡大する方向であり、対応体制及び対応手順に影響はない。 |
| 原子炉冷却材の流出 | 燃料取出前のミッドループ運転中に原子炉冷却材圧力バウンダリ機能が喪失する事故 | 充てんポンプによる炉心注水開始 | 約23分後 | 約22分後 | 流出流量が個別解析の方が大きいために高温側配管水位の低下が早くなるため、運転操作までの時間が若干短くなるが、対応体制及び対応手順に影響はない。 |
| 反応度の誤投入 | 原子炉起動時に、化学体積制御系の弁の誤作動等により原子炉へ純水が流入する事故 | — | — | — | (当初申請解析と個別解析は同一であり、対応体制及び対応手順に影響はない。) |
| 当初申請解析との相違箇所 | | | | | |

タービン動補助給水ポンプ容量の合理化について

従来、三菱 PWR の補助給水系の各ポンプの容量設定は下記条件をもとに行っていた。

| | ポンプ容量設定条件 | リファレンスプラント (伊方3号機)の容量 (1台当たり) |
|----------------------------|---|-------------------------------------|
| 電動補助給水ポンプ (M/D-AFWP) | 主給水流量喪失時に M/D-AFWP 1台のみで事象対応が可能、かつ、主給水管破断時に 2台で事象対応が可能な容量 | 80m ³ /hr |
| タービン動補助給水ポンプ (T/D-AFWP) | M/D-AFWP を上回る容量 (全交流動力電源喪失時に必要な容量を上回る) | 160m ³ /hr |

一方で、泊3号機の補助給水系の各ポンプについては、従来の考え方を変更して容量設定条件を下記のとおり行っている。なお、安全設計審査指針では主給水管破断時に動的機器の单一故障を想定することが求められており、考え方の変更後もこの要求を逸脱することはない。

| | ポンプ容量設定条件 | 泊3号機の容量 (1台当たり) |
|----------------------------|--|----------------------|
| 電動補助給水ポンプ (M/D-AFWP) | 同上 | 80m ³ /hr |
| タービン動補助給水ポンプ (T/D-AFWP) | 主給水流量喪失時に T/D-AFWP 1台のみで事象対応が可能、かつ、主給水管破断時に <u>M/D-AFWP 1台との組み合わせ</u> で事象対応が可能 (M/D-AFWP と同容量) (全交流動力電源喪失時に必要な容量を上回る) | 80m ³ /hr |

この考え方の変更により、リファレンスプラントである伊方3号機では T/D-AFWP の容量が 160m³/hr であるのに対し、泊3号機では 80m³/hr と半分の容量に合理化を行っている。

添付資料 6.5.9

泊 3 号炉のコンクリートに係る解析コード入力値について

泊 3 号炉の溶融炉心・コンクリート相互作用の有効性評価では、コンクリート組成は PWR 共通として玄武岩系コンクリート組成を入力としている。一方、泊 3 号炉のコンクリート組成は石灰岩系コンクリートの組成に近いため、その影響が小さいことを確認したうえで有効性評価解析では玄武岩系コンクリート組成を用いた解析とした。以下にその内容を記載する。

玄武岩系及び泊 3 号炉のコンクリートについて、表 1 に解析条件、表 2 にコンクリートの物性値及び表 3 にコンクリートの組成を示す。表 3 のとおり泊 3 号炉のコンクリート組成は CaCO_3 と SiO_2 の成分割合から、石灰岩系の組成に近い。そのため溶融炉心・コンクリート相互作用の評価事故シーケンス「大破断 LOCA 時に低圧注入機能、高圧注入機能及び格納容器スプレイ注入機能が喪失する事故」に対し感度解析を行い、ベースマット侵食深さ及び原子炉格納容器内気相モル分率について、玄武岩系コンクリートと比較した。

玄武岩系及び泊 3 号炉の溶融炉心・コンクリート相互作用の解析結果を図 1、図 2 及び表 4 に示す。玄武岩系コンクリートに比べ、泊 3 号炉のコンクリートの場合のベースマット侵食深さは若干減少しているが、感度は小さい。

原子炉格納容器内で発生する水素については玄武岩系コンクリートと同様な結果である。このケースのようにコンクリート侵食量が小さい場合は、一酸化炭素及び二酸化炭素の割合についても玄武岩系コンクリートと同様、ほとんど発生しない結果となり、コンクリート組成の影響は小さい。

以上により、コンクリート組成の違いによる影響は軽微であるが、コンクリート侵食量は玄武岩系の方が大きくなることから、PWR 共通である玄武岩系コンクリート組成を入力値としている。

以上

表1 コンクリート種類を変えた参考解析条件

| パラメータ | ベースケース (有効性評価) | 参考解析ケース (泊3号炉の組成) | 根拠 |
|----------|-------------------|----------------------|---------------|
| コンクリート種類 | 玄武岩系 | 石灰岩系 | ガス発生の影響を確認する。 |

表2 コンクリート物性の比較 (MAAP 入力)

| | ベースケース (有効性評価) | 参考解析ケース (泊3号炉の組成) |
|-------------|----------------------------|-----------------------------|
| コンクリート組成 | 玄武岩系 (SiO_2 が主体) | 石灰岩系 (CaCO_3 が主体) |
| 液相線温度 (K) | | |
| 固相線温度 (K) | | |
| 比熱 (J/kg K) | | |
| 溶融潜熱 (J/kg) | | |

表3 コンクリート組成の比較 (重量%)

| 成分 | ベースケース (有効性評価) | 参考解析ケース (泊3号炉の組成) |
|--|-------------------|----------------------|
| SiO_2 | | |
| $\text{TiO}_2, \text{MnO}, \text{MgO}$ | | |
| CaO | | |
| Na_2O | | |
| K_2O | | |
| Fe_2O_3 | | |
| Al_2O_3 | | |
| Cr_2O_3 | | |
| CO_2 | | |
| H_2O (自由水, 結合水) | | |

□部は機密情報に属しますので公開できません。

表4 コンクリート入力値に対する感度解析結果

| ケース | パラメータ設定 | ベースマット侵食深さ |
|------------------------|-----------------------|--------------------------|
| ベースケース (有効性評価) | コンクリート組成及び物性値 玄武岩系 | 床面：約 2.6mm 壁面：約 2.6mm |
| 参考解析ケース (泊 3 号炉の組成) | コンクリート組成及び物性値 石灰岩系 | 床面：約 2.0mm 壁面：約 2.0mm |

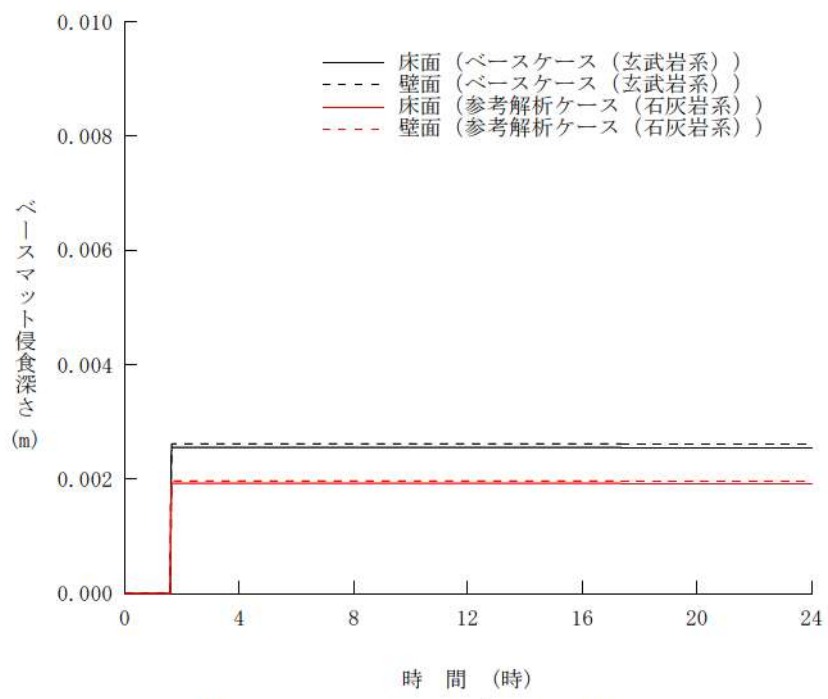


図1 ベースマット侵食深さの推移

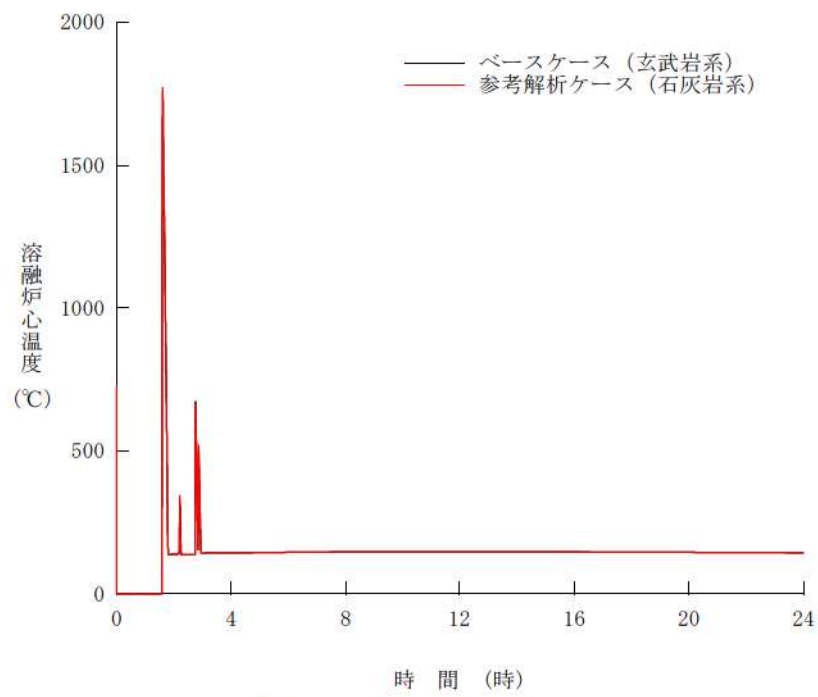


図2 溶融炉心温度の推移

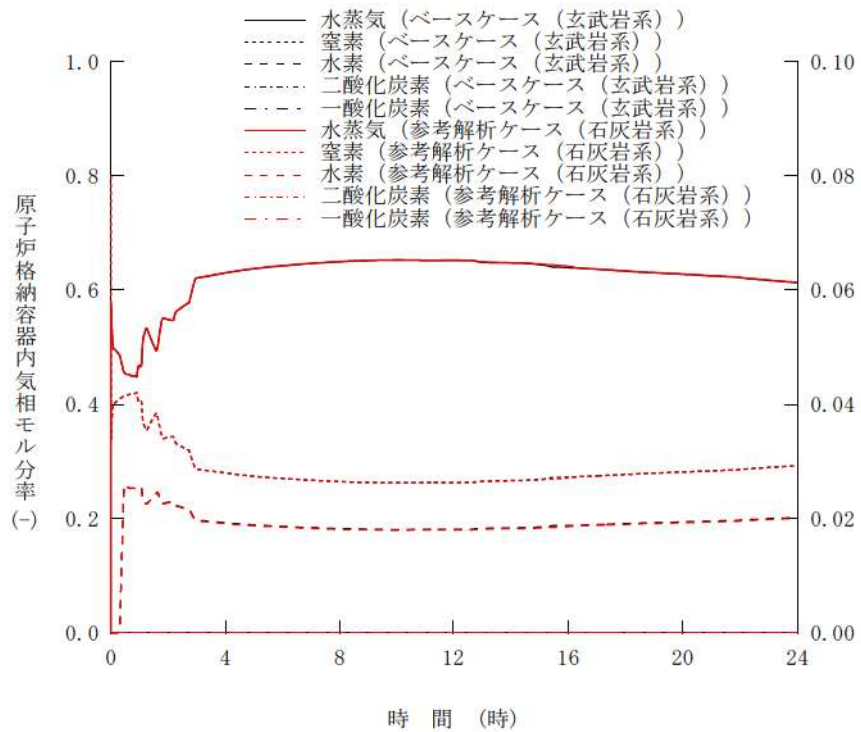


図3 原子炉格納容器内気相モル分率の推移
(左軸:水蒸気, 窒素 右軸:水素, 二酸化炭素, 一酸化炭素)

「運転停止中の原子炉における重大事故に至るおそれがある事故」の評価における
炉心崩壊熱設定の考え方について

1. 崩壊熱除去機能喪失（余熱除去系の故障による停止時冷却機能喪失）及び全交流動力電源喪失

「崩壊熱除去機能喪失（余熱除去系の故障による停止時冷却機能喪失）」及び「全交流動力電源喪失」の評価においては、ミッドループ運転中の水位を初期条件としており、炉心崩壊熱の初期条件についても、原子炉停止から1次冷却材水抜き完了までの時間として考えられる最短時間に余裕を考慮した時間（原子炉停止後72時間時点）における炉心崩壊熱としている。

定期検査工程においてミッドループ運転期間前の水抜き期間中は、1次冷却系の水位としてはミッドループ運転期間よりも高い（1次冷却系保有水量が多い）ものの、炉心崩壊熱は高い期間となるが、それを踏まえても上記の設定（水位と炉心崩壊熱の組み合わせ）に代表性があることを以下のとおり確認している。

なお、上記の設定に加え、炉心崩壊熱としてミッドループ運転開始時点（泊3号炉における至近2定期検査の水抜き完了の実績時間：第1回定期検査約105時間、第2回定期検査約121時間）を上回る炉心崩壊熱を用いていること、また保守的な高温点評価用の炉心崩壊熱を用いていることなどから、大きな保守性を有する評価となっている。

<概算方法>

炉心崩壊熱及び1次冷却系初期水位について以下とおり想定し、炉心露出までの時間が1次冷却材の水抜き開始（炉停止後55時間）から水抜き完了（炉停止後72時間）までの期間のうち最も厳しくなる時点を概算する。

<概算条件>

炉停止後時間に対応する炉心崩壊熱及び1次冷却系初期保有水量は、以下の2点を結ぶ直線で近似する。

表1 炉停止後55時間と72時間の比較

| | 炉停止後55時間 (1次冷却系満水) | 炉停止後72時間 (ミッドループ水位) |
|-------------|-----------------------|------------------------|
| 炉心崩壊熱 | 18.6MWt | 17.7MWt |
| 1次冷却系初期保有水量 | 263t | 103t |

また、炉心露出に至る可能性がある1次冷却系保有水量は71t⁽¹⁾とする。

⁽¹⁾炉心注水操作開始の操作時間余裕確認のために実施した代替格納容器スプレイポンプによる炉心注水をしない場合の感度解析結果より。

<結果>

図1に示すとおり、1次冷却材の水抜き開始（炉停止後55時間）から完了（炉停止後72時間）までのいずれの期間を想定しても、1次冷却材水抜き完了時点が最も厳しい条件設定であることを確認した。

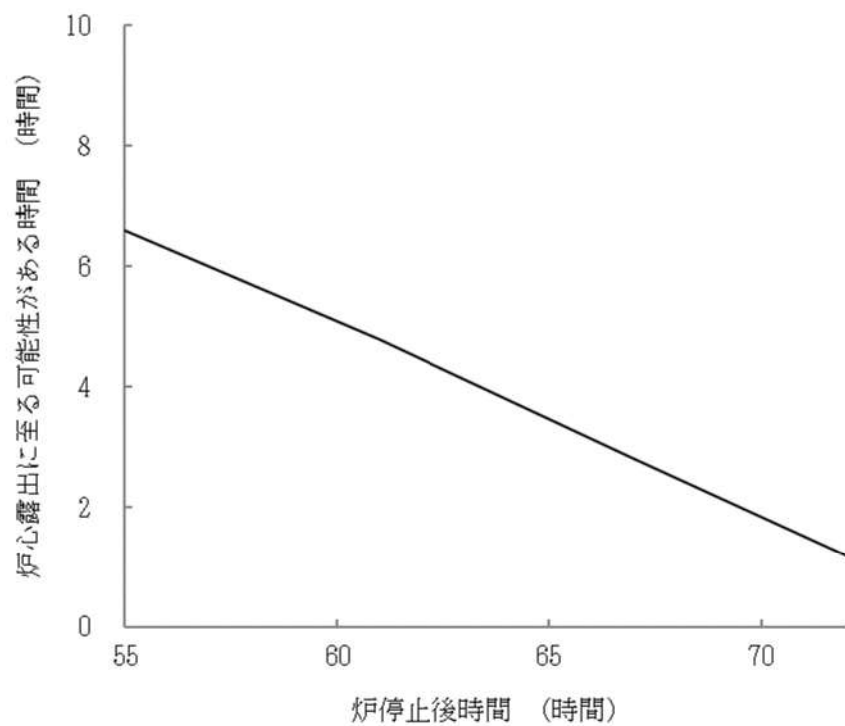


図1 炉停止後時間と炉心露出に至る可能性がある時間の関係（概算）

2. 原子炉冷却材の流出

1. と同様の崩壊熱、保有水量の条件で、事象発生から炉心露出までの時間（流出開始から余熱除去ポンプトリップまでの時間にその後の蒸発による炉心露出までの時間を加えたもの）を算出したものを図2に示すが、水抜き完了時点において事象発生から炉心露出までの時間が最も短くなっていることから、「原子炉冷却材の流出」においても、水抜き完了時点（炉停止後72時間）の条件で評価を行うことは妥当と判断している。

なお、評価全体の保守性については上記1. と同じ取扱いとなっている。

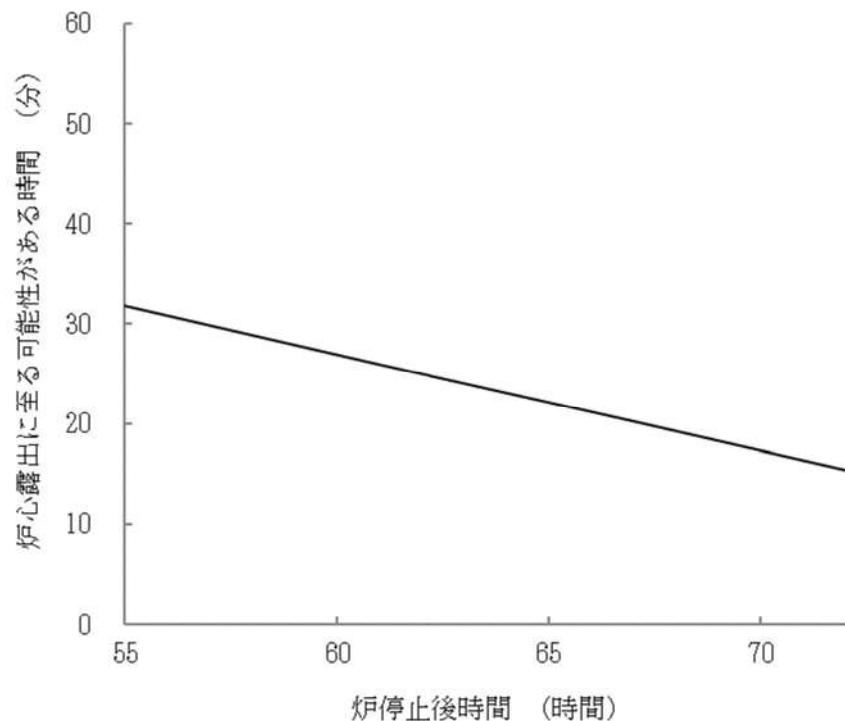
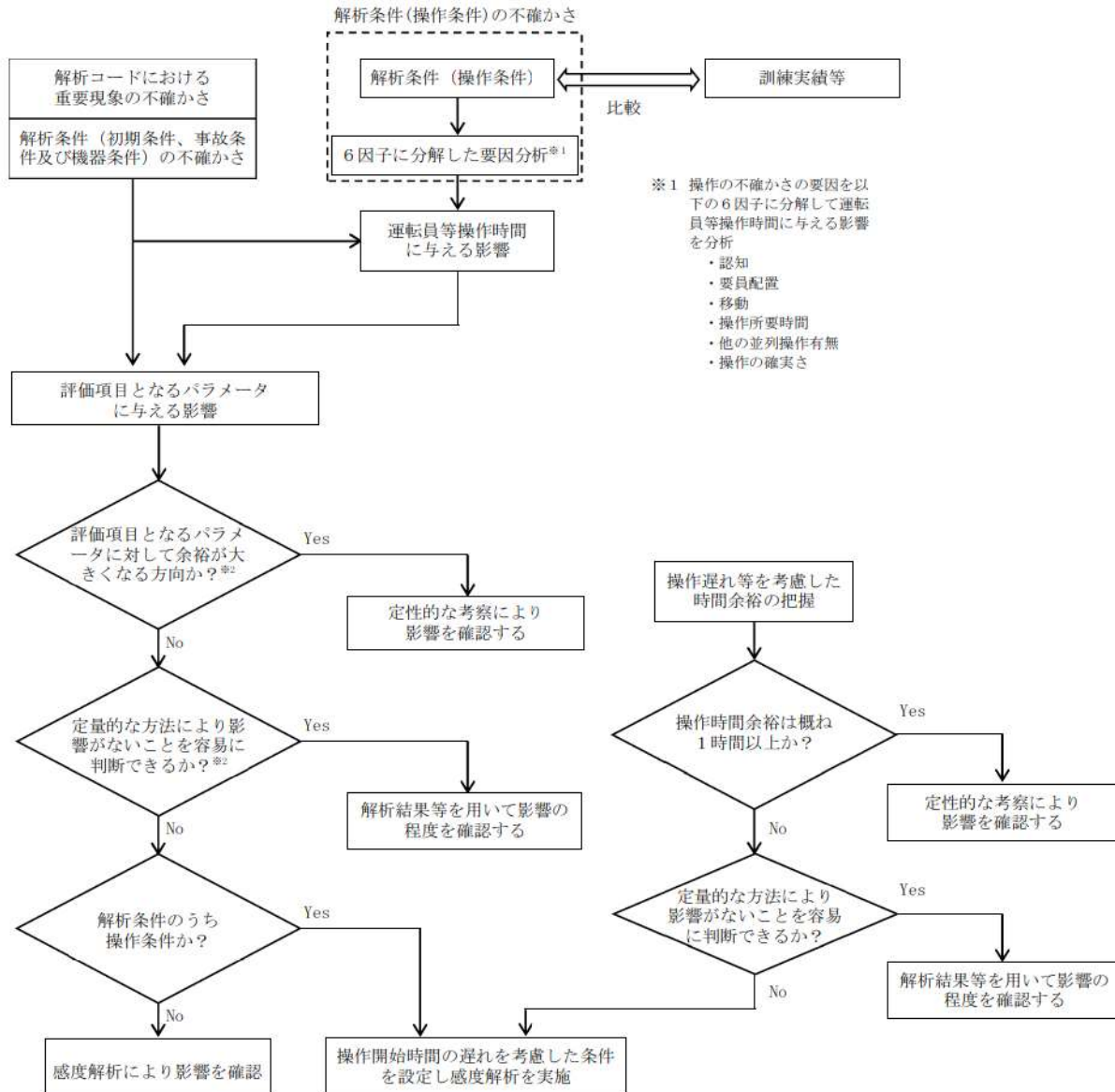


図2 炉停止後時間と炉心露出に至る可能性がある時間の関係(概算)

-以上-

解析コード及び解析条件の不確かさの影響評価フローについて



※2 評価項目となるパラメータに対する影響評価の考え方

解析コードにおける重要現象の不確かさの場合

- ①真値が解析結果に含まれるもの
⇒定性的に影響がないことを確認



- ②真値が解析結果に含まれるもの
⇒定量的に影響を確認または感度解析にて影響を確認

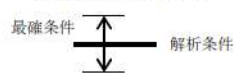


解析条件 (初期条件、事故条件) の不確かさの場合

- ①最確条件※3が解析条件に含まれるもの
⇒定性的に影響がないことを確認

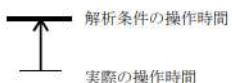


- ②最確条件が解析条件に対して正負の値を取るもの
⇒厳しい側において定量的に影響を確認または感度解析にて影響を確認

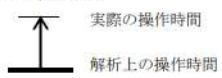


解析条件 (操作条件) 不確かさの場合

- ①解析上の操作時間の余裕があるもの
⇒定性的に影響がないことを確認



- ②解析上の操作時間の余裕がないもの
⇒定量的に影響を確認または感度解析にて影響を確認



解析コードにおける重要現象の不確かさを確認する際に
標準プラントの解析結果を使用することの妥当性について

1. はじめに

解析コードにおける重要現象の不確かさを確認する際に参考文献の記載を参照しているが、その中には一部標準プラントで感度解析を実施して不確かさを確認しているものがある。標準プラントの解析結果に基づく不確かさを用いて泊3号機の有効性評価への影響評価を行うことの妥当性について以下に示す。

2. 標準プラントの感度解析により不確かさの確認を行っている重要現象

以下の重要現象においては、不確かさの確認を行う際に、標準プラントの解析結果を使用している。なお、該当する解析コードは MAAP のみである。

表 不確かさとして標準プラントの解析結果を使用している重要現象 (MAAP) (1 / 2)

| 重要現象 | 不確かさ | 他ループプラントへの適用性 |
|--|--|---|
| ・燃料棒内温度変化 ・燃料棒表面熱伝達 ・被覆管酸化 ・被覆管変形 | <ul style="list-style-type: none"> ○炉心ヒートアップ速度（被覆管酸化が促進される場合）が早まることを想定し、仮想的な厳しい振り幅であるが、ジルコニウム-水反応速度の係数を2倍とした感度解析により影響確認。（標準4ループプラント） <ul style="list-style-type: none"> ・SBO、LOCA シーケンスとともに、運転員等操作の起点となる炉心溶融開始時間への影響は小さい。 ・下部プレナムへのリロケーションの開始時間は SBO シーケンスでは約 14 分早まる。LOCA シーケンスでは約 30 秒早まる。 | 不確かさは4ループプラントに対して評価したものであるが、現象のメカニズムは2、3ループプラントでも同じであり、感度解析と同様の傾向となる。 |
| ・リロケーション | <ul style="list-style-type: none"> ○リロケーションの進展が早まることを想定し、炉心崩壊に至る温度を下げた場合の感度解析により影響を確認。（標準4ループプラント） <ul style="list-style-type: none"> ・下部プレナムへのリロケーション後の原子炉容器の破損時間は、SBO シーケンスの場合約 26 分、LOCA シーケンスの場合約 3 分、それぞれ早まる。ただし、本感度解析は仮想的な厳しい条件を設定した場合の結果である。 | 不確かさは4ループプラントに対して評価したものであるが、現象のメカニズムは2、3ループプラントでも同じであり、感度解析と同様の傾向となる。 |
| ・原子炉容器内 FCI (溶融炉心細粒化、 粒子デブリ熱伝達) | ○原子炉容器内 FCI 現象に関する項目として「デブリジェット径（炉心部の下部クラストの破損口径）」、「Ricou-Spalding のエントレインメント係数」及び「デブリ粒子の径」をパラメータとした感度解析を行い、いずれにおいても 1 次冷却材圧力の過渡的な変化に対して影響はあるものの、原子炉容器破損時点での 1 次冷却材圧力に対する感度は小さいことを確認。（標準4ループプラント） | 不確かさは4ループプラントに対して評価したものであるが、炉心質量と 1 次系体積の比は2、3ループプラントと同程度であるため、感度解析パラメータの影響は4ループプラントで代表でき、結果への影響も小さい。 |

表 不確かさとして標準プラントの解析結果を使用している重要現象（MAAP）（2／2）

| 重要現象 | 不確かさ | 他ループプラントへの適用性 |
|-----------------------------------|--|--|
| ・下部プレナムでの溶融炉心の熱伝達 | ○下部プレナムでの溶融炉心の熱伝達に関する項目として「溶融炉心と上面水プールとの熱伝達」及び「溶融炉心と原子炉容器間の熱伝達」をパラメータとして感度解析を行い、いずれについても、原子炉容器破損時刻に対して感度が小さいことを確認。 (標準4ループプラント) | 不確かさは4ループプラントを対象に評価したものであるが、原子炉容器下部プレナムでの溶融炉心の熱伝達挙動は、ループ数によらず同様の取扱いとなっている。感度解析パラメータの影響は4ループプラントにおいて結果への影響が小さいため、2、3ループプラントにおいても同様の傾向となる。 |
| ・原子炉容器破損、溶融 | ○原子炉容器破損に影響する項目として「計装用案内管接続部の破損判定に用いる最大歪み（しきい値）」をパラメータとした場合の感度解析を行い、原子炉容器破損時間が5分早まるることを確認。ただし、仮想的な厳しい条件を与えたケースであり、実機解析への影響は小さいと判断される。 (標準4ループプラント) | 不確かさは4ループプラントを対象に評価したものであるが、原子炉容器本体や計装用案内管の構造は個別プラントによらず大きな違いはないため、2、3ループプラントにおいても、4ループプラントと同程度の影響があると考えられる。 |
| ・原子炉容器外 FCI (溶融炉心細粒化、デブリ粒子熱伝達) | ○原子炉容器外 FCI 現象に関する項目として「原子炉下部キャビティ水深」、「Ricou-Spalding のエントレインメント係数」、「デブリ粒子の径」及び「原子炉容器破損口径」に関して格納容器破損防止の「原子炉圧力容器外の溶融燃料—冷却材相互作用」の事象をベースとする感度解析を行い、原子炉容器外 FCI により生じる圧力スパイクの感度が小さいことを確認。 (標準3ループプラント) | 不確かさは3ループプラントを対象に評価したものであるが、原子炉容器外 FCI による圧力スパイクは、原子炉下部キャビティに落下する溶融炉心の量や原子炉下部キャビティ水深等の条件に依存して変化し得るもの、そのメカニズムはループ数に依存しないため、2、4ループプラントにおいても同様の傾向となる。 |

3. 泊3号機の有効性評価の影響評価の妥当性

解析コードの個別プラントへの適用性を整理した結果、各コードの解析モデル（重要現象）については2、3、4ループプラントにも共通して適用可能であり、解析モデルの不確かさも2、3、4ループプラント間で同様の傾向となる。（詳細は参考文献参照）

また、各格納容器破損モードの基本ケースにおいて、標準3ループプラント解析と個別解析との間で解析条件の相違による双方の解析結果の差が小さいことを確認している（添付資料6.5.8参照）。

以上のことから、標準3ループプラントあるいは4ループプラントの解析結果を重要現象の不確かさとして扱い、泊3号機の有効性評価の影響評価を行うことは妥当である。

以上

i 「三菱PWR重大事故等対策の有効性評価に係るシビアアクシデント解析コードについて」 MHI-NES-1064 改1、三菱重工業、平成28年